# VALIDATION DES DONNÉES RELATIVES AUX CONCENTRATIONS DES MÉTAUX DANS L'EAU DES RIVIÈRES DU QUÉBEC

par

M. Lachance M. Duchemin P.G.C. Campbell

INRS-Eau Rapport scientifique no 387

pour

le Ministère de l'Environnement du Québec Direction de la qualité des cours d'eau

Septembre 1993

VALIDATION DES DONNÉES RELATIVES AUX CONCENTRATIONS DES MÉTAUX DANS L'EAU DES RIVIÈRES DU QUÉBEC

# VALIDATION DES DONNÉES RELATIVES AUX CONCENTRATIONS DES MÉTAUX DANS L'EAU DES RIVIÈRES DU QUÉBEC

par

M. Lachance M. Duchemin P.G.C. Campbell

INRS-Eau Rapport scientifique no 387

pour

le Ministère de l'Environnement du Québec Direction de la qualité des cours d'eau

Septembre 1993

# TABLE DES MATIÈRES

	Page
TABLE DES MATIÈRES	i
LISTE DES TABLEAUX	iii
LISTE DES FIGURES	iv
INTRODUCTION	1
DONNÉES	2
DÉMARCHE MÉTHODOLOGIQUE	2
Réorganisation des fichiers informatiques	3
Observations générales sur les données	3
Méthodes statistiques	4
Choix de stations représentatives	5
RÉSULTATS	6
Comparaison techniciens - observateurs	6
Statistiques descriptives	8
Stations représentatives	8
Aluminium	9
Le cuivre	10
Le fer	13
Le plomb	14

# TABLE DES MATIÈRES (SUITE)

		Page
Le zin	<b>c</b>	17
CONCLUSIO	N	19
BIBLIOGRAP	HIE	21
ANNEXE A:	Statistiques descriptives par métal	74
ANNEXE B:	Graphiques de l'évolution temporelle des concentrations de métaux selon les méthodes	98
ANNEXE C:	Dépassements de seuils de détection	140

# LISTE DES TABLEAUX

	Pa	age
Tableau 1.	Stations d'échantillonnage des métaux lourds	22
Tableau 2.	Méthodes de préservation et de mesure de l'aluminium	23
Tableau 3.	Méthodes de préservation et de mesure du cuivre	24
Tableau 4.	Méthodes de préservation et de mesure du fer	25
Tableau 5.	Méthodes de préservation et de mesure du plomb	26
Tableau 6.	Méthodes de préservation et de mesure du zinc	27
Tableau 7.	Données qui ont servi à la comparaison observateurs - techniciens	28
Tableau 8.	Résultats des tests de comparaison observateurs - techniciens par le test des rangs signés de Wilcoxon	29
Tableau 9.	Limites de détection analytique des métaux selon les méthodes de mesure	30
Tableau 10.	Synthèse des niveaux de fiabilité des méthodes de mesure	31

# LISTE DES FIGURES

	F	Page
Figure 1.	Évolution dans le temps des concentrations de fer à la station 03030023	32
Figure 2.	Évolution dans le temps des concentrations de fer à la station 03030023 selon les méthodes de mesure et de prélèvement	33
Figure 3.	Diagrammes en boites illustrant la gamme des concentrations d'aluminium à la station 01150003 selon les méthodes de mesure et de préservation	34
Figure 4.	Diagrammes en boites illustrant la gamme des concentrations d'aluminium à la station 03030023 selon les méthodes de mesure et de préservation	35
Figure 5.	Diagrammes en boites illustrant la gamme des concentrations d'aluminium à la station 03040009 selon les méthodes de mesure et de préservation	36
Figure 6.	Diagrammes en boites illustrant la gamme des concentrations d'aluminium à la station 03090001 selon les méthodes de mesure et de préservation	37
Figure 7.	Diagrammes en boites illustrant la gamme des concentrations d'aluminium à la station 05010007 selon les méthodes de mesure et de préservation	38
Figure 8.	Diagrammes en boites illustrant la gamme des concentrations d'aluminium à la station 05220003 selon les méthodes de mesure et de préservation	39
Figure 9.	Diagrammes en boites illustrant la gamme des concentrations d'aluminium à la station 05220005 selon les méthodes de mesure et de préservation	40
Figure 10.	Diagrammes en boites illustrant la gamme des concentrations d'aluminium à la station 07230003 selon les méthodes de mesure et de préservation	41
Figure 11.	Diagrammes en boites illustrant la gamme des concentrations de cuivre à la station 01150003 selon les méthodes de mesure et de préservation	42
Figure 12.	Diagrammes en boites illustrant la gamme des concentrations de cuivre à la station 03030023 selon les méthodes de mesure et de préservation	43

# LISTE DES FIGURES (SUITE)

		Page
Figure 13.	Diagrammes en boites illustrant la gamme des concentrations de cuivre à la station 03040009 selon les méthodes de mesure et de préservation	44
Figure 14.	Diagrammes en boites illustrant la gamme des concentrations de cuivre à la station 03090001 selon les méthodes de mesure et de préservation	45
Figure 15.	Diagrammes en boites illustrant la gamme des concentrations de cuivre à la station 05010007 selon les méthodes de mesure et de préservation	46
Figure 16.	Diagrammes en boites illustrant la gamme des concentrations de cuivre à la station 05220003 selon les méthodes de mesure et de préservation	47
Figure 17.	Diagrammes en boites illustrant la gamme des concentrations de cuivre à la station 05220005 selon les méthodes de mesure et de préservation	48
Figure 18.	Diagrammes en boites illustrant la gamme des concentrations de cuivre à la station 07230003 selon les méthodes de mesure et de préservation	49
Figure 19.	Diagrammes en boites illustrant la gamme des concentrations de fer à la station 01150003 selon les méthodes de mesure et de préservation	50
Figure 20.	Diagrammes en boites illustrant la gamme des concentrations de fer à la station 03030023 selon les méthodes de mesure et de préservation	51
Figure 21.	Diagrammes en boites illustrant la gamme des concentrations de fer à la station 03040009 selon les méthodes de mesure et de préservation	52
Figure 22.	Diagrammes en boites illustrant la gamme des concentrations de fer à la station 03090001 selon les méthodes de mesure et de préservation	53
Figure 23.	Diagrammes en boites illustrant la gamme des concentrations de fer à la station 05010007 selon les méthodes de mesure et de préservation	54

# LISTE DES FIGURES (SUITE)

		Page
Figure 24.	Diagrammes en boites illustrant la gamme des concentrations de fer à la station 05220003 selon les méthodes de mesure et de préservation	55
Figure 25.	Diagrammes en boites illustrant la gamme des concentrations de fer à la station 05220005 selon les méthodes de mesure et de préservation	56
Figure 26.	Diagrammes en boites illustrant la gamme des concentrations de fer à la station 07230003 selon les méthodes de mesure et de préservation	57
Figure 27.	Diagrammes en boites illustrant la gamme des concentrations de plomb à la station 01150003 selon les méthodes de mesure et de préservation	58
Figure 28.	Diagrammes en boites illustrant la gamme des concentrations de plomb à la station 03030023 selon les méthodes de mesure et de préservation	59
Figure 29.	Diagrammes en boites illustrant la gamme des concentrations de plomb à la station 03040009 selon les méthodes de mesure et de préservation	60
Figure 30.	Diagrammes en boites illustrant la gamme des concentrations de plomb à la station 03090001 selon les méthodes de mesure et de préservation	61
Figure 31.	Diagrammes en boites illustrant la gamme des concentrations de plomb à la station 05010007 selon les méthodes de mesure et de préservation	62
Figure 32.	Diagrammes en boites illustrant la gamme des concentrations de plomb à la station 05220003 selon les méthodes de mesure et de préservation	63
Figure 33.	Diagrammes en boites illustrant la gamme des concentrations de plomb à la station 05220005 selon les méthodes de mesure et de préservation	64
Figure 34.	Diagrammes en boites illustrant la gamme des concentrations de plomb à la station 07230003 selon les méthodes de mesure et de préservation	65

# LISTE DES FIGURES (SUITE)

		Page
Figure 35.	Diagrammes en boites illustrant la gamme des concentrations de zinc à la station 01150003 selon les méthodes de mesure et de préservation	66
Figure 36.	Diagrammes en boites illustrant la gamme des concentrations de zinc à la station 03030023 selon les méthodes de mesure et de préservation	67
Figure 37.	Diagrammes en boites illustrant la gamme des concentrations de zinc à la station 03040009 selon les méthodes de mesure et de préservation	68
Figure 38.	Diagrammes en boites illustrant la gamme des concentrations de zinc à la station 03090001 selon les méthodes de mesure et de préservation	69
Figure 39.	Diagrammes en boites illustrant la gamme des concentrations de zinc à la station 05010007 selon les méthodes de mesure et de préservation	70
Figure 40.	Diagrammes en boites illustrant la gamme des concentrations de zinc à la station 05220003 selon les méthodes de mesure et de préservation	71
Figure 41.	Diagrammes en boites illustrant la gamme des concentrations de zinc à la station 05220005 selon les méthodes de mesure et de préservation	72
Figure 42.	Diagrammes en boites illustrant la gamme des concentrations de zinc à la station 07230003 selon les méthodes de mesure et de préservation	73

#### INTRODUCTION

Le ministère de l'Environnement du Québec (MENVIQ), par l'entremise de sa Direction de la qualité des cours d'eau (DQCE), effectue depuis 1979 le suivi des concentrations de métaux dans les rivières du Québec. Au cours de toutes ces années, les techniques de prélèvement et de mesure des échantillons d'eau ont évolué suite au développement de nouvelles techniques analytiques et à la mise en marché d'appareils de mesure plus précis et/ou plus sensibles.

Un doute a été soulevé récemment sur la validité des données relatives aux métaux dans la banque de données sur la qualité du milieu aquatique (BQMA). Dans le passé, certains problèmes de contamination se sont déjà présentés dus aux techniques de prélèvement, de manipulation et d'analyse des échantillons. Ces problèmes, accompagnés par des changements de méthodes d'analyse et/ou d'appareils de mesures, ont contribué à semer un doute raisonnable sur la validité de l'ensemble des mesures des métaux lourds de la BQMA.

Cette démarche n'est pas sans rappeler un exercice semblable qu'a dû effectuer l'agence américaine USGS, qui collecte des données sur l'ensemble du territoire américain (programme NASQUAN). En effet, au cours des cinq dernières années, un certain nombre de travaux ont sévèrement critiqué ce programme de collecte (Flegal et Coale, 1989; Windom *et al.*, 1991). Les concentrations d'éléments traces dissous publiés par le programme NASQUAN sont apparus élevés comparés à des concentrations mesurées sur des échantillons prélevés par d'autres groupes de travail tantôt sur les mêmes sites, tantôt sur des sites localisés tout près des stations NASQUAN (Horowitz *et al.*, 1992; Flegal et Coale, 1989; Windom *et al.*, 1991). On a attribué ces concentrations élevées à de la contamination provenant à la fois de l'échantillonnage, de la manipulation des échantillons avant analyse et/ou des techniques d'analyse.

Le mandat confié à l'INRS-Eau consiste à réaliser un traitement statistique des données concernant les métaux (en particulier l'aluminium, le fer, le cuivre, le plomb et le zinc) mesurés sur des rivières du Québec depuis 1979 en vue d'en effectuer une validation. Il s'agit plus précisément d'utiliser des techniques de statistique descriptive et des tests appropriés permettant d'illustrer ou de détecter globalement les anomalies qui apparaissent dans les données et de porter un jugement global sur la validité de ces données. De plus, à la lumière des conclusions tirées à la fois de cette étude et d'autres études réalisées ailleurs, on vise à formuler un certain nombre de recommandations sur la poursuite ou non de la mesure des métaux lourds sur les cours d'eau du Québec.

## **DONNÉES**

Les données, utillisées dans cette étude, concernent les concentrations de métaux lourds, que l'on retrouve dans 31 stations de qualité des eaux situées en milieu fluvial dans les régions hydrographiques 01 à 07 du Québec méridional (Tableau 1). La période d'échantillonnage couverte s'étend de 1979 à 1990. Au départ, la DQCE a fourni un fichier de données comprenant notamment le numéro de station, l'heure et la date d'échantillonnage, le numéro de projet, le numéro de la méthode d'analyse et les résultats d'analyse des métaux AI, Cd, Cr, Cu, Fe, Mn, Ni, Pb et Zn. Lorsque la concentration à mesurer se situait au dessous du seuil de détection de l'appareil de mesure, une lettre "P" était accolée à cette donnée. Après entente avec la DQCE, seuls les métaux traces AI, Cu, Fe, Pb et Zn ont été retenus pour l'exercice de validation.

Les données se rapportent aux projets 10001 (réseau rivières observateurs) et 10002 (réseau rivières techniciens) de la DQCE. Dans le projet observateurs, les échantillons sont généralement prélevés à partir d'un pont par des personnes engagées sur place. La fréquence d'échantillonnage varie de une à quatre fois par mois selon l'époque, la station et la variable mesurée. Les échantillons sont par la suite acheminés au laboratoire dans un délai de cinq jours. En ce qui concerne le projet techniciens, la méthode de prélèvement est la même à l'exception que les échantillons sont recueillis par des techniciens du Ministère. La fréquence de prélèvement est généralement de une fois par saison ou, depuis 1988, de quatre fois par été. Les échantillons sont acheminés au laboratoire dans un délai de 24 à 72 heures, puis acidifiés au laboratoire par la suite.

Au cours de la période couverte par l'étude, les méthodes d'analyse ont changé à plusieurs reprises. Les tableaux 2 à 6 fournissent respectivement la méthode de préservation, la méthode analytique et leur durée d'utilisation pour chacun des cinq métaux. On y indique également si l'échantillon a été prélevé par un technicien (T) ou par un observateur (O). On y observe que la méthode analytique a passé de différentes techniques par absorption atomique avant 1984 au dosage par spectrométrie d'émission au plasma d'argon par la suite. Les délais d'acidification ont varié de quelques minutes à 72 heures, parfois jusqu'à cinq jours. Généralement, l'acidification est effectuée avec 0,5 ml/125 ml d'acide nitrique 8N. Les échantillons ont parfois été filtrés, le plus souvent non filtrés.

## DÉMARCHE MÉTHODOLOGIQUE

Dans cette section, on décrit les principales étapes de réorganisation des fichiers informatiques

et on rappelle brièvement les méthodes de traitement statistiques choisies pour l'interprétation et la validation des données.

## Réorganisation des fichiers informatiques

Afin de mieux gérer l'information fournie par la DQCE, on a procédé à un traitement préliminaire des données afin d'en faciliter la manipulation. Ainsi, le fichier d'origine a été séparé en cinq fichiers (un par métal considéré), soit les fichiers aluminium, fer, cuivre, plomb et zinc. Dans ces fichiers, une colonne a été ajoutée et comprend la date d'échantillonnage cumulée depuis le 1er janvier 1979. Les valeurs de concentrations sous le seuil de détection analytique ont été ramenées à la moitié du seuil. Cette réorganisation des données a facilité la production d'un ensemble de graphiques permettant l'examen de l'évolution des concentrations des métaux lourds en fonction du temps. La présentation de chacun de ces graphiques pour chacun des cinq métaux et pour chacune des 31 stations serait fastidieuse. À titre d'exemple, on présente deux types de graphique produits. La figure 1 montre l'évolution temporelle, à la station 03030023 (Yamaska au pont route à Yamaska), des concentrations de fer en faisant ressortir sur le graphique les points correspondant à un prélèvement par des techniciens. Sur la figure 2, on représente l'évolution dans le temps à cette même station (03030023) des concentrations de fer en faisant ressortir cette fois-ci l'effet des méthodes de mesure. On peut nettement distinguer la présence des six méthodes de préservation et d'analyse du fer utilisées au cours de la période 1979 - 1990. On reviendra plus loin dans le texte à un examen plus détaillé de ces graphiques d'évolution temporelle (illustrés à l'annexe B) et à l'information qu'on peut en tirer.

## Observations générales sur les données

La première observation générale qui découle de l'examen des graphiques d'évolution temporelle est *l'absence* de période de chevauchement pour les méthodes de mesure et de préservation au cours de laquelle le dosage a été effectué simultanément sur les deux types d'échantillons. La seule exception observée est pour l'aluminium sur lequel on a mesuré la forme filtrable (130132) et la forme totale (130135) pour une période de chevauchement d'environ deux ans (1984-85). Dans ce dernier cas, la comparaison par un test pairé est possible. En ce qui concerne les autres méthodes de mesure et de préservation, la méthode de comparaison statistique utilisable, en l'absence de chevauchement, doit être adaptée pour tenir compte des fluctuations saisonnières et annuelles différentes selon les séries.

La seconde constatation, déduite de l'examen des fichiers de données, est que chaque projet

(10001 ou 10002) comporte ses propres méthodes de mesure et de préservation. En fait, la distinction se situe au niveau des délais de préservation qui sont plus courts lorsque l'échantillonnage est effectué par un technicien que par un observateur sur place (Tableaux 2 à 6). Par exemple, toutes les valeurs de fer mesurées selon la méthode 260101 proviennent d'échantillons d'eau prélevés par des techniciens, alors que la méthode 260125 ne concerne que des observateurs en raison de délais d'acidification différents (Tableau 4). Il faut noter que lorsqu'on indique pour les techniciens que l'acidification est effectuée immédiatement après l'échantillonnage, il s'agit en fait d'un délai maximum de 6 à 8 heures, puisque l'acidification est faite à la fin de la journée d'échantillonnage.

On constate qu'en ce qui concerne les méthodes 130137 pour l'aluminium (Tableau 2), 290147 pour le cuivre (Tableau 3), 260139 pour le fer (Tableau 4), 820131 pour le plomb (Tableau 5) et 300137 pour le zinc (Tableau 6), les échantillons provenant à la fois des techniciens et des observateurs ont été regroupés sous le même code de méthode. C'est comme si on a présumé que les méthodes de manipulation et de préservation des échantillons étaient les mêmes alors qu'en fait on peut s'attendre à des différences substantielles. Cette procédure est celle qui a été retenue par la DQCE comme procédure unique pour la période après 1986.

Afin de tirer au clair si la méthodologie d'échantillonnage par observateur ou par technicien n'introduit pas de différences significatives dans les mesures de concentrations des métaux, une procédure de comparaison techniciens - observateurs a été élaborée. Pour ce faire, on a identifié une période commune où on dispose des deux types d'échantillon, soit la période 1984-85 au cours de laquelle on a mesuré à la fois le cuivre, le zinc, le plomb et le fer. Les résultats de cette comparaison apparaissent plus loin dans la section sur les résultats.

#### Méthodes statistiques

Une autre observation générale tirée de l'examen visuel des graphiques (Annexe B) est la forte asymétrie positive des distributions des valeurs de concentrations des métaux. On dénombre généralement un grand nombre de valeurs sous ou près du seuil de détection et quelques valeurs très fortes, parfois de façon démesurée. Cette contrainte de distribution non normale nous amène à privilégier les méthodes statistiques non-paramétriques de comparaison des distributions. Dans l'examen des distributions, on s'intéressera principalement à des paramètres tels que les percentiles 25, 50 (médiane) et 75% de préférence aux moyennes et aux écart-types.

Deux méthodes seront utilisées: la méthode des rangs signés de Wilcoxon et la méthode des "BOX-PLOT" (diagrammes en boites) pour la comparaison des distributions. La méthode des rangs signés de Wilcoxon (Siegel, 1956) est une méthode non-paramétrique de comparaison des médianes de deux populations. On pose comme hypothèse qu'il n'y a pas de différence entre les médianes des deux populations pairées. Dans ce test, on codifie chaque série en rang de classement; on calcule ensuite pour chaque observation la différence entre les rangs à laquelle on attribue un signe, d'où le nom de rangs signés. On calcule un paramètre Z, la statistique du test, à partir d'une formule basée sur la somme des rangs. Puisque Z suit une distribution normale centrée-réduite, on accepte ou rejette l'hypothèse de départ dépendant de la valeur de Z.

La méthode des diagrammes en boites est une méthode statistique exploratoire (Tukey, 1977) qui permet de résumer la distribution d'une série en représentant sous forme d'une boite les percentiles 25, 50 et 75% et en y ajoutant un trait vertical correspondant aux valeurs maximales et minimales. On dispose donc de toutes les valeurs permettant de caractériser une distribution. On peut en déduire la dispersion en examinant l'intervalle correspondant à la longueur de la boite (entre 25 et 75% des valeurs). Cette procédure s'est avérée appropriée pour l'exercice de validation de la banque de données et la comparaison des distributions de concentrations pour différentes méthodes d'analyse des métaux lourds.

## Choix de stations représentatives

Afin d'alléger l'examen visuel des nombreux graphiques produits, six stations ont d'abord été choisies pour être examinées plus en détail. Ces stations n'ont pas été choisies au hasard. On est parti du principe que les stations qui accusent des concentrations élevées en métaux lourds présentent de l'intérêt. Un premier examen des statistiques descriptives a permis d'identifier les stations où l'on rencontrait systématiquement des valeurs élevées de concentrations en métaux lourds. Une première sélection s'est faite en retenant un échantillon de stations représentatif pour chacun des métaux lourds. Ces stations sont les suivantes:

- 03030023 (Yamaska): Fe, Al;

- 03040009 (Richelieu): Cu, Fe, Al:

- 03090001 (Chateauguay): Pb;

- 05010007 (Saint-Maurice): Cu;

- 05220003 (L'Assomption): Zn;

- 05220005 (De l'Achigan): Pb, Zn.

Afin d'assurer une représentativité des stations présentant des teneurs faibles en métaux lourds, on a ajouté par la suite deux autres stations situées dans des régions présumées peu affectées par les activités anthropiques:

- 01120003 (Matapédia);
- 07230003 (Moisie).

Les stations 03040009 (Richelieu) et 05010007 Saint-Maurice) se sont révélées par la suite peu intéressantes par le fait que les échantillons d'eau ont été contaminés en cuivre par la méthode de prélèvement au cours de la période considérée. En effet, à ces deux stations, on a prélevé à partir d'un robinet en cuivre aux stations de filtration de Sorel et de Trois-Rivières. Les résultats de cuivre qui sont présentés pour ces deux stations ne peuvent donc pas être interprétés.

#### RÉSULTATS

## Comparaison techniciens - observateurs

Avant de passer à l'examen détaillé des effets possibles des changements de méthode analytique sur les niveaux de concentration des métaux lourds mesurés, il s'est avéré indispensable de vérifier si le fait d'utiliser indifféremment des observateurs ou des techniciens pour la collecte des échantillons pouvait être une source additionnelle de variabilité.

Afin de tirer au clair cette hypothèse, une procédure de comparaison techniciens observateurs a été élaborée. On a d'abord vérifié s'il existait une période commune où on disposait des deux types d'échantillons en vue de l'application d'un test statistique pairé de comparaison. L'examen des données disponibles dans la banque a permis d'identifier la période 1984-85 au cours de laquelle il y avait alternance entre techniciens (une fois par saison) et observateurs (une fois par mois) pour la mesure du cuivre (méthodes 290145 et 290147), du fer (méthodes 260139 et 260141), du plomb (méthodes 820131 et 820133) et du zinc (méthodes 300135 et 300137). Il s'agit d'échantillons non filtrés dans les deux cas. Pour chacune des stations, on disposait donc de deux séries comportant respectivement 8-9 mesures pour les techniciens et 20-30 mesures pour les observateurs (Tableau 7). Puisque pour chacune des 31 stations, ces deux séries couvrent approximativement deux années complètes et sont assez bien réparties selon les saisons, on peut raisonnablement faire l'hypothèse que la moyenne des mesures de chacune des séries est représentative pour une station donnée indépendamment de la fluctuation saisonnière. On a donc calculé les

moyennes et les médianes par station pour chacun des métaux. Étant donné que les distributions considérées entraînent des médianes généralement toujours au seuil de détection et que par conséquent ces médianes ne se prêtent pas à l'application d'un test de comparaison, on a retenu seulement les moyennes (Tableau 7). Ces moyennes constituent donc les deux séries pairées dont on a besoin pour le test statistique de comparaison.

Deux tests statistiques pairés ont été utilisés: le test de Student pairé et le test des rangs signés de Wilcoxon (Siegel, 1956). Puisque le test paramétrique a produit sensiblement les mêmes résultats que son équivalent non-paramétrique, on présente ici seulement les résultats du test de Wilcoxon (Tableau 8). La statistique du test a montré que *les concentrations mesurées sur les échantillons prélevés par les observateurs sont en moyenne significativement supérieures à celles obtenues avec les techniciens pour le cuivre, le zinc et à un degré moindre pour le plomb.* 

Cette constatation nous amène à nous poser la question à savoir si cet effet est réel ou dû à l'approche statistique retenue. Considérons d'abord le choix des moyennes au lieu des médianes. La présence de valeurs anormalement élevées dans les mesures sur les échantillons des observateurs a pu influencer exagérément le calcul des moyennes. Le test de comparaison appliqué sur les séries constituées de médianes n'a pas révélé de différences significatives, mais ne peut strictement être appliqué en raison du trop grand nombre d'égalités simultanées de rangs. Ce que le test pairé démontre, c'est que sur l'ensemble des 31 stations, on a observé une différence positive significative dans les teneurs moyennes de cuivre, de zinc et de plomb en comparant les échantillons prélevés par les observateurs avec ceux provenant des techniciens. Cependant, tout en étant statistiquement significatives sur l'ensemble des données, ces différences ne sont généralement pas importantes sur le plan quantitatif à une station donnée. On verra plus loin, lors de l'examen des graphiques obtenus pour chaque métal considéré, que c'est le cas notamment pour le cuivre et le plomb aux stations représentatives. Les différences significatives observées nous ont toutefois justifié de distinguer par la suite la provenance de l'échantillon.

Est-ce que les méthodes de collecte et de manipulation des observateurs en place sont susceptibles d'entraîner une contamination quelconque? Est-ce que cet effet proviendrait des délais d'acidification qui sont plus courts avec les techniciens qu'avec les observateurs? Il est difficile de départager quel effet pourrait être déterminant. Une explication possible serait que les observateurs prélèvent des échantillons d'une manière systématique peu importe les conditions hydrologiques, alors que les techniciens choisissent des périodes hydrologiques plus stables. Or on sait que les concentrations totales en métaux lourds sont très variables en

période de crue. On pourrait donc expliquer la dispersion moins grande observée pour les échantillons prélevés par les techniciens. Malgré tout, il faut reconnaître que la collecte et la manipulation d'échantillons par des observateurs moins qualifiés sont plus susceptibles d'entrainer des contaminations que si de telles manipulations étaient faites par des techniciens.

#### Statistiques descriptives

Des statistiques descriptives ont été calculées pour chacun des métaux, pour chacun des projets (10001 ou 10002) et pour chacune des méthodes de mesure et de préservation (Annexe A). On y a calculé la moyenne, l'écart-type, la variance, le maximum, le minimum ainsi que les quartiles 25, 50 et 75%. Avant d'effectuer les calculs, les valeurs indiquées sous le seuil de détection analytique ont été ramenées à la moitié du seuil. À partir de ces statistiques, on peut vérifier les anomalies et effectuer une comparaison sommaire des niveaux de concentrations obtenues selon les méthodes de mesures et préservation.

## Stations représentatives

La méthode des diagrammes en boites (Tukey, 1977) a été utilisée pour comparer les distributions des valeurs obtenues pour chacune des méthodes de mesure et de préservation. Cette méthode statistique exploratoire a été appliquée aux données de concentrations mesurées aux huit stations identifiées comme représentatives, soit les stations 01150003, 03030023, 03040009, 03090001, 05010007, 05220003, 05220005 et 07230003 Des diagrammes en boites ont été tracés pour l'aluminium (Figures 3 à 10), le cuivre (Figures 11 à 18), le fer (Figures 19 à 26), le plomb (Figures 27 à 34) et le zinc (Figures 35 à 42). Dans ces graphiques, la distribution est représentée par une boite montrant les percentiles 25, 50 et 75%, ainsi que par des traits représentant le minimum et le maximum. Lorsque des valeurs de concentrations dépassaient de 1,5 fois l'étendue interquartile (entre 25 et 75%), ces valeurs ont été représentées par des points distincts.

Afin de compléter l'interprétation, des graphiques montrant l'évolution dans le temps des teneurs en métaux selon les méthodes sont fournis dans l'annexe B. On retrouve donc les graphiques pour l'aluminium (Figures B.1 à B.8), le cuivre (Figures B.9 à B.16), le fer (Figures B.17 à B.24), le plomb (Figures B.25 à B.32) et le zinc (Figures B.33 à B.40).

La comparaison des méthodes est complétée en procédant à l'examen des fréquences de dépassement de seuils de détection donnés. En effet pour chaque métal, on a déterminé le plus élevé des seuils de détection généralement rencontrés (Tableau 9). On a ensuite calculé la fréquence de dépassement d'une fois ce seuil (Tableau C.1) et trois fois ce seuil (Tableau C.2) pour chacun des métaux et pour chacune des méthodes de mesure.

#### **Aluminium**

L'aluminium est le troisième élément en importance dans la croûte terrestre. Les eaux de surface n'en contiennent qu'une quantité limitée, car il est ordinairement lié aux sédiments par sorption ou précipité.

L'aluminium a commencé à être mesuré par la DQCE en 1982 seulement. Au cours des deux premières années de mesure (1982-83), les méthodes 130110 et 130113 alternaient (Tableau 2). Les seuils de détection sont de 0,02 et 0,05 mg/L respectivement (Tableau 9). Dans le premier cas, il s'agit d'un dosage par absorption atomique sans flamme, alors que dans le second cas, il s'agit d'un dosage par absorption atomique avec aspiration de l'échantillon dans une flamme oxyde nitreux - acétylène (Tableau 2). La première méthode a fourni pour l'ensemble des huit stations retenues une très faible dispersion des valeurs autour du seuil de détection, alors qu'on retrouve des pics très prononcés pour la seconde (Figures 3 à 10 et B.1 à B.8). Dans le cas de cette dernière, on rapporte une filtration occasionnelle, ce qui laisse déjà planer un doute sur la validité de cette méthode de mesure.

Ensuite, au cours de la période 1984-85, deux autres méthodes de mesure ont alterné, soit les méthodes 130132 et 130135 avec un seuil de détection analytique de 0,02 mg/L. En fait, il s'agit dans le premier cas de la mesure sur un échantillon filtré et dans le second cas de la mesure sur un échantillon non filtré. Le dosage est fait par spectrométrie d'émission au plasma d'argon. Comme on pouvait s'y attendre, la mesure de l'échantillon non filtré donne toujours des valeurs plus élevées que sur l'échantillon filtré. Il faut noter cependant que la dispersion de la méthode 130135, même si elle est un peu plus élevée que pour la méthode 130132, demeure relativement comparable à celle des autres méthodes en général à l'exception de 130113 (Figures 3 à 10).

Après deux années de répit, la mesure a été reprise en 1988 avec la méthode 130137. Il s'agit d'échantillons prélevés, soit par des observateurs sur place, soit par des techniciens du Ministère. Comme précédemment, le dosage est fait par spectrométrie d'émission au plasma d'argon. Aucun test statistique n'a pu être appliqué pour comparer les valeurs obtenues par les observateurs avec celles obtenues par les techniciens. On peut cependant se faire une idée de l'importance des effets des différentes méthodologies en examinant les diagrammes

en boites des figures 3 à 10; à partir de la comparaison des distributions, on ne peut vraiment affirmer qu'il existe une différence entre les deux séries de mesures.

On retient donc pour l'aluminium les points suivants:

- les changements dans les méthodes de mesure et de préservation avant 1984 laissent planer un doute sur la validité des mesures effectuées avant cette date;
- les mesures effectuées depuis 1988 sur des échantillons non filtrés apparaissent valables compte tenu de la fiabilité de la méthode analytique et des délais raisonnables et constants de préservation des échantillons;
- rien n'indique que les mesures effectuées avec la méthode 130135 (échantillons non filtrés) au cours des années 1984-85 ne soient pas comparables avec celles effectuées par la méthode plus récente (130137), les délais d'acidification différents n'ayant qu'un effet mineur puisque l'acidification a pour effet de désorber les éléments qui ont pu être adsorbés avant l'acidification.

#### Le cuivre

Le cuivre est un des métaux lourds les plus communs dans les eaux naturelles. Il est essentiel à la nutrition de tous les végétaux et animaux. Les formes chimiques bivalentes des sels de cuivre, comme les chlorures, les sulfates et les nitrates, sont très solubles dans les eaux alors que les carbonates, hydroxydes, oxydes et sulfures le sont moins. Par conséquent, lorsque des ions cuivre sont introduits dans des eaux naturelles alcalines, ils peuvent précipiter sous forme d'hydroxydes ou carbonates basiques de cuivre, ou encore ètre éliminés par adsorption et sédimentation.

Pour l'interprétation des résultats de cuivre, on met de coté ceux obtenus aux stations 03040009 et 05010007 (Figures 13, 15, B.11 et B.13) pour lesquelles on sait qu'il y a eu contamination par la méthode de prélèvement des échantillons. En effet à compter de 1986 pour la station 03040009 (Richelieu) et possiblement de 1979 pour la station 05010007 (Saint-Maurice), les échantillons sont prélevés aux usines de filtration de Sorel et Trois-Rivières à la sortie d'un robinet en cuivre.

La BQMA rapporte des mesures de cuivre depuis 1979 dans les rivières du Québec. Au cours des deux premières années (1979-80), les méthodes 290101 et 290103 alternaient. Dans

le premier cas, il s'agit d'échantillons prélevés par des techniciens, alors que dans le second cas, il s'agit d'échantillons prélevés par des observateurs. Par conséquent, les délais d'acidification sont différents: immédiatement après l'échantillonnage (délai maximum de six à huit heures) pour 290101 et un délai de cinq jours pour 290103. Le principal problème avec ces deux méthodes, c'est que la méthode de dosage n'est pas connue précisément: deux méthodes de dosage sont rapportés au tableau 3. En outre les seuils de détection analytique rapportés sont de 2 et  $4 \mu g/L$ . L'examen des graphiques d'évolution temporelle (Figures B.9, B.10, B.12, B.14 à B.16) et des diagrammes en boites (Figures 11, 12, 14 16 à 18) révèle des dispersions assez importantes surtout pour la méthode 290103. En raison du manque de connaissance de la méthode de dosage et des différents seuils de détection, il est difficile d'accorder une fiabilité à l'ensemble de ces données.

En 1981, une seule méthode de mesure du cuivre est rapportée. En fait, il s'agit de la méthode 290115 dans laquelle on sait maintenant que le dosage a été effectué par spectrophotométrie d'absorption atomique sans flamme (Tableau 3). Le seuil de détection est de 2  $\mu$ g/L. Il est difficile de se prononcer sur la fiabilité de ces mesures. Notons que par rapport à la méthode précédente 290103, cette méthode a produit des valeurs généralement comparables (Figures 11, 12, 14, 16 à 18, B.9, B.10, B.12, B.14 à B.16).

Au cours de la période 1982-83, deux autres méthodes de mesure et préservation ont été utilisées, soit les méthodes 290123 et 290135 (Tableau 3). Le seuil rapporté est de 5  $\mu$ g/L. Dans les deux cas, il s'agit d'un dosage par absorption atomique avec une aspiration directe de l'échantillon dans une flamme air-acétylène. La différence se situe au niveau des méthodes de préservation. Dans la méthode 290123, il s'agit d'un prélèvement par des observateurs, donc un délai d'acidification de 24 à 72 heures, alors que dans la méthode 290135, le prélèvement a été effectué par des techniciens avec acidification immédiatement après l'échantillonnage. Les mesures obtenues par les deux méthodes sont comparables, ce qui suggère que les délais d'acidification ne sont pas trop critiques. L'examen de l'évolution temporelle et des diagrammes en boite pour les six stations confirme que les deux méthodes donnent effectivement des résultats comparables entre elles et comparables avec la méthode précédente (290115).

Ensuite en 1984-85, deux autres méthodes de mesure et de préservation ont alterné. Il s'agit dans les deux cas d'un dosage par spectrométrie au plasma d'argon. La différence réside dans le fait que pour la méthode 290145, l'échantillonnage a été effectué par des techniciens avec une acidification immédiatement après l'échantillonnage, alors que pour la méthode 290147, ce sont des observateurs qui ont effectué l'échantillonnage avec un délai d'acidification de 24

#### à 72 heures.

L'analyse précédente (comparaison techniciens - observateurs) a révélé qu'en moyenne, sur les 31 stations considérées, les échantillons des observateurs enregistraient des concentrations plus élevées de cuivre que ceux des techniciens. Pour une station prise individuellement, cette différence n'est cependant pas perceptible comme on peut le constater à partir de l'examen de l'évolution temporelle et des diagrammes en boites aux six stations (Figures 11, 12, 14, 16 à 18, B.9, B.10, B.12, B.14 à B.16).

Pour la période à compter de 1986, on rapporte une seule méthode de mesure et préservation pour le cuivre, soit la méthode 290147. L'échantillonnage est effectué par des observateurs sauf qu'en période estivale, des échantillons prélevés par des techniciens ont été regroupés sous le même code de méthode que pour les observateurs. L'allure des courbes d'évolution temporelle du cuivre au cours de cette période révèle la présence d'un problème. On note en effet la présence d'une grande dispersion au cours des années 1986 et 1987 et ensuite une diminution des concentrations sous ou près du seuil de détection pour les années 1988 à 1990 (Figures B.9, B.10, B.12, B.14 à B.16). Cette diminution brusque peut difficilement être expliquée. On peut avancer diverses hypothèses telles que l'emploi de bouteilles ou d'acide contaminés avant 1988 et que par hasard le problême de contamination s'est alors réglé. Une investigation devrait être effectuée auprès du personnel du laboratoire à cette époque.

On retient donc pour le *cuivre* les points suivants:

- l'incertitude sur la méthode de dosage et les différents seuils de détection nous incitent à ne pas accorder une grande fiabilité aux données recueillies en 1979-80;
- les nombreux changements de méthode observés au cours de la période 1981-84 nous incitent à être prudents dans l'interprétation de ces données, spécialement en ce qui concerne les stations de valeurs faibles pour lesquelles la fluctuation est beaucoup plus importante qu'en 1988-90 et pourrait bien provenir de contaminations;
- la méthode de mesure et préservation adoptée à compter de 1986 n'a pas apporté la stabilité dans les résultats à laquelle on aurait du s'attendre, les fortes fluctuations en 1986-87 étant difficilement conciliables avec la présence prédominante de valeurs sous le seuil en 1988-90;
- si on a à porter un jugement global sur les mesures de cuivre, on ne peut accorder une

fiabilité qu'aux mesures prises depuis 1988.

#### Le fer

Le fer, à l'état ferreux (Fe II) ou ferrique (Fe III), est le quatrième élément le plus commun de la croûte terrestre. Dans les eaux, en milieu réducteur, le fer se présente sous forme d'ions ferreux très solubles, mais, exposé à l'air, il est oxydé en ions ferriques beaucoup moins solubles qui se précipitent comme oxyhydroxydes.

Des mesures de fer dans les rivières du Québec sont rapportées dans la BQMA depuis 1979. Au cours de la période 1979-82, le fer était mesuré par alternance avec les méthodes 260101 et 260117 (Tableau 4). Dans les deux cas, la méthode de dosage était par absorption atomique avec une aspiration directe de l'échantillon dans une flamme air-acétylène. Selon la première méthode, les échantillons étaient prélevés par des techniciens avec une acidification immédiatement après l'échantillonnage, alors que la seconde méthode utilisait des observateurs avec une acidification faite dans un délai de cinq jours. Les seuils rapportés pour chacune des deux méthodes étaient de 0,03 et 0,05 mg/L (Tableau 9). Le fait de retrouver deux seuils de détection ne devrait pas causer trop de problèmes puisque les valeurs se situent généralement bien en deça de ces seuils de détection (Tableau C.1). Toutefois, on note la présence de certaines stations qui ont des valeurs de fer se situant autour du seuil de détection (01150003, 03020037, 03040012, 03090005; Tableau A.3) et avec lesquelles il faudra être prudent dans l'interprétation de ces données. On note également que pour les huit stations examinées plus en détail, les concentration de fer (quartiles 25 à 75%) sont généralement un peu plus élevées avec les échantillons des techniciens qu'avec ceux des observateurs (Figures 19 à 26). Il est donc possible que cette diminution de concentration soit due à un effet de précipitation du fer en raison des délais d'acidification trop grands et que l'acidification ne réussisse pas à contrecarrer cet effet avant la mesure. En définitive, il faudrait n'accorder de la fiabilité qu'aux mesures effectuées par la méthode 260101.

Au cours de la période 1982-83, les délais d'acidification ont été racourcis à moins de 72 heures (méthode 260125; Tableau 4). Le seuil de détection analytique rapporté est estimé maintenant à 0,02 mg/L. Pour les huit stations représentatives, on note que par rapport à la méthode précédente 260117, dans laquelle le délai d'acidification pouvait aller jusqu'à cinq jours, les concentrations ont tendance à augmenter. L'hypothèse d'une perte de concentration par précipitation due au délai d'acidification semble être confirmée.

À compter de 1984, on implantait la méthode de dosage par spectrométrie au plasma d'argon.

En 1984-85, on alternait avec deux méthodes de mesure et préservation, soit les méthodes 260139 et 260141 (Tableau 4). Le seuil de détection rapporté pour ces méthodes est de 0,01 mg/L. Dans la méthode 260139, des observateurs font le prélèvement et l'acidification est effectuée dans un délai de 24 à 72 heures. La méthode 260141 consiste en un échantillonnage par des techniciens et une acidification immédiatement après l'échantillonnage. La comparaison techniciens - observateurs, effectuée précédemment, n'a pas révélé de différences significatives entre les valeurs moyennes aux 31 stations considérées. Ce résultat n'est pas surprenant si on considère que les concentrations de fer sont beaucoup plus élevées que celles des autres métaux traces (Cu, Pb, Zn) et qu'il est normal que la contamination soit relativement moins importante que pour ces derniers. Il est possible également que si une certaine contamination du fer existe en raison des manipulations, elle soit masquée par un effet contraire dû à l'effet de précipitation en raison du délai d'acidification.

La méthode de mesure 260139 s'est poursuivie jusqu'en 1990. L'examen de l'évolution temporelle des concentrations (Figures B.13 à B.18) ne fournit aucune indication que ces données ne seraient pas fiables. On note que pour les stations 03030023 et 03040009 (Figures B.18 et B.19), les valeurs de fer semblent plus faibles de 1984 à 1988. Cette tendance, qui n'est pas visible aux six autres stations, serait explicable par des fluctuations interannuelles normales.

On retient donc pour le fer les points suivants:

- les longs délais d'acidification et les deux seuils de détection pour la méthode 260117 nous incitent à ne pas accorder une grande fiabilité à ces mesures;
- le fer, en raison d'un niveau de concentration relativement élevée, apparait moins sensible aux effets de contamination;
- on n'a aucune indication que les mesures de fer, à l'exception de la méthode 260117,
   ne soient pas fiables.

## Le plomb

Le plomb est omniprésent dans la nature en raison principalement de son emploi jusqu'à tout récemment dans l'essence avec plomb; il se présente à l'état soluble ou en suspension dans les nappes d'eau. Les eaux ne contiennent généralement que de faibles concentrations de

plomb parce que celui-ci est fortement retenu sur les particules (sédiments, sols) par adsorption.

Au cours de la période 1979-80, on rapporte deux méthodes de mesure et préservation pour le plomb, soit les méthodes 820101 et 820103 (Tableau 9). Dans le premier cas, il s'agit d'échantillons prélevés par des techniciens avec acidification immédiatement après l'échantillonnage alors que dans le second cas, l'échantillon a été prélevé par des observateurs avec une acidification dans un délai de cinq jours. Comme pour le cuivre, on ne sait pas si l'échantillon a subi un prétraitement par chélation et extraction, suivi d'un dosage par absorption atomique, ou si l'échantillon a été directement dosé par spectrophotométrie d'absorption atomique sans flamme. On rapporte deux seuils de détection de 15 et 20 µg/L (Tableau 9), quoique le seuil de 15  $\mu$ g/L semble être prédominant (Figures B.19 à B.24). En 1981, la méthode 820113 est adoptée; on sait maintenant que le dosage a été effectué par spectrophotométrie d'absorption atomique sans flamme. On a abaissé maintenant le seuil de détection analytique à 5  $\mu$ g/L. Si on porte un jugement sur ces trois méthodes, on doit se rendre compte que la résolution analytique pour l'ensemble des stations n'est pas suffisante puisqu'en abaissant le seuil de 15 à 5  $\mu$ g/L, les valeurs, malgré quelques pics prononcés, subissent un changement de palier équivalent au changement de seuil (Figures B.25 à B.27, B.29 et B.30).

La période 1982-83 apparait comme une autre période de comportement particulier pour l'ensemble des stations représentatives. Les méthodes 820119 et 820121 y sont rapportés. Il s'agit encore d'un dosage par spectrophotométrie d'absorption atomique sans flamme. L'acidification est faite immédiatement après l'échantillonnage dans le premier cas (prélèvement par un technicien) alors qu'elle est faite dans un délai de 24 à 72 heures dans le second cas (prélèvement par un observateur). Pour la méthode 820119, les seuils de détection rapportés sont de 2 et 5 µg/L, alors que pour la méthode 820121, le seuil est fixe à 2 µg/L. Là encore, on doit constater que le fait d'abaisser le seuil de détection à un niveau plus bas a résulté en des valeurs de concentrations plus faibles pour l'ensemble des stations considérées (Figures B.25 à B.27, B.29 et B.30). À la station 0309001 (Figure B.21), il se produit par contre un phénomène difficile à expliquer. Les concentrations de plomb augmentent soudainement et demeurent élevées jusqu'en 1986. Il se pourrait qu'une source de pollution soit à l'origine de ces valeurs élevées. Par contre, le fait que les valeurs demeurent faibles pour la méthode 820119 nous incite plutôt à croire que des problèmes de contamination et/ou de détermination analytique en soient la cause.

Comme pour le cuivre, on a commencé en 1984 à doser le plomb par spectrométrie

d'émission au plasma d'argon. En 1984-85, on y retrouve les méthodes 820131 et 820133 dans lesquelles la distinction se situe dans le délai d'acidification résultant du fait que le prélèvement est effectué par un technicien pour 820133 et par un observateur pour 820131. La comparaison précédente techniciens - observateurs a révélé qu'en moyenne, sur les 31 stations, les valeurs de concentration étaient plus faibles avec les techniciens qu'avec les observateurs. Au niveau de chaque station cependant, la différence n'est pas perceptible. À l'exception de la station 03090001, on observe encore qu'aux stations représentatives, les valeurs se situent généralement au seuil de détection, indiquant un manque de résolution analytique.

À compter de 1986, le protocole s'est uniformisé avec le dosage par spectrométrie d'émission au plasma d'argon et un délai d'acidification de 24 à 72 heures. L'examen des graphiques d'évolution temporelle montre une stabilité du niveau de concentration au seuil de détection avec parfois des pics très prononcés (> 45  $\mu$ g/L) qui apparaissent sporadiquement au cours de la période 1986-90. Il est difficile d'accorder une grande crédibilité à ces pics de concentration, d'autant plus qu'ils dépassent généralement les valeurs admises dans la littérature.

On retient donc pour le *plomb* les points suivants:

- les méthodes de dosage n'étant pas connues précisément, on peut difficilement accorder une fiabilité aux mesures effectuées avant 1981;
- de façon générale, les mesures de plomb sont dépendantes du seuil de détection indiquant un manque de résolution analytique;
- en raison des valeurs aberrantes souvent rencontrées, le plomb apparait plutôt sensible aux effets de contamination;
- on ne peut accorder de crédibilité aux pics de concentration observés au cours de la période 1979-90;
- en raison de l'absence de précautions particulières apportées au protocole d'échantillonnage et de mesure et des doutes généralement rapportés dans la littérature sur la fiabilité des valeurs de plomb mesurées systématiquement dans l'eau, on ne peut accorder une grande fiabilité aux mesures de plomb rapportées par la BQMA.

#### Le zinc

Le zinc est un élément très commun dans la nature. Les concentrations de zinc que l'on retrouve dans les cours d'eau (conditions oxiques) sont contrôlées par des processus d'adsorption, plutôt que par des réactions de précipitation/dissolution.

Dans la BQMA, on rapporte des mesures de zinc dans les rivières du Québec depuis 1979. Au cours de la période 1979-80, deux méthodes de mesure et préservation sont rapportées, soit les méthodes 300101 et 300103 (Tableau 6). Dans le premier cas, il s'agit de prélèvements effectués par des techniciens avec acidification immédiatement après l'échantillonnage alors que dans le second cas il s'agit d'échantillonnage par des observateurs avec une acidification dans un délai de cinq jours. Comme pour le cuivre et le plomb, on n'est pas sûr de la méthode de dosage: il peut s'agir soit d'un prétraitement par chélation et extraction suivi d'un dosage par absorption atomique avec aspiration directe de l'échantillon dans une flamme air-acétylène, soit d'un dosage par spectrophotométrie d'absorption atomique sans flamme. Pour chacune de ces deux méthodes, on rapporte deux seuils de 4 et 5  $\mu$ g/L (Tableau 9). L'examen des graphiques d'évolution temporelle des concentrations de zinc aux six stations ne révèle rien d'anormal pour cette période (Figures B.33 à B.40). On ne peut cependant accorder une pleine fiabilité à des mesures pour lesquelles le dosage n'est pas connu précisément.

En 1981, l'échantillonnage par des observateurs se poursuit, mais cette fois, on sait que le dosage est effectué par absorption atomique avec aspiration directe de l'échantillon dans une flamme air acétylène (méthode 300113; Tableau 6). Des seuils de 10, 20 et 30  $\mu$ g/L sont rapportés (Tableau 9). Les variations dans les seuils de détection analytique ne semblent pas avoir causé un changement de niveau ou une augmentation de dispersion (Figures 35 à 42, B.33 à B.40). Toutefois, il est difficile d'accorder une pleine fiabilité à des mesures pour lesquelles le seuil de détection est aussi variable.

Au cours de la période 1982-83, deux méthodes de mesure et préservation sont retrouvées, soit les méthodes 300119 et 300121 (Tableau 6). On poursuit avec la méthode de dosage par absorption atomique avec aspiration directe de l'échantillon dans une flamme air-acétylène. Le délai d'acidification pour l'échantillonnage par des observateurs (300121) est passé d'un maximum de cinq jours à un délai variable entre 24 et 72 heures. L'acidification est effectuée immédiatement après l'échantillonnage en ce qui concerne les techniciens (300119). Les seuils rapportés sont de 10  $\mu$ g/L pour la méthode 300121 et de 10 et 30  $\mu$ g/L pour la méthode 300119 (Tableau 9). Par rapport aux méthodes précédentes, l'examen des

diagrammes en boites (Figures 35 à 42) et des graphiques d'évolution temporelle (Figures B.33 à B.40) ne révèle pas d'augmentation de niveau ou de dispersion. On observe cependant que l'intervalle interquartile 25-75% est plus grand en ce qui concerne la méthode par observateurs (300121) que la méthode par techniciens (300119). Cette plus grande dispersion pourrait s'expliquer par de la contamination introduite lors des manipulations par les observateurs.

À compter de 1984, le dosage du zinc a été effectué par spectrométrie d'émission au plasma d'argon (Tableau 6). En 1984-85, l'échantillonnage a continué à être effectué à la fois par des techniciens (méthode 300135) et par des observateurs (300137). Le seuil rapporté est de 10 µg/L dans les deux cas. L'analyse précédente techniciens - observateurs avait révélé qu'en moyenne, sur les 31 stations, les mesures de concentration de zinc étaient plus élevées avec les observateurs qu'avec les techniciens. L'examen des diagrammes en boites obtenues pour les deux méthodes confirme qu'en ce qui concerne les huit stations choisies (Figures 35 à 42), la dispersion est plus grande avec la méthode 300137. Cette plus grande dispersion pourrait également s'expliquer par de la contamination introduite lors des manipulations par les observateurs.

À compter de 1986, on poursuit la mesure du zinc avec une seule méthode, soit la méthode 300137. Le seuil de détection est de 10  $\mu$ g/L. L'échantillonnage y est effectué par des observateurs, sauf en période estivale au cours de laquelle s'ajoutent des tournées de techniciens. L'acidification se fait dans un délai standard entre 24 et 72 heures. Au cours de la période 1986-90, on observe que les concentrations se situent généralement au seuil de détection avec une fréquence accrue (par rapport aux séries précédentes) de pics de concentration très prononcés. (Figures B.33 à B.40). Ces pics de concentration pourraient s'expliquer par une augmentation de la pollution sur les huit cours d'eau choisis. Cependant, en raison des problèmes de contamination soulevés précédemment, il est plus que probable que ces pics de concentration soient plutôt le reflet de contaminations introduites par les manipulations. En effet le zinc est un élément omniprésent dans la nature et la moindre manipulation ou négligence peut introduire de la contamination.

On retient donc pour le *zinc* les points suivants:

 l'incertitude sur les méthodes de dosage et les nombreux seuils de détection des méthodes avant 1981 nous empêchent d'accorder une fiabilité aux mesures de concentration de zinc avant cette période;

- la mesure du zinc est extrêmement sensible aux effets de contamination;
- on a des indications que la méthodologie d'échantillonnage par des observateurs introduit de la contamination dans les échantillons;
- comme pour le plomb, l'information valable qui se dégage de cet examen est très mince.

## CONCLUSION

Afin de résumer l'information tirée de l'examen des mesures des métaux lourds (Al, Cu, Fe, Pb, Zn), on présente un tableau synthèse (Tableau 10) du niveau de fiabilité accordée à chacune des méthodes. Les méthodes ont été classées selon trois catégories: bon, douteux ou mauvais. Ces codes ont été alloués en fonction de l'information disponible sur la méthode analytique, sur le protocole d'échantillonnage et en grande partie sur la concordance des valeurs obtenues d'une méthode à une autre. Ce jugement est en grande partie subjectif et plutôt conservateur en ce sens qu'on a préféré classer certaines méthodes comme douteuses au lieu de mauvaises en raison du manque d'informations supplémentaires.

On retient de cet exercice que l'échantillonnage effectué par des observateurs en place introduit une source additionnelle de variabilité en ce qui concerne les concentrations de cuivre, de plomb et de zinc. Cette variabilité additionnelle est cependant à peine visible au niveau de chaque station prise individuellement.

Les résultats d'aluminium et de fer dans leur ensemble (depuis 1985 pour l'aluminium non filtré et 1982 pour le fer) apparaissent fiables et peuvent donc servir à des interprétations du milieu. La mesure systématique de ces métaux peut être poursuivie avec la méthodologie actuelle.

Le cuivre, le plomb et le zinc sont des éléments difficiles à mesurer en raison des précautions particulières qu'il faut apporter généralement au protocole d'échantillonnage et de mesure. Une grande variabilité (principalement des pics élevés de concentration) est observée pour ces métaux et semble attribuable aux méthodes d'échantillonnage et de manipulation plutôt qu'à des erreurs d'ordre analytique. À l'exception du cuivre depuis 1988, toutes les valeurs mesurées de ces métaux ont été jugées douteuses ou mauvaises. Dans l'hypothèse où on voudrait poursuivre la mesure systématique de ces métaux dans l'eau des rivières, il faudra adopter un plus grand contrôle de toutes les étapes de manipulation des échantillons, afin de

diminuer les risques de contamination pour ces métaux. On pourrait aussi utiliser la technique du prélèvement de grands volumes d'eau et de concentration par extraction afin de diminuer l'importance des contaminations possibles.

Afin de caractériser un bassin versant selon les teneurs en métaux lourds dans l'eau, on pourrait abandonner la mesure systématique en un point du bassin et procéder à des campagnes spéciales intensives d'échantillonnage en apportant un grand soin à éliminer toutes les sources de contamination possible lors des différentes étapes de manipulation des échantillons. À cet effet, il serait bon de consulter le protocole établi récemment par l'agence américaine USGS pour la surveillance des teneurs en métaux de certains cours d'eau.

Par ailleurs, afin d'assurer une surveillance de la contamination des milieux aquatiques en métaux lourds, on pourrait envisager la mesure de ces métaux chez des bioindicateurs (ex.: moules, mousses aquatiques, ...) qui ont la propriété d'intégrer les teneurs en métaux sur de longues périodes.

#### **BIBLIOGRAPHIE**

FLEGAL, R.A. et K.H. COALE (1989).

Trends in lead concentrations in major U.S. rivers and their relation to historical changes in gasoline-lead consumption. Water Resour. Bulletin, 25: 1275-1277.

HOROWITZ, A.J., K.A. ELRICK et M.R. COLBERG (1992).

The effect of membrane filtration artifacts on dissolved trace element concentrations. Water Res. **26**: 753-763.

TUKEY, J.W. (1977).

Exploratory data analysis. Addison-Wesley, Reading, Ma., 688 p.

SIEGEL, S. (1956).

Nonparametric statistics for the behavioral sciences. Mcgraw-Hill, New-York, 312 p.

WINDOM, H.L., J.T. BYRD, R.G. SMITH, Jr et F. HUAN (1991).

Inadequacy of NASQUAN data for assessing metal trends in the nation's rivers. Environ. Sci. Technol. 25: 1137-1142.

Tableau 1. Stations d'échantillonnage des métaux lourds

Numéro d'ordre	Numéro BQMA	description de la station
1	01150003	Matapédia au pont Mercier à Matapédia
2	02340006	Chaudière au pont en amont de la Drolet au sud-ouest de Saint-Ludger
3	02400004	Bécancour au pont-route 132 à Bécancour
4	03010008	Nicolet au pont-route 226 à Sainte-Monique
5	03020031	Saint-François au pont-route 132 à Pierreville
6	03020037	Magog au pont-route 55 à l'est de Magog
7	03030023	Yamaska au pont-route à Yamaska
8	03030031	Yamaska sud-est à 3,2 km de son embouchure avec la Yamaska à l'est de Farnham
9	03040009	Richelieu à l'usine de filtration de Sorel
10	03040012	Richelieu au pont du CN à l'est de Lacolle
11	03040015	Aux Brochets au pont-route 133 à Pike River
12	03090001	Chateauguay au pont-route 205 au nord de Sainte-Martine
13	03090005	Chateauguay à 1,6 km en aval du pont de Powerscourt
14	04010002	Du Nord au pont-route 344 à Saint-André-Est
15	04080003	Gatineau au pont-route en amont du ruisseau Chelsea au nord de Gatineau
16	04080005	Gatineau au pont-route 107 à Maniwaki
17	04310002	Des Outaouais au barrage de Carillon
18	04310008	Des Outaouais au barrage Chenaux à Portage-du-Fort
19	04310010	Des Outaouais au pont-route 101 à Notre-Dame-du-Nord
20	04310011	Des Outaouais à la traverse de Masson
21	05010007	Saint-Maurice à l'usine de filtration de Trois-Rivières
22	05010013	Saint-Maurice au barrage de La Tuque
23	05080006	Jacques-Cartier au pont-route à l'embouchure à Donnaconna
24	05220003	L'Assomption au pont-route à Le Gardeur
25	05220004	L'Assomption au pont-route à 0,6 km en amont de la Ouareau à l'est de Crabtree
26	05220005	De l'Achigan au pont-route à 1 km de son embouchure à l'est de l'Épiphanie
27	05220012	Ouareau au pont-route à 1,9 km de son embouchure à l'est de Crabtree
28	06290002	Saguenay au pont-route à Chicoutimi
29	07100001	Aux-Outardes à la centrale Outardes-2 à Chûte-aux-Outardes
30	07110001	Manicouagan au pont-route 138 à l'ouest de Hauterive
31	07230003	Moisie au pont-route 138 au nord de Moisie

Tableau 2. Méthodes de préservation et de mesure de l'aluminium

Numéro <sup>1</sup>	Préservation <sup>2</sup>	Méthode analytique	Période
130110(T)	Conservation à 4°C. Filtration <sup>3</sup> avant 24 heures au laboratoire. Acidification <sup>4</sup> du filtrat.	Dosage par spectrophométrie d'absorption atomique sans flamme (four au graphite).	82-08-16 83-11-17
130113(T)	Conservation à 4°C. Acidification <sup>4</sup> immédiatement après l'échantillonnage. Ajout de HNO <sub>3</sub> comme anti-ionisant. Filtration occasionnelle.	Dosage par absorption atomique avec une aspiration directe de l'échantillon dans une flamme oxyde nitreux-acétylène	82-03-29 83-11-17
130132(T)	Conservation à 4°C. Filtration <sup>3</sup> avant 24 heures au laboratoire. Acidification <sup>4</sup> du filtrat.	Dosage par spectrométrie d'émission au plasma d'argon (ICPA). Modèle Gas-Jarrel-Ash.	84-01-30 86-02-20
130135(T)	Conservation à 4°C. Acidification <sup>4</sup> immédiatement après l'échantillonnage.	Dosage par spectrométrie d'émission au plasma d'argon.	84-01-30 86-02-20
130137(OT	Conservation à 4°C. Acheminé au labora- toire dans un délai de 24 à 72 heures, puis acidification <sup>4</sup> .	Dosage par spectrométrie d'émission au plasma d'argon.	88-06-18 90-11-12

Échantillons prélevés par un technicien (T) ou par un observateur (O).

Le temps limite de conservation est de six mois pour toutes les méthodes de préservation.

La filtration est effectuée sur un filtre de 0,45  $\mu$ m.

Les échantillons d'eau sont acidifiés avec 0,5 ml/125 ml d'acide nitrique 8N.

Tableau 3. Méthodes de préservation et de mesure du cuivre

Numéro <sup>1</sup>	Préservation <sup>1</sup>	Méthode analytique	Période
290101(T)	Conservation à 4°C. Acidification <sup>4</sup> immédiatement après l'échantillonnage.	Durant cette période, le cuivre a pu être dosé selon deux méthodes: <u>Méthode 1</u> Prétraitement: chélation, extraction automatisée à l'APDCMIBK. Dosage par	79-02-05 81-05-04
290103(0)	Congélation, puis conservation à 4°C au laboratoire. Acidification <sup>4</sup> à pH <2 dans un délai de cinq jours.	absorption atomique avec une aspiration directe de l'échantillon dans une flamme air-acétylène  Méthode 2  Dosage par spectrophotométrie d'absorption atomique sans flamme (four au graphite).	79-06-10 81-04-05
290108(O)	Conservation à 4°C. Filtration <sup>3</sup> et acidification <sup>4</sup> immédiatement après l'échantillonnage.	Dosage par spectrométrie d'émission au plasma d'argon.	84-07-02 84-10-21
290110(T)	Conservation à 4°C. Filtration <sup>3</sup> avant 24 heures au laboratoire. Acidification <sup>4</sup> du filtrat.	Dosage par spectrométrie d'émission au plasma d'argon.	84-07-17 84-09-19
290115(0)	Congélation, puis conservation à 4°C au laboratoire. Acidification <sup>4</sup> à pH <2 dans un délai de cinq jours.	Dosage par spectrophotométrie d'absorption atomique sans flamme (four au graphite).	81-05-02 81-12-14
290121(T)	Conservation à 4°C. Acidification <sup>4</sup> immédiatement après l'échantillonnage.	Dosage par spectrophotométrie d'absorption atomique sans flamme (four au graphite).	81-05-05 81-12-14
290123(0)	Conservation à 4°C. Acheminé au laboratoire dans un délai de 24 à 72 heures, puis acidification <sup>4</sup> .	Dosage par absorption atomique avec une aspiration directe de l'échantillon dans une flamme air-acétylène.	82-03-07 83-12-12
290129(0)	Congélation, puis conservation à $4^{\circ}$ C au laboratoire. Acidification <sup>4</sup> à pH < 2 dans un délai de cinq jours.	Dosage par absorption atomique avec une aspiration directe de l'échantillon dans une flamme air-acétylène.	82-01-03 82-03-08
290135(T)	Conservation à 4°C. Acidification <sup>4</sup> immédiatement après l'échantillonnage.	Dosage par absorption atomique avec une aspiration directe de l'échantillon dans une flamme air-acétylène.	82-03-29 83-11-17
290145(T)	Conservation à 4°C. Acidification <sup>4</sup> immédiatement après l'échantillonnage.	Dosage par spectrométrie d'émission au plasma d'argon.	84-01-30 86-02-20
290147(OT)	Conservation à 4°C. Acheminé au laboratoire dans un délai de 24 à 72 heures, puis acidification <sup>4</sup> .	Dosage par spectrométrie d'émission au plasma d'argon.	84-01-08 90-11-12

Échantillons prélevés par un technicien (T) ou par un observateur (O).

Le temps limite de conservation est de six mois pour toutes les méthodes de préservation.

La filtration est effectuée sur un filtre de 0,45  $\mu$ m.

Les échantillons d'eau sont acidifiés avec 0,5 ml/125 ml d'acide nitrique 8N.

Tableau 4. Méthodes de préservation et de mesure du fer

Numéro <sup>1</sup>	Préservation <sup>1</sup>	Méthode analytique	Période
260101(T)	Conservation à 4°C. Acidification <sup>4</sup> immédiatement après l'échantillonnage.	Dosage par absorption atomique avec une aspiration directe de l'échantillon dans une flamme air-acétylène.	79-02-05 83-11-17
260102(T)	Conservation à 4°C. Acidification <sup>4</sup> à pH $< 2$ . Filtration <sup>3</sup> sur GF/1,2 $\mu$ m.	Dosage par absorption atomique avec une aspiration directe de l'échantillon dans une flamme air-acétylène.	79-02-05 79-03-08
260117(O)	Congélation, puis conservation à $4^{\circ}$ C au laboratoire. Acidification <sup>4</sup> à pH < 2 dans un délai de cinq jours.	Dosage par absorption atomique avec une aspiration directe de l'échantillon dans une flamme air-acétylène.	79-01-07 82-03-08
260125(0)	Conservation à 4°C. Acheminé au laboratoire dans un délai de 24 à 72 heures, puis acidification <sup>4</sup> .	Dosage par absorption atomique avec une aspiration directe de l'échantillon dans une flamme air-acétylène.	82-03-07 83-12-12
260139(OT)	Conservation à 4°C. Acheminé au laboratoire dans un délai de 24 à 72 heures, puis acidification <sup>4</sup> .	Dosage par spectrométrie d'émission au plasma d'argon	84-01-08 90-11-12
260141(T)	Conservation à 4°C. Acidification <sup>4</sup> immédiatement après l'échantillonnage.	Dosage par spectrométrie d'émission au plasma d'argon.	84-01-30 86-02-20

Échantillons prélevés par un technicien (T) ou par un observateur (O).

Le temps limite de conservation est de six mois pour toutes les méthodes de préservation.

La filtration est effectuée sur un filtre de 0,45  $\mu$ m.

Les échantillons d'eau sont acidifiés avec 0,5 ml/125 ml d'acide nitrique 8N.

Tableau 5. Méthodes de préservation et de mesure du plomb

Numéro <sup>1</sup>	Préservation <sup>1</sup>	Méthode analytique	Période
820101(T)	Conservation à 4°C. Acidification <sup>4</sup> immédiatement après l'échantillonnage.	Durant cette période, le plomb a pu être dosé selon deux méthodes: <u>Méthode 1</u> Prétraitement: chélation, extraction automatisée à l'APDCMIBK. Dosage par absorption atomique avec une aspira-	79-02-05 81-04-28
820103(0)	Congélation, puis conservation à $4^{\circ}$ C au laboratoire. Acidification <sup>4</sup> à pH < 2 dans un délai de cinq jours.	tion directe de l'échantillon dans une flamme air-acétylène.  Méthode 2  Dosage par spectrophotométrie d'absorption atomique sans flamme (four au graphite).	79-06-10 81-04-05
820108(O)	Conservation à 4°C. Filtration³ et acidification⁴ immédiatement après l'échantillonnage.	Dosage par spectrométrie d'émission au plasma d'argon.	84-07-02 84-10-21
820110(T)	Conservation à 4°C. Filtration <sup>3</sup> avant 24 heures au laboratoire. Acidification <sup>4</sup> du filtrat.	Dosage par spectrométrie d'émission au plasma d'argon.	84-07-17 84-09-19
820113(O)	Congélation, puis conservation à 4°C au laboratoire. Acidification <sup>4</sup> à pH <2 dans un délai de cinq jours.	Dosage par spectrophotométrie d'absorption atomique sans flamme (four au graphite).	81-05-02 82-02-08
820117(O)	Conservation à 4°C. Acidification <sup>4</sup> immédiatement après l'échantillonnage.	Dosage par spectrophotométrie d'absorption atomique sans flamme (four au graphite).	82-11-15 82-11-15
820119(T)	Conservation à 4°C. Acidification <sup>4</sup> immédiatement après l'échantillonnage.	Dosage par spectrophotométrie d'absorption atomique sans flamme (four au graphite).	81-04-14 84-02-16
820121(O)	Conservation à 4°C. Acheminé au laboratoire dans un délai de 24 à 72 heures, puis acidification <sup>4</sup> .	Dosage par spectrophotométrie d'absorption atomique sans flamme (four au graphite).	82-05-23 83-12-12
820131(OT)	Conservation à 4°C. Acheminé au laboratoire dans un délai de 24 à 72 heures, puis acidification <sup>4</sup> .	Dosage par spectrométrie d'émission au plasma d'argon.	84-01-08 90-11-12
820133(T)	Conservation à 4°C. Acidification <sup>4</sup> immédiatement après l'échantillonnage.	Dosage par spectrométrie d'émission au plasma d'argon.	84-04-16 86-02-20

Échantillons prélevés par un technicien (T) ou par un observateur (O).

Le temps limite de conservation est de six mois pour toutes les méthodes de préservation.

La filtration est effectuée sur un filtre de 0,45  $\mu$ m.

Les échantillons d'eau sont acidifiés avec 0,5 ml/125 ml d'acide nitrique 8N.

Tableau 6. Méthodes de préservation et de mesure du zinc

Numéro <sup>1</sup>	Préservation <sup>1</sup>	Méthode analytique	Période
300101(T)	Conservation à 4°C. Acidification <sup>4</sup> immédiatement après l'échantillonnage.	Durant cette période, le zinc a pu 79-02-0 être dosé selon deux méthodes:  Méthode 1  Prétraitement: chélation, extraction automatisée à l'APDCMIBK. Dosage par absorption atomique avec une aspira-	81-04-28
300103(0)	Congélation, puis conservation à 4°C au laboratoire. Acidification <sup>4</sup> à pH <2 dans un délai de cinq jours.	tion directe de l'échantillon dans une flamme air-acétylène.  Méthode 2  Dosage par spectrophotométrie d'absorption atomique sans flamme (four au graphite).	79-06-10 81-04-05
300108(O)	Conservation à 4°C. Filtration <sup>3</sup> et acidification <sup>4</sup> immédiatement après l'échantillonnage.	Dosage par spectrométrie d'émission au plasma d'argon.	84-07-02 84-10-21
300110(T)	Conservation à 4°C. Filtration <sup>3</sup> avant 24 heures au laboratoire. Acidification <sup>4</sup> du filtrat.	Dosage par spectrométrie d'émission au plasma d'argon.	84-07-17 84-09-19
300113(0)	Congélation, puis conservation à 4°C au laboratoire. Acidification <sup>4</sup> à pH <2 dans un délai de cinq jours.	Dosage par absorption atomique avec aspiration directe de l'échantillon dans une flamme air-acétylène.	81-05-02 82-03-08
300119(T)	Conservation à 4°C. Acidification <sup>4</sup> immédiatement après l'échantillonnage.	Dosage par absorption atomique avec aspiration directe de l'échantillon dans une flamme air-acétylène.	81-04-23 83-11-17
300121(0)	Conservation à 4°C. Acheminé au laboratoire dans un délai de 24 à 72 heures, puis acidification <sup>4</sup> .	Dosage par absorption atomique avec aspiration directe de l'échantillon dans une flamme air-acétylène.	82-03-0 <b>7</b> 83-12-12
300135(T)	Conservation à 4°C. Acidification <sup>4</sup> immédiatement après l'échantillonnage.	Dosage par spectrométrie d'émission au plasma d'argon.	84-01-30 86-02-20
300137(OT)	Conservation à 4°C. Acheminé au laboratoire dans un délai de 24 à 72 heures, puis acidification <sup>4</sup> .	Dosage par spectrométrie d'émission au plasma d'argon.	84-01-08 90-11-12

Échantillons prélevés par un technicien (T) ou par un observateur (O).

Le temps limite de conservation est de six mois pour toutes les méthodes de préservation.

La filtration est effectuée sur un filtre de 0,45  $\mu$ m.

Les échantillons d'eau sont acidifiés avec 0,5 ml/125 ml d'acide nitrique 8N.

Tableau 7. Données qui ont servi à la comparaison observateurs - techniciens

		CUIVRE		FER					PLC	ОМВ		ZINC					
10	STAT	NBO	NBT	MOBS (µg/L)	MTEC (µg/L)	NBO	NBT	MOBS (mg/L)	MTEC (mg/L)	NBO	NBT	MOBS (µg/L)	MTEC (µg/L)	NBO	NBT	MOBS (µg/L)	MTEC (µg/L)
1	1150003	23	9	13.3	3.83	23	8	0.05	0.04	23	9	13.37	8.61	23	9	28.48	5.56
2	2340006	25	9	5.52	5.61	25	8	0.13	0.26	25	9	7.44	8.17	25	9	5.4	5.56
3	2400004	25	7	5.76	4.67	25	8	0.47	0.52	24	9	7.48	6.78	25	9	77	8.89
4	3010008	24	10	4.31	4.94	24	8	0.37	0.5	24	. 9	68.33	6.78	24	9	17.08	10.56
5	3020031	25	9	382.38		25	8	0.45	0.34	25	9	8.06	6.78	25	9	37.12	11.67
6	3020037	18	8	3.42	5.56	18	7 :	0.12	0.09	.18	8	7.14	10.56	18	8	5.83	5.63
7	3030023	19	9	53.63	8.5	19	8	0.51	0.58	19	9	8.95	6.78	19	9	12.63	7.78
8	3030031	23	9	7.72	7.72	23	8	0.67	0.64	23	9	13.35	7.94	23	9	16.3	9.44
9	3040009	25	9	33.64	27.17	25	8	0.21	0.16	25	9	7.3	6.89	25	9	6.6	7.22
10	3040012	25	9	3.68	3.67	25	8	0.04	0.06	25	9	8.14	7.44	25	9	5	8.33
11	3040015	25	9	4.86	4.67	25	8	0.36	0.42	25	9	10.1	6.89	25	9	7	9.44
12	3090001	23	9	4.2	4.72	23	8	0.31	0.36	23	9	131.1	6.78	23	9	10.43	10
13	3090005	25	9	3.66	3.28	25	8	0.06	0.06	25	9	6.98	8.39	25	9	8	7.22
14	4010002	17	9	10.09	5.89	17	8	0.44	0.44	17	9	9.29	6.89	17	9	10.59	8.33
15	4080003	30	9	3.68	3	26	8	0.24	0.21	30	9	8.83	11.06	30	9	8.5	5
16	4080005	23	9	4.2	4.33	23	8	0.5	0.23	23	9	10.57	10.39	23	9	8.48	7.78
17	4310002	26	9	5.35	6.22	23	8	0.26	0.26	26	9	63.08	6.78	26	9	5.77	8.89
18	4310008	29	9	19.79	5.28	25	8	0.24	0.18	29	9	7.38	7.61	29	9	5.69	5
19	4310010	29	9	33.24	6	26	8	0.36	0.28	29	9	7.95	23.24	29	9	21.45	14.44
20	4310011	28	9	4.32	5.44	25	8	0.21	0.21	28	9	7.27	13.33	28	9	9.29	7.78
21	5010007	21	9	41.09	35.89	21	8	0.35	0.35	21	9	8.21	6.78	21	9	10.24	5.56
22	5010013	20	9	17.25	3.83	20	8	0.3	0.33	20	9	10.03	7.94	20	9	13.25	5
23	5080006	23	9	5.72	3.39	23	8	0.37	0.37	23	9	9.87	6.78	23	9	6.96	6.11
24	5220003	18	9	5.53	6.33	18	8	0.6	0.64	18	9	9.08	11.44	18	9	12.78	20.56
25	5220004	26	9	18.46	5.11	26	8	0.42	0.51	26	9	13.71	11.33	26	9	31.92	25
26	5220005	25	9	6.06	4.67	25	8	0.51	0.5	24	9	18.98	14.17	25	9	13	17.22
27	5220012	26	9	23.25	4.94	26	8	0.39	0.36	26	9	9.96	6.78	26	9	19.23	11.67
28	6290002	26	9	4.9	3.75	26	8	0.21	0.22	26	9	42.21	16.17	26	9	8.65	5.56
29	7100001	24	9	6.35	4.44	24	8	0.13	0.12	24	9	15.21	8.61	24	9	8.96	5
30	7110001	24	9	4.65	3.44	24	8	0.11	0.1	24	9	22.38	24.56	24	9	14.38	5
31	7230003	22	9	5.25	7.89	22	8	0.42	0.2	22	9	35.84	8.78	22	9	23.41	6.67

NBO = Nombre de données pour les observateurs;

NBT = Nombre de données pour les techniciens;

MOBS = Concentrations movennes pour les observateurs;

MTEC = Concentrations movennes pour les techniciens.

Tableau 8. Résultats des tests de comparaison observateurs - techniciens par le test des rangs signés de Wilcoxon.

métal	nombre de valeurs	observateurs		techniciens	·	statistique du test	probabilité au dépassement
	comparées	nombre de diff. positives	rang moyen	nombre de diff positives	rang moyen	Z	%
cuivre	31	21	18.0952	9	9.4444	3.023	0,249**
fer	31	14	10.357	11	13.5	0,457	64,74
plomb	31	22	16,8636	9	13,8889	2,401	1,64*
zinc	31	24	17,125	7	12,1429	3,184	0,145**

différence significative au niveau de 1%; différence significative au niveau de 5%.

Tableau 9. Limites de détection analytique des métaux selon les méthodes de mesures

	Zn		Pb	Fe		Cu		Al	
seuil (µg/L)	méthode	seuil (µg/L)	méthode	seuil (mg/L)	méthode	seuil (µg/L)	méthode	seuil (mg/L)	méthode
 4	300101	15	820101	0,03	260101	2	290101	0,02	130110
5		20		0,05		4		0,05	130113
4	300103	15	820103	0,03	260102	2	290103	0,02	130132
5		20		0,03	260117	4		0,02	130135
10	300108	15	820108	0,05		5	290108	0,02	130137
10	300110	15	820110	0,02	260125	5	290110		
10	300113	5	820113	0,01	260139	2	290115		
20		2	820119	0,01	260141	2	290121		
30		5		·		5	290123		
10	300119	2	820121			5	290129		
30		15	820131			5	290135		
10	300121	15	820133			5	290145		
10	300135					5	290147		
10	300137								

Tableau 10. Synthèse des niveaux de fiabilité de méthodes de mesures

Al méthode fiabilité <sup>1</sup>		Cu		Fe		Pb		Zn		
		méthode² fial	bilité	méthode fiabilité		méthode fiabilité		méthode fiabilité		
130110	D	290101	M	260101	В	820101	M	300101	M	
130113	M	290103	Μ	260117	D	820103	M	300103	М	
130132	M	290115	D	260125	В	820113	D	300113	D	
130135	В	290123	D ·	260139	В	820119	D	300119	D	
130137	В	290135	D	260141	В	820121	D	300121	М	
		290145	D			820131	М	300135	D	
		290147(1)	M			820133	М	300137	М	
		290147(J)	В							

 $<sup>^{1}</sup>$ : code de fiabilité: B = bonne; D = douteuse; M = mauvaise;  $^{2}$ : (I) = de 1986 à 1988; (J) = de 1989 à 1990.

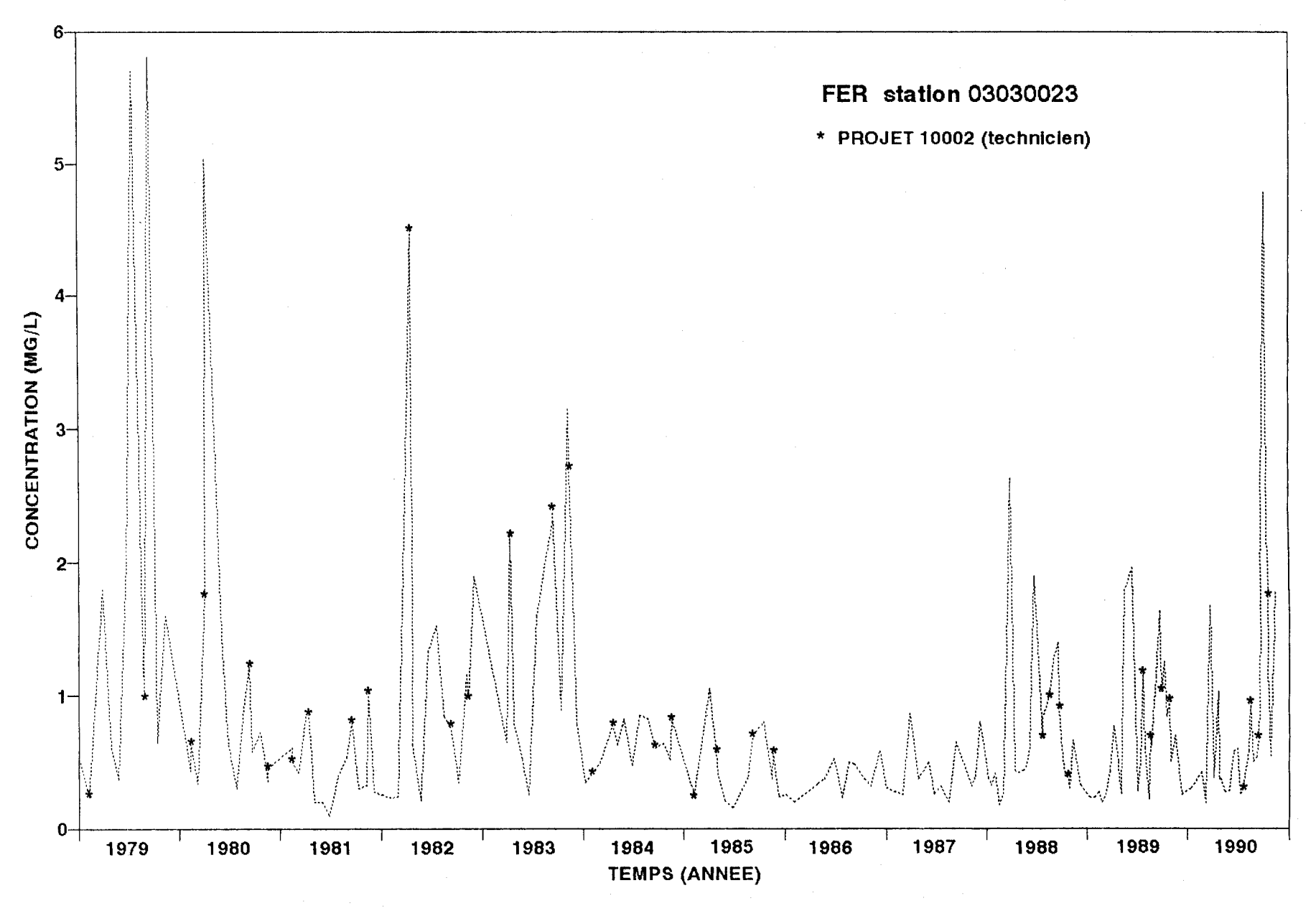


Figure 1. Évolution dans le temps des concentrations de fer à la station 03030023. On a indiqué par un astérisque lorsque les échantillons ont été prélevés par un technicien.

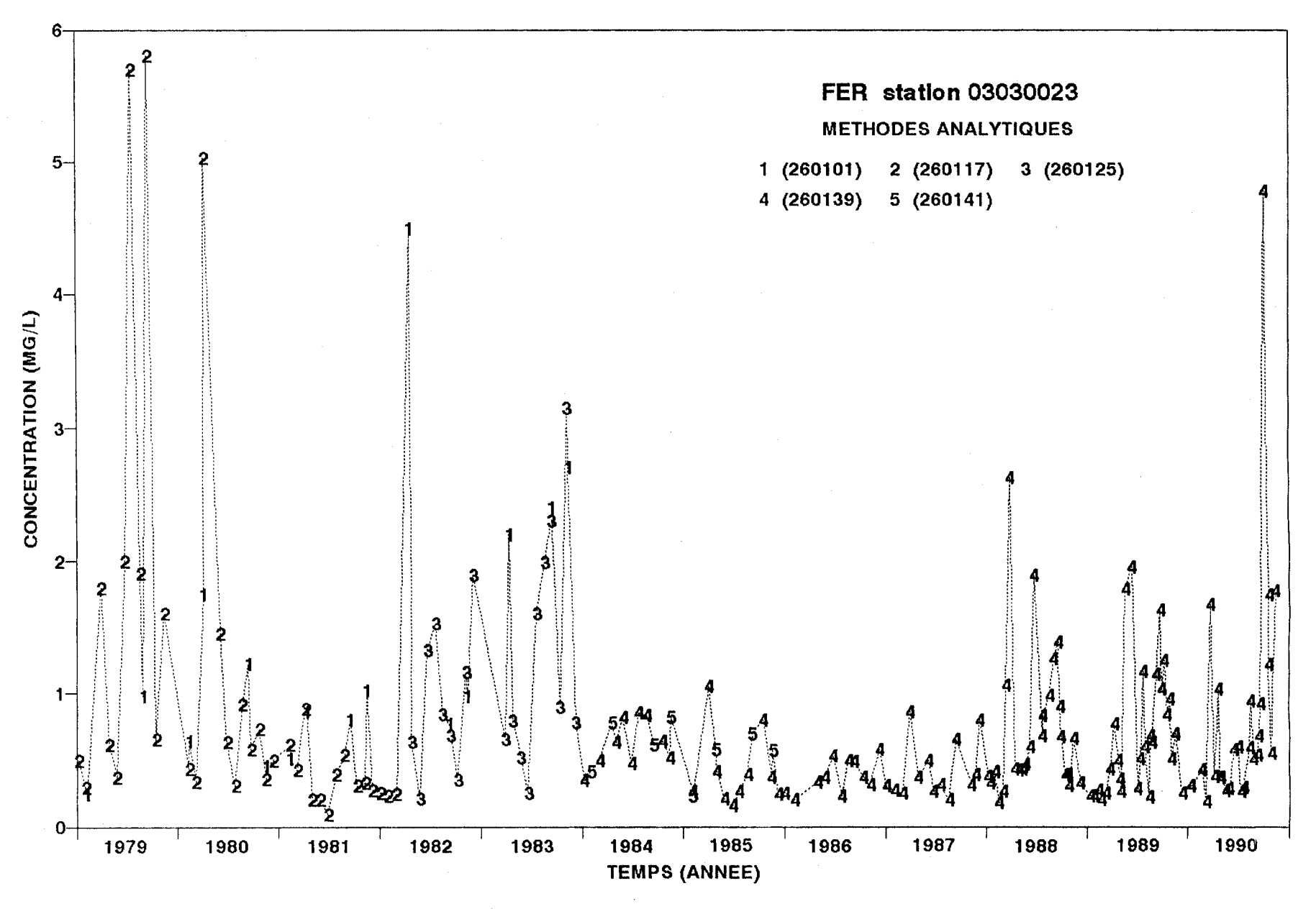


Figure 2. Évolution dans le temps des concentrations de fer à la station 03030023 selon les méthodes de mesure et de prélèvement.

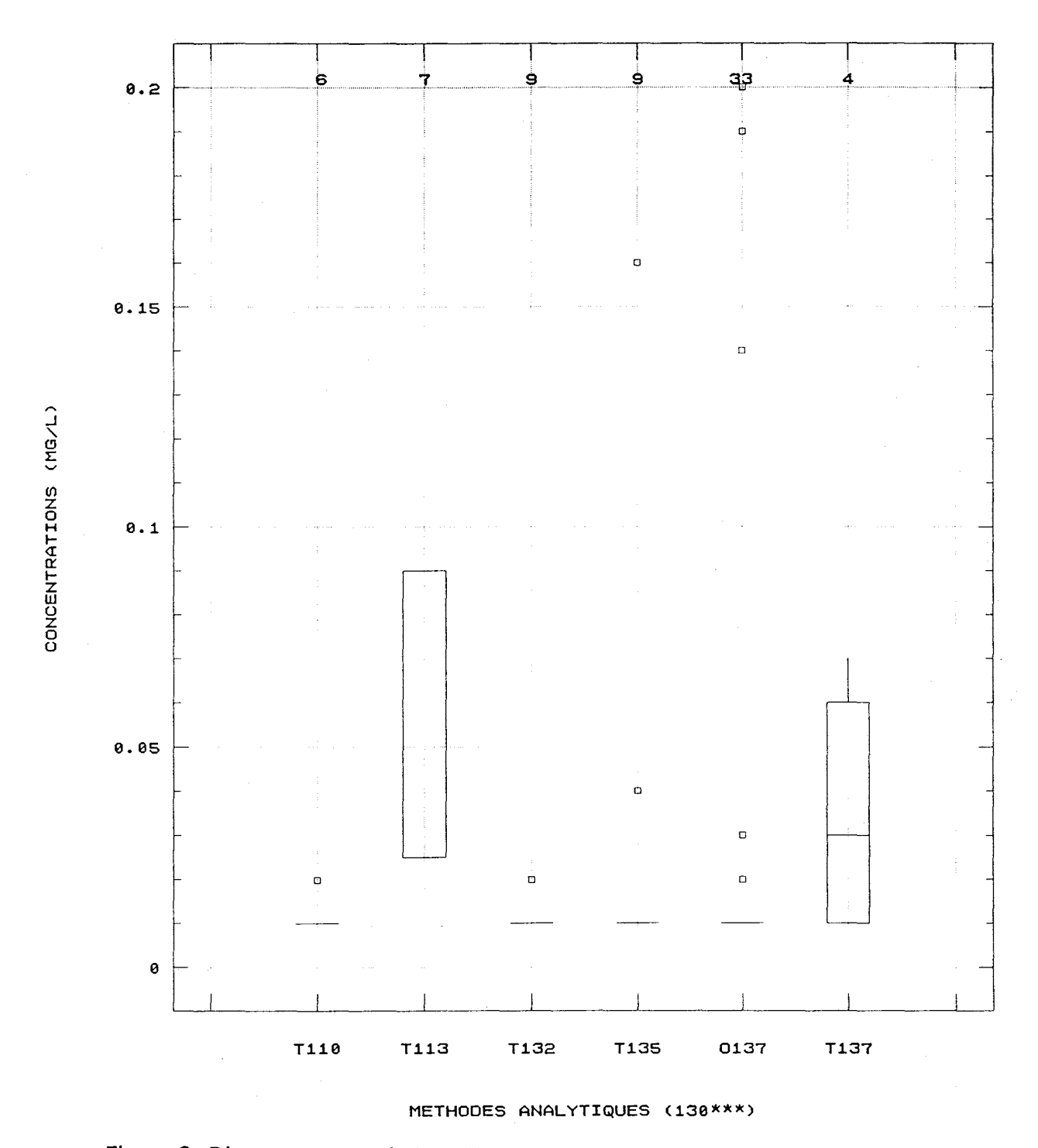


Figure 3. Diagrammes en boites illustrant la gamme des concentrations d'aluminium à la station 01150003 selon les méthodes de mesure et de préservation. On indique s'il s'agit d'échantillons prélevés par un technicien (T) ou par un observateur (O). Le nombre d'observations par méthode est indiqué en haut du graphique.

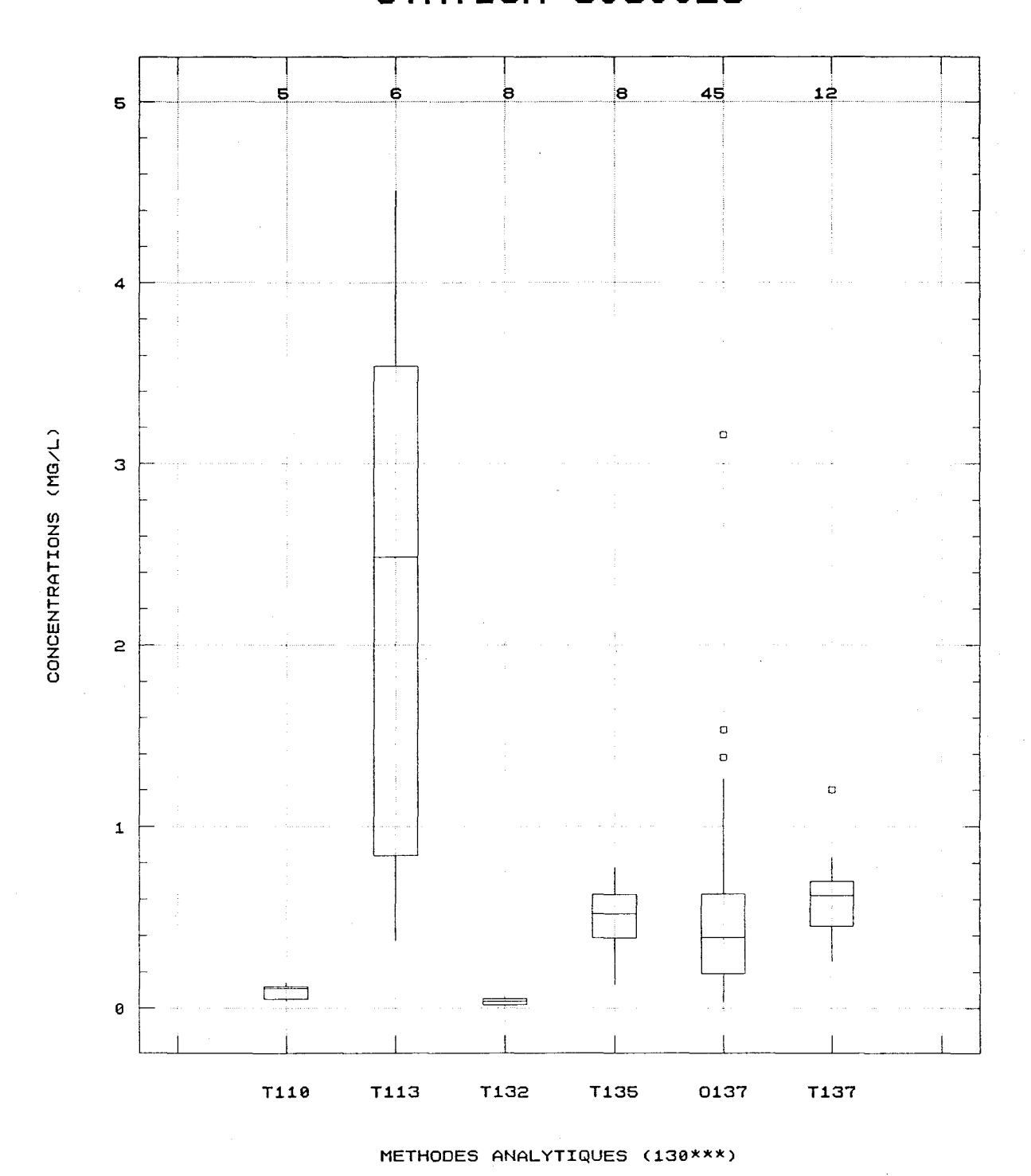


Figure 4. Diagrammes en boites illustrant la gamme des concentrations d'aluminium à la station 03030023 selon les méthodes de mesure et de préservation. On indique s'il s'agit d'échantillons prélevés par un technicien (T) ou par un observateur (O). Le nombre d'observations par méthode est indiqué en haut du graphique.

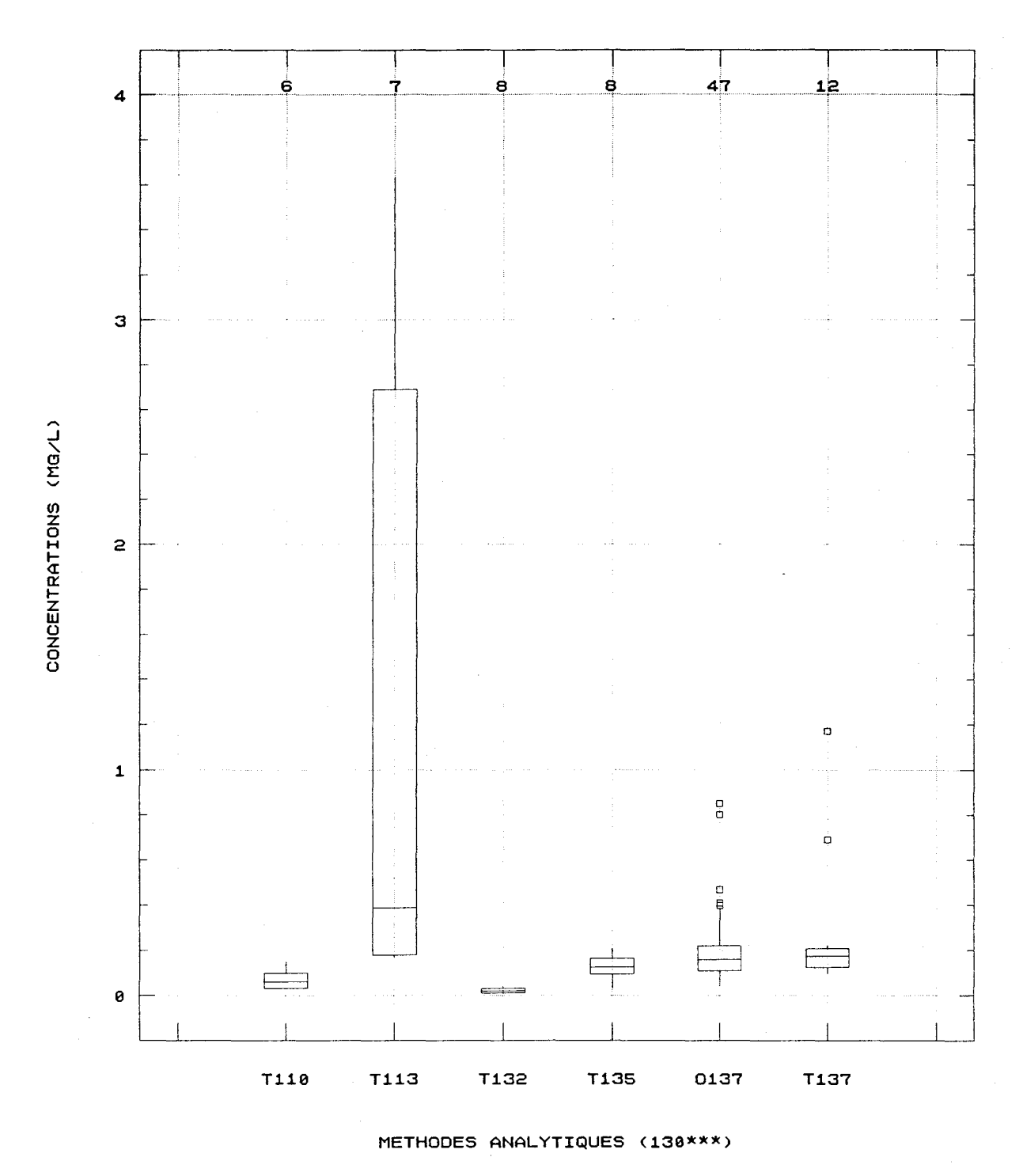


Figure 5. Diagrammes en boites illustrant la gamme des concentrations d'aluminium à la station 03040009 selon les méthodes de mesure et de préservation. On indique s'il s'agit d'échantillons prélevés par un technicien (T) ou par un observateur (O). Le nombre d'observations par méthode est indiqué en haut du graphique.

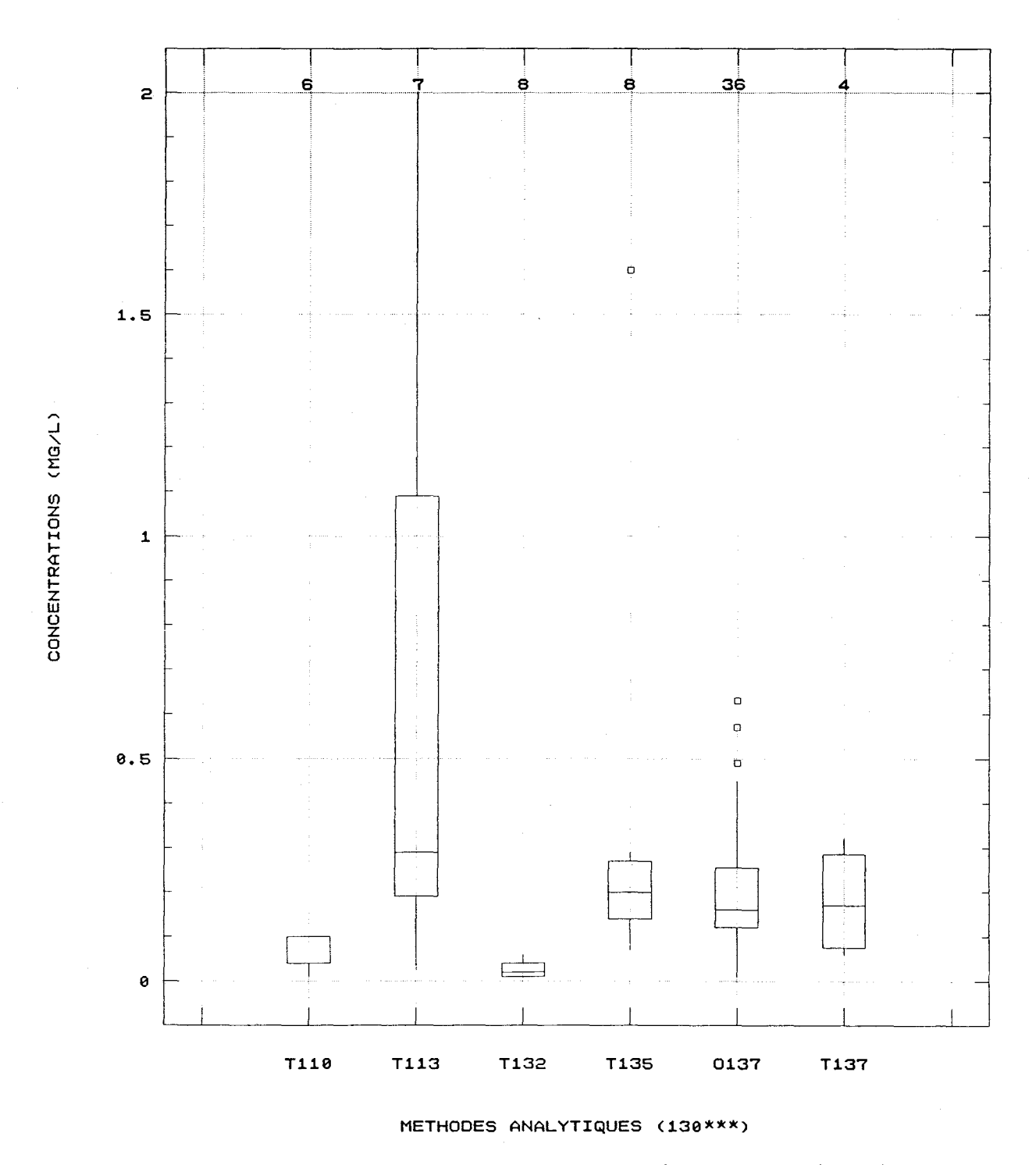


Figure 6. Diagrammes en boites illustrant la gamme des concentrations d'aluminium à la station 03090001 selon les méthodes de mesure et de préservation. On indique s'il s'agit d'échantillons prélevés par un technicien (T) ou par un observateur (O). Le nombre d'observations par méthode est indiqué en haut du graphique.

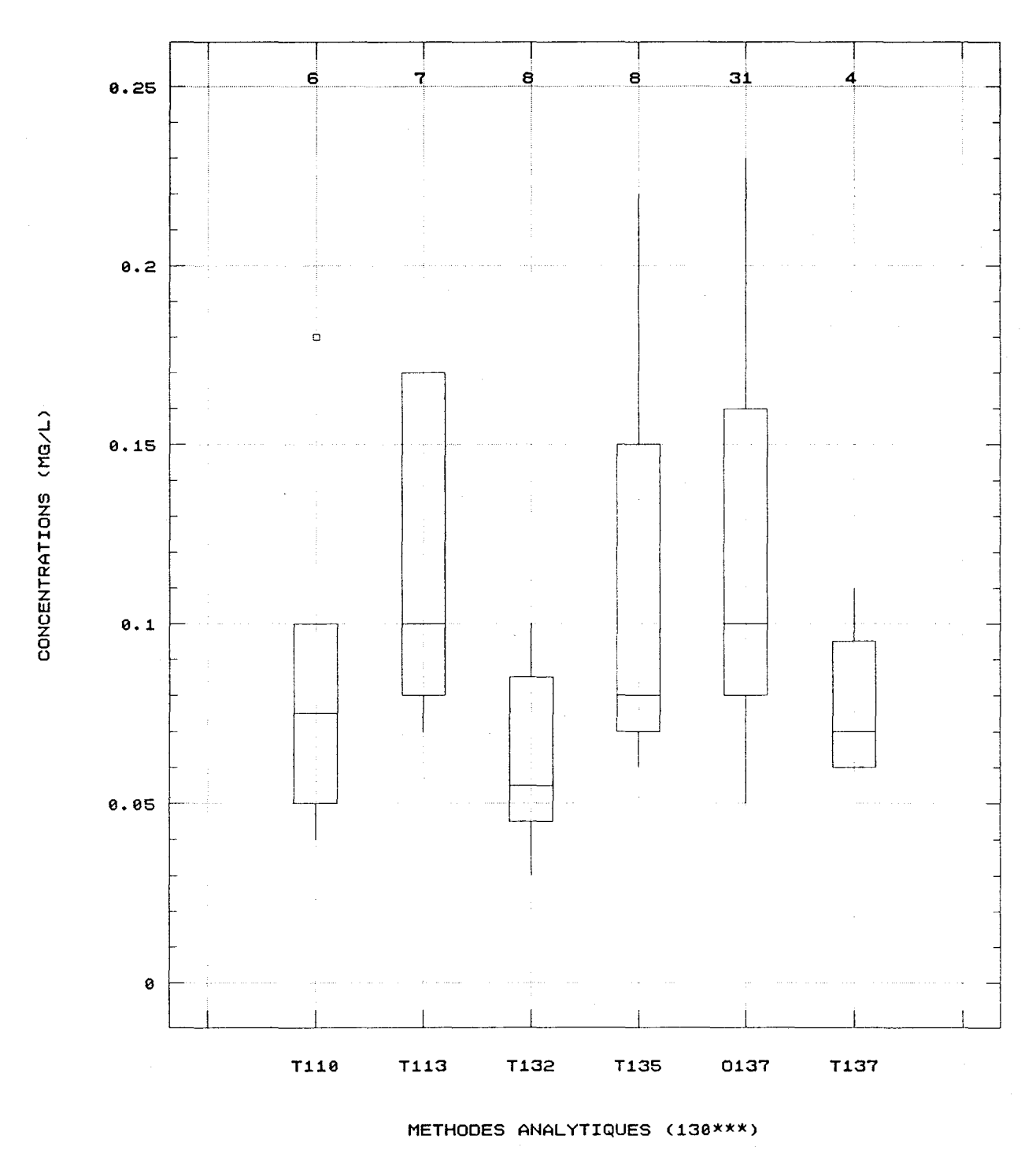


Figure 7. Diagrammes en boites illustrant la gamme des concentrations d'aluminium à la station 05010007 selon les méthodes de mesure et de préservation. On indique s'il s'agit d'échantillons prélevés par un technicien (T) ou par un observateur (O). Le nombre d'observations par méthode est indiqué en haut du graphique.

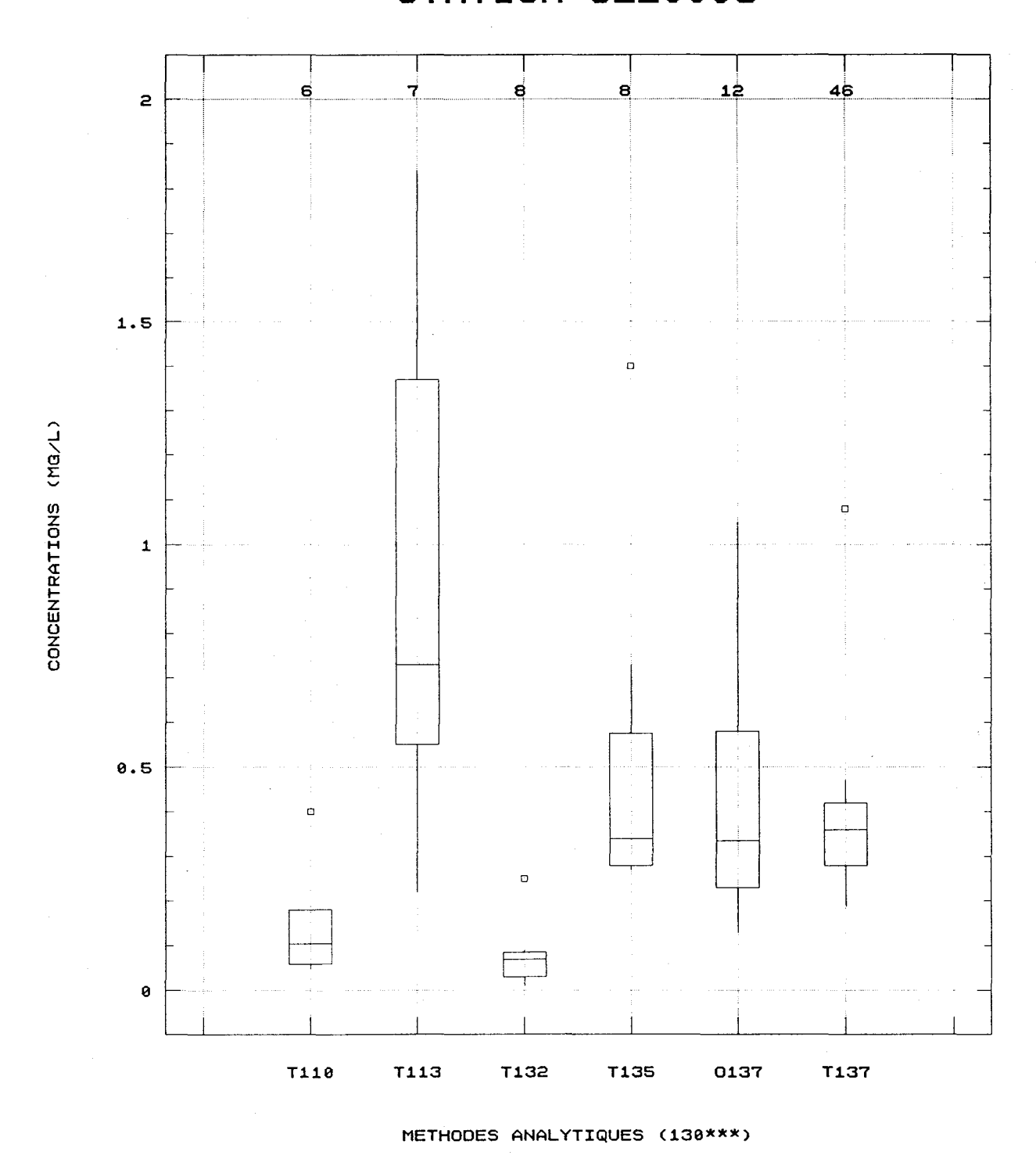


Figure 8. Diagrammes en boites illustrant la gamme des concentrations d'aluminium à la station 05220003 selon les méthodes de mesure et de préservation. On indique s'il s'agit d'échantillons prélevés par un technicien (T) ou par un observateur (O). Le nombre d'observations par méthode est indiqué en haut du graphique.

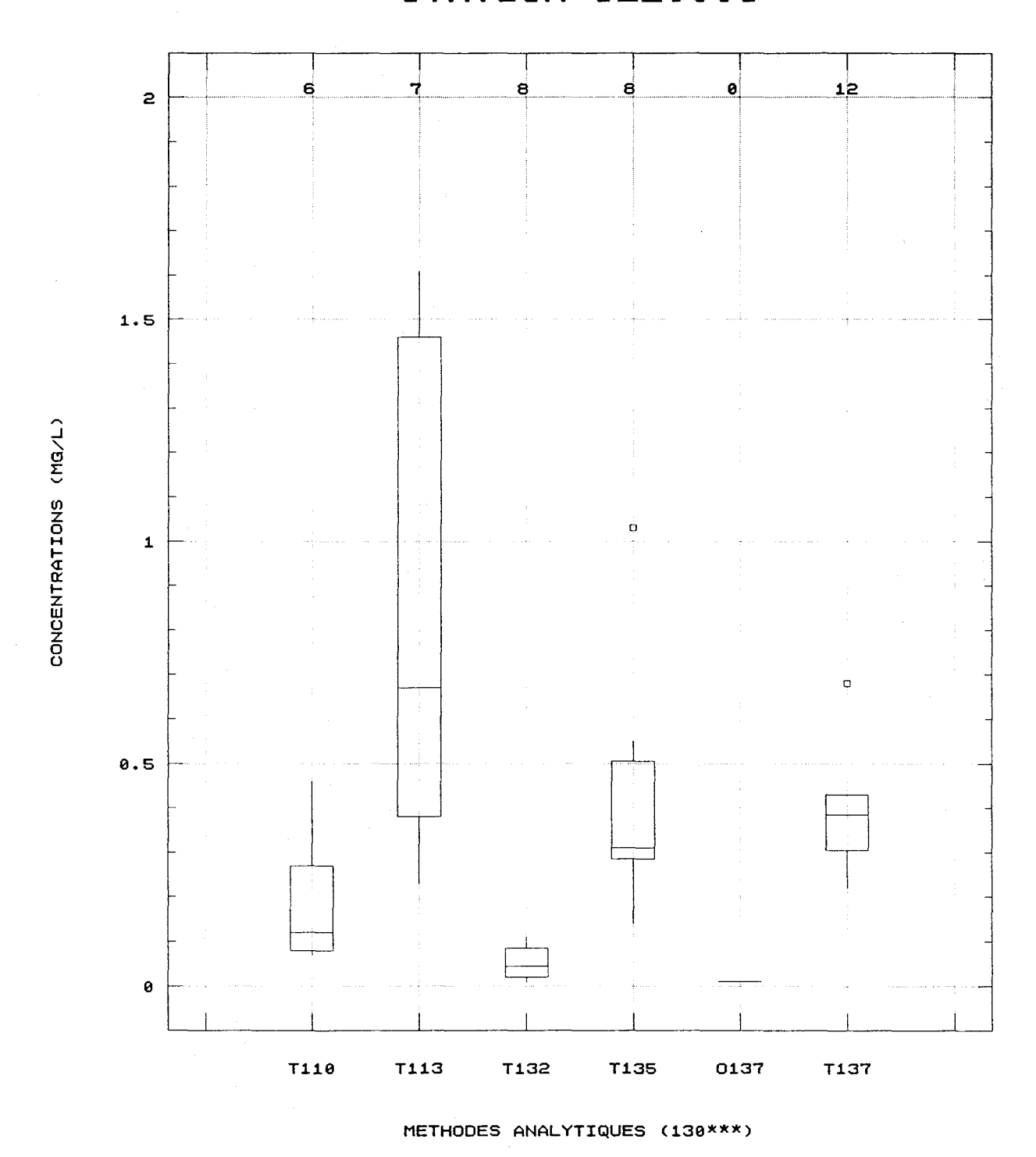


Figure 9. Diagrammes en boites illustrant la gamme des concentrations d'aluminium à la station 05220005 selon les méthodes de mesure et de préservation. On indique s'il s'agit d'échantillons prélevés par un technicien (T) ou par un observateur (O). Le nombre d'observations par méthode est indiqué en haut du graphique.

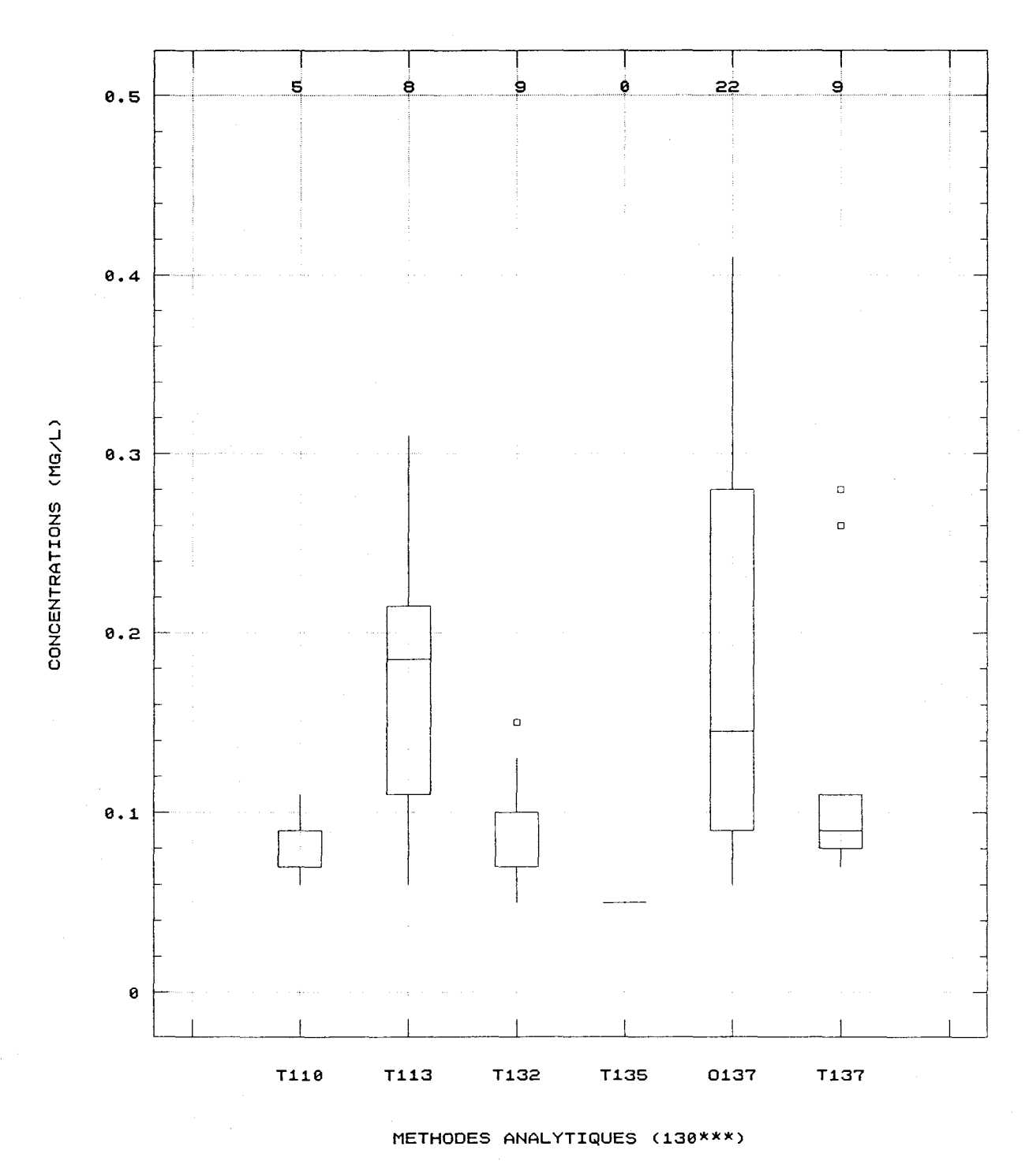


Figure 10. Diagrammes en boites illustrant la gamme des concentrations d'aluminium à la station 07230003 selon les méthodes de mesure et de préservation. On indique s'il s'agit d'échantillons prélevés par un technicien (T) ou par un observateur (O). Le nombre d'observations par méthode est indiqué en haut du graphique.

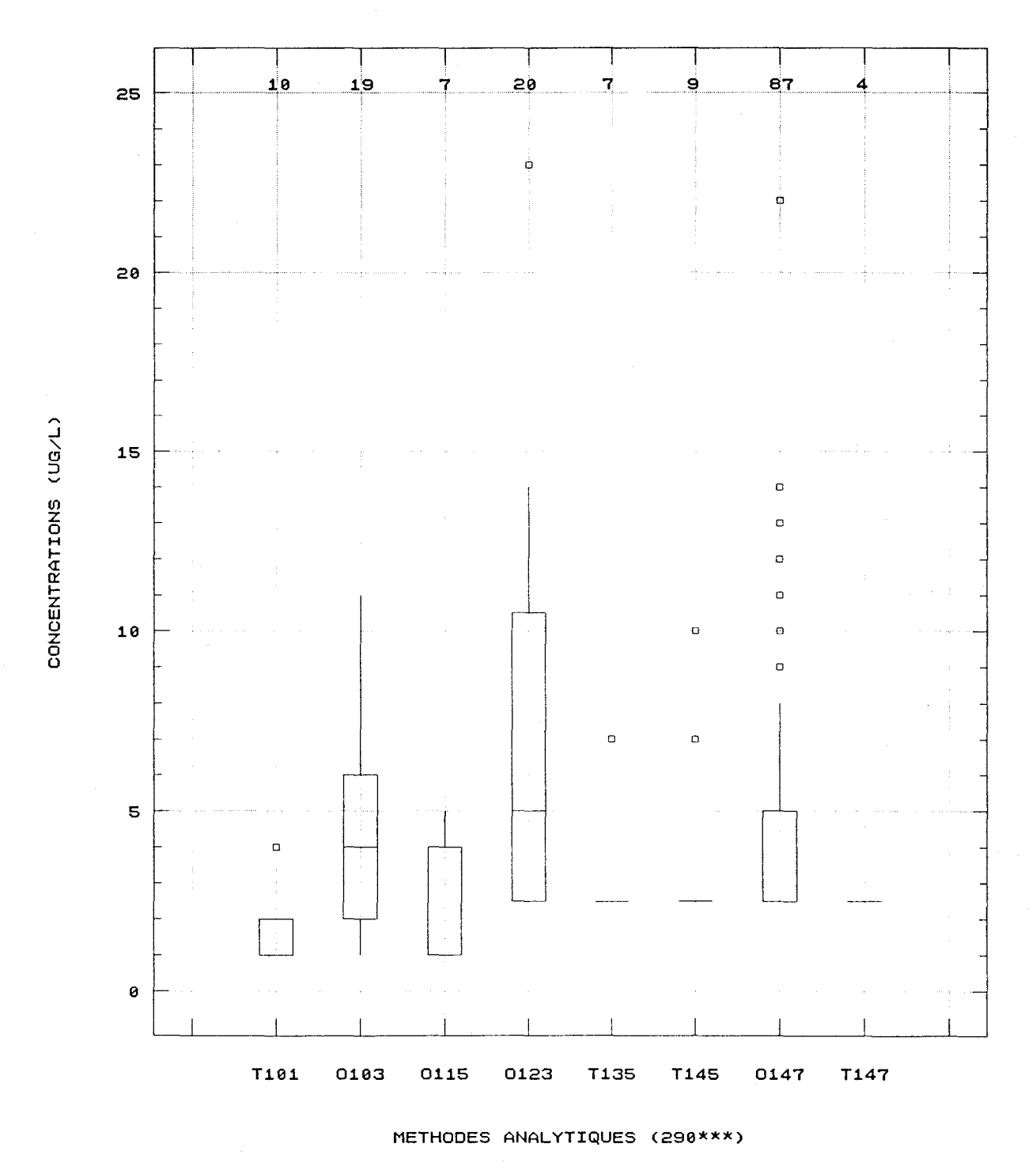


Figure 11. Diagrammes en boites illustrant la gamme des concentrations de cuivre à la station 01150003 selon les méthodes de mesure et de préservation. On indique s'il s'agit d'échantillons prélevés par un technicien (T) ou par un observateur (O). Le nombre d'observations par méthode est indiqué en haut du graphique.

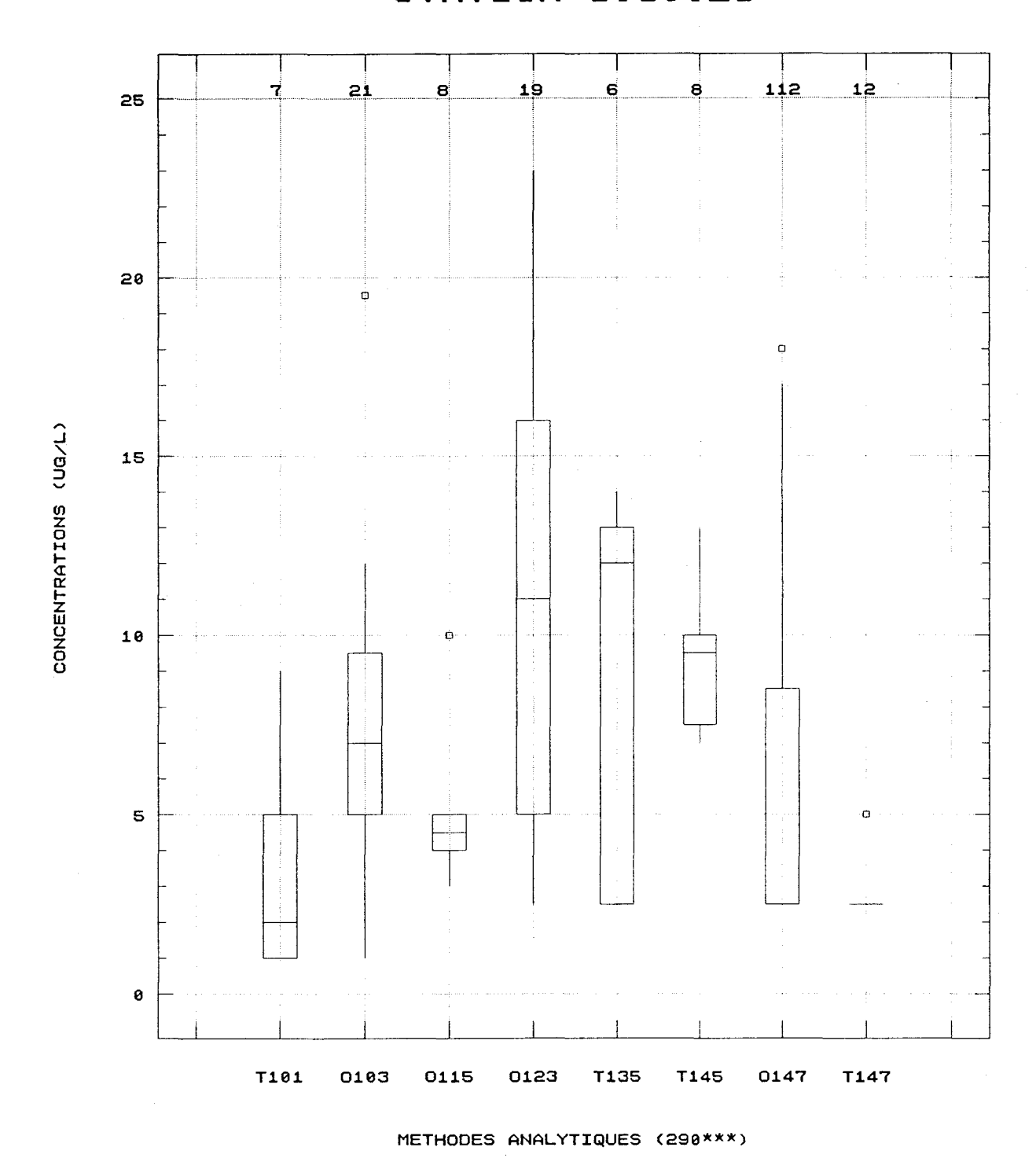


Figure 12. Diagrammes en boites illustrant la gamme des concentrations de cuivre à la station 03030023 selon les méthodes de mesure et de préservation. On indique s'il s'agit d'échantillons prélevés par un technicien (T) ou par un observateur (O). Le nombre d'observations par méthode est indiqué en haut du graphique.

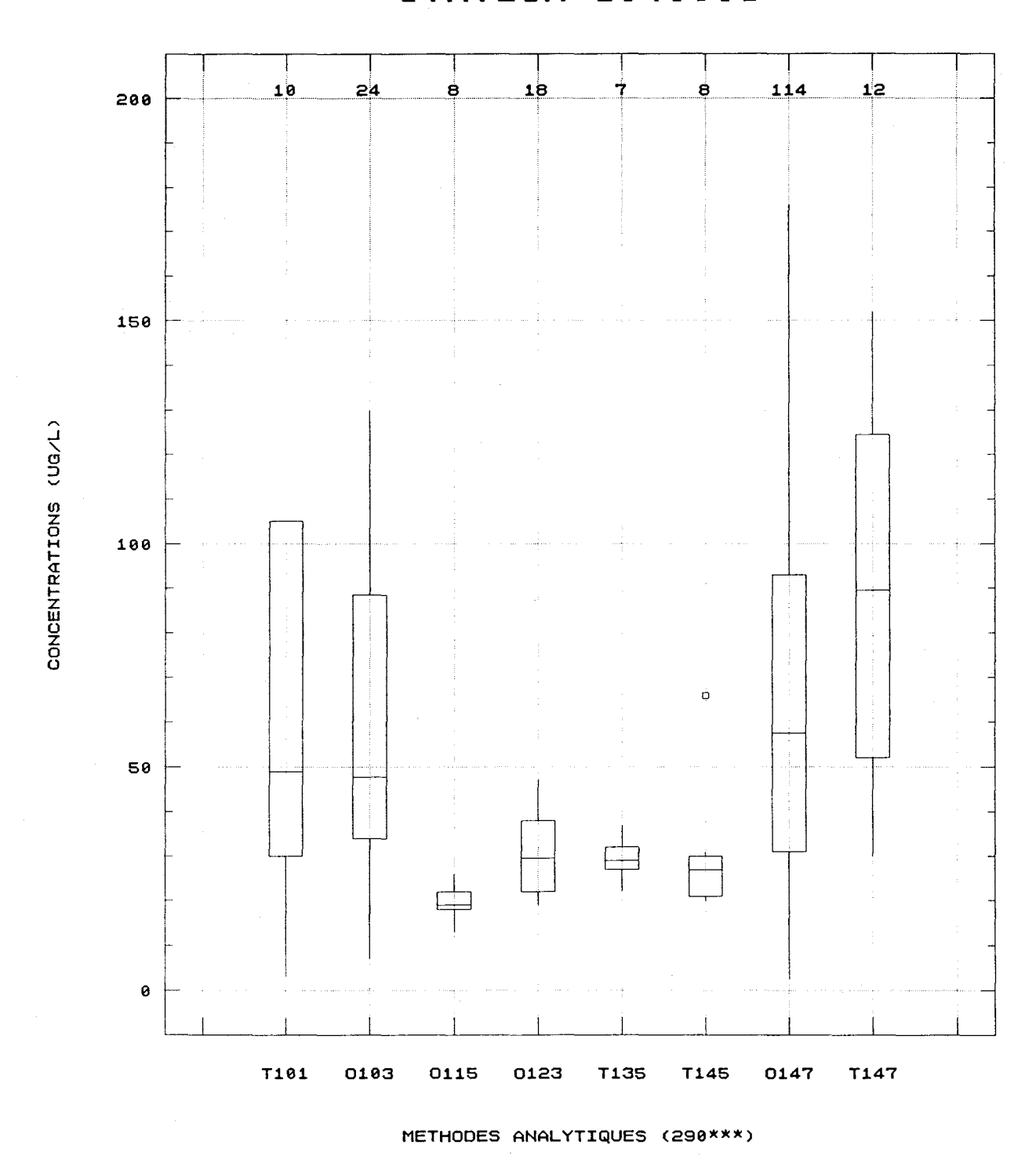


Figure 13. Diagrammes en boites illustrant la gamme des concentrations de cuivre à la station 03040009 selon les méthodes de mesure et de préservation. On indique s'il s'agit d'échantillons prélevés par un technicien (T) ou par un observateur (O). Le nombre d'observations par méthode est indiqué en haut du graphique.

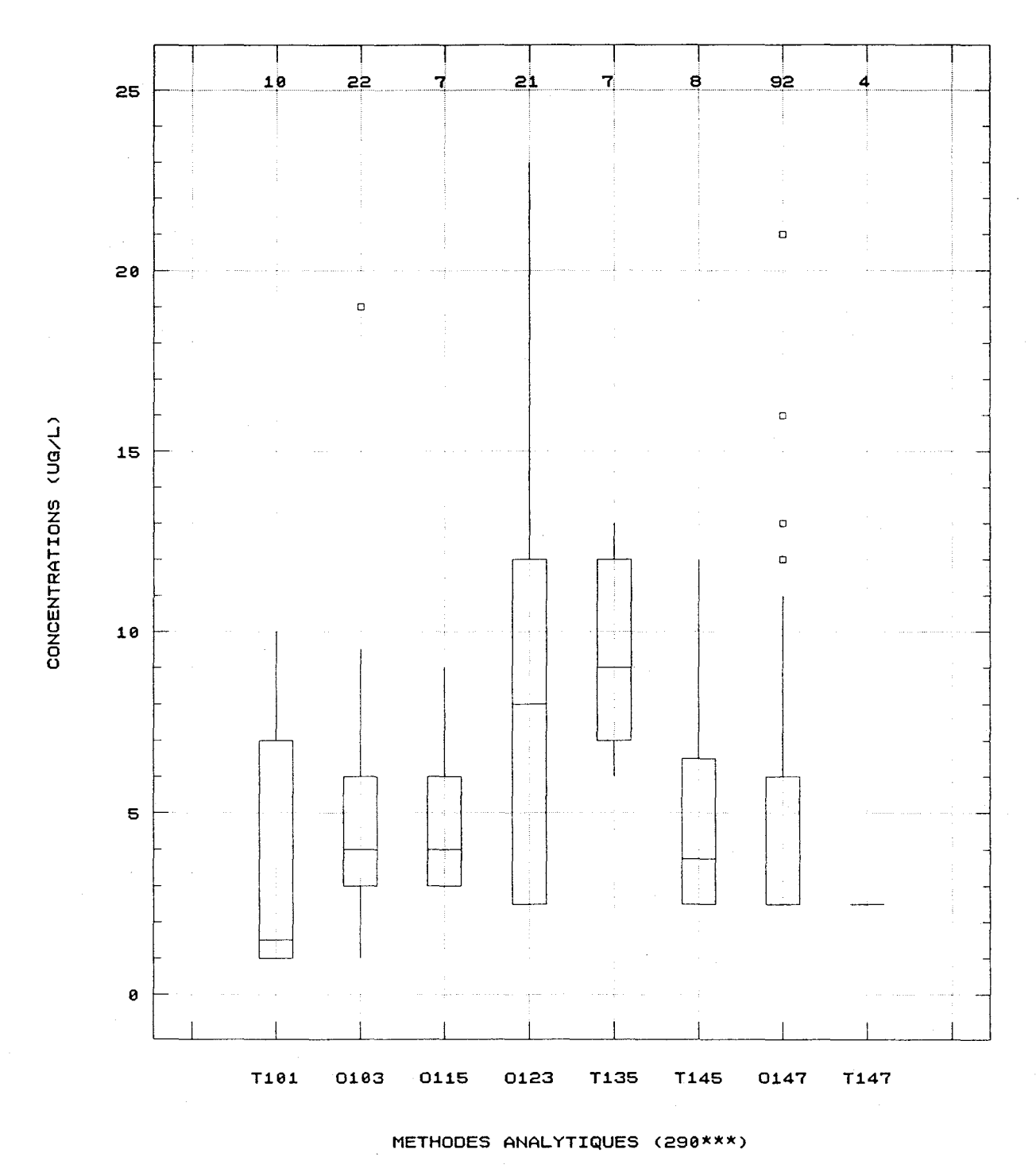


Figure 14. Diagrammes en boites illustrant la gamme des concentrations de cuivre à la station 03090001 selon les méthodes de mesure et de préservation. On indique s'il s'agit d'échantillons prélevés par un technicien (T) ou par un observateur (O). Le nombre d'observations par méthode est indiqué en haut du graphique.

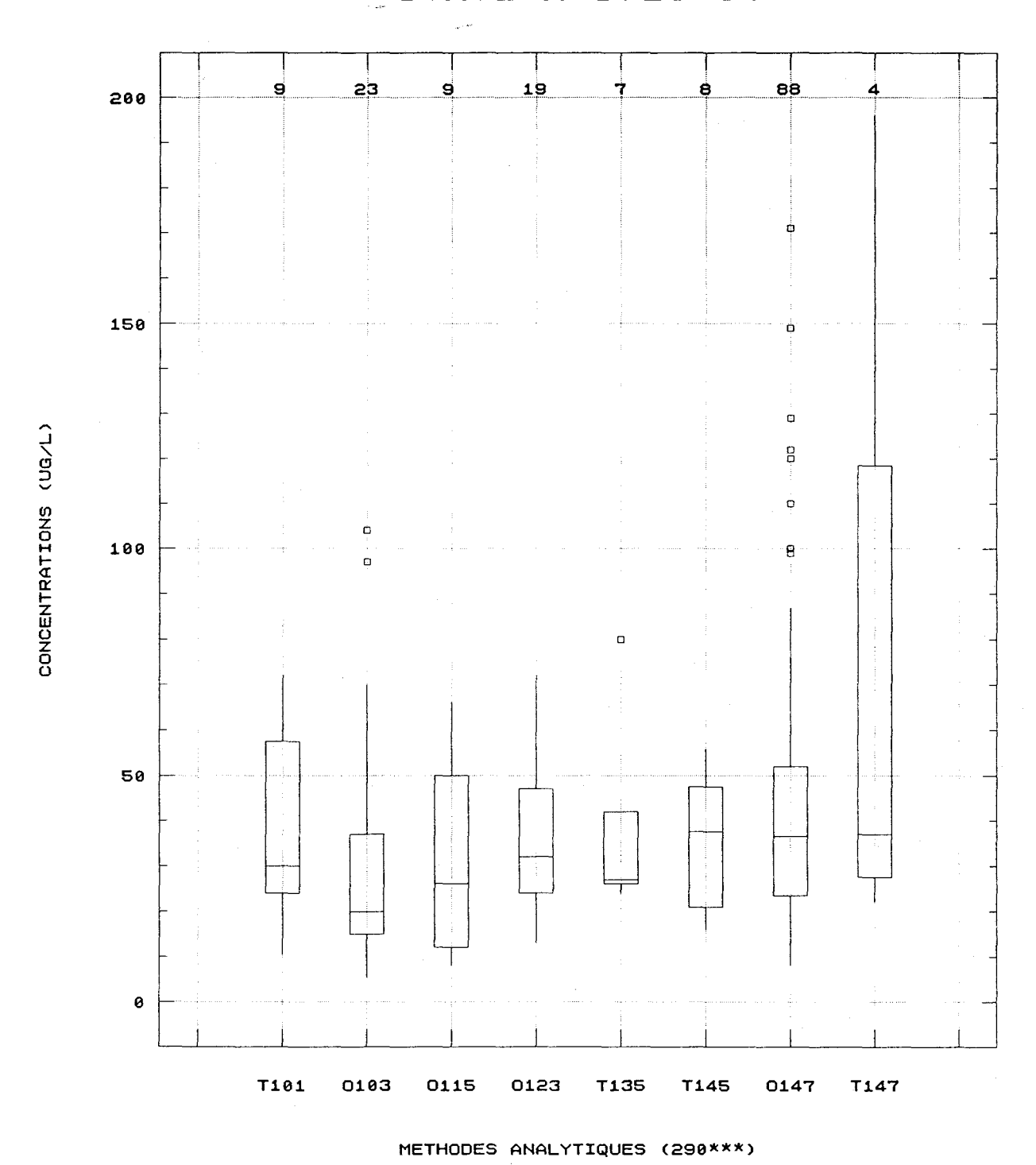


Figure 15. Diagrammes en boites illustrant la gamme des concentrations de cuivre à la station 05010007 selon les méthodes de mesure et de préservation. On indique s'il s'agit d'échantillons prélevés par un technicien (T) ou par un observateur (O). Le nombre d'observations par méthode est indiqué en haut du graphique.

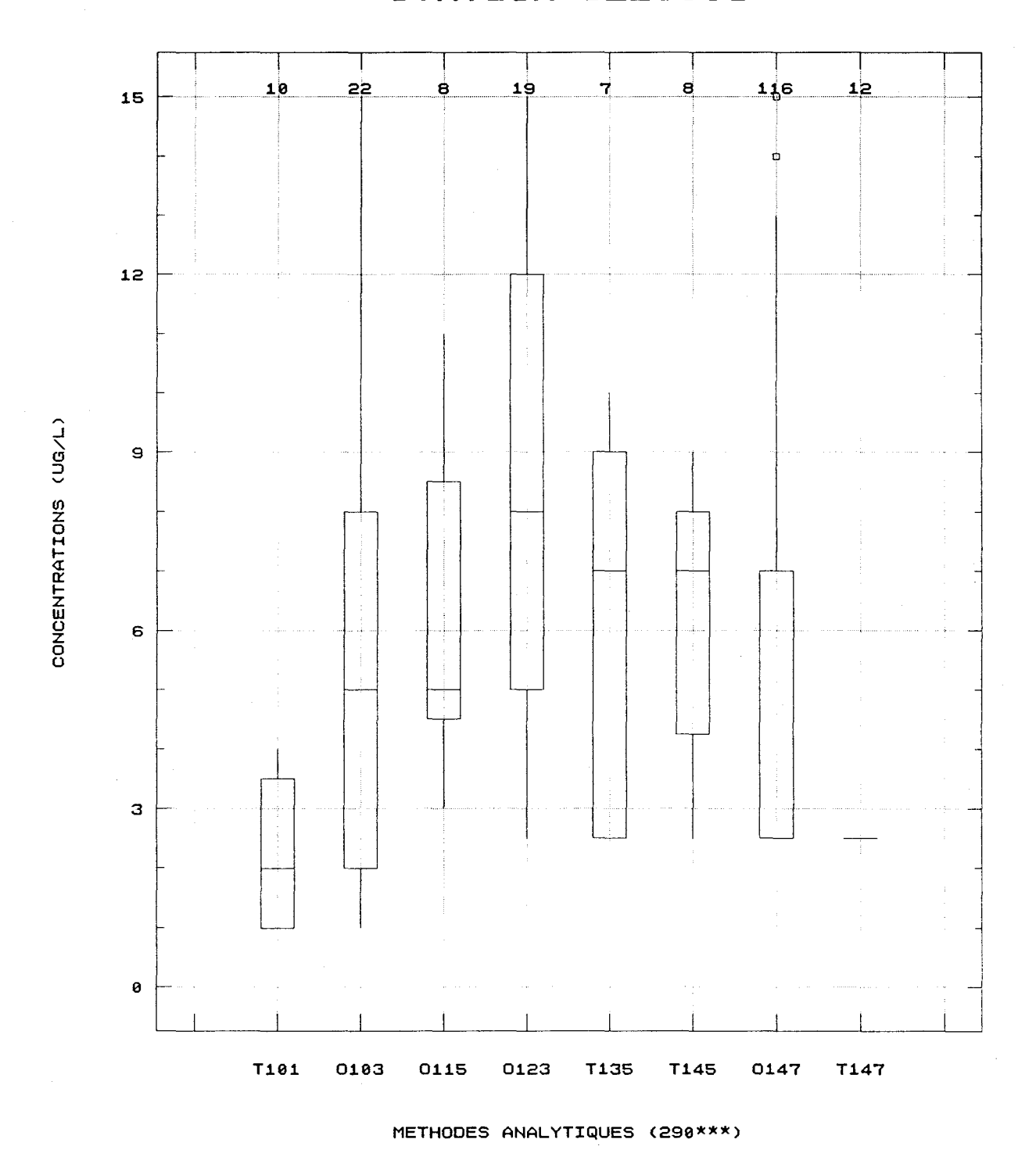


Figure 16. Diagrammes en boites illustrant la gamme des concentrations de cuivre à la station 05220003 selon les méthodes de mesure et de préservation. On indique s'il s'agit d'échantillons prélevés par un technicien (T) ou par un observateur (O). Le nombre d'observations par méthode est indiqué en haut du graphique.

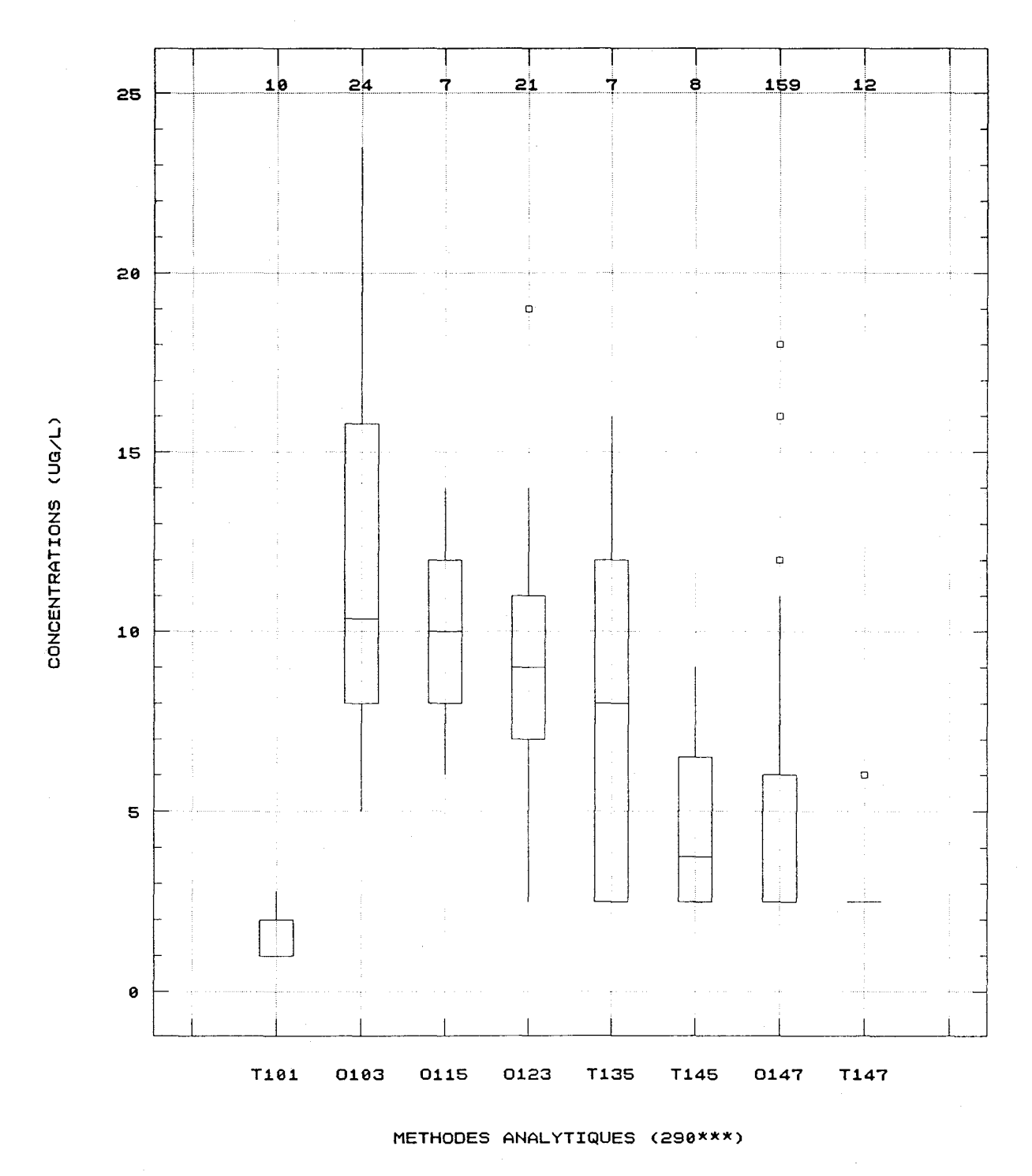


Figure 17. Diagrammes en boites illustrant la gamme des concentrations de cuivre à la station 05220005 selon les méthodes de mesure et de préservation. On indique s'il s'agit d'échantillons prélevés par un technicien (T) ou par un observateur (O). Le nombre d'observations par méthode est indiqué en haut du graphique.

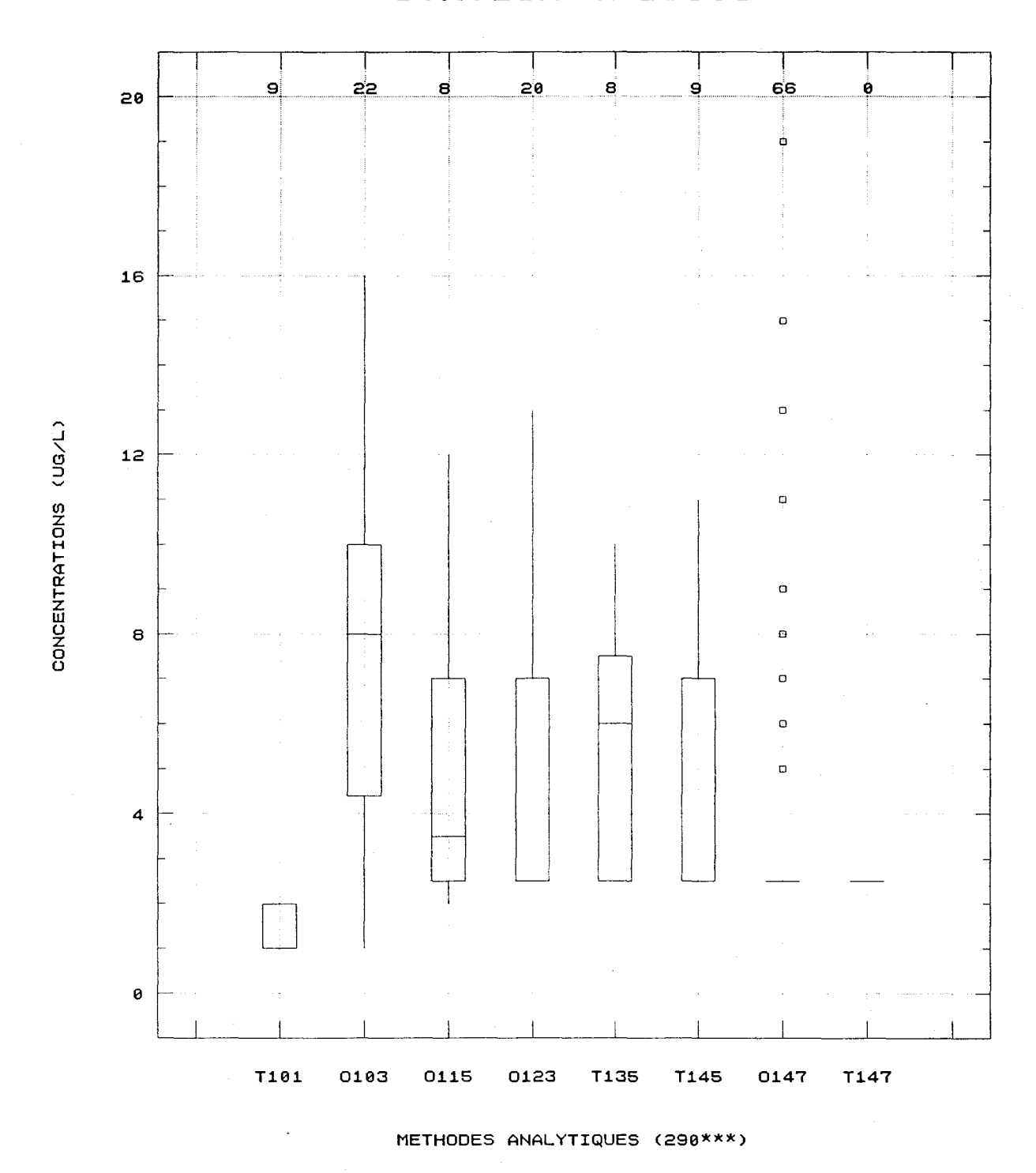


Figure 18. Diagrammes en boites illustrant la gamme des concentrations de cuivre à la station 07230003 selon les méthodes de mesure et de préservation. On indique s'il s'agit d'échantillons prélevés par un technicien (T) ou par un observateur (O). Le nombre d'observations par méthode est indiqué en haut du graphique.

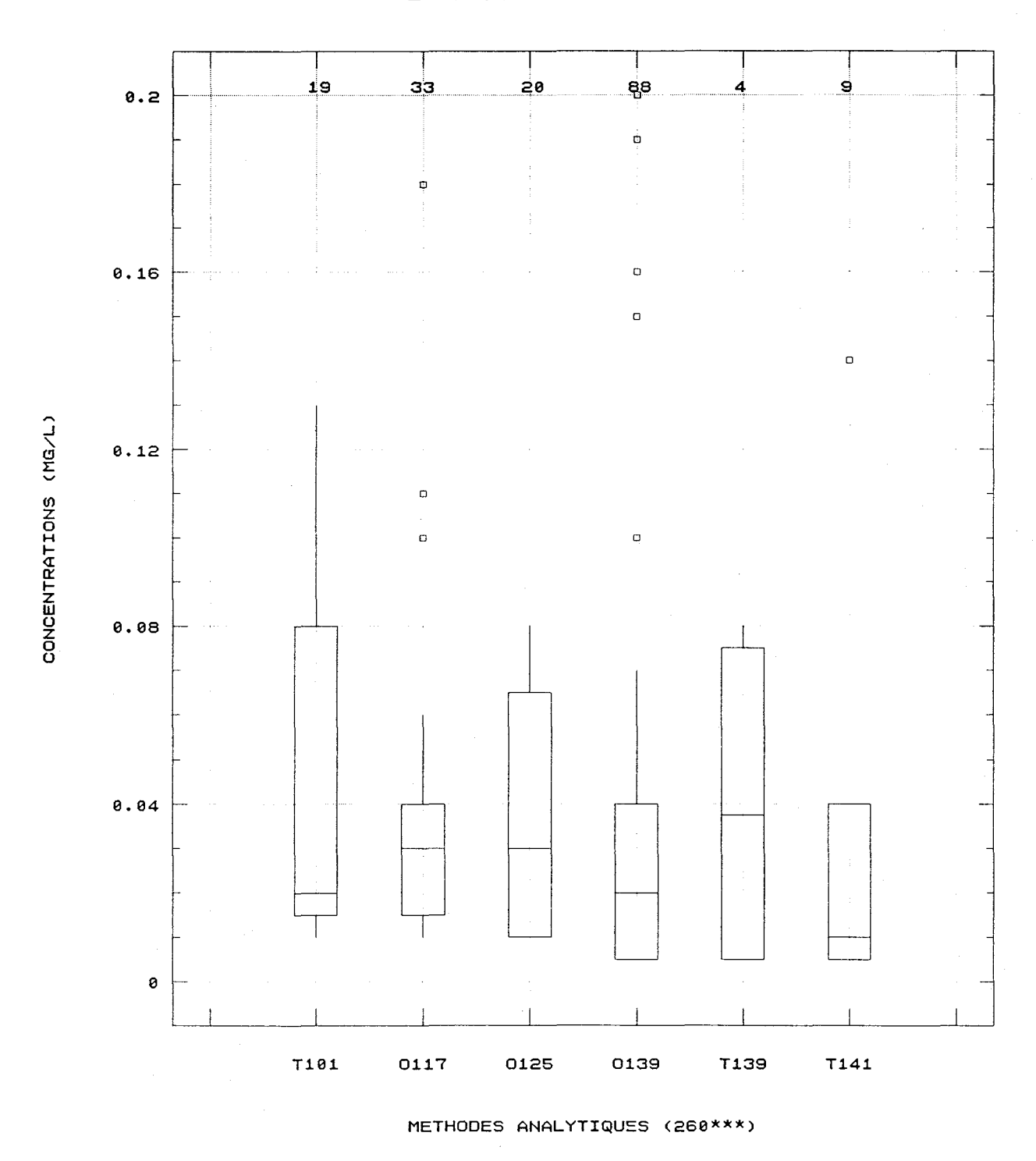


Figure 19. Diagrammes en boites illustrant la gamme des concentrations de fer à la station 01150003 selon les méthodes de mesure et de préservation. On indique s'il s'agit d'échantillons prélevés par un technicien (T) ou par un observateur (O). Le nombre d'observations par méthode est indiqué en haut du graphique.

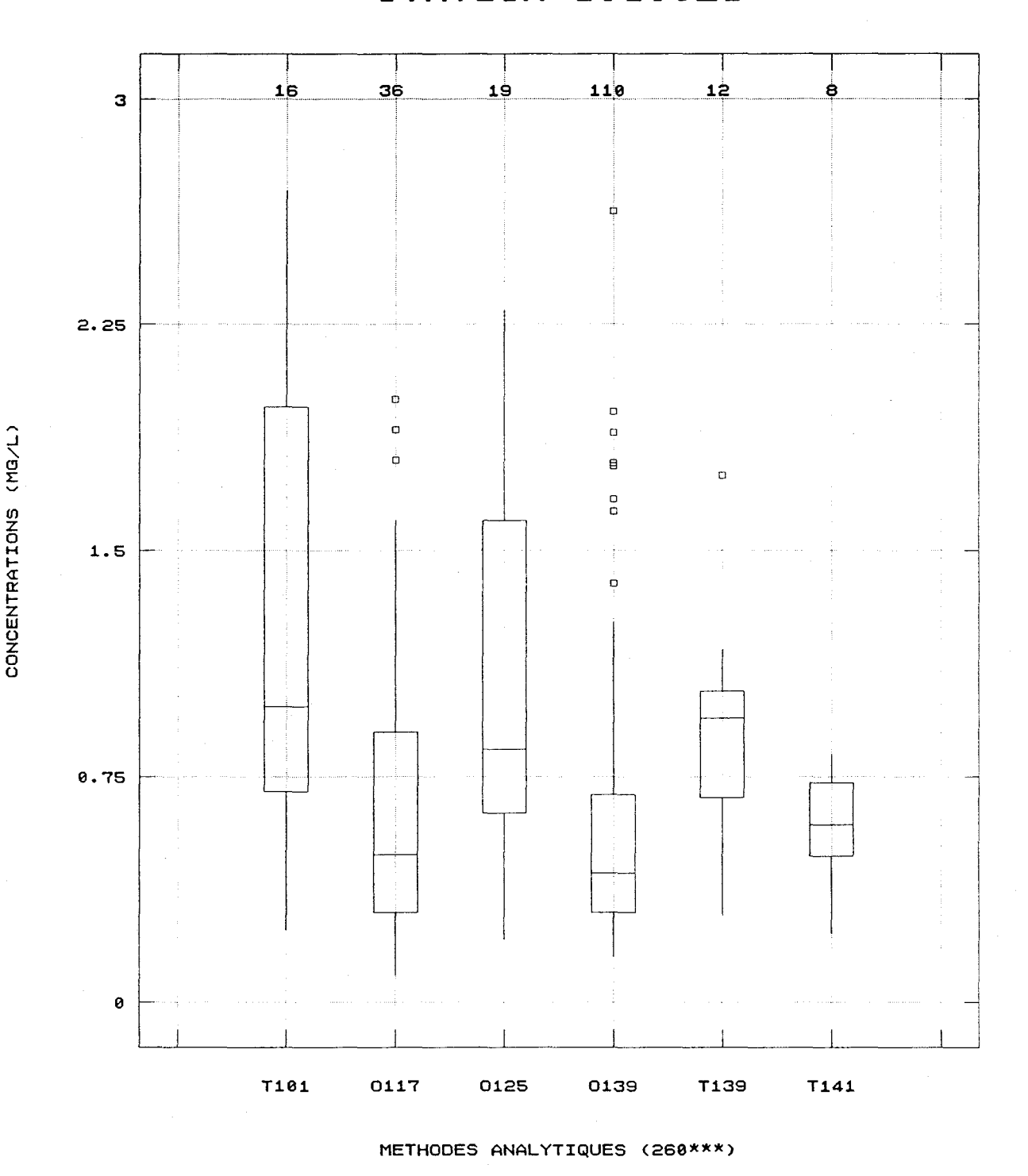


Figure 20. Diagrammes en boites illustrant la gamme des concentrations de fer à la station 03030023 selon les méthodes de mesure et de préservation. On indique s'il s'agit d'échantillons prélevés par un technicien (T) ou par un observateur (O). Le nombre d'observations par méthode est indiqué en haut du graphique.

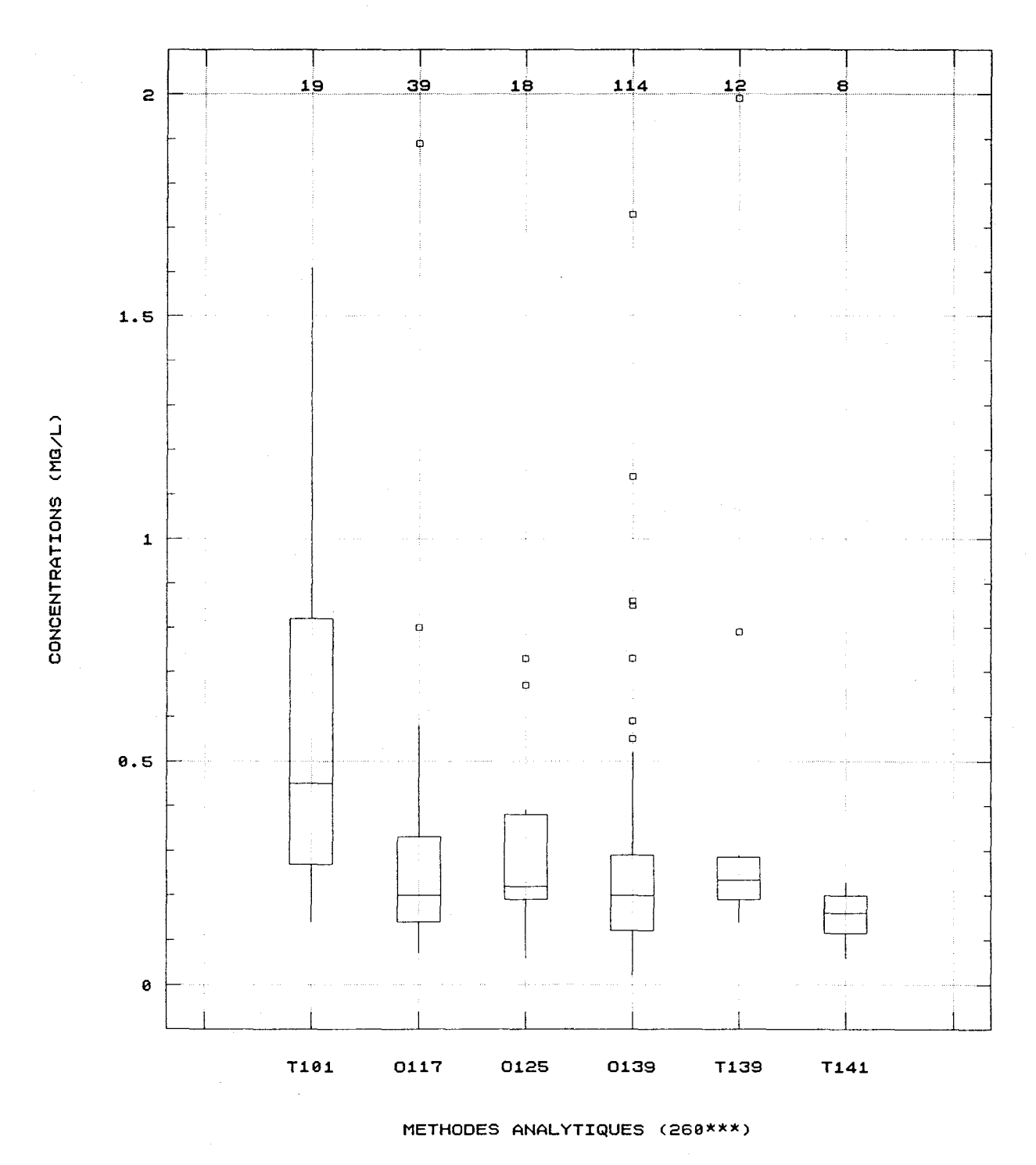


Figure 21. Diagrammes en boites illustrant la gamme des concentrations de fer à la station 03040009 selon les méthodes de mesure et de préservation. On indique s'il s'agit d'échantillons prélevés par un technicien (T) ou par un observateur (O). Le nombre d'observations par méthode est indiqué en haut du graphique.

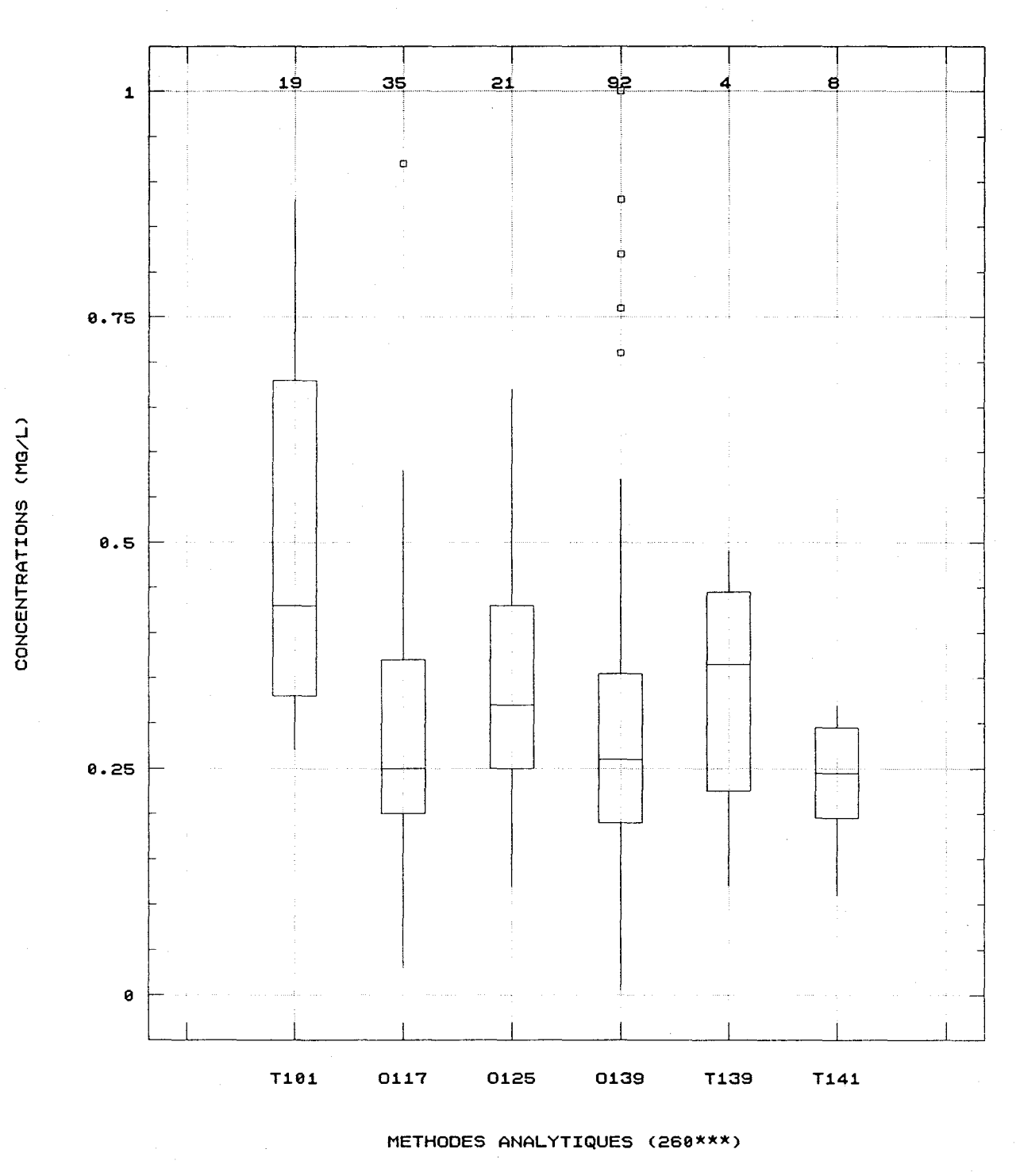


Figure 22. Diagrammes en boites illustrant la gamme des concentrations de fer à la station 03090001 selon les méthodes de mesure et de préservation. On indique s'il s'agit d'échantillons prélevés par un technicien (T) ou par un observateur (O). Le nombre d'observations par méthode est indiqué en haut du graphique.

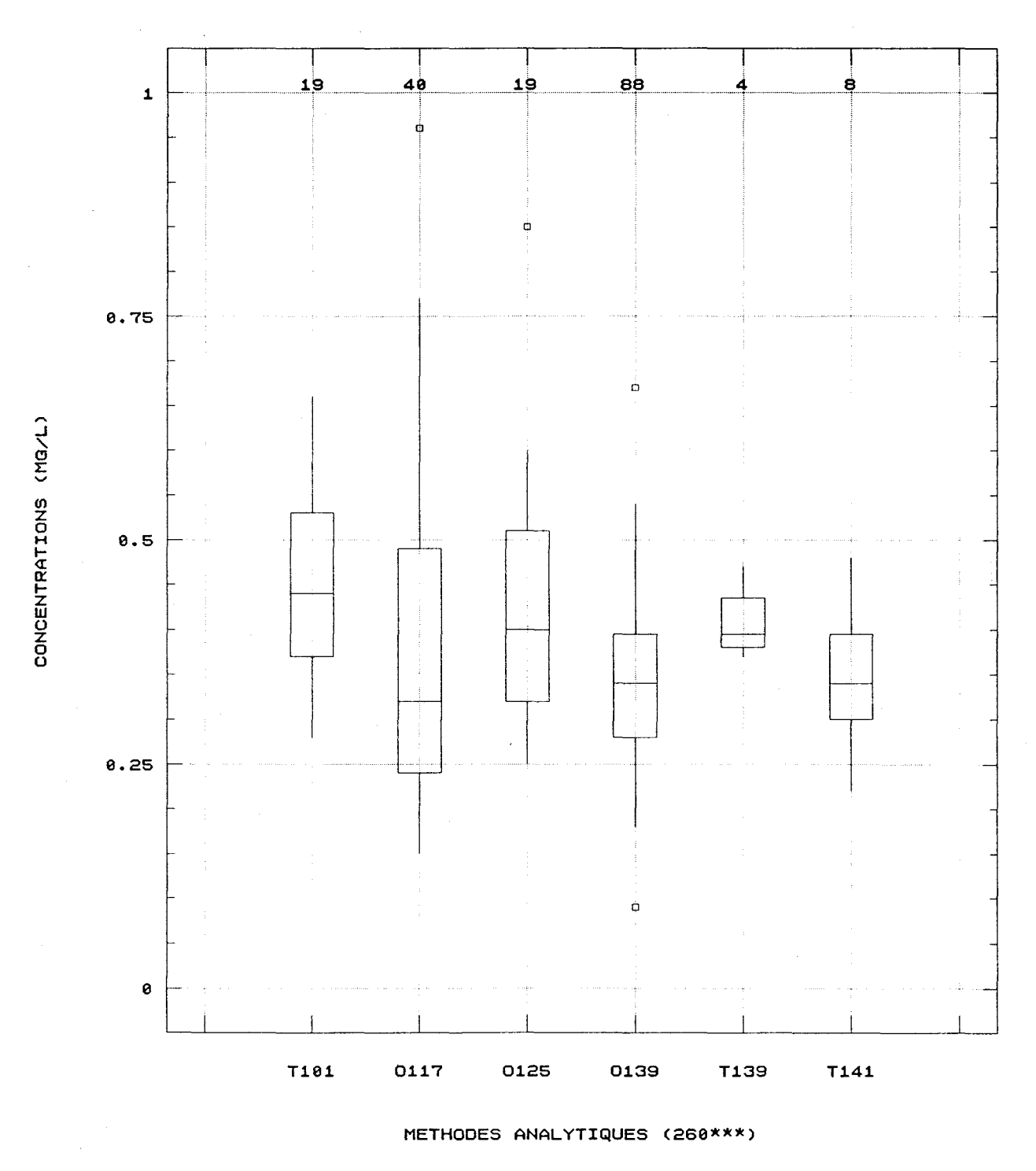


Figure 23. Diagrammes en boites illustrant la gamme des concentrations de fer à la station 05010007 selon les méthodes de mesure et de préservation. On indique s'il s'agit d'échantillons prélevés par un technicien (T) ou par un observateur (O). Le nombre d'observations par méthode est indiqué en haut du graphique.

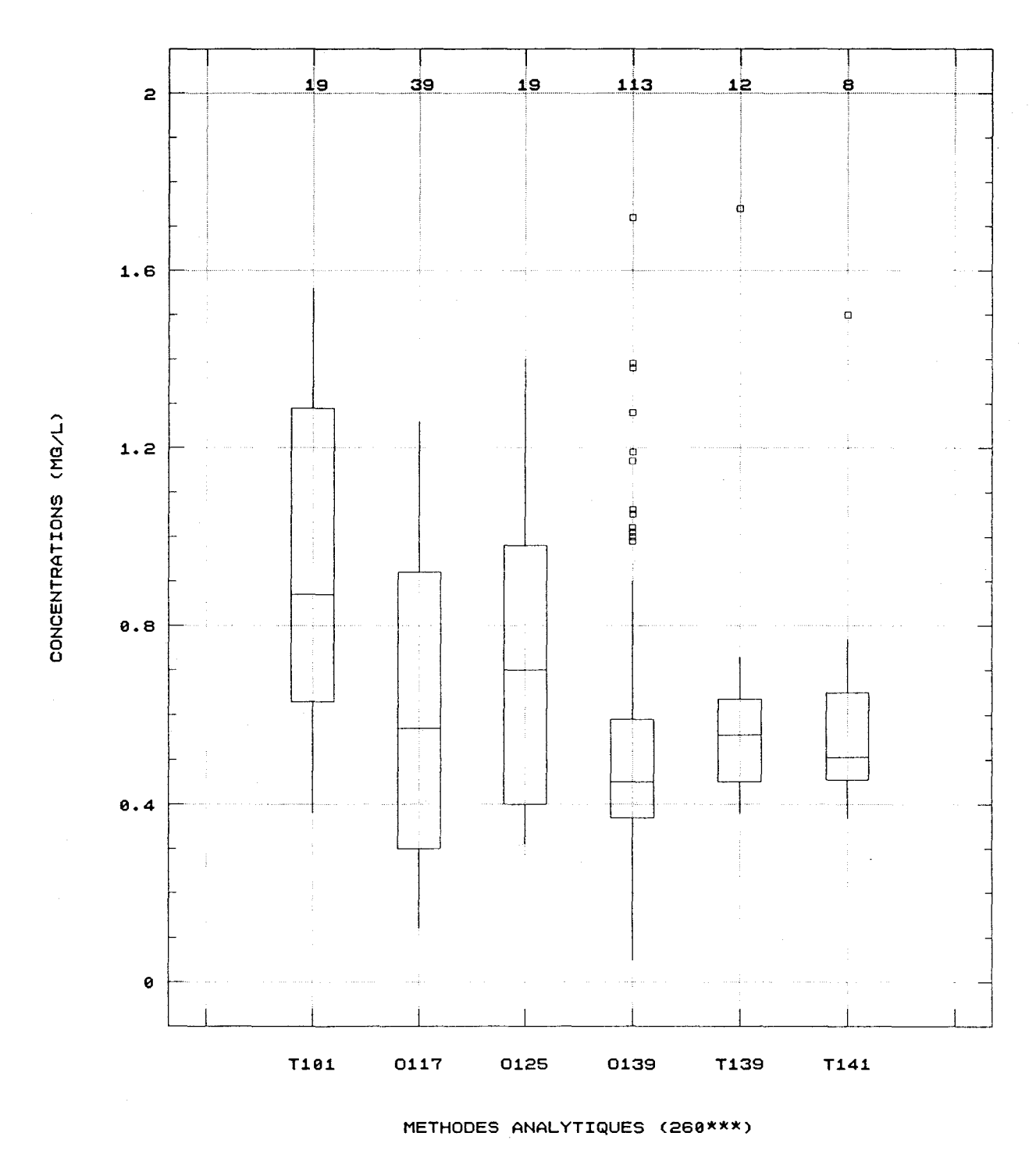


Figure 24. Diagrammes en boites illustrant la gamme des concentrations de fer à la station 05220003 selon les méthodes de mesure et de préservation. On indique s'il s'agit d'échantillons prélevés par un technicien (T) ou par un observateur (O). Le nombre d'observations par méthode est indiqué en haut du graphique.

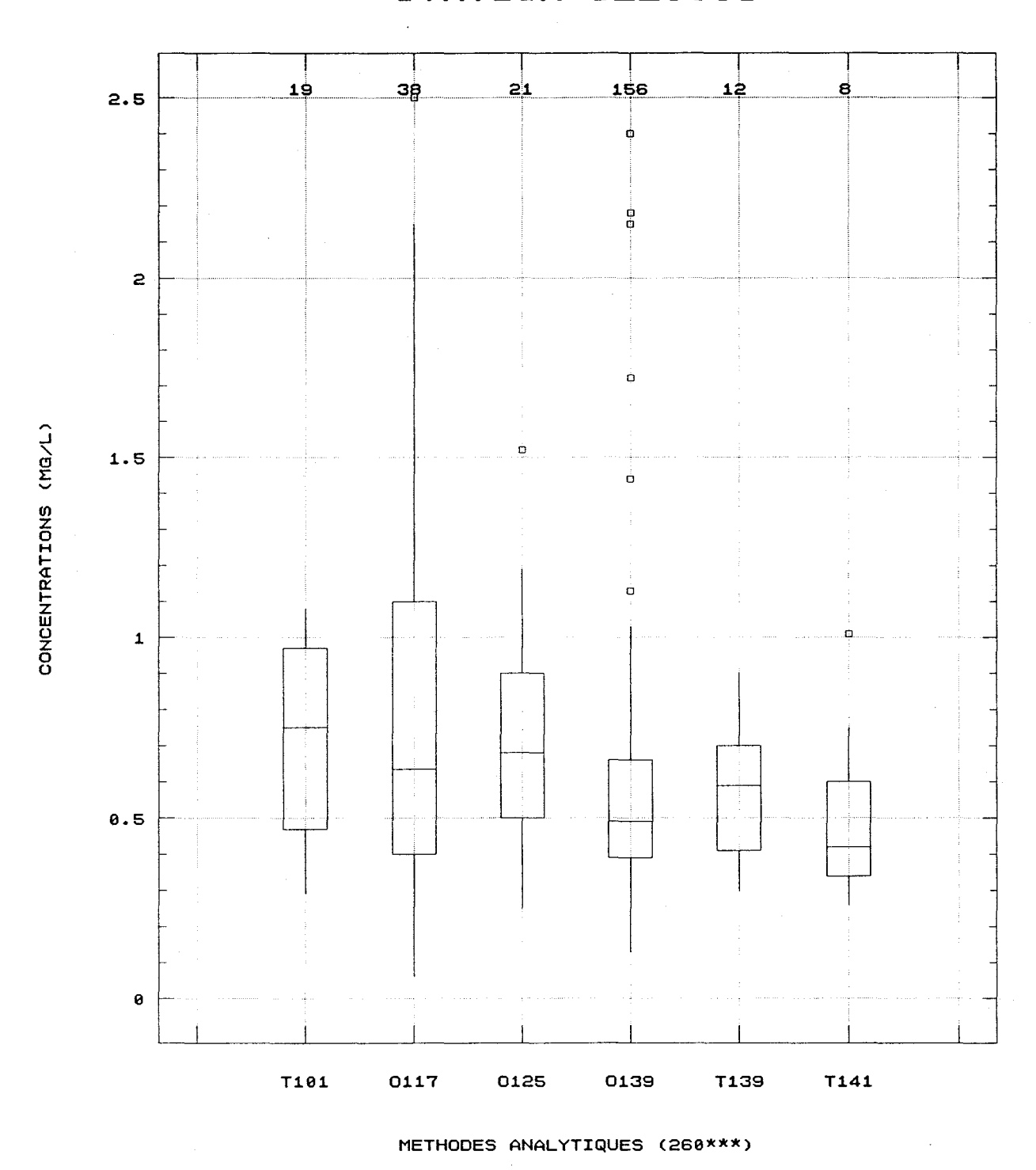


Figure 25. Diagrammes en boites illustrant la gamme des concentrations de fer à la station 05220005 selon les méthodes de mesure et de préservation. On indique s'il s'agit d'échantillons prélevés par un technicien (T) ou par un observateur (O). Le nombre d'observations par méthode est indiqué en haut du graphique.

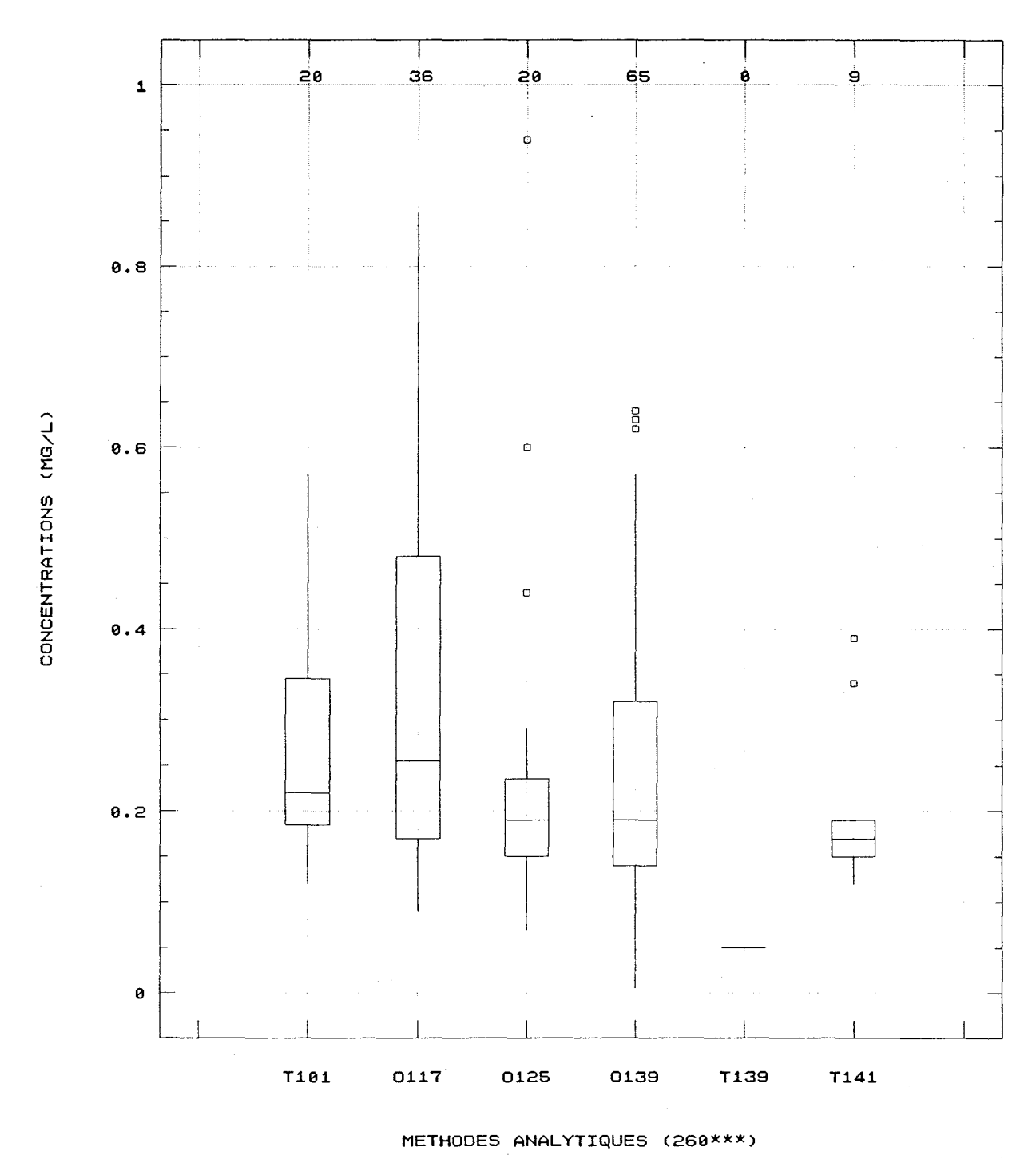


Figure 26. Diagrammes en boites illustrant la gamme des concentrations de fer à la station 07230003 selon les méthodes de mesure et de préservation. On indique s'il s'agit d'échantillons prélevés par un technicien (T) ou par un observateur (O). Le nombre d'observations par méthode est indiqué en haut du graphique.

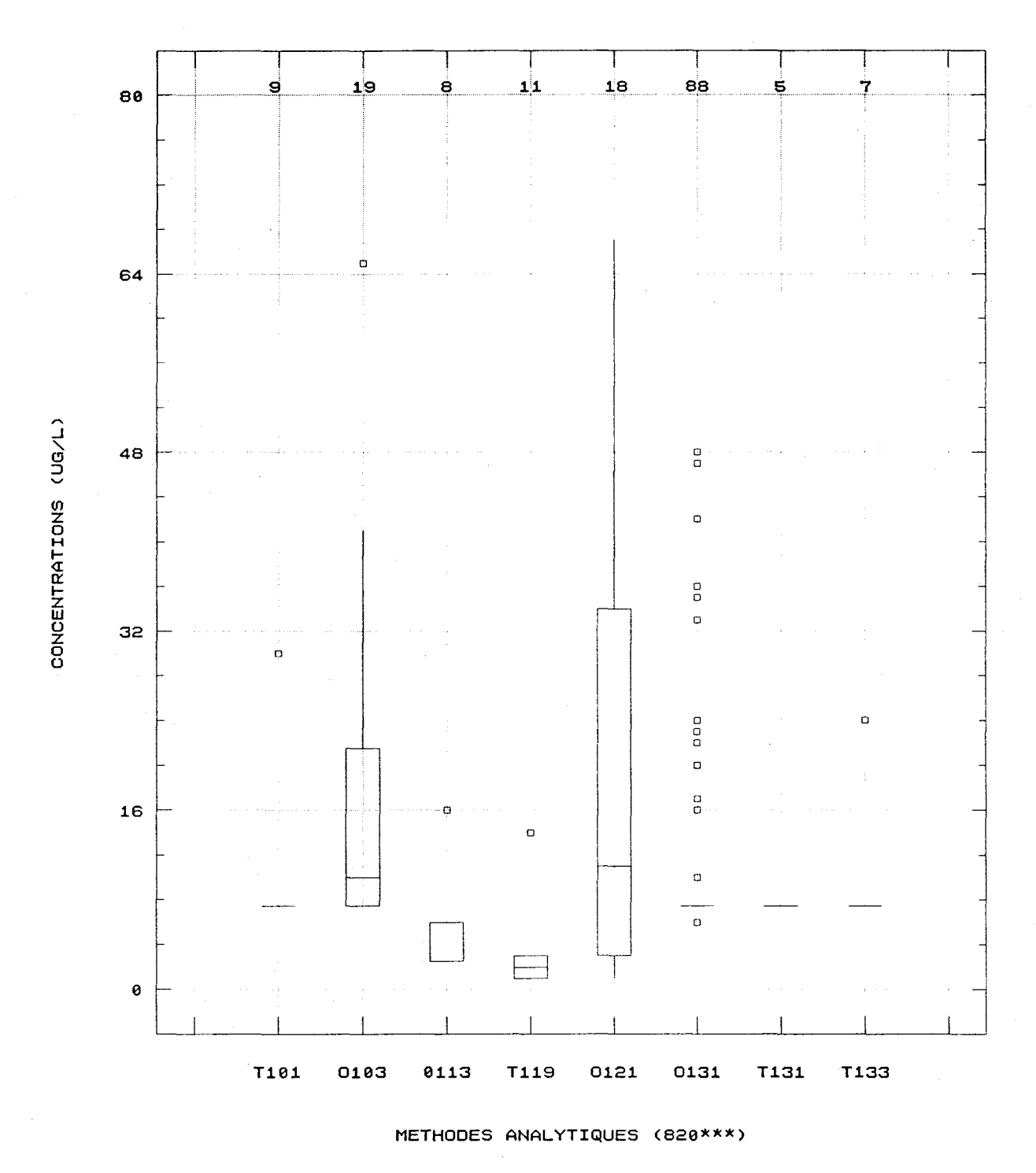


Figure 27. Diagrammes en boites illustrant la gamme des concentrations de plomb à la station 01150003 selon les méthodes de mesure et de préservation. On indique s'il s'agit d'échantillons prélevés par un technicien (T) ou par un observateur (O). Le nombre d'observations par méthode est indiqué en haut du graphique.

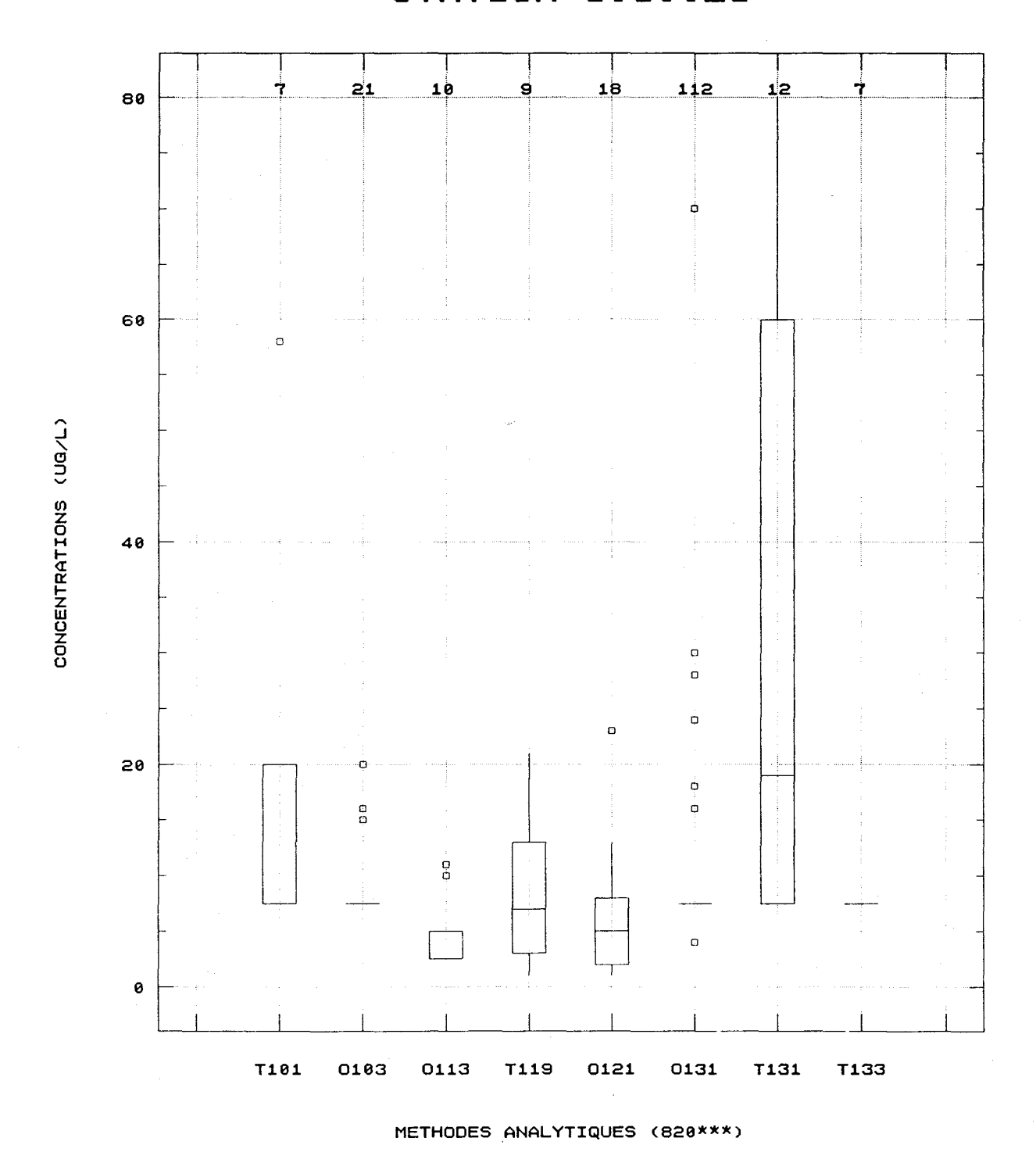


Figure 28. Diagrammes en boites illustrant la gamme des concentrations de plomb à la station 03030023 selon les méthodes de mesure et de préservation. On indique s'il s'agit d'échantillons prélevés par un technicien (T) ou par un observateur (O). Le nombre d'observations par méthode est indiqué en haut du graphique.

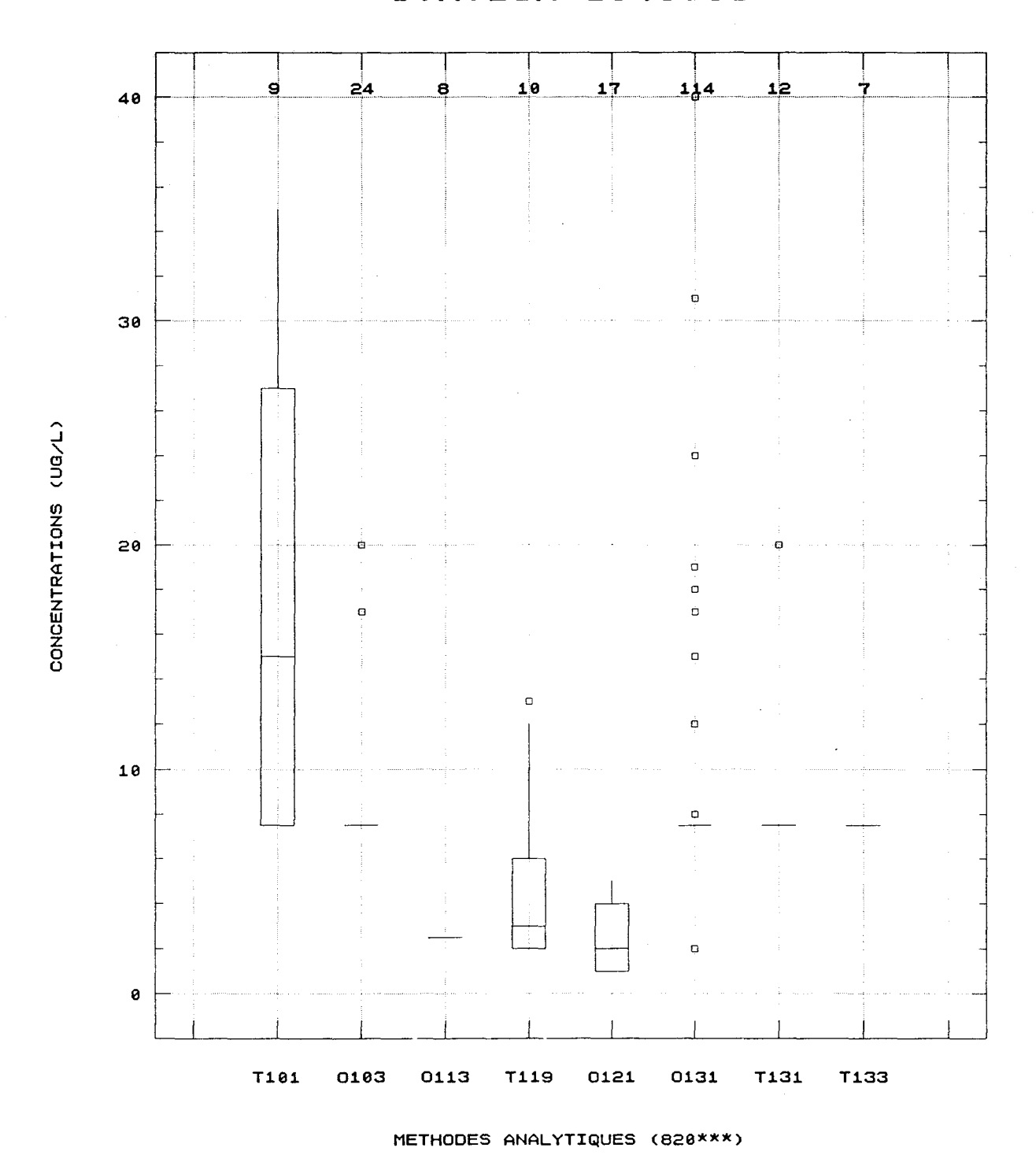


Figure 29. Diagrammes en boites illustrant la gamme des concentrations de plomb à la station 03040009 selon les méthodes de mesure et de préservation. On indique s'il s'agit d'échantillons prélevés par un technicien (T) ou par un observateur (O). Le nombre d'observations par méthode est indiqué en haut du graphique.

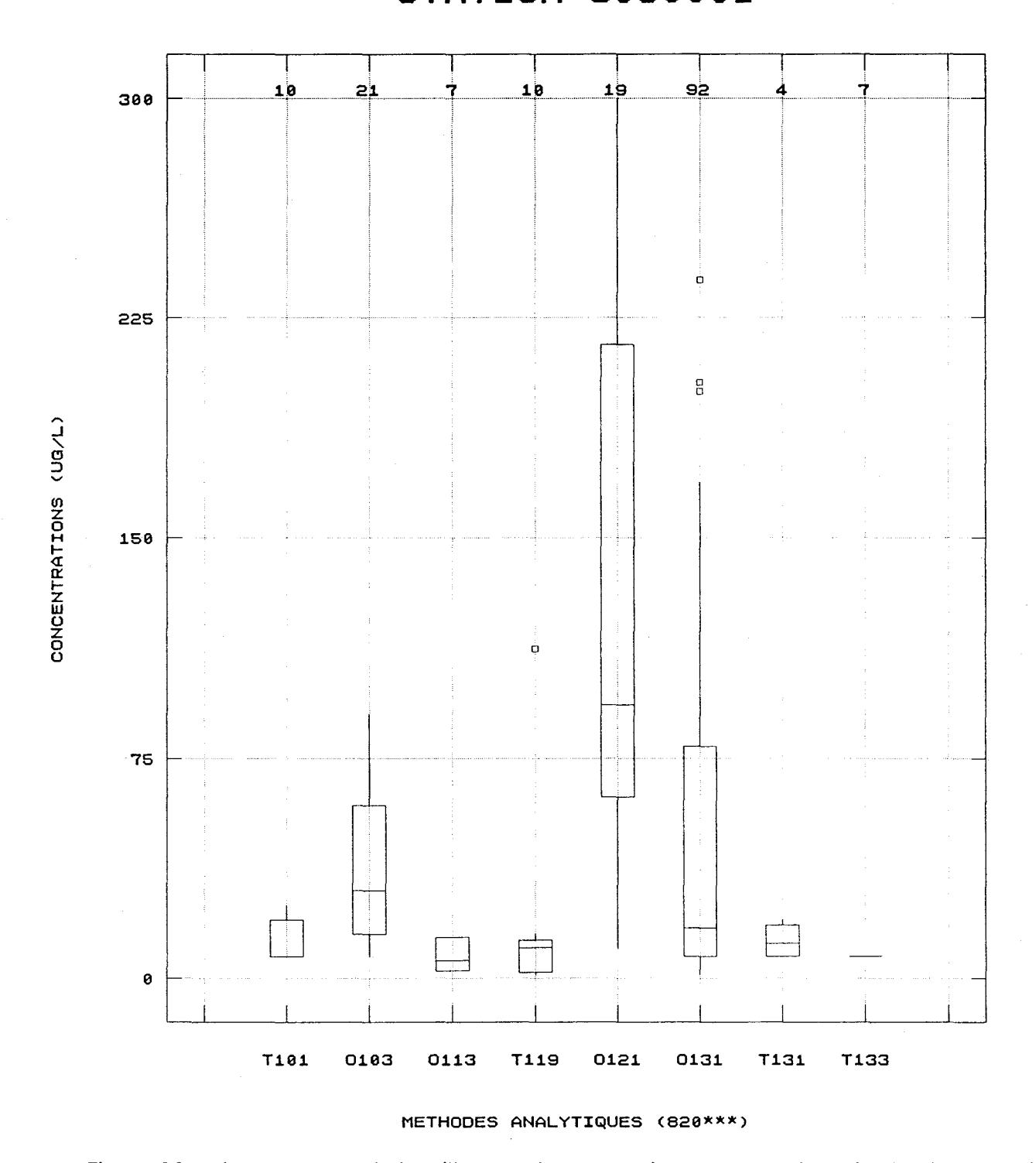


Figure 30. Diagrammes en boites illustrant la gamme des concentrations de plomb à la station 03090001 selon les méthodes de mesure et de préservation. On indique s'il s'agit d'échantillons prélevés par un technicien (T) ou par un observateur (O). Le nombre d'observations par méthode est indiqué en haut du graphique.

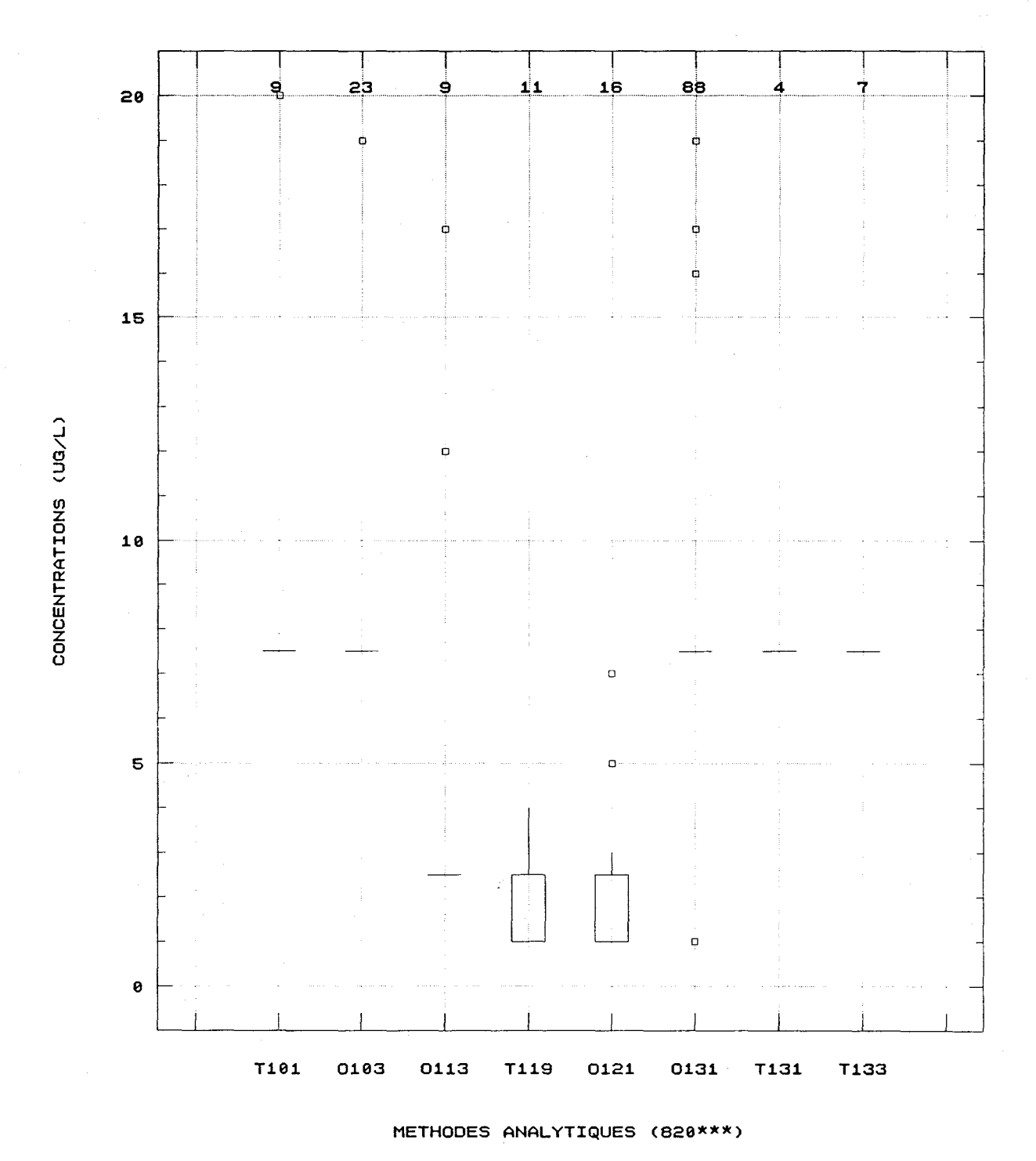
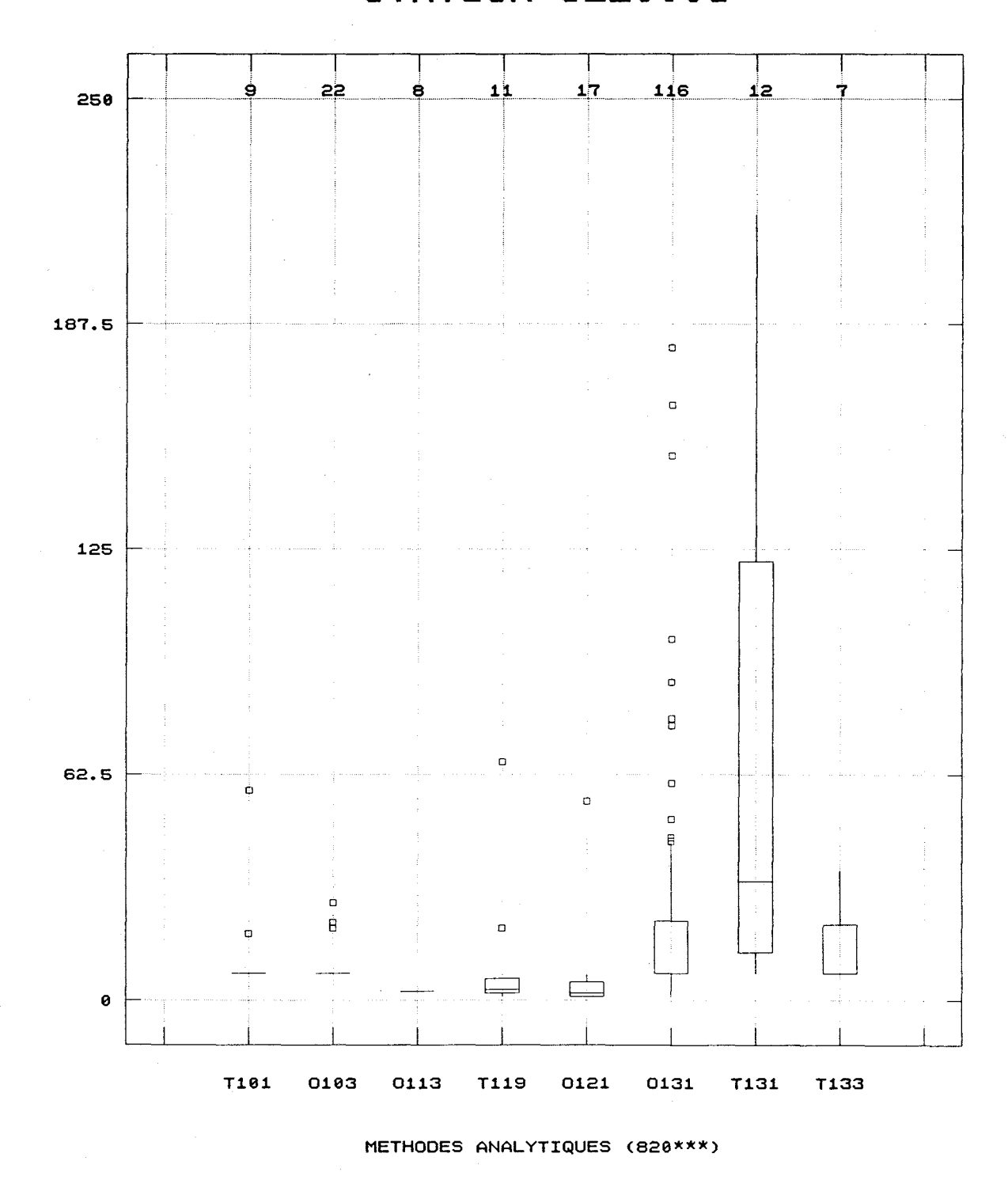


Figure 31. Diagrammes en boites illustrant la gamme des concentrations de plomb à la station 05010007 selon les méthodes de mesure et de préservation. On indique s'il s'agit d'échantillons prélevés par un technicien (T) ou par un observateur (O). Le nombre d'observations par méthode est indiqué en haut du graphique.

#### PLOMB (1979-1990) STATION 5220003



CONCENTRATIONS (UG/L)

Figure 32. Diagrammes en boites illustrant la gamme des concentrations de plomb à la station 05220003 selon les méthodes de mesure et de préservation. On indique s'il s'agit d'échantillons prélevés par un technicien (T) ou par un observateur (O). Le nombre d'observations par méthode est indiqué en haut du graphique.

## PLOMB (1979-1990) STATION 5220005

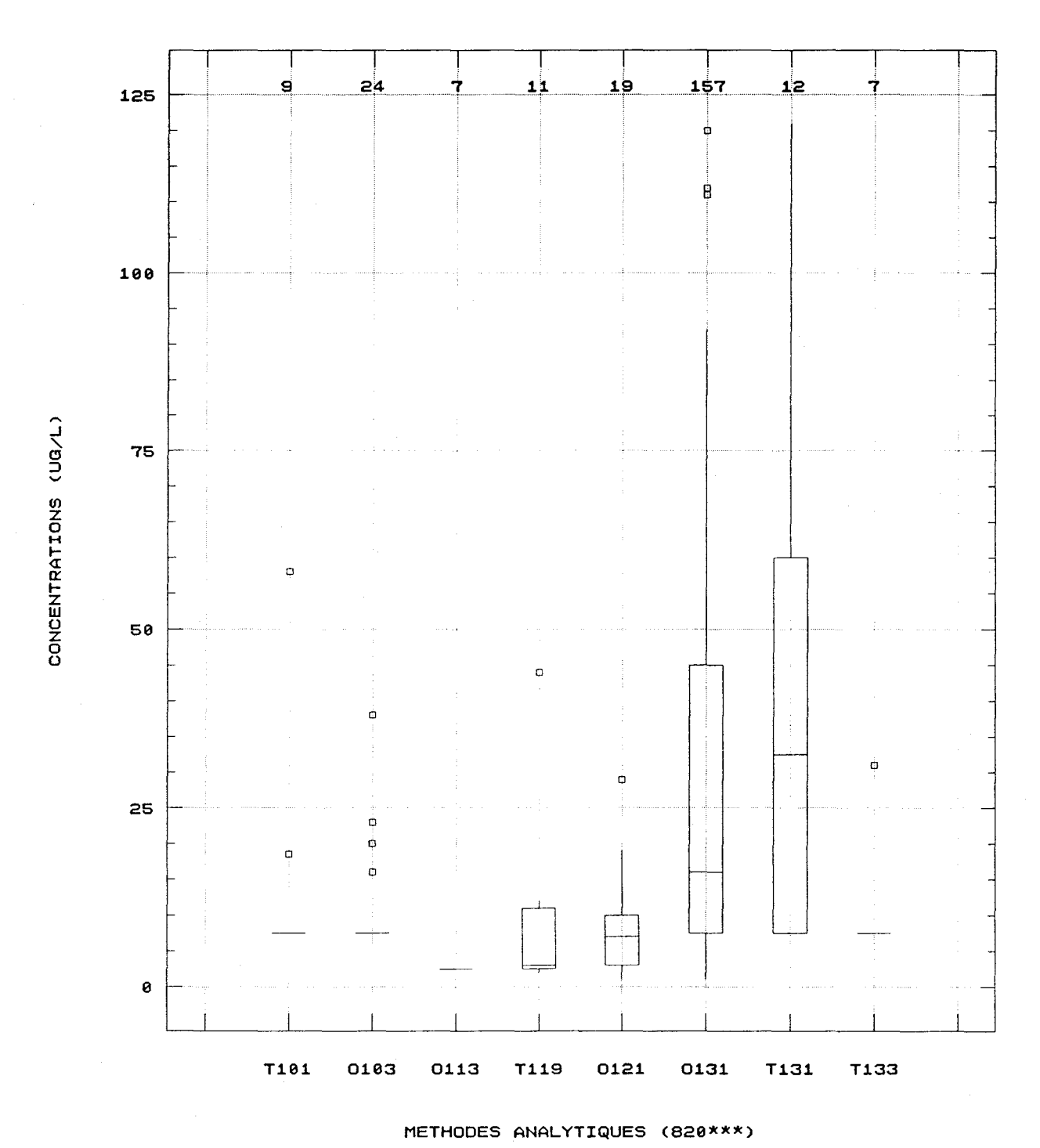


Figure 33. Diagrammes en boites illustrant la gamme des concentrations de plomb à la station

05220005 selon les méthodes de mesure et de préservation. On indique s'il s'agit d'échantillons prélevés par un technicien (T) ou par un observateur (O). Le nombre d'observations par méthode est indiqué en haut du graphique.

# PLOMB (1979-1990) STATION 7230003

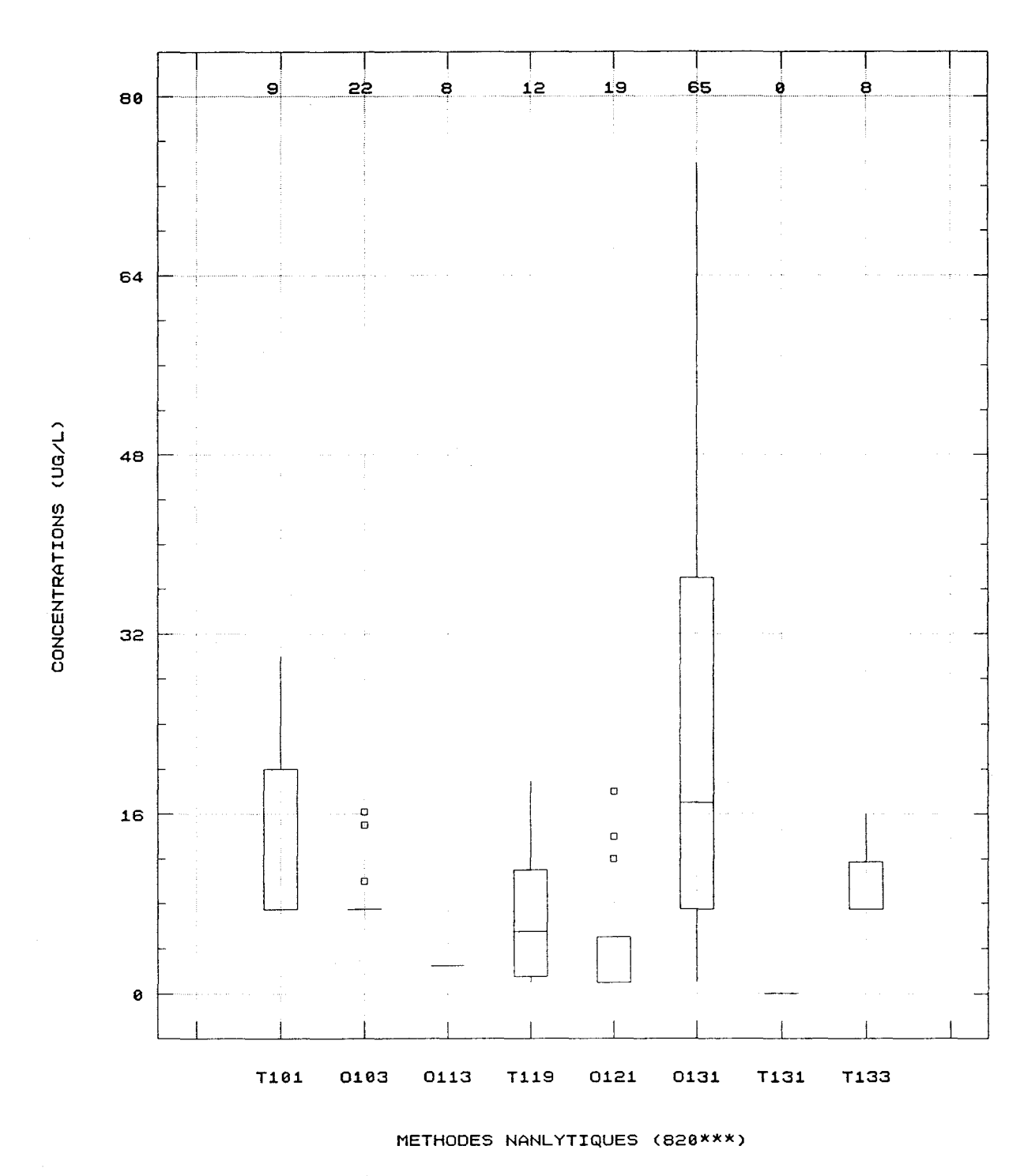


Figure 34. Diagrammes en boites illustrant la gamme des concentrations de plomb à la station 07230003 selon les méthodes de mesure et de préservation. On indique s'il s'agit d'échantillons prélevés par un technicien (T) ou par un observateur (O). Le nombre d'observations par méthode est indiqué en haut du graphique.

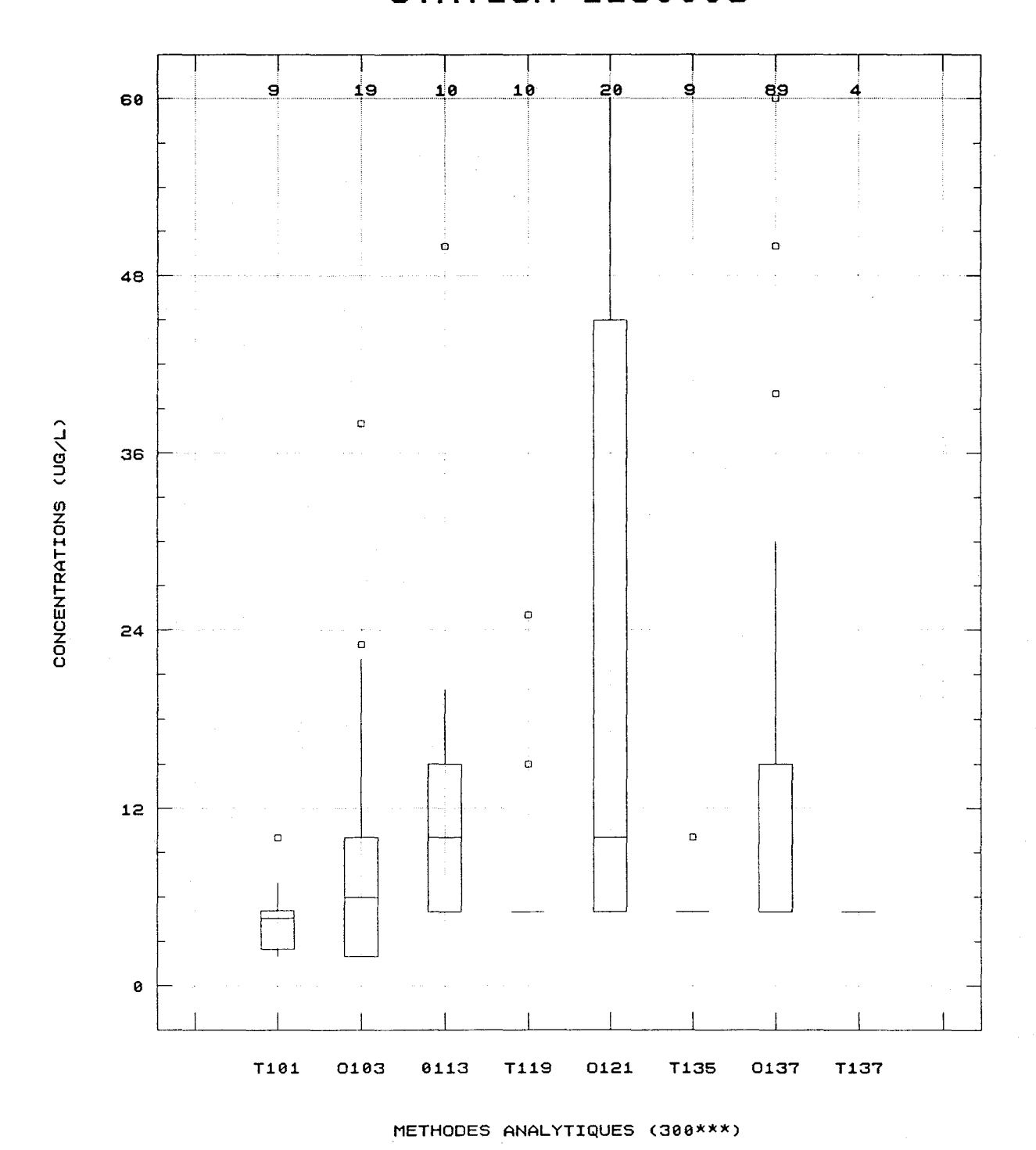
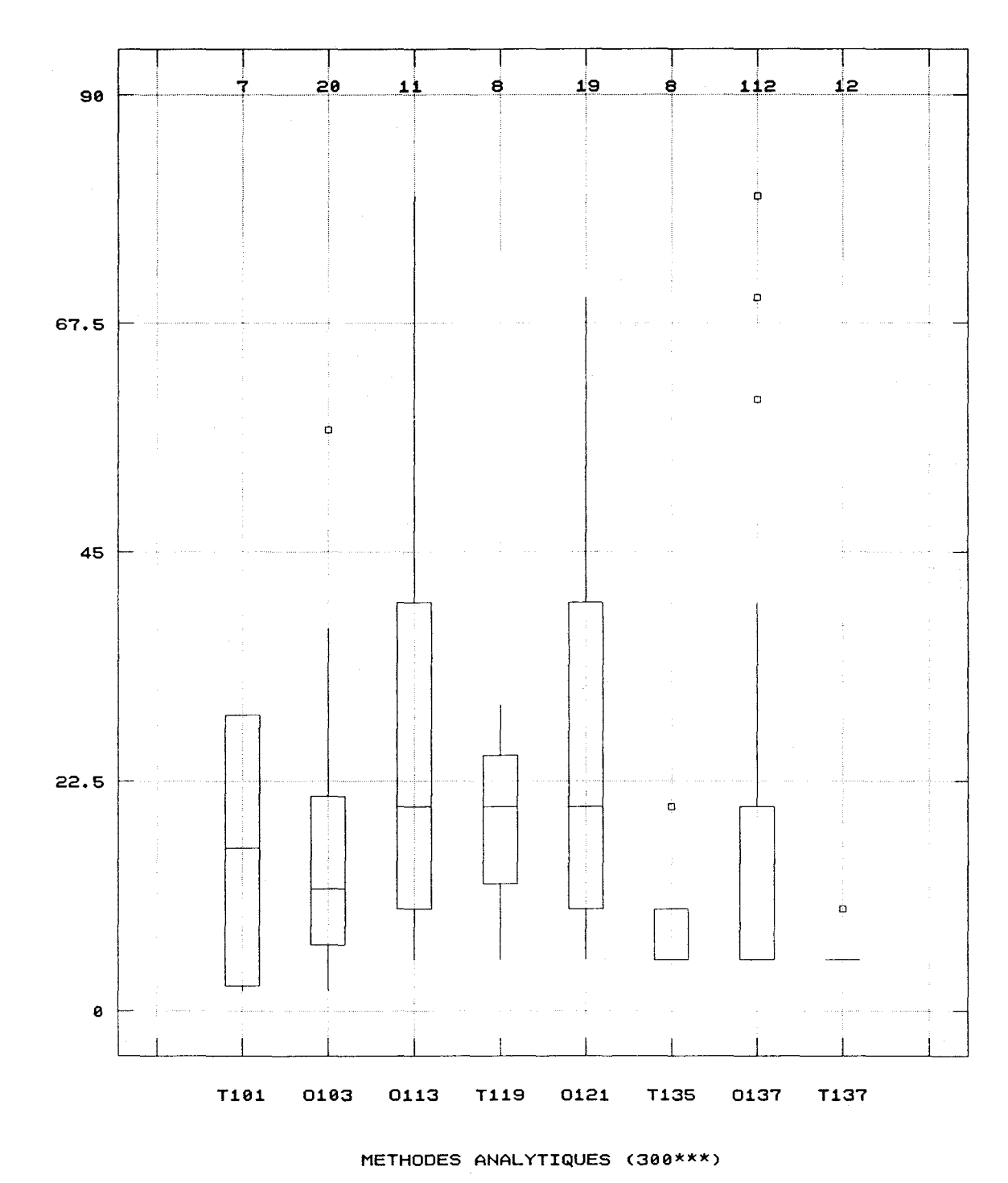


Figure 35. Diagrammes en boites illustrant la gamme des concentrations de zinc à la station 01150003 selon les méthodes de mesure et de préservation. On indique s'il s'agit d'échantillons prélevés par un technicien (T) ou par un observateur (O). Le nombre d'observations par méthode est indiqué en haut du graphique.



CONCENTRATIONS (UG/L)

Figure 36. Diagrammes en boites illustrant la gamme des concentrations de zinc à la station 03030023 selon les méthodes de mesure et de préservation. On indique s'il s'agit

d'échantillons prélevés par un technicien (T) ou par un observateur (O). Le nombre d'observations par méthode est indiqué en haut du graphique.

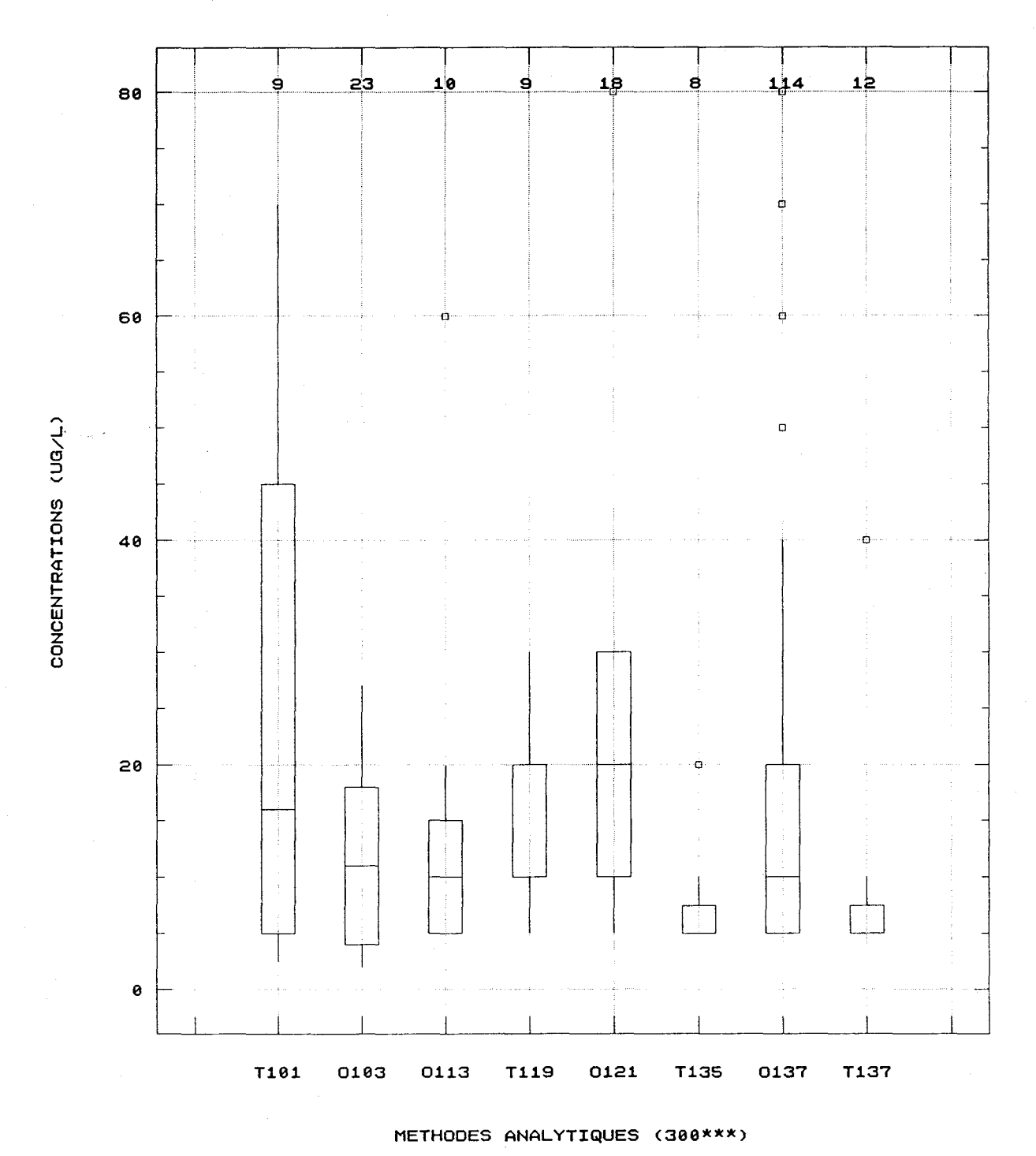


Figure 37. Diagrammes en boites illustrant la gamme des concentrations de zinc à la station 03040009 selon les méthodes de mesure et de préservation. On indique s'il s'agit d'échantillons prélevés par un technicien (T) ou par un observateur (O). Le nombre d'observations par méthode est indiqué en haut du graphique.

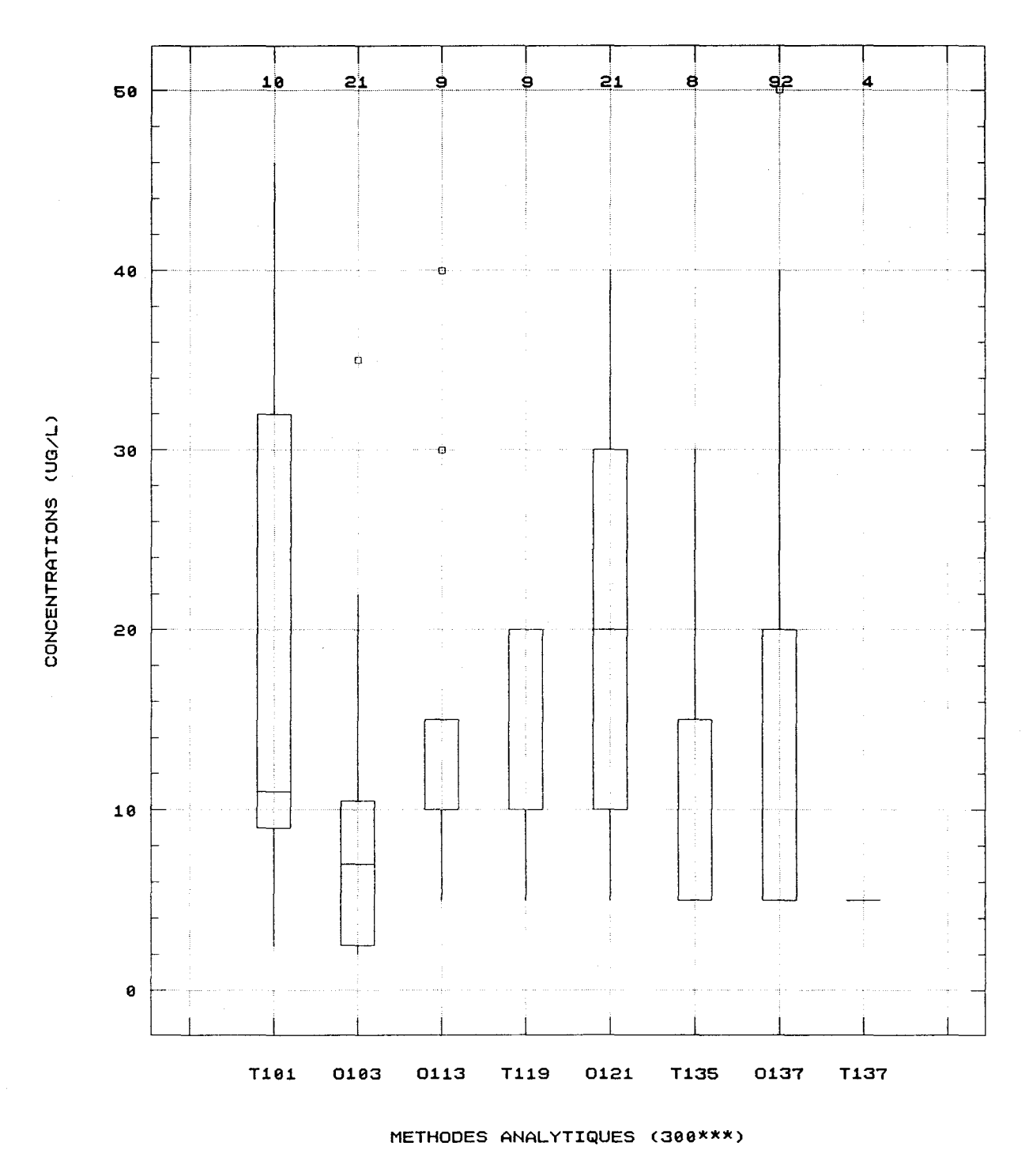


Figure 38. Diagrammes en boites illustrant la gamme des concentrations de zinc à la station 03090001 selon les méthodes de mesure et de préservation. On indique s'il s'agit d'échantillons prélevés par un technicien (T) ou par un observateur (O). Le nombre d'observations par méthode est indiqué en haut du graphique.

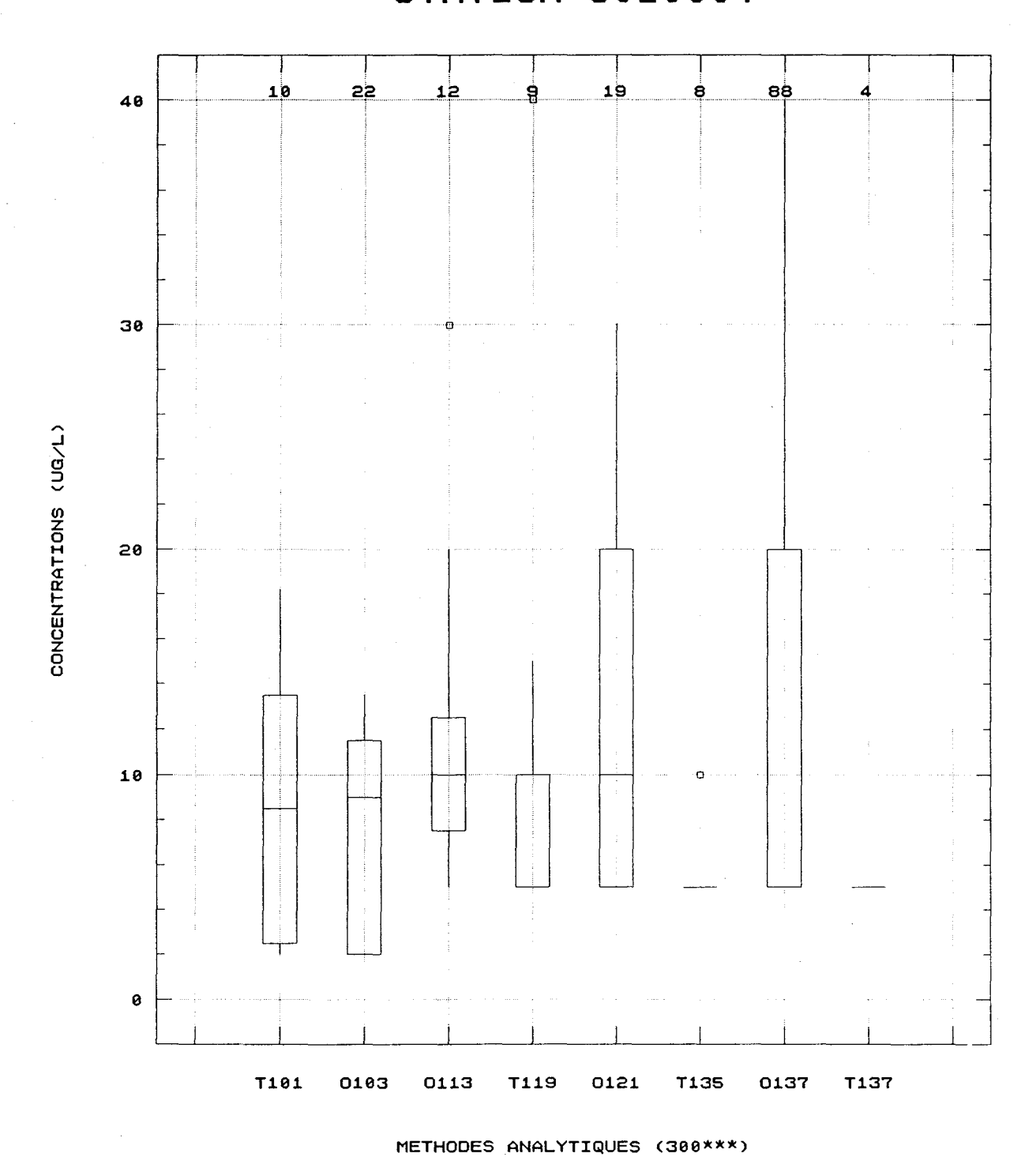


Figure 39. Diagrammes en boites illustrant la gamme des concentrations de zinc à la station 05010007 selon les méthodes de mesure et de préservation. On indique s'il s'agit d'échantillons prélevés par un technicien (T) ou par un observateur (O). Le nombre d'observations par méthode est indiqué en haut du graphique.

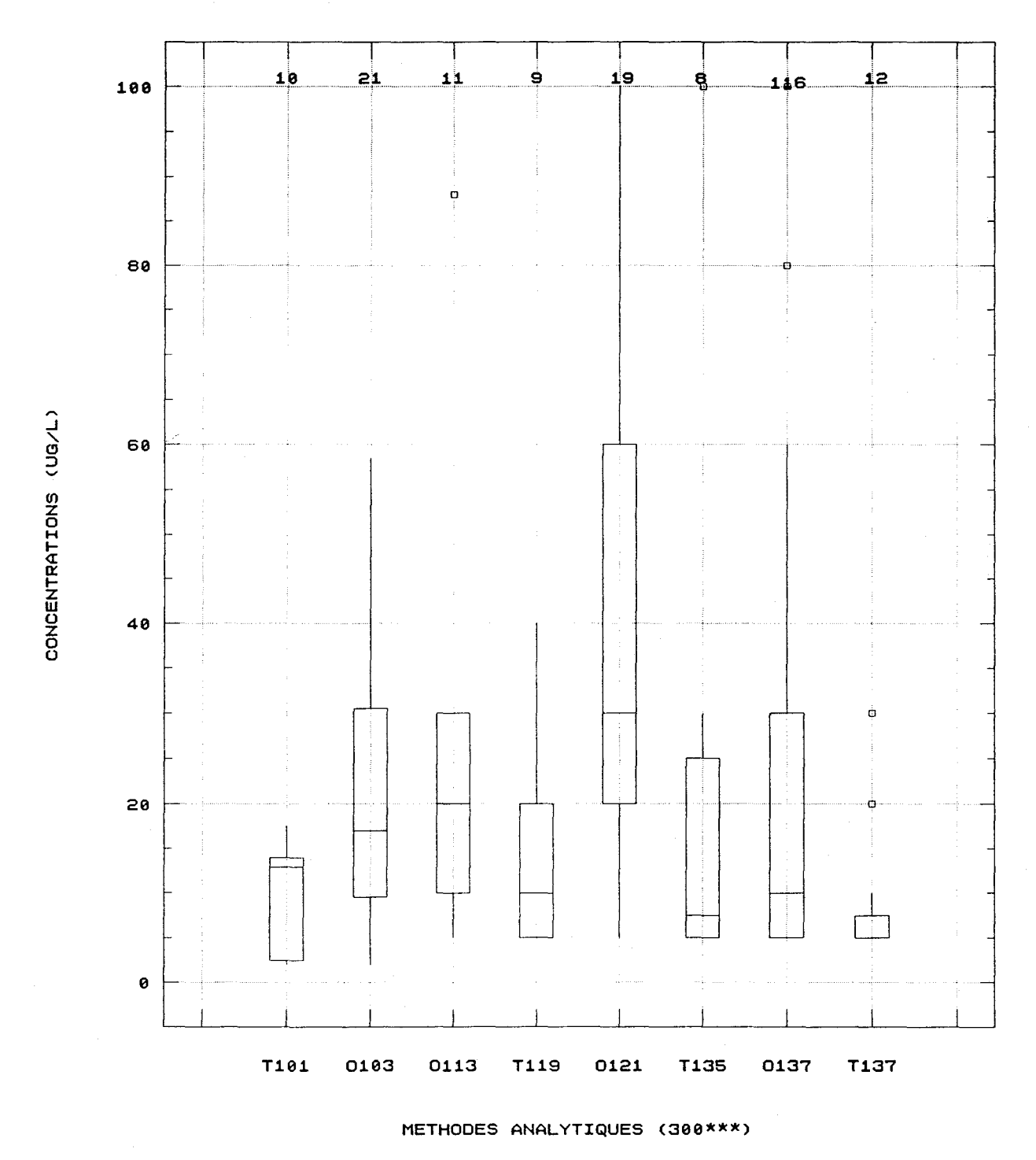
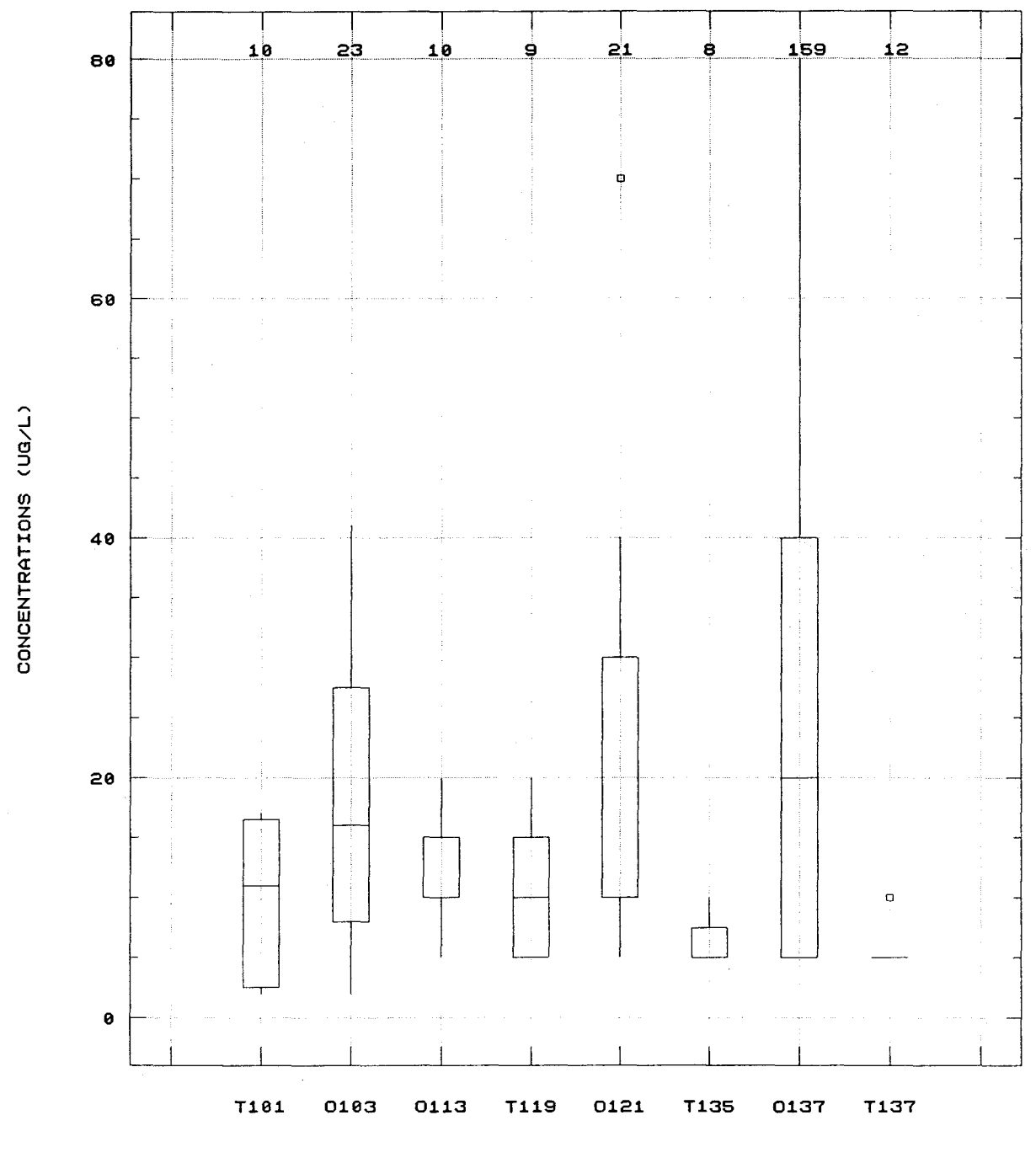


Figure 40. Diagrammes en boites illustrant la gamme des concentrations de zinc à la station 05220003 selon les méthodes de mesure et de préservation. On indique s'il s'agit d'échantillons prélevés par un technicien (T) ou par un observateur (O). Le nombre d'observations par méthode est indiqué en haut du graphique.



METHODES ANALYTIQUES (300\*\*\*)

Figure 41. Diagrammes en boites illustrant la gamme des concentrations de zinc à la station 05220005 selon les méthodes de mesure et de préservation. On indique s'il s'agit d'échantillons prélevés par un technicien (T) ou par un observateur (O). Le nombre d'observations par méthode est indiqué en haut du graphique.

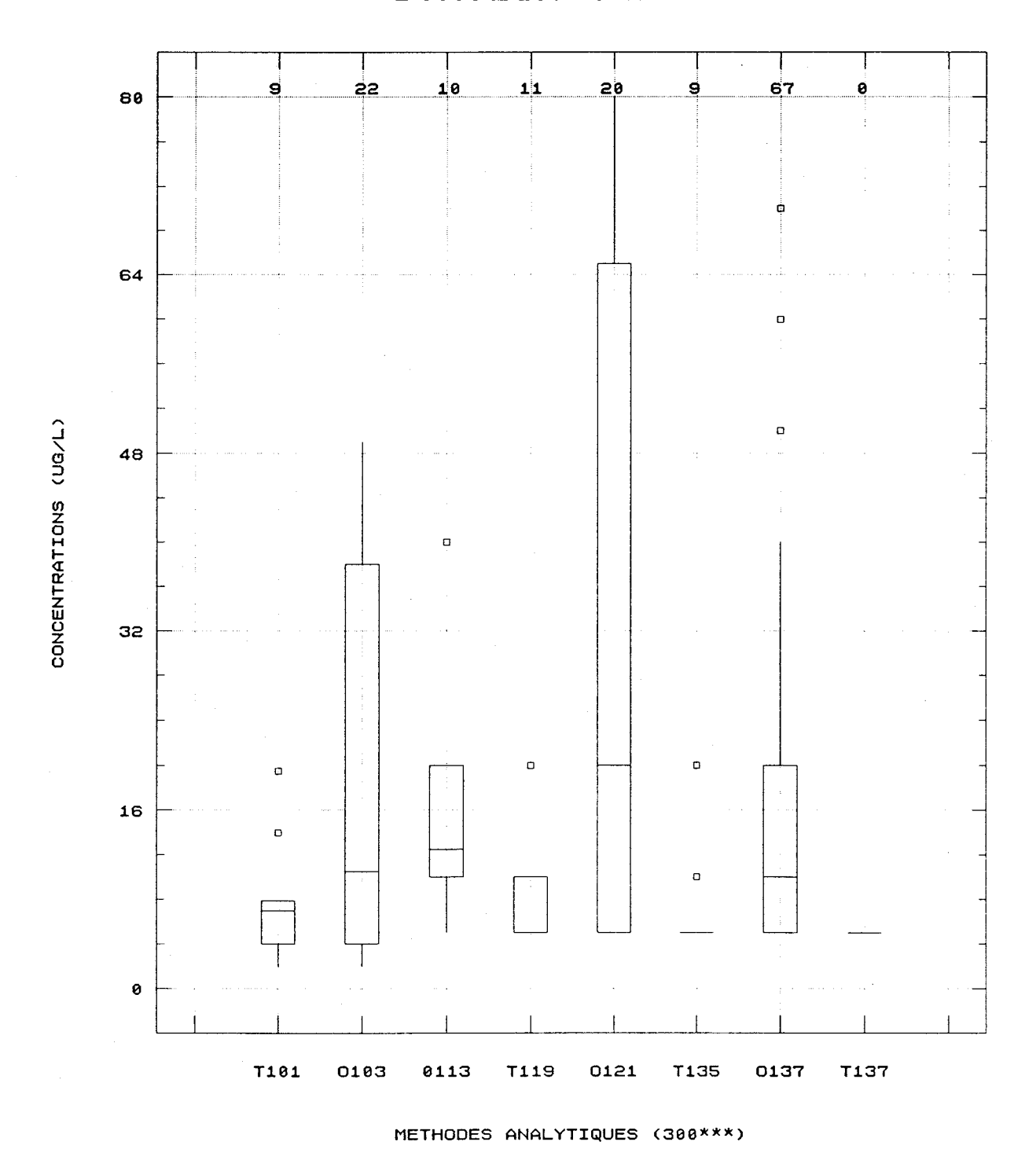


Figure 42. Diagrammes en boites illustrant la gamme des concentrations de zinc à la station 07230003 selon les méthodes de mesure et de préservation. On indique s'il s'agit d'échantillons prélevés par un technicien (T) ou par un observateur (O). Le nombre d'observations par méthode est indiqué en haut du graphique.

#### ANNEXE A

#### Statistiques descriptives par métal

Tableau A.1	Statistiques descriptives pour l'aluminium	75
Tableau A.2	Statistiques descriptives pour le cuivre	78
Tableau A.3	Statistiques descriptives pour le fer	84
Tableau A.4	Statistiques descriptives pour le plomb	88
Tableau A.5	Statistiques descriptives pour le zinc	93

1150003   10001   130137   0.027576   0.046928   0.002394   0.2   0.01	OBS	STATION	PROJET	METHODE	ALMEAN	ALSTD	ALVAR	ALMAX	ALMIN	ALQ1	ALMED	ALQ3	ALNOBS
1150003   10002   130113   0.077857   0.113793   0.012849   0.33   0.025   0.025   0.025   0.065   0.09   7													
6   1150003   10002   130117   0.035   0.009   0.07   0.01   0.01   0.03   0.06   4   7   234.0006   10001   130110   0.055   0.025884   0.00067   0.08   0.02   0.05   0.05   0.06   0.08   0.24   8   234.0006   10002   130113   0.0755   0.025884   0.00067   0.08   0.02   0.05   0.05   0.06   0.08   0.01   11   234.0006   10002   130113   0.0725   0.057756   0.0503336   0.2   0.02   0.035   0.06   0.08   0.01   12   234.0006   10002   130113   0.0725   0.057756   0.0503336   0.2   0.02   0.035   0.06   0.08   0.01   12   234.0006   10001   130113   0.0557   0.059759   0.090736   0.08   0.04   0.045   0.14   0.38   8   12   234.0006   10002   130113   0.09586   0.050115   0.020215   0.22   0.05   0.055   0.07   0.12   12   13   240.0006   10001   130113   0.045647   0.018419   0.000147   0.09   0.04   0.05   0.07   0.12   12   14   240.0004   10002   130113   0.04575   0.02586   0.09665   0.08   0.04   0.05   0.07   0.08   6.3   15   240.0004   10002   130113   0.04575   0.02586   0.096659   0.08   0.01   0.07   0.12   0.22   6.3   16   240.0004   10002   130113   0.04375   0.0256   0.006055   0.08   0.01   0.07   0.16   0.65   0.05	2			130110					0.01			0.01	6
6   1150003   10002   130117   0.035   0.009   0.07   0.01   0.01   0.03   0.06   4   7   234.0006   10001   130110   0.055   0.025884   0.00067   0.08   0.02   0.05   0.05   0.06   0.08   0.24   8   234.0006   10002   130113   0.0755   0.025884   0.00067   0.08   0.02   0.05   0.05   0.06   0.08   0.01   11   234.0006   10002   130113   0.0725   0.057756   0.0503336   0.2   0.02   0.035   0.06   0.08   0.01   12   234.0006   10002   130113   0.0725   0.057756   0.0503336   0.2   0.02   0.035   0.06   0.08   0.01   12   234.0006   10001   130113   0.0557   0.059759   0.090736   0.08   0.04   0.045   0.14   0.38   8   12   234.0006   10002   130113   0.09586   0.050115   0.020215   0.22   0.05   0.055   0.07   0.12   12   13   240.0006   10001   130113   0.045647   0.018419   0.000147   0.09   0.04   0.05   0.07   0.12   12   14   240.0004   10002   130113   0.04575   0.02586   0.09665   0.08   0.04   0.05   0.07   0.08   6.3   15   240.0004   10002   130113   0.04575   0.02586   0.096659   0.08   0.01   0.07   0.12   0.22   6.3   16   240.0004   10002   130113   0.04375   0.0256   0.006055   0.08   0.01   0.07   0.16   0.65   0.05													0
6   1150003   10002   130117   0.035   0.009   0.07   0.01   0.01   0.03   0.06   4   7   234.0006   10001   130110   0.055   0.025884   0.00067   0.08   0.02   0.05   0.05   0.06   0.08   0.24   8   234.0006   10002   130113   0.0755   0.025884   0.00067   0.08   0.02   0.05   0.05   0.06   0.08   0.01   11   234.0006   10002   130113   0.0725   0.057756   0.0503336   0.2   0.02   0.035   0.06   0.08   0.01   12   234.0006   10002   130113   0.0725   0.057756   0.0503336   0.2   0.02   0.035   0.06   0.08   0.01   12   234.0006   10001   130113   0.0557   0.059759   0.090736   0.08   0.04   0.045   0.14   0.38   8   12   234.0006   10002   130113   0.09586   0.050115   0.020215   0.22   0.05   0.055   0.07   0.12   12   13   240.0006   10001   130113   0.045647   0.018419   0.000147   0.09   0.04   0.05   0.07   0.12   12   14   240.0004   10002   130113   0.04575   0.02586   0.09665   0.08   0.04   0.05   0.07   0.08   6.3   15   240.0004   10002   130113   0.04575   0.02586   0.096659   0.08   0.01   0.07   0.12   0.22   6.3   16   240.0004   10002   130113   0.04375   0.0256   0.006055   0.08   0.01   0.07   0.16   0.65   0.05			10002										ý
8 2340006 10002 130113 0.055 0.025884 0.00067 0.68 0.02 0.03 0.06 0.08 6.0 0.25 0.02													4
8 2340006 10002 130113 0.055 0.025884 0.00067 0.68 0.02 0.03 0.06 0.08 6.0 0.25 0.02	7	23/1004	10001	130137	0 133058	0 105805	0 011105	0.5	0.03	0.075	0.1	0 165	48
9 2340006 10002 130133 0.197143 0.2166 0.046915 0.03 0.025 0.025 0.14 0.31 7 10 2340006 10002 130135 0.0725 0.037576 0.033336 0.2 0.02 0.035 0.06 0.085 8 11 2340006 10002 130137 0.025959 0.0297576 0.033336 0.2 0.05 0.065 0.14 0.038 8 12 2340006 10002 130137 0.026667 0.050151 0.002515 0.89 0.04 0.045 0.14 0.038 8 13 2400004 10001 130137 0.222857 0.299559 0.099736 0.89 0.04 0.045 0.14 0.05 0.17 0.12 12 13 240006 10002 130113 1.015714 1.570168 2.465429 3.04 0.04 0.05 0.07 0.12 0.22 63 14 240004 10002 130113 1.015714 1.570168 2.465429 3.04 0.04 0.05 0.07 0.08 63 15 240004 10002 130135 0.3 0.345956 0.119286 0.09 0.02 0.05 0.1 0.05 0.05 17 240004 10002 130135 0.3 0.345956 0.119286 0.09 0.02 0.05 0.1 0.05 0.05 18 240004 10002 130135 0.3 0.345956 0.119286 0.09 0.02 0.05 0.1 0.05 0.85 19 3010008 10001 130137 0.055 0.03317 0.00181 0.02 0.06 0.06 0.095 12 20 3010008 10002 130113 0.895714 1.173349 1.379095 3 0.05 0.06 0.25 2.1 7 22 3010008 10002 130135 0.35125 0.513126 0.263298 1.53 0.01 0.02 0.06 0.05 0.05 0.08 23 301008 10002 130135 0.35125 0.513126 0.263298 1.53 0.01 0.02 0.10 0.04 0.06 0.25 2.1 7 24 3010008 10002 130137 0.0375 0.02649 0.00679 0.07 0.01 0.01 0.04 0.06 0.25 2.1 7 25 3020031 10002 130137 0.0375 0.026647 0.003377 0.000347 0.07 0.01 0.01 0.04 0.06 0.25 2.1 7 26 3020031 10002 130137 0.0375 0.026647 0.00370 0.07 0.07 0.08 0.05 0.08 12 25 3020031 10002 130137 0.0375 0.026647 0.00370 0.00347 0.09 0.04 0.04 0.05 0.05 0.08 12 26 3020031 10002 130135 0.35125 0.513126 0.263298 1.53 0.01 0.01 0.01 0.04 0.06 0.25 2.1 7 26 3020031 10002 130137 0.0375 0.026667 0.00370 0.00377 0.000347 0.09 0.04 0.04 0.05 0.05 0.08 12 26 3020031 10002 130137 0.0375 0.026667 0.03760 0.00377 0.000347 0.09 0.04 0.04 0.05 0.05 0.08 12 27 3020031 10002 130137 0.026667 0.03760 0.00337 0.00337 0.000347 0.09 0.00 0.00 0.00 0.00 0.00 0.00 0.0			10001	130137		0.103884							6
12   22400004   10002   130137   0.096667   0.050151   0.002515   0.22   0.05   0.065   0.07   0.12   12   12   12   14   14   14   14			10002							0.025			7
12   22400004   10002   130137   0.096667   0.050151   0.002515   0.22   0.05   0.065   0.07   0.12   12   12   12   14   14   14   14													8
13   2400004   10001   130137   0.222857   0.309554   0.095824   1.83   0.01   0.07   0.12   0.22   63   14   2400004   10002   130113   0.157714   1.57018   2.465249   4.36   0.08   0.13   0.2   1.62   7   16   2400004   10002   130113   0.157714   1.57018   2.465249   4.36   0.08   0.13   0.2   1.62   7   16   2400004   10002   130113   0.04375   0.0256   0.000655   0.08   0.01   0.02   0.045   0.065   17   2400004   10002   1301137   0.055   0.3   0.34555   0.119868   0.9   0.02   0.05   0.1   0.59   8   18   2400004   10002   1301137   0.055   0.119202   0.014209   0.46   0.02   0.04   0.06   0.05   12   19   10002   1301137   0.055   0.119202   0.014209   0.46   0.02   0.04   0.06   0.055   12   19   10002   130113   0.055   0.033117   0.00111   0.09   0.01   0.03   0.055   0.09   6   12   1301008   10002   130113   0.055   0.033117   0.00111   0.09   0.01   0.03   0.055   0.09   6   12   1301008   10002   130113   0.0555   0.03517   0.026467   0.006679   0.07   0.01   0.01   0.02   0.04   0.06   0.055   0.09   12   13013008   10002   130137   0.273333   0.733005   0.537297   2.6   0.04   0.04   0.05   0.055   0.095   12   1301008   10002   130137   0.273333   0.733005   0.537297   2.6   0.04   0.04   0.055   0.085   12   12   1301008   10002   130137   0.273333   0.733005   0.537297   2.6   0.04   0.04   0.055   0.085   12   12   1301008   10002   130113   0.273333   0.733005   0.537297   2.6   0.04   0.04   0.055   0.085   12   12   1301008   10002   130113   0.273333   0.733005   0.537297   2.6   0.04   0.04   0.055   0.085   12   12   1301008   10002   130113   0.26667   0.086697													8
14         2400004         10002         130110         0.066667         0.018619         0.000347         0.09         0.4         0.05         0.07         0.08         6           15         2400004         10002         130113         1.05714         1.570168         2.66529         4.36         0.08         0.01         0.02         0.045         0.065         8           17         2400004         10002         130137         0.095         0.11902         0.002         0.0         0.01         0.59         8           18         2400004         10002         130137         0.055         0.17202         0.014209         0.46         0.02         0.04         0.06         0.095         1.24           23         3010008         10002         130113         0.95747         1.17430         1.379095         0.0         0.01         0.05         0.01         0.05         0.05         0.03317         0.011         0.00         0.05         0.05         0.03317         0.011         0.01         0.05         0.05         0.05         0.03317         0.011         0.02         0.01         0.02         0.01         0.02         0.01         0.02         0.01         0.02	12	2340006	10002	130137	0.096667	0.050151	0.002515	0.22	0.05	0.065	0.07	0.12	12
15 2400004 10002 130137 0.04375 0.0250 0.000655 0.08 0.01 0.02 0.05 0.05 0.05 8 17 2400004 10002 130135 0.3 0.35956 0.119626 0.99 0.02 0.05 0.1 0.59 8 18 2400004 10002 130137 0.095 0.119202 0.014209 0.46 0.02 0.04 0.06 0.095 12 19 3010008 10001 130137 0.55966 0.195392 0.038178 1.24 0.01 0.05 0.1 0.18 58 20 3010008 10002 130110 0.055 0.033317 0.00111 0.09 0.01 0.03 0.055 0.09 6 21 3010008 10002 130113 0.895714 1.174349 1.379095 3 0.05 0.06 0.25 2.1 7 7 22 3010008 10002 130132 0.395714 1.174349 1.379095 3 0.05 0.06 0.25 2.1 7 7 22 3010008 10002 130132 0.35125 0.151326 0.252398 1.53 0.01 0.02 0.01 0.04 0.06 0.06 8 23 3010008 10002 130135 0.35125 0.151326 0.252398 1.53 0.01 0.02 0.01 10.04 0.06 8 23 3010008 10002 130137 0.275333 0.753005 0.597297 2.6 0.04 0.045 0.055 0.085 12 2 2 2 2 2 2 2 2 2 2 2 2 2 2 2 2 2 2													
16         2400004         10002         130132         0.04375         0.0256         0.000655         0.08         0.01         0.02         0.045         0.065         8           18         2400004         10002         130137         0.095         0.119202         0.0146209         0.04         0.02         0.04         0.06         0.095         12           19         3010008         10001         130117         0.158966         0.195392         0.031818         1.24         0.01         0.05         0.01         0.01         0.03         0.055         0.033317         0.010         0.03         0.055         0.030317         0.000111         0.09         0.01         0.03         0.055         0.000111         0.09         0.01         0.03         0.055         0.000111         0.00         0.01         0.03         0.055         0.0001         0.0002         0.01         0.00         0.01         0.00         0.01         0.00         0.01         0.00         0.00         0.00         0.00         0.05         0.01         0.05         0.01         0.00         0.00         0.00         0.00         0.00         0.00         0.00         0.00         0.00         0.00				130110									6
17 2400004 10002 130137 0.095 0.119202 0.014209 0.46 0.02 0.05 0.1 0.59 8 18 2400004 10002 130137 0.095 0.19502 0.014209 0.46 0.02 0.04 0.06 0.095 12 19 3010008 10001 130137 0.158966 0.195392 0.038178 1.24 0.01 0.05 0.1 0.18 58 20 3010008 10002 130113 0.895714 1.174349 1.379095 3 0.05 0.06 0.25 2.1 7 22 3010008 10002 130113 0.985714 1.174349 1.379095 3 0.05 0.06 0.25 2.1 7 23 3010008 10002 130135 0.35125 0.151326 0.2625298 1.53 0.01 0.02 0.01 0.04 0.06 0.06 8 23 3010008 10002 130135 0.35125 0.151326 0.2625298 1.53 0.01 0.02 0.17 0.445 8 24 3010008 10002 130137 0.275333 0.753005 0.557297 2.6 0.04 0.045 0.055 0.085 12 25 3020031 10001 130137 0.378438 0.557837 0.322439 2.35 0.08 0.01 0.055 0.085 12 26 3020031 10002 130113 0.05647 0.018619 0.000347 0.09 0.04 0.04 0.05 0.055 0.066 6.2 27 3020031 10002 130113 1.277143 2.18770 4.786424 6.17 0.16 0.18 0.36 1.16 7 28 3020031 10002 130135 0.26269 0.09226 4.00037 0.08 0.01 0.04 0.05 0.055 0.065 8 29 3020031 10002 130135 0.2125 0.095581 0.009536 0.080 0.1 0.04 0.05 0.05 8 29 3020031 10002 130137 0.136667 0.042068 0.000177 0.24 0.09 0.10 0.04 0.05 0.05 18 30 3020037 10002 130137 0.026667 0.042068 0.000177 0.24 0.09 0.10 0.04 0.05 0.05 12 31 3020037 10002 130135 0.026667 0.037838 0.0000547 0.07 0.01 0.01 0.03 0.04 36 33 3020037 10002 130135 0.026667 0.007599 0.000547 0.07 0.01 0.01 0.02 0.03 0.04 36 33 3020037 10002 130135 0.026667 0.007599 0.000057 0.03 0.01 0.01 0.01 0.02 0.03 64 30 3030023 10002 130135 0.02853 0.005759 0.000057 0.03 0.01 0.01 0.01 0.02 0.03 64 30 3030023 10002 130135 0.02853 0.005759 0.000057 0.03 0.01 0.01 0.01 0.02 0.03 64 30 3030023 10002 130137 0.028667 0.007599 0.00759 0.00007 0.01 0.01 0.01 0.01 0.01 0.03 7 35 3020037 10002 130137 0.028667 0.007599 0.00959 0.03 0.01 0.01 0.01 0.01 0.01 0.01 0.01				130113									(
18         2400004         10002         130137         0.095         0.119202         0.014209         0.46         0.02         0.04         0.06         0.095         12           19         3010008         10001         130137         0.158966         0.195392         0.038178         1.24         0.01         0.055         0.09         6           21         3010008         10002         130130         0.895714         1.174349         1.379095         3         0.055         0.00         0.06           22         3010008         10002         130135         0.35152         0.26049         0.000679         0.07         0.01         0.04         0.06           24         3010008         10002         130137         0.273333         0.73305         0.5537297         2.6         0.04         0.045         0.055         0.085         12           25         3020031         10001         130137         0.378438         0.567837         0.322439         2.35         0.08         0.11         0.155         0.29         32           26         3020031         10002         130113         1.277143         2.7876204         1.04         0.04         0.04         0.04 <td></td> <td>8</td>													8
20 3010008 10002 130113 0.9571 1.174349 1.379095 3 0.05 0.06 0.25 2.1 7 22 3010008 10002 13013 0.895714 1.174349 1.379095 3 0.05 0.06 0.25 2.1 7 22 3010008 10002 130135 0.35125 0.513126 0.26649 0.000679 0.07 0.01 0.01 0.04 0.06 8 23 3010008 10002 130137 0.273333 0.733005 0.537297 2.6 0.04 0.04 0.05 0.055 0.085 12 25 3020031 10001 130137 0.378438 0.567837 0.322439 2.35 0.08 0.11 0.155 0.06 6 27 3020031 10002 130113 1.277143 2.18779 4.784246 6.17 0.16 0.18 0.36 1.16 7 28 3020031 10002 130131 0.046667 0.018619 0.000347 0.09 0.04 0.04 0.05 0.05 0.06 6 29 3020031 10002 130135 0.1215 0.04625 0.019226 0.00037 0.08 0.01 0.04 0.05 0.05 0.06 6 29 3020031 10002 130135 0.26667 0.042068 0.00137 0.24 0.09 0.0105 0.125 0.105 12 31 3020037 10001 130137 0.26667 0.042068 0.00137 0.24 0.09 0.105 0.125 0.105 12 31 3020037 10001 130137 0.226667 0.042068 0.00177 0.24 0.09 0.105 0.125 0.105 0.13 0.34 0.34 0.34 0.12 0.125 0.05 0.05 0.00 0.0017 0.24 0.09 0.005 0.05 0.00 0.00 0.00 0.00 0.0													12
20 3010008 10002 130113 0.9571 1.174349 1.379095 3 0.05 0.06 0.25 2.1 7 22 3010008 10002 13013 0.895714 1.174349 1.379095 3 0.05 0.06 0.25 2.1 7 22 3010008 10002 130135 0.35125 0.513126 0.26649 0.000679 0.07 0.01 0.01 0.04 0.06 8 23 3010008 10002 130137 0.273333 0.733005 0.537297 2.6 0.04 0.04 0.05 0.055 0.085 12 25 3020031 10001 130137 0.378438 0.567837 0.322439 2.35 0.08 0.11 0.155 0.06 6 27 3020031 10002 130113 1.277143 2.18779 4.784246 6.17 0.16 0.18 0.36 1.16 7 28 3020031 10002 130131 0.046667 0.018619 0.000347 0.09 0.04 0.04 0.05 0.05 0.06 6 29 3020031 10002 130135 0.1215 0.04625 0.019226 0.00037 0.08 0.01 0.04 0.05 0.05 0.06 6 29 3020031 10002 130135 0.26667 0.042068 0.00137 0.24 0.09 0.0105 0.125 0.105 12 31 3020037 10001 130137 0.26667 0.042068 0.00137 0.24 0.09 0.105 0.125 0.105 12 31 3020037 10001 130137 0.226667 0.042068 0.00177 0.24 0.09 0.105 0.125 0.105 0.13 0.34 0.34 0.34 0.12 0.125 0.05 0.05 0.00 0.0017 0.24 0.09 0.005 0.05 0.00 0.00 0.00 0.00 0.0	10	3010008	10001	130137	0 158066	0 105302	0 038178	1 2/	0 01	0.05	0.1	0 18	5.0
21 3010008 10002 130131 0.895714 1.174349 1.379095 3 0.05 0.06 0.25 2.1 7 22 3010008 10002 130135 0.35125 0.126049 0.000679 0.07 0.07 10.01 0.01 0.04 0.06 8 23 3010008 10002 130135 0.35125 0.1513126 0.263298 1.53 0.01 0.02 0.17 0.445 8 24 3010008 10002 130137 0.27533 0.733005 0.537297 2.6 0.04 0.045 0.055 0.085 12 2 2 3 2 0.031 10001 130137 0.378438 0.567837 0.322439 2.35 0.08 0.11 0.155 0.29 32 2 2 3 0.00031 10002 130113 1.277143 2.18779 4.786426 6.17 0.16 0.18 0.35 1.16 7 2 8 3020031 10002 130113 1.277143 2.18779 4.786426 6.17 0.16 0.18 0.35 1.16 7 2 8 3020031 10002 130135 0.04625 0.09581 0.00037 0.08 0.01 0.04 0.05 0.05 18 3 2 3 0 0 0 0 0 0 0 0 0 0 0 0 0 0 0 0 0				130110									
22 3010008 10002 130135 0.35125 0.513126 0.263298 1.53 0.01 0.01 0.02 0.17 0.445 8 23 3010008 10002 130137 0.273333 0.733005 0.537297 2.6 0.04 0.045 0.055 0.085 12 25 3020031 10001 130137 0.273333 0.733005 0.537297 2.6 0.04 0.04 0.055 0.085 12 26 3020031 10002 130113 0.05667 0.018619 0.000347 0.09 0.04 0.04 0.055 0.06 6 27 3020031 10002 130113 1.277143 2.18779 4.786424 6.17 0.16 0.18 0.36 1.16 7 28 3020031 10002 130135 0.04625 0.019226 0.00037 0.08 0.01 0.04 0.05 0.05 0.06 6 29 3020031 10002 130135 0.2125 0.095581 0.009136 0.34 0.12 0.125 0.105 0.8 0.0 0.0 0.0 0.0 0.0 0.0 0.0 0.0 0.0													7
23 3010008 10002 130137 0.35125 0.513126 0.263298 1.53 0.01 0.02 0.17 0.445 8 2 2 301008 10002 130137 0.273333 0.733005 0.537277 2.6 0.04 0.045 0.055 0.085 0.085 0.29 32 0.0031 10002 130110 0.056667 0.018619 0.000347 0.09 0.04 0.04 0.055 0.06 6 2 3020031 10002 130113 1.277143 2.18779 4.786424 6.17 0.16 0.18 0.36 1.16 7 7 28 3020031 10002 130132 0.04625 0.09226 0.00037 0.08 0.01 0.04 0.05 0.05 0.05 8 2 3020031 10002 130135 0.2125 0.09581 0.000136 0.34 0.12 0.125 0.18 0.35 1.16 7 3 0.302031 10002 130137 0.136667 0.042068 0.00177 0.24 0.09 0.105 0.125 0.18 0.315 8 3 0.3020037 10002 130137 0.026667 0.042068 0.00177 0.24 0.09 0.105 0.125 0.155 12 13 0.00037 10002 130130 0.026667 0.042068 0.00177 0.24 0.09 0.105 0.125 0.155 12 13 0.00037 10002 130130 0.05667 0.025810 0.000330 0.08 0.01 0.01 0.03 0.04 36 0.33 3020037 10002 130130 0.05667 0.002381 0.000547 0.07 0.01 0.01 0.02 0.03 6 0.33 3020037 10002 130133 0.057143 0.052381 0.000547 0.07 0.01 0.01 0.02 0.03 6 0.055 0.00000000000000000000000000000	22					0.026049		0.07		0.01	0.04	0.06	8
25 3020031 10002 130113 0.056667 0.018619 0.000347 0.09 0.04 0.055 0.06 62 3020031 10002 130113 1.277143 2.18779 4.786424 6.17 0.16 0.18 0.36 1.16 7 7 28 3020031 10002 130135 0.04625 0.094264 6.17 0.16 0.18 0.36 1.16 7 7 28 3020031 10002 130135 0.04625 0.09526 0.00037 0.08 0.01 0.04 0.05 0.05 8 2 3020031 10002 130135 0.2125 0.09581 0.000136 0.34 0.12 0.125 0.18 0.35 1.16 7 3 3020031 10002 130137 0.136667 0.042068 0.00177 0.24 0.09 0.105 0.125 0.18 0.315 8 3 3 3020031 10002 130137 0.26667 0.042068 0.00177 0.24 0.09 0.105 0.125 0.155 12 13 13 3020037 10001 130137 0.026667 0.042068 0.00177 0.24 0.09 0.105 0.125 0.155 12 13 13 3020037 10002 130113 0.057143 0.052381 0.000547 0.07 0.01 0.01 0.03 0.04 36 32 3020037 10002 130113 0.057143 0.052381 0.000547 0.000547 0.07 0.01 0.01 0.02 0.03 6 33 3020037 10002 130113 0.057143 0.052381 0.000547 0.00244 0.17 0.025 0.025 0.025 0.07 7 34 3020037 10002 130135 0.03 0.04045 0.000547 0.000547 0.000057 0.03 0.01 0.01 0.01 0.01 7 35 3020037 10002 130135 0.03 0.04045 0.001633 0.12 0.01 0.01 0.01 0.01 7 35 3020037 10002 130137 0.025833 0.016005 0.00027 0.05 0.01 0.01 0.01 0.01 7 35 3020037 10002 130137 0.055833 0.01505 0.000227 0.05 0.01 0.01 0.01 0.01 0.03 7 38 3030023 10002 130110 0.092 0.044385 0.01097 0.14 0.04 0.05 0.19 0.04 0.05 0.11 0.12 5 39 3030023 10002 130113 0.3571667 1.688566 2.851257 4.51 0.37 0.84 2.485 3.54 6 4 3030023 10002 130135 0.495 0.19799 0.0392 0.77 0.13 0.385 0.52 0.625 8 4 2 3030023 10002 130135 0.495 0.19799 0.0392 0.77 0.13 0.385 0.52 0.625 8 4 2 3030031 10002 130137 0.066667 0.251119 0.063061 1.2 0.026 0.05 0.05 0.05 0.05 0.05 0.05 0.05 0.0	23			130135		0.513126							8
26 3020031 10002 130110 0.056667 0.018619 0.000347 0.09 0.04 0.04 0.055 0.06 6 6 7 28 3020031 10002 130131 1.277143 2.18779 4.786424 6.17 0.16 0.18 0.36 1.16 7 28 3020031 10002 130135 0.2125 0.095281 0.00037 0.08 0.01 0.04 0.05 0.05 8 29 3020031 10002 130137 0.136667 0.042068 0.009136 0.34 0.12 0.125 0.125 0.155 12 13 1 0 0 0 0 0 0 0 0 0 0 0 0 0 0 0 0 0	24	3010008	10002	130137	0.273333	0.733005	0.537297	2.6	0.04	0.045	0.055	0.085	12
27 3020031 10002 130132 0.04625 0.019226 0.00037 0.08 0.01 0.04 0.05 0.05 8 29 3020031 10002 130132 0.04625 0.019226 0.00037 0.08 0.01 0.04 0.05 0.05 8 29 3020031 10002 130135 0.2125 0.095581 0.009136 0.34 0.12 0.125 0.125 0.18 0.315 8 30 3020031 10002 130137 0.136667 0.042068 0.00177 0.24 0.09 0.105 0.125 0.125 0.155 12 31 3020037 10001 130137 0.026667 0.022381 0.000347 0.07 0.01 0.01 0.03 0.04 3.6 3.3 3020037 10002 130110 0.026667 0.023381 0.000547 0.07 0.01 0.01 0.02 0.03 6 3.3 3020037 10002 130113 0.057143 0.055296 0.00254 0.07 0.01 0.01 0.02 0.03 6 3.3 3020037 10002 130135 0.03 0.057143 0.05759 0.000057 0.03 0.01 0.01 0.01 0.01 0.07 0.07 3.4 3020037 10002 130135 0.025837 0.007559 0.000057 0.03 0.01 0.01 0.01 0.01 0.03 7 3.0 3020037 10002 130135 0.025833 0.01059 0.000227 0.05 0.01 0.01 0.01 0.03 7 3.0 3020037 10002 130137 0.025833 0.01505 0.000227 0.05 0.01 0.01 0.01 0.03 7 3.0 3020037 10002 130137 0.025833 0.01505 0.000227 0.05 0.01 0.01 0.01 0.02 0.04 12 3.0 3020037 10002 130137 0.0551556 0.564338 0.318477 3.16 0.03 0.19 0.39 0.63 45 3.0 302033 10002 130113 0.092 0.044385 0.00197 0.14 0.04 0.05 0.11 0.12 5 3.0 3030023 10002 130132 0.03375 0.019226 0.00037 0.06 0.01 0.015 0.035 0.05 8 41 3030023 10002 130132 0.03375 0.019226 0.00037 0.06 0.01 0.015 0.035 0.05 8 41 3030023 10002 130132 0.03375 0.019226 0.00037 0.06 0.01 0.015 0.035 0.05 8 42 3030031 10002 130137 0.606667 0.257119 0.0392 0.77 0.13 0.385 0.52 0.625 8 47 3030031 10002 130137 0.066667 0.257119 0.0392 0.77 0.13 0.385 0.52 0.625 8 47 3030031 10002 130137 0.0275 0.02656 0.00027 0.08 0.02 0.05 0.04 0.05 6 67 3030031 10002 130137 0.0275 0.02656 0.00027 0.08 0.02 0.05 0.04 0.05 6 67 3030031 10002 130137 0.0275 0.02656 0.00027 0.08 0.04 0.01 0.01 0.02 0.045 8 48 3030031 10002 130137 0.0275 0.02656 0.00027 0.08 0.04 0.01 0.01 0.02 0.045 8 304009 10002 130137 0.22640 0.03757 0.02806 0.085 0.04 0.11 0.16 0.22 47 5030009 10002 130137 0.22660 0.03757 0.02806 0.00027 0.09 0.09 0.005 0.05 0.015 0.05 0.05 0.05 0.066 7 304009 10002 130137 0.285833 0.319899 0.1	25												
30         3020031         10002         130137         0.136667         0.042068         0.00177         0.24         0.09         0.105         0.125         0.155         12           31         3020037         10001         130137         0.026667         0.017403         0.000303         0.08         0.01         0.01         0.02         0.03         6           32         3020037         10002         130113         0.05249         0.00284         0.17         0.025         0.025         0.07         7           34         3020037         10002         130132         0.012857         0.00057         0.03         0.01         0.0	26												6
30         3020031         10002         130137         0.136667         0.042068         0.00177         0.24         0.09         0.105         0.125         0.155         12           31         3020037         10001         130137         0.026667         0.017403         0.000303         0.08         0.01         0.01         0.02         0.03         6           32         3020037         10002         130113         0.05249         0.00284         0.17         0.025         0.025         0.07         7           34         3020037         10002         130132         0.012857         0.00057         0.03         0.01         0.0													(
30         3020031         10002         130137         0.136667         0.042068         0.00177         0.24         0.09         0.105         0.125         0.155         12           31         3020037         10001         130137         0.026667         0.017403         0.000303         0.08         0.01         0.01         0.02         0.03         6           32         3020037         10002         130113         0.05249         0.00284         0.17         0.025         0.025         0.07         7           34         3020037         10002         130132         0.012857         0.00057         0.03         0.01         0.0	28 20		10002		0.04625	0.019220				0.04			8
32         3020037         10002         130110         0.026667         0.023381         0.000547         0.07         0.01         0.02         0.03         6           33         3020037         10002         130132         0.057143         0.0553296         0.00284         0.17         0.025         0.025         0.025         0.025         0.027         7           34         3020037         10002         130135         0.012857         0.00057         0.00057         0.0001         0.03         0         0.00         0.01         0.01         0.00         0.00         0.01         0.01         0.01<				130137									
32         3020037         10002         130110         0.026667         0.023381         0.000547         0.07         0.01         0.02         0.03         6           33         3020037         10002         130132         0.057143         0.0553296         0.00284         0.17         0.025         0.025         0.025         0.025         0.027         7           34         3020037         10002         130135         0.012857         0.00057         0.00057         0.0001         0.03         0         0.00         0.01         0.01         0.00         0.00         0.01         0.01         0.01<	31	3020037	10001	130137	0 026667	0 017403	0 000303	0.08	0 01	0.01	በ በፕ	. ი ი∡	36
33 3020037 10002 130132 0.057143 0.053296 0.00284 0.17 0.025 0.025 0.025 0.07 7 34 3020037 10002 130132 0.012857 0.007559 0.000057 0.03 0.01 0.01 0.01 0.01 0.01 7 35 3020037 10002 130135 0.025833 0.01505 0.000227 0.05 0.01 0.01 0.01 0.03 7 36 3020037 10002 130137 0.025833 0.01505 0.000227 0.05 0.01 0.01 0.01 0.02 0.04 12  37 3030023 10001 130137 0.551556 0.564338 0.318477 3.16 0.03 0.19 0.39 0.63 45 38 3030023 10002 130110 0.092 0.044385 0.00197 0.14 0.04 0.05 0.11 0.12 5 39 3030023 10002 130113 2.371667 1.688566 2.851257 4.51 0.37 0.84 2.485 3.54 6 40 3030023 10002 130132 0.03375 0.019226 0.00037 0.06 0.01 0.015 0.035 0.05 8 41 3030023 10002 130132 0.03375 0.19226 0.00037 0.06 0.01 0.015 0.035 0.05 8 42 3030023 10002 130137 0.606667 0.251119 0.063061 1.2 0.26 0.45 0.62 0.7 12 43 3030031 10002 130137 0.42174 0.23277 0.054182 1.6 0.03 0.06 0.05 0.05 0.62 0.7 12 43 3030031 10002 130113 0.340714 0.320682 0.102837 0.87 0.025 0.05 0.05 0.05 0.06 0.01 0.002 130135 0.045335 0.020566 0.000427 0.08 0.02 0.03 0.04 0.05 6 45 3030031 10002 130135 0.340714 0.320682 0.102837 0.87 0.025 0.05 0.36 0.6 7 46 3030031 10002 130135 0.23375 0.020529 0.000421 0.06 0.01 0.01 0.02 0.045 8 48 3030031 10002 130135 0.23375 0.020529 0.000421 0.06 0.01 0.01 0.02 0.045 8 48 3030031 10002 130135 0.23375 0.020529 0.000421 0.06 0.01 0.01 0.02 0.045 8 48 3030031 10002 130135 0.23375 0.020529 0.000421 0.06 0.01 0.01 0.02 0.045 8 48 3030031 10002 130135 0.23375 0.020665 0.072712 0.89 0.07 0.11 0.14 0.205 8 5 3040009 10002 130135 0.23375 0.020665 0.002277 0.15 0.03 0.03 0.06 0.1 6 5 5 3040009 10002 130135 0.28583 0.318899 0.102336 1.17 0.1 0.125 0.175 0.21 12 5 5 3040009 10002 130137 0.021667 0.047924 0.002297 0.15 0.03 0.03 0.06 0.1 6 6 5 5 3040009 10002 130135 0.28583 0.318899 0.102336 1.17 0.1 0.10 0.01 0.01 0.01 0.05 6 5 5 3040009 10002 130135 0.02858 0.034747 0.001207 0.21 0.01 0.01 0.01 0.01 0.01 5.05 5 5 5 3040012 10002 130135 0.034857 0.025308 0.00064 0.09 0.025 0.025 0.025 0.025 0.065 5 0.06 7 3040012 10002 130135 0.03375 0.028584 0.00087													
35         3020037         10002         130135         0.03         0.040415         0.016333         0.12         0.01         0.01         0.01         0.02         0.04         12           37         3030023         10001         130137         0.055833         0.01505         0.000227         0.05         0.01         0.01         0.02         0.04         12           38         3030023         10002         130110         0.092         0.044385         0.00197         0.14         0.04         0.05         0.11         0.12         5           39         3030023         10002         1301132         0.377667         1.688566         2.851257         4.51         0.37         0.84         2.485         3.54         6           40         3030023         10002         130135         0.495         0.19799         0.0392         0.77         0.13         0.385         0.52         0.625         8           41         3030023         10002         130137         0.42174         0.23277         0.054182         1.6         0.03         0.04         0.055         0.025         8           42         3030031         10001         130137         0.142174 <td>33</td> <td></td> <td>10002</td> <td>130113</td> <td></td> <td></td> <td></td> <td></td> <td></td> <td></td> <td></td> <td></td> <td>7</td>	33		10002	130113									7
36         3020037         10002         130137         0.025833         0.01505         0.000227         0.05         0.01         0.01         0.02         0.04         12           37         3030023         10001         130137         0.551556         0.564338         0.318477         3.16         0.03         0.19         0.39         0.63         45           38         3030023         10002         130113         2.371667         1.688566         2.851257         4.51         0.37         0.84         2.485         3.54         6           40         3030023         10002         130132         0.03375         0.019226         0.00037         0.06         0.01         0.015         0.035         0.05         8           41         3030023         10002         130135         0.495         0.19799         0.0392         0.77         0.13         0.385         0.52         0.625         8           42         3030031         10001         130137         0.466667         0.251119         0.063061         1.2         0.26         0.45         0.62         0.7         12           43         3030031         10002         130113         0.342174	34		10002										7
37 3030023 10001 130137 0.551556 0.564338 0.318477 3.16 0.03 0.19 0.39 0.63 45 38 3030023 10002 130110 0.092 0.044385 0.00197 0.14 0.04 0.05 0.11 0.12 5 39 3030023 10002 130113 2.371667 1.688566 2.851257 4.51 0.37 0.84 2.485 3.54 6 40 3030023 10002 130132 0.03375 0.019226 0.00037 0.06 0.01 0.015 0.035 0.05 8 41 3030023 10002 130135 0.495 0.19799 0.0392 0.77 0.13 0.385 0.52 0.625 8 42 3030023 10002 130137 0.606667 0.251119 0.063061 1.2 0.26 0.45 0.62 0.7 12  43 3030031 10001 130137 0.142174 0.23277 0.054182 1.6 0.03 0.06 0.085 0.14 46 44 3030031 10002 130110 0.043333 0.020656 0.000427 0.08 0.02 0.03 0.04 0.05 6 45 3030031 10002 130113 0.340714 0.320682 0.10237 0.87 0.025 0.05 0.36 0.66 7 46 3030031 10002 130135 0.23375 0.269653 0.072712 0.89 0.07 0.11 0.14 0.205 8 47 3030031 10002 130135 0.23375 0.269653 0.072712 0.89 0.07 0.11 0.14 0.205 8 48 3030031 10002 130137 0.1007 0.072001 0.005184 0.32 0.03 0.06 0.11 0.14 0.205 8 48 3030031 10002 130137 0.203404 0.167349 0.022097 0.15 0.03 0.03 0.06 0.11 5 249 3040009 10001 130137 0.203404 0.167349 0.022097 0.15 0.03 0.03 0.06 0.1 49 3040009 10001 130137 0.203404 0.167349 0.022097 0.15 0.03 0.03 0.06 0.1 51 3040009 10002 130113 1.231429 1.395773 1.948181 3.63 0.17 0.18 0.39 2.69 7 52 3040009 10002 130113 0.12625 0.012464 0.000155 0.04 0.01 0.01 0.02 0.03 8 53 3040009 10002 130135 0.12625 0.012464 0.000155 0.04 0.01 0.01 0.02 0.03 8 54 3040009 10002 130137 0.288833 0.319899 0.102336 1.17 0.1 0.10 0.01 0.01 0.01 5 55 3040012 10002 130113 0.042857 0.025308 0.00064 0.09 0.025 0.025 0.025 0.066 7 58 3040012 10002 130113 0.042857 0.025308 0.00067 0.09 0.01 0.01 0.01 0.01 0.01 5 59 3040012 10002 130135 0.03375 0.028754 0.000827 0.09 0.01 0.01 0.01 0.01 0.01 5 59 3040012 10002 130135 0.03375 0.028754 0.000827 0.09 0.01 0.01 0.01 0.01 0.01 5 59 3040012 10002 130135 0.03375 0.028754 0.000827 0.09 0.01 0.01 0.01 0.01 5 59 3040012 10002 130135 0.03375 0.028754 0.000827 0.09 0.01 0.01 0.01 0.01 5 50 3040012 10002 130135 0.03375 0.028754 0.000827 0.09 0.01 0.01 0.01 0.01 5 50 3040012	35												7
38         3030023         10002         130110         0.092         0.044385         0.00179         0.14         0.04         0.05         0.11         0.12         5           39         3030023         10002         130113         2.371667         1.688566         2.851257         4.51         0.37         0.84         2.485         3.54         6           40         3030023         10002         130135         0.495         0.19729         0.0037         0.06         0.01         0.015         0.035         0.05         8           41         3030023         10002         130137         0.606667         0.251119         0.063061         1.2         0.26         0.45         0.62         0.7         12           43         3030031         10001         130137         0.42174         0.23277         0.054182         1.6         0.03         0.06         0.085         0.14         46           44         3030031         10001         130110         0.043333         0.020656         0.000427         0.08         0.02         0.03         0.04         0.05         6           45         3030031         10002         130132         0.0275         0.020529	36	3020037	10002	130137	0.025833	0.01505	0.000227	0.05	0.01	0.01	0.02	0.04	12
38         3030023         10002         130110         0.092         0.044385         0.0017         0.14         0.04         0.05         0.11         0.12         5           39         3030023         10002         130113         2.371667         1.688566         2.851257         4.51         0.37         0.84         2.485         3.54         6           40         3030023         10002         130135         0.495         0.19729         0.0392         0.77         0.13         0.385         0.52         0.625         8           42         3030023         10002         130137         0.606667         0.251119         0.063061         1.2         0.26         0.45         0.62         0.7         12           43         3030031         10001         130137         0.42174         0.23277         0.054182         1.6         0.03         0.06         0.085         0.14         46           44         3030031         10002         130110         0.043333         0.020656         0.00427         0.08         0.02         0.03         0.04         0.05         0.4         46         3030031         10002         130132         0.0275         0.020529         0	37	3030023	10001	130137	0.551556	0.564338	0.318477	3.16	0.03	0.19	0.39	0.63	45
40 3030023 10002 130132 0.03375 0.019226 0.00037 0.06 0.01 0.015 0.035 0.05 8 41 3030023 10002 130137 0.606667 0.251119 0.063061 1.2 0.26 0.45 0.62 0.7 12  43 3030031 10001 130137 0.142174 0.23277 0.054182 1.6 0.03 0.06 0.085 0.14 46 44 3030031 10002 130110 0.043333 0.020656 0.000427 0.08 0.02 0.03 0.04 0.05 6 45 3030031 10002 130113 0.340714 0.320682 0.102837 0.87 0.025 0.05 0.05 0.36 0.6 46 3030031 10002 130132 0.0275 0.020529 0.000421 0.06 0.01 0.01 0.02 0.045 8 47 3030031 10002 130135 0.23375 0.269653 0.072712 0.89 0.07 0.11 0.14 0.205 8 48 3030031 10002 130137 0.1075 0.072001 0.005184 0.32 0.03 0.075 0.095 0.115 12  49 3040009 10001 130137 0.203404 0.167349 0.028006 0.85 0.04 0.11 0.16 0.22 47 50 3040009 10002 130113 1.231429 1.395773 1.948181 3.63 0.17 0.18 0.39 2.69 7 52 3040009 10002 130135 0.2125 0.012667 0.004727 0.01 0.01 0.01 0.02 0.03 8 53 3040009 10002 130137 0.20545 0.012667 0.0056805 0.003227 0.21 0.03 0.03 0.06 0.1 6 51 3040009 10002 130131 1.231429 1.395773 1.948181 3.63 0.17 0.18 0.39 2.69 7 52 3040009 10002 130137 0.285833 0.319899 0.102336 1.17 0.1 0.125 0.155 0.21 12  55 3040012 10002 130110 0.011667 0.047924 0.0003227 0.21 0.03 0.095 0.125 0.165 8 54 3040012 10002 130137 0.285833 0.319899 0.102336 1.17 0.1 0.01 0.01 0.01 0.01 5.6 57 3040012 10002 130110 0.011667 0.04082 0.000017 0.02 0.01 0.01 0.01 0.01 0.01 5.8 59 3040012 10002 130135 0.03375 0.028754 0.00827 0.09 0.01 0.01 0.01 0.01 0.01 5.05 8	38												5
41       3030023       10002       130135       0.495       0.19799       0.0392       0.77       0.13       0.385       0.52       0.625       8         42       3030023       10002       130137       0.606667       0.251119       0.063061       1.2       0.26       0.45       0.62       0.7       12         43       3030031       10001       130137       0.142174       0.23277       0.054182       1.6       0.03       0.06       0.085       0.14       46         44       3030031       10002       130110       0.043333       0.020656       0.000427       0.08       0.02       0.03       0.04       0.05       6         45       3030031       10002       130113       0.340714       0.320682       0.102837       0.87       0.025       0.05       0.36       0.6       7         46       3030031       10002       130132       0.0275       0.020529       0.000421       0.06       0.01       0.01       0.02       0.045       8         47       3030031       10002       130137       0.1075       0.072001       0.05184       0.32       0.03       0.075       0.015       8 <t< td=""><td></td><td></td><td></td><td></td><td></td><td></td><td></td><td></td><td></td><td></td><td></td><td></td><td>6</td></t<>													6
42         3030023         10002         130137         0.606667         0.251119         0.063061         1.2         0.26         0.45         0.62         0.7         12           43         3030031         10001         130137         0.142174         0.23277         0.054182         1.6         0.03         0.06         0.085         0.14         46           44         3030031         10002         130113         0.340714         0.320682         0.102837         0.87         0.025         0.05         0.36         0.6         7           46         3030031         10002         130132         0.0275         0.020529         0.000421         0.06         0.01         0.01         0.02         0.045         8           47         3030031         10002         130135         0.23375         0.269653         0.072712         0.89         0.07         0.11         0.14         0.205         8           48         3030031         10002         130137         0.1075         0.072001         0.005184         0.32         0.03         0.075         0.095         0.115         12           49         3040009         10001         130137         0.203404         <			10002			0.019226						0.05	8
43 3030031 10001 130137 0.142174 0.23277 0.054182 1.6 0.03 0.06 0.085 0.14 46 44 3030031 10002 130110 0.043333 0.020656 0.000427 0.08 0.02 0.03 0.04 0.05 6 45 3030031 10002 130113 0.340714 0.320682 0.102837 0.87 0.025 0.05 0.36 0.6 7 46 3030031 10002 130132 0.0275 0.020529 0.000421 0.06 0.01 0.01 0.02 0.045 8 47 3030031 10002 130135 0.23375 0.269653 0.072712 0.89 0.07 0.11 0.14 0.205 8 48 3030031 10002 130137 0.1075 0.072001 0.005184 0.32 0.03 0.075 0.095 0.115 12  49 3040009 10001 130137 0.203404 0.167349 0.028006 0.85 0.04 0.11 0.16 0.22 47 50 3040009 10002 130110 0.071667 0.047924 0.002297 0.15 0.03 0.03 0.06 0.1 6 51 3040009 10002 130113 1.231429 1.395773 1.948181 3.63 0.17 0.18 0.39 2.69 7 52 3040009 10002 130132 0.02125 0.012464 0.000155 0.04 0.01 0.01 0.02 0.03 8 53 3040009 10002 130135 0.12625 0.056805 0.003227 0.21 0.03 0.095 0.125 0.165 8 54 3040009 10002 130137 0.285833 0.319899 0.102336 1.17 0.1 0.125 0.175 0.21 12  55 3040012 10001 130137 0.027045 0.034747 0.001207 0.21 0.01 0.01 0.01 0.03 44 56 3040012 10002 130113 0.042857 0.025308 0.00017 0.02 0.01 0.01 0.01 0.01 6 57 3040012 10002 130133 0.042857 0.025308 0.000017 0.02 0.01 0.01 0.01 0.01 0.01 59 3040012 10002 130135 0.03375 0.028754 0.000827 0.09 0.01 0.01 0.01 0.025 0.05													12
44         3030031         10002         130110         0.043333         0.020656         0.000427         0.08         0.02         0.03         0.04         0.05         6           45         3030031         10002         130113         0.340714         0.320682         0.102837         0.87         0.025         0.05         0.36         0.6         7           46         3030031         10002         130132         0.0275         0.020529         0.000421         0.06         0.01         0.01         0.02         0.045         8           47         3030031         10002         130135         0.23375         0.269653         0.072712         0.89         0.07         0.11         0.14         0.205         8           48         3030031         10002         130137         0.1075         0.072001         0.005184         0.32         0.03         0.075         0.095         0.115         12           49         3040009         10001         130137         0.203404         0.167349         0.028006         0.85         0.04         0.11         0.16         0.22         47           50         3040009         10002         130113         1.231429													
45 3030031 10002 130113 0.340714 0.320682 0.102837 0.87 0.025 0.05 0.36 0.6 7 46 3030031 10002 130132 0.0275 0.020529 0.000421 0.06 0.01 0.01 0.02 0.045 8 47 3030031 10002 130135 0.23375 0.269653 0.072712 0.89 0.07 0.11 0.14 0.205 8 48 3030031 10002 130137 0.1075 0.072001 0.005184 0.32 0.03 0.075 0.095 0.115 12		3030031	10001	130137	0.142174	0.23277					0.085		
46 3030031 10002 130132 0.0275 0.020529 0.000421 0.06 0.01 0.01 0.02 0.045 8 47 3030031 10002 130135 0.23375 0.269653 0.072712 0.89 0.07 0.11 0.14 0.205 8 48 3030031 10002 130137 0.1075 0.072001 0.005184 0.32 0.03 0.075 0.095 0.115 12  49 3040009 10001 130137 0.203404 0.167349 0.028006 0.85 0.04 0.11 0.16 0.22 47 50 3040009 10002 130110 0.071667 0.047924 0.002297 0.15 0.03 0.03 0.06 0.1 6 51 3040009 10002 130113 1.231429 1.395773 1.948181 3.63 0.17 0.18 0.39 2.69 7 52 3040009 10002 130132 0.02125 0.012464 0.000155 0.04 0.01 0.01 0.02 0.03 8 53 3040009 10002 130135 0.12625 0.056805 0.003227 0.21 0.03 0.095 0.125 0.165 8 54 3040009 10002 130137 0.285833 0.319899 0.102336 1.17 0.1 0.125 0.175 0.21 12  55 3040012 10001 130137 0.027045 0.034747 0.001207 0.21 0.01 0.01 0.01 0.01 57 3040012 10002 130113 0.042857 0.025308 0.000017 0.02 0.01 0.01 0.01 0.01 65 58 3040012 10002 130133 0.042857 0.025308 0.00064 0.09 0.025 0.025 0.025 0.065 7 58 3040012 10002 130135 0.03375 0.028754 0.000827 0.09 0.01 0.01 0.01 0.01 0.01													
47       3030031       10002       130135       0.23375       0.269653       0.072712       0.89       0.07       0.11       0.14       0.205       8         48       3030031       10002       130137       0.1075       0.072001       0.005184       0.32       0.03       0.075       0.095       0.115       12         49       3040009       10001       130137       0.203404       0.167349       0.028006       0.85       0.04       0.11       0.16       0.22       47         50       3040009       10002       130110       0.071667       0.047924       0.002297       0.15       0.03       0.03       0.06       0.1       6         51       3040009       10002       130113       1.231429       1.395773       1.948181       3.63       0.17       0.18       0.39       2.69       7         52       3040009       10002       130132       0.02125       0.012464       0.000155       0.04       0.01       0.01       0.02       0.03       8         53       3040009       10002       130135       0.12625       0.056805       0.003227       0.21       0.03       0.095       0.125       0.165       8 <td></td>													
48       3030031       10002       130137       0.1075       0.072001       0.005184       0.32       0.03       0.075       0.095       0.115       12         49       3040009       10001       130137       0.203404       0.167349       0.028006       0.85       0.04       0.11       0.16       0.22       47         50       3040009       10002       130110       0.071667       0.047924       0.002297       0.15       0.03       0.03       0.06       0.1       6         51       3040009       10002       130113       1.231429       1.395773       1.948181       3.63       0.17       0.18       0.39       2.69       7         52       3040009       10002       130132       0.02125       0.012464       0.000155       0.04       0.01       0.01       0.02       0.03       8         53       3040009       10002       130135       0.12625       0.056805       0.003227       0.21       0.03       0.095       0.125       0.165       8         54       3040009       10002       130137       0.285833       0.319899       0.102336       1.17       0.1       0.125       0.175       0.21       12<													
50         3040009         10002         130110         0.071667         0.047924         0.002297         0.15         0.03         0.03         0.06         0.1         6           51         3040009         10002         130113         1.231429         1.395773         1.948181         3.63         0.17         0.18         0.39         2.69         7           52         3040009         10002         130132         0.02125         0.012464         0.000155         0.04         0.01         0.01         0.02         0.03         8           53         3040009         10002         130135         0.12625         0.056805         0.003227         0.21         0.03         0.095         0.125         0.165         8           54         3040009         10002         130137         0.285833         0.319899         0.102336         1.17         0.1         0.125         0.175         0.21         12           55         3040012         10001         130137         0.027045         0.034747         0.001207         0.21         0.01         0.01         0.01         0.03         44           56         3040012         10002         130113         0.042857													
50         3040009         10002         130110         0.071667         0.047924         0.002297         0.15         0.03         0.03         0.06         0.1         6           51         3040009         10002         130113         1.231429         1.395773         1.948181         3.63         0.17         0.18         0.39         2.69         7           52         3040009         10002         130132         0.02125         0.012464         0.000155         0.04         0.01         0.01         0.02         0.03         8           53         3040009         10002         130135         0.12625         0.056805         0.003227         0.21         0.03         0.095         0.125         0.165         8           54         3040009         10002         130137         0.285833         0.319899         0.102336         1.17         0.1         0.125         0.175         0.21         12           55         3040012         10001         130137         0.027045         0.034747         0.001207         0.21         0.01         0.01         0.01         0.03         44           56         3040012         10002         130113         0.042857	۷0	3040000	10001	130137	0.203404	0.167340	0.028006	0.85	0.04	0 11	0.16	0.22	47
51       3040009       10002       130113       1.231429       1.395773       1.948181       3.63       0.17       0.18       0.39       2.69       7         52       3040009       10002       130132       0.02125       0.012464       0.000155       0.04       0.01       0.01       0.02       0.03       8         53       3040009       10002       130135       0.12625       0.056805       0.003227       0.21       0.03       0.095       0.125       0.165       8         54       3040009       10002       130137       0.285833       0.319899       0.102336       1.17       0.1       0.125       0.175       0.21       12         55       3040012       10001       130137       0.027045       0.034747       0.001207       0.21       0.01       0.01       0.01       0.01       0.03       44         56       3040012       10002       130110       0.011667       0.004082       0.000017       0.02       0.01       0.01       0.01       0.01       0.01       0.01       0.01       0.01       0.01       0.01       0.01       0.01       0.01       0.01       0.01       0.01       0.01       0.01													
52       3040009       10002       130132       0.02125       0.012464       0.000155       0.04       0.01       0.01       0.02       0.03       8         53       3040009       10002       130135       0.12625       0.056805       0.003227       0.21       0.03       0.095       0.125       0.165       8         54       3040009       10002       130137       0.285833       0.319899       0.102336       1.17       0.1       0.125       0.175       0.21       12         55       3040012       10001       130137       0.027045       0.034747       0.001207       0.21       0.01       0.01       0.01       0.03       44         56       3040012       10002       130110       0.014667       0.004082       0.000017       0.02       0.01       0.01       0.01       0.01       0.01       0.01       6         57       3040012       10002       130133       0.025308       0.00064       0.09       0.025       0.025       0.025       0.06       7         58       3040012       10002       130135       0.03375       0.028754       0.000827       0.09       0.01       0.01       0.01       0.05 </td <td>51</td> <td>3040009</td> <td>10002</td> <td>130113</td> <td>1.231429</td> <td>1.395773</td> <td>1.948181</td> <td></td> <td>0.17</td> <td>0.18</td> <td>0.39</td> <td>2.69</td> <td>7</td>	51	3040009	10002	130113	1.231429	1.395773	1.948181		0.17	0.18	0.39	2.69	7
54       3040009       10002       130137       0.285833       0.319899       0.102336       1.17       0.1       0.125       0.175       0.21       12         55       3040012       10001       130137       0.027045       0.034747       0.001207       0.21       0.01       0.01       0.01       0.03       44         56       3040012       10002       130110       0.011667       0.004082       0.000017       0.02       0.01       0.01       0.01       0.01       0.01       0.01       6         57       3040012       10002       130113       0.042857       0.025308       0.00064       0.09       0.025       0.025       0.025       0.025       0.06       7         58       3040012       10002       130135       0.03375       0.028754       0.000827       0.09       0.01       0.01       0.01       0.025       0.05       8	52												
55     3040012     10001     130137     0.027045     0.034747     0.001207     0.21     0.01     0.01     0.01     0.03     44       56     3040012     10002     130110     0.011667     0.004082     0.000017     0.02     0.01     0.01     0.01     0.01     0.01     6       57     3040012     10002     130113     0.042857     0.025308     0.00064     0.09     0.025     0.025     0.025     0.025     0.06     7       58     3040012     10002     130132     0.01     0     0     0.01     0.01     0.01     0.01     0.01     0.01     8       59     3040012     10002     130135     0.03375     0.028754     0.000827     0.09     0.01     0.01     0.025     0.05     8													
56       3040012       10002       130110       0.011667       0.004082       0.000017       0.02       0.01       0.01       0.01       0.01       6         57       3040012       10002       130113       0.042857       0.025308       0.00064       0.09       0.025       0.025       0.025       0.06       7         58       3040012       10002       130132       0.01       0       0       0.01       0.01       0.01       0.01       0.01       8         59       3040012       10002       130135       0.03375       0.028754       0.000827       0.09       0.01       0.01       0.025       0.05       8													
57       3040012       10002       130113       0.042857       0.025308       0.00064       0.09       0.025       0.025       0.025       0.025       0.06       7         58       3040012       10002       130132       0.01       0       0       0.01       0.01       0.01       0.01       0.01       0.01       8         59       3040012       10002       130135       0.03375       0.028754       0.000827       0.09       0.01       0.01       0.025       0.05       8													
58	20 57												
59 3040012 10002 130135 0.03375 0.028754 0.000827 0.09 0.01 0.01 0.025 0.05 8													
			10002			0.028754	0.000827		0.01		0.025		8
	60	3040012	10002	130137			0.00027	0.06	0.01	0.01	0.01	0.02	

OBS	STATION	PROJET	METHODE	ALMEAN	ALSTD	ALVAR	ALMAX	ALMIN	ALQ1	ALMED	ALQ3	ALNOBS
61 62 63	3040015 3040015 3040015 3040015	10001 10002 10002	130137 130110 130113	0.219783 0.056667 0.471429 0.03375	0.245832 0.024221 0.421878	0.060433 0.000587 0.177981	1.13 0.1 1.38	0.01 0.04 0.11	0.08 0.04 0.19	0.14 0.045 0.41	0.25 0.07 0.48	46 6 7
64 65 66	3040015 3040015	10002 10002 10002	130132 130135 130137	0.27125 0.0775	0.023867 0.297102 0.076173	0.00057 0.08827 0.005802	0.08 0.94 0.28	0.01 0.05 0.01	0.01 0.1 0.03	0.04 0.17 0.055	0.04 0.32 0.1	8 8 12
67 68 69 70 71	3090001 3090001 3090001 3090001 3090001	10001 10002 10002 10002 10002	130137 130110 130113 130132 130135	0.211111 0.055 0.679286 0.02625 0.36125	0.146517 0.036742 0.704429 0.019226 0.505327	0.021467 0.00135 0.49622 0.00037 0.255355	0.63 0.1 2.02 0.06 1.6	0.01 0.01 0.025 0.01 0.07	0.12 0.04 0.19 0.01 0.14	0.16 0.04 0.29 0.02 0.2	0.255 0.1 1.09 0.04 0.27	36 6 7 8 8
72	3090001	10002	130137	0.18	0.125167	0.015667	0.32	0.06	0.075	0.17	0.285	4
73 74 75 76 77 78	3090005 3090005 3090005 3090005 3090005	10001 10002 10002 10002 10002 10002	130137 130110 130113 130132 130135 130137	0.055556 0.016667 0.092143 0.01625 0.03 0.0575	0.027222 0.012111 0.103395 0.011877 0.029761 0.041932	0.000741 0.000147 0.01069 0.000141 0.000886 0.001758	0.13 0.04 0.3 0.04 0.09 0.12	0.01 0.01 0.025 0.01 0.01 0.03	0.03 0.01 0.025 0.01 0.01 0.035	0.06 0.01 0.05 0.01 0.015 0.04	0.07 0.02 0.16 0.02 0.045 0.08	27 6 7 8 8 4
79 80 81 82 83 84	4010002 4010002 4010002 4010002 4010002 4010002	10001 10002 10002 10002 10002 10002	130137 130110 130113 130132 130135 130137	0.21125 0.106667 0.34 0.05125 0.28 0.174167	0.123265 0.072847 0.171853 0.024749 0.218109 0.119579	0.015194 0.005307 0.029533 0.000612 0.047571 0.014299	0.69 0.24 0.55 0.08 0.76 0.44	0.05 0.03 0.14 0.02 0.11 0.01	0.135 0.07 0.17 0.03 0.13 0.095	0.18 0.085 0.38 0.05 0.205 0.135	0.27 0.13 0.55 0.075 0.35 0.255	48 6 7 8 8 12
85 86 87 88 89 90	4080003 4080003 4080003 4080003 4080003	10001 10002 10002 10002 10002 10002	130137 130110 130113 130132 130135 130137	0.084074 0.048333 0.132143 0.0525 0.1 0.06	0.050403 0.023166 0.073022 0.015811 0.056315 0.031623	0.00254 0.000537 0.005332 0.00025 0.003171 0.001	0.24 0.08 0.25 0.07 0.23 0.1	0.01 0.02 0.025 0.03 0.05 0.03	0.06 0.03 0.09 0.04 0.065 0.035	0.08 0.045 0.12 0.05 0.09 0.055	0.09 0.07 0.19 0.07 0.105 0.085	27 6 7 8 8 4
91 92 93 94 95 96	4080005 4080005 4080005 4080005 4080005	10001 10002 10002 10002 10002 10002	130137 130110 130113 130132 130135 130137	0.1176 0.055 0.137143 0.05875 0.105 0.075	0.071197 0.015166 0.059921 0.016421 0.072506 0.01291	0.005069 0.00023 0.00359 0.00027 0.005257 0.000167	0.38 0.08 0.22 0.09 0.26 0.09	0.06 0.04 0.06 0.04 0.05 0.06	0.07 0.04 0.09 0.045 0.06	0.09 0.055 0.11 0.06 0.07 0.075	0.13 0.06 0.2 0.065 0.135 0.085	25 6 7 8 8 4
97 98 99 100 101 102	4310002 4310002 4310002 4310002 4310002	10001 10002 10002 10002 10002 10002	130137 130110 130113 130132 130135 130137	0.134722 0.088333 0.222857 0.055 0.18875 0.1025	0.067252 0.04535 0.114414 0.018516 0.092031 0.066521	0.004523 0.002057 0.01309 0.000343 0.00847 0.004425	0.31 0.15 0.34 0.09 0.37 0.2	0.01 0.04 0.08 0.03 0.08 0.06	0.09 0.04 0.08 0.045 0.12 0.06	0.12 0.09 0.2 0.05 0.18 0.075	0.15 0.12 0.33 0.065 0.23 0.145	36 6 7 8 8 4
103 104 105 106 107 108	4310008 4310008 4310008 4310008 4310008 4310008	10001 10002 10002 10002 10002 10002	130137 130110 130113 130132 130135 130137	0.139677 0.101667 0.168571 0.07 0.13375 0.0575	0.071809 0.040702 0.058432 0.014142 0.056553 0.034034	0.005157 0.001657 0.003414 0.0002 0.003198 0.001158	0.38 0.15 0.25 0.09 0.23 0.09	0.06 0.05 0.09 0.05 0.08 0.01	0.1 0.06 0.1 0.06 0.08 0.035	0.12 0.105 0.18 0.07 0.125 0.065	0.16 0.14 0.22 0.08 0.175 0.08	31 6 7 8 8 4
109 110 111 112 113 114	4310010 4310010 4310010 4310010 4310010 4310010	10001 10002 10002 10002 10002 10002	130137 130110 130113 130132 130135 130137	0.255714 0.246667 0.44 0.1225 0.2275 0.2675	0.121976 0.158577 0.219393 0.019821 0.083964 0.085391	0.014878 0.025147 0.048133 0.000393 0.00705 0.007292	0.57 0.5 0.88 0.14 0.41 0.38	0.01 0.07 0.2 0.08 0.13 0.18	0.16 0.15 0.28 0.115 0.175 0.205	0.25 0.195 0.4 0.13 0.22 0.255	0.33 0.37 0.5 0.135 0.245 0.33	35 6 7 8 8 4
115 116 117 118 119 120	4310011 4310011 4310011 4310011 4310011	10001 10002 10002 10002 10002 10002	130137 130110 130113 130132 130135 130137	0.128462 0.065 0.202857 0.06 0.15 0.08	0.056547 0.032711 0.116149 0.018516 0.073679 0.042426	0.003198 0.00107 0.01349 0.000343 0.005429 0.0018	0.28 0.12 0.4 0.08 0.32 0.14	0.05 0.03 0.05 0.03 0.09 0.04	0.09 0.04 0.12 0.045 0.105 0.055	0.12 0.06 0.2 0.065 0.13 0.07	0.15 0.08 0.26 0.075 0.16 0.105	26 6 7 8 8 4

OBS	STATION	PROJET	METHODE	ALMEAN	ALSTD	ALVAR	ALMAX	ALMIN	ALQ1	ALMED	ALQ3	ALNOBS
121	5010007	10001	130137	0.124194	0.069798	0.004872	0.38	0.05	0.08	0.1	0.16	31
122	5010007	10002	130110	0.086667	0.051251	0.002627	0.18	0.04	0.05	0.075	0.1	6
123	5010007	10002	130113	0.188571	0.21935	0.048114	0.68	0.07	0.08	0.1	0.17	7
124	5010007	10002	130132	0.0625	0.024928	0.000621	0.1	0.03	0.045	0.055	0.085	8 8
125	5010007	10002	130135	0.11	0.05757	0.003314	0.22	0.06	0.07	0.08	0.15	8
126	5010007	10002	130137	0.0775	0.023629	0.000558	0.11	0.06	0.06	0.07	0.095	4
127	5010013	10001	130137	0.098718	0.039282	0.001543	0.18	0.05	0.06	0.09	0.12	39
128	5010013	10002	130110	0.065	0.021679	0.00047	0.09	0.04	0.05	0.06	0.09	6
129	5010013	10002	130113	0.138571	0.10574	0.011181	0.37	0.06	0.07	0.11	0.14	
130	5010013	10002	130132	0.06875	0.028504	0.000813	0.12	0.04	0.05	0.055	0.09	7 8 8
131	5010013	10002	130135	0.08875	0.039438	0.001555	0.16	0.05	0.06	0.07	0.12	
132	5010013	10002	130137	0.065	0.028868	0.000833	0.09	0.04	0.04	0.065	0.09	4
133	5080006	10001	130137	0.167838	0.088604	0.007851	0.42	0.01	0.11	0.14	0.19	37
134	5080006	10001	130137	0.101667	0.024833	0.000617	0.14	0.07	0.08	0.105	0.17	6
135	5080006	10002	130113	0.187143	0.085189	0.007257	0.33	0.09	0.1	0.18	0.26	7
136	5080006	10002	130132	0.085	0.042088	0.001771	0.16	0.05	0.055	0.07	0.11	8
137	5080006	10002	130135	0.15125	0.075864	0.005755	0.29	0.09	0.1	0.12	0.195	8
138	5080006	10002	130137	0.115	0.045092	0.002033	0.15	0.05	0.085	0.13	0.145	4
470		40004	470477			0.470007						
139	5220003	10001	130137	0.447391	0.372728	0.138926	2.44	0.13	0.23	0.335	0.58	46
140 141	5220003 5220003	10002 10002	130110 130113	0.15 0.882857	0.131149 0.548018	0.0172 0.300324	0.4 1.84	0.05 0.22	0.06 0.55	0.105 0.73	0.18 1.37	6 7
142	5220003	10002	130113	0.07875	0.074726	0.005584	0.25	0.01	0.03	0.73	0.085	8
143	5220003	10002	130135	0.5075	0.392237	0.15385	1.4	0.27	0.28	0.34	0.575	8
144	5220003	10002	130137	0.4	0.230375	0.053073	1.08	0.19	0.28	0.36	0.42	12
145	5220004	10001	130137	0.308537	0.470099	0.220993	2.82	0.01	0.1	0.15	0.33	41
146	5220004	10002	130110	0.07	0.044721	0.002	0.15	0.02	0.04	0.065	0.08	6
147	5220004	10002	130113	0.385714	0.257673	0.066395	0.71	0.1	0.18	0.24	0.68	7
148 149	5220004 5220004	10002 10002	130132 130135	0.05125 0.3575	0.034821 0.411331	0.001213 0.169193	0.12 1.32	0.02 0.11	0.025 0.135	0.04 0.15	0.07 0.43	8 8
150	5220004	10002	130137	0.188333	0.109115	0.011906	0.44	0.07	0.105	0.17	0.23	12
	3220007		.50.5.	01.100333	00.000.00		••••	0.07	******	••••	. 0123	•
151	5220005	10002	130110	0.186667	0.152534	0.023267	0.46	0.07	0.08	0.12	0.27	6
152	5220005	10002	130113	0.79	0.535662	0.286933	1.61	0.23	0.38	0.67	1.46	7
153	5220005	10002	130132	0.0525	0.036936	0.001364	0.11	0.01	0.02	0.045	0.085	8
154	5220005	10002	130135	0.42125	0.275237	0.075755	1.03	0.14	0.285	0.31	0.505	8
155	5220005	10002	130137	0.380833	0.12369	0.015299	0.68	0.22	0.305	0.385	0.43	12
156	5220012	10001	130137	0.298108	0.267829	0.071732	1.12	0.01	0.1	0.23	0.37	37
157	5220012	10001	130110	0.136667	0.106521	0.011347	0.35	0.07	0.08	0.095	0.13	6
158	5220012	10002	130113	0.634286	0.432699	0.187229	1.34	0.26	0.32	0.39	1.13	7
159	5220012	10002	130132	0.0675	0.020529	0.000421	0.1	0.04	0.05	0.07	0.08	8
160	5220012	10002	130135	0.42375	0.183998	0.033855	0.75	0.21	0.26	0.425	0.53	8
161	5220012	10002	130137	0.308333	0.105385	0.011106	0.52	0.16	0.23	0.31	0.385	12
1/2	4200002	10001	470177	0 107//7	0.05750/	0 002072	0.72	0 1	0.4/	0.40	0 22	70
162 163	6290002 6290002	10001 10002	130137 130110	0.183667 0.11	0.053594 0.032249	0.002872 0.00104	0.32 0.17	0.1 0.08	0.14 0.09	0.18	0.22	30 6
164	6290002	10002	130110	0.18875	0.032249	0.00104	0.17	0.08	0.13	0.1 0.16	0.12 0.18	6 8
165	6290002	10002	130132	0.13125	0.085597	0.007327	0.34	0.08	0.09	0.105	0.12	8
166	6290002	10002	130135	0.23375	0.124205	0.015427	0.46	0.12	0.135	0.185	0.325	8
167	6290002	10002	130137	0.14	0.018257	0.000333	0.16	0.12	0.125	0.14	0.155	4
168	7100001	10001	130137	0.108333	0.025651	0.000658	0.18	0.07	0.09	0.1	0.12	24
169 170	7100001 7100001	10002 10002	130110 130113	0.078 0.120625	0.013038 0.066571	0.00017 0.004432	0.1 0.21	0.07 0.025	0.07 0.075	0.07 0.105	0.08 0.185	5
171	7100001	10002	130113	0.120825	0.023688	0.000561	0.12	0.023	0.075	0.08	0.09	8
172	7100001	10002	130135	0.111111	0.026194	0.000686	0.17	0.09	0.09	0.03	0.12	9
173	7110001	10001	130137	0.094167	0.025524	0.000651	0.17	0.06	0.08	0.09	0.105	24
174	7110001	10002	130110	0.082	0.010954	0.00012	0.1	0.07	0.08	0.08	0.08	Š
175	7110001	10002	130113	0.12375	0.118886	0.014134	0.4	0.025	0.0525	0.105	0.125	8
176	7110001	10002	130132	0.06	0.00866	0.000075	0.08	0.05	0.06	0.06	0.06	9
177	7110001	10002	130135	0.08	0.00866	0.000075	0.1	0.07	0.08	0.08	0.08	9
178	7230003	10001	130137	0.176818	0.111671	0.01247	0.41	0.06	0.09	0.145	0.28	າາ
179	7230003	10001	130137	0.176616	0.019494	0.00038	0.41	0.06	0.09	0.145	0.28	22 5
180	7230003	10002	130113	0.17375	0.08193	0.006712	0.31	0.06	0.11	0.185	0.215	8
181	7230003	10002	130113	0.084444	0.03504	0.001228	0.15	0.05	0.07	0.07	0.1	9
182	7230003	10002	130135	0.128889	0.081001	0.006561	0.28	0.07	0.08	0.09	0.11	ý

1150003	19 7 20 3 87 10 1 2 7
2 1150003 10001 29015 2,285714 1,704336 2,904762 5 1 1 1 1 1 1 1 1 1 1 1 1 1 1 1 1 1 1	7 20 3 87 10 1
4 1150003 10001 290147 6.942529 20.25053 410.0839 186 2.5 2.5 2.5 2.5 2.5 1.5 1150003 10002 290110 1.5 0.971825 0.944444 4 1 1 1 1 1 1 1 1 1 1 1 1 1 1 1 1	3 87 10 1
5 1150003 10001 290101 1.5 0.971825 0.94444 4 1 1 1 1 1 1 1 1 1 1 1 1 1 1 1 1	87 10 1
6 1150003 10002 290110	10 1
8 1150003 10002 290135 3.142857 1.70084 2.892857 7 2.5 2.5 2.5 2.5 10 1150003 10002 290145 3.833333 2.75 7.5625 10 2.5 2.5 2.5 2.5 2.5 11 1150003 10002 290145 3.833333 2.75 7.5625 10 2.5 2.5 2.5 2.5 2.5 2.5 11 1150003 10002 290145 3.833333 2.75 7.5625 10 2.5 2.5 2.5 2.5 2.5 2.5 11 1150003 10002 290145 3.833333 2.75 7.5625 10 2.5 2.5 2.5 2.5 2.5 2.5 11 1150003 10001 290103 5.445833 3.320029 11.02259 14 1 3 3 4.5 13 2340006 10001 290113 5 7.5648146 5.571429 9 2 3 4.5 14 2340006 10001 290123 7 7.681146 5.9 35 2.5 2.5 2.5 2.5 15 12 2340006 10001 290124 7 7.568146 5.9 35 2.5 2.5 2.5 2.5 15 15 2340006 10001 290129 5.166667 2.753785 7.583333 8 2.5 2.5 2.5 2.5 15 15 2340006 10001 290147 4.5551282 4.988515 24.88528 31 2.5 2.5 2.5 2.5 16 2340006 10002 290101 4.35 3.62131 13.11389 12 1 1 3.5 6.6 18 2340006 10002 290101 4.35 3.62131 13.11389 12 1 1 3.5 6.6 18 2340006 10002 290110 2.5 0.0 0 1 2.5 2.5 2.5 2.5 2.5 2.5 2.5 2.5 2.5 2.5	1
8 1150003 10002 290135 3.142857 1.70084 2.892857 7 2.5 2.5 2.5 2.5 10 1150003 10002 290145 3.833333 2.75 7.5625 10 2.5 2.5 2.5 2.5 2.5 11 1150003 10002 290145 3.833333 2.75 7.5625 10 2.5 2.5 2.5 2.5 2.5 2.5 11 1150003 10002 290145 3.833333 2.75 7.5625 10 2.5 2.5 2.5 2.5 2.5 2.5 11 1150003 10002 290145 3.833333 2.75 7.5625 10 2.5 2.5 2.5 2.5 2.5 2.5 11 1150003 10001 290103 5.445833 3.320029 11.02259 14 1 3 3 4.5 13 2340006 10001 290113 5 7.5648146 5.571429 9 2 3 4.5 14 2340006 10001 290123 7 7.681146 5.9 35 2.5 2.5 2.5 2.5 15 12 2340006 10001 290124 7 7.568146 5.9 35 2.5 2.5 2.5 2.5 15 15 2340006 10001 290129 5.166667 2.753785 7.583333 8 2.5 2.5 2.5 2.5 15 15 2340006 10001 290147 4.5551282 4.988515 24.88528 31 2.5 2.5 2.5 2.5 16 2340006 10002 290101 4.35 3.62131 13.11389 12 1 1 3.5 6.6 18 2340006 10002 290101 4.35 3.62131 13.11389 12 1 1 3.5 6.6 18 2340006 10002 290110 2.5 0.0 0 1 2.5 2.5 2.5 2.5 2.5 2.5 2.5 2.5 2.5 2.5	1
9 1150003 10002 290145 3.833333 2.75 7.5625 10 2.5 2.5 2.5 2.5 2.5 11 1150003 10002 290147 3.833333 2.75 7.5625 10 2.5 2.5 2.5 2.5 2.5 11 1150003 10002 290147 2.5 2.5 0 0 0 2.5 2.5 2.5 2.5 2.5 2.5 2.5 11 1150003 10002 290147 2.75 0 0 0 2.5 2.5 2.5 2.5 2.5 2.5 2.5 11 1150003 10002 290147 2.75 0 0 0 2.5 2.5 2.5 2.5 2.5 2.5 2.5 2.5 11 1150003 10002 290103 5.445833 3.320029 11.02259 14 1 3 4.5 14 2340006 10001 290123 5.445833 3.320029 11.02259 14 1 3 4.5 14 2340006 10001 290123 5.766667 7.681146 59 35 2.5 2.5 2.5 2.5 2.5 15 15 2340006 10001 290147 4.551282 4.988515 24.88528 31 2.5 2.5 2.5 2.5 16 2340006 10001 290147 4.551282 4.988515 24.88528 31 2.5 2.5 2.5 2.5 2.5 17 2340006 10002 290110 2.5 2.5 2.5 2.5 2.5 2.5 2.5 19 2340006 10002 290110 2.5 2.5 2.5 2.5 2.5 2.5 2.5 2.5 19 2340006 10002 290110 2.5 2.5 2.5 2.5 2.5 2.5 2.5 2.5 2	2
11	_
11         1150003         10002         290147         2.5         0         0         2.5	7
12	9
13         2340006         10001         290115         5         2,56348         6,571429         9         2         3         4,5           14         2340006         10001         290123         7         7,681146         59         35         2,5         2,5         2,5           15         2340006         10001         290147         4,551282         4,988515         24,88528         31         2,5         2,5         2,5           16         2340006         10002         290101         4,55         3,62131         3,1389         12         1         1         3,5         6,618           18         2340006         10002         290110         2,5         .         .         2,5	4
14         2340006         10001         290123         7         7.681146         59         35         2.5         2.5         2.5           15         2340006         10001         290129         5.166667         2.753785         7.583733         8         2.5         2.5         2.5           16         2340006         10001         290101         4.35         3.62131         13.11389         12         1         1         3.5         6.           18         2340006         10002         290110         2.5 </td <td>24</td>	24
15         2340006         10001         290127         4.551282         4.988515         2.688528         8         2.5         2.5         5           16         2340006         10001         290101         4.35         3.62131         13.11389         12         1         1         3.5         6.           18         2340006         10002         290110         2.5         .         .         2.5         <	8
16       2340006       10001       290101       4.551282       4.988515       24.88528       31       2.5 <t< td=""><td>22</td></t<>	22
17       2340006       10002       290110       4.35       3.62131       13.11389       12       1       1       3.55       6.         18       2340006       10002       290110       2.5 <td< td=""><td>3</td></td<>	3
18       2340006       10002       290110       2.5       .       .       2.5       <	117
19         2340006         10002         290121         1         0         0         1         1         1         1         1         2         2340006         10002         290135         4.142857         4.346591         18.89286         14         2.5	10
20         2340006         10002         290135         4.142857         4.346591         18.89286         14         2.5         2.5         2.5         2.5         2.2         21         2340006         10002         290147         2.5         0         0         2.5         2.	1
21         2340006         10002         290145         6         2.866058         8.214286         11         2.5         3.75         6         7.           22         2340006         10002         290147         2.5         0         0         2.5	2
22         2340006         10002         290147         2.5         0         0         2.5         2.7         7         24         2400004         10001         290129         11.68182         11.21919         125.8701         38         2.5         2.5         7         1         26         2400004         10001         290129         5.75         4.092676         16.75         11         2.5         2.5         4.75         2.7         2400004         10001         290145         2.5<	7
24       2400004       10001       290125       4       1.069045       1.142857       6       3       3       4       4.         25       2400004       10001       290129       5.75       4.092676       16.75       11       2.5       2.5       4.75         27       2400004       10001       290145       2.5       .       .       2.5	8 12
24       2400004       10001       290123       11.68182       11.21919       125.8701       38       2.5       2.5       7       1         26       2400004       10001       290129       5.75       4.092676       16.75       11       2.5       2.5       4.75         27       2400004       10001       290145       2.5       .       .       2.5       2	21
25	8
26         2400004         10001         290129         5.75         4.092676         16.75         11         2.5         2.5         4.75           27         2400004         10001         290147         4.724         3.817118         14.57039         23         2.5         2.5         2.5         2.5           29         2400004         10002         290101         2.4         2.458545         6.044444         9         1         1         1.5         2.5 <td>22</td>	22
27	4
28       2400004       10001       290147       4.724       3.817118       14.57039       23       2.5       2.5       2.5         29       2400004       10002       290110       2.4       2.458545       6.044444       9       1       1       1.5         30       2400004       10002       290110       2.5       .       .       2.5<	1
29       2400004       10002       290101       2.4       2.458545       6.044444       9       1       1       1.5         30       2400004       10002       290110       2.5       .       .       2.5       6       3.3       2400004       10002       290145       4.9375       2.06047       4.245536       7       2.5       2.5       6       6.5       3.3       2400004       10002       290147       2.791667       1.010363       1.020833       6       2.5       2.5       2.5       6       6.6       6.6       3.3       2400004       10002       290103       7.96087       4.298069       18.4734       18.5       1       5       7.7       1       3.0       3.0       3.0       3.0	125
30       2400004       10002       290110       2.5       .       .       2.5       6       3.2400004       10002       290145       4.9375       2.06047       4.245536       7       2.5       2.5       6       6.       3.2420004       10002       290147       2.791667       1.010363       1.020833       6       2.5       2.5       2.5       6       6.       6.       3.25       0.707107       0.5       4       2       3       3       3       3.3	10
31       2400004       10002       290121       2       1       1       3       1       1       2         32       2400004       10002       290135       6.142857       3.009904       9.059524       11       2.5       2.5       6         33       2400004       10002       290145       4.9375       2.06047       4.245536       7       2.5       2.5       6       6.         34       2400004       10002       290147       2.791667       1.010363       1.020833       6       2.5	1
33       2400004       10002       290145       4.9375       2.06047       4.245536       7       2.5       2.5       6       6.         34       2400004       10002       290147       2.791667       1.010363       1.020833       6       2.5       2.5       2.5       2.5         35       3010008       10001       290103       7.96087       4.298069       18.4734       18.5       1       5       7.7       1         36       3010008       10001       290115       3.25       0.707107       0.5       4       2       3       3         37       3010008       10001       290123       8.913043       8.913284       79.44664       41       2.5       2.5       6       1         38       3010008       10001       290129       4.333333       3.175426       10.08333       8       2.5       2.5       2.5       2.5         39       3010008       10001       290147       4.936441       4.799193       23.03225       26       2.5       2.5       2.5         40       3010008       10002       290110       2.5       .       .       2.5       2.5       2.5       2.5	3
34       2400004       10002       290147       2.791667       1.010363       1.020833       6       2.5       2.5       2.5       2.5         35       3010008       10001       290103       7.96087       4.298069       18.4734       18.5       1       5       7.7       1         36       3010008       10001       290115       3.25       0.707107       0.5       4       2       3       3         37       3010008       10001       290123       8.913043       8.913284       79.44664       41       2.5       2.5       6       1         38       3010008       10001       290129       4.333333       3.175426       10.08333       8       2.5       2.5       2.5         40       3010008       10001       290147       4.936441       4.799193       23.03225       26       2.5       2.5       2.5         40       3010008       10002       290101       2.9       2.282786       5.211111       8       1       1       2.5         41       3010008       10002       290112       1.5       0.707107       0.5       2       1       1       1.5         43	7
35	8
36       3010008       10001       290115       3.25       0.707107       0.5       4       2       3       3         37       3010008       10001       290123       8.913043       8.913284       79.44664       41       2.5       2.5       6       1         38       3010008       10001       290129       4.333333       3.175426       10.08333       8       2.5       2.5       2.5         39       3010008       10001       290147       4.936441       4.799193       23.03225       26       2.5       2.5       2.5         40       3010008       10002       290101       2.9       2.282786       5.211111       8       1       1       2.5         41       3010008       10002       290110       2.5       .       .       2.5	12
37       3010008       10001       290123       8.913043       8.913284       79.44664       41       2.5       2.5       6       1         38       3010008       10001       290129       4.3333333       3.175426       10.083333       8       2.5       2.5       2.5       2.5         39       3010008       10001       290147       4.936441       4.799193       23.03225       26       2.5       2.5       2.5         40       3010008       10002       290101       2.9       2.282786       5.211111       8       1       1       2.5         41       3010008       10002       290110       2.5       .       2.5	23
38       3010008       10001       290129       4.333333       3.175426       10.08333       8       2.5       2.5       2.5         39       3010008       10001       290147       4.936441       4.799193       23.03225       26       2.5       2.5       2.5         40       3010008       10002       290101       2.9       2.282786       5.211111       8       1       1       2.5         41       3010008       10002       290110       2.5       .       .       2.5 <td< td=""><td>8</td></td<>	8
39       3010008       10001       290147       4.936441       4.799193       23.03225       26       2.5       2.5       2.5         40       3010008       10002       290101       2.9       2.282786       5.211111       8       1       1       2.5         41       3010008       10002       290110       2.5       .       .       2.5       2	23
40       3010008       10002       290101       2.9       2.282786       5.211111       8       1       1       2.5         41       3010008       10002       290110       2.5       .       .       2.5<	3
41       3010008       10002       290110       2.5       .       .       2.5       <	118
42       3010008       10002       290121       1.5       0.707107       0.5       2       1       1       1.5         43       3010008       10002       290135       3       1.322876       1.75       6       2.5       2.5       2.5       2.5         44       3010008       10002       290145       5.25       3.082207       9.5       10       2.5       2.5       4.75       7.         45       3010008       10002       290147       4.208333       3.158382       9.975379       11       2.5       2.5       2.5       5.2         46       3020031       10001       290103       14.15       12.42692       154.4283       60       2       7       11.25       1         47       3020031       10001       290115       10.125       5.083236       25.83929       20       5       6       9       1         48       3020031       10001       290123       129       303.0438       91835.52       1300       2.5       15       22       5         49       3020031       10001       290129       29       13.0767       171       44       20       20       23	10
43       3010008       10002       290135       3       1.322876       1.75       6       2.5       2.5       2.5       2.5       2.5       4.75       7.         44       3010008       10002       290145       5.25       3.082207       9.5       10       2.5       2.5       4.75       7.         45       3010008       10002       290147       4.208333       3.158382       9.975379       11       2.5       2.5       2.5       2.5       5.2         46       3020031       10001       290103       14.15       12.42692       154.4283       60       2       7       11.25       1         47       3020031       10001       290115       10.125       5.083236       25.83929       20       5       6       9       1         48       3020031       10001       290123       129       303.0438       91835.52       1300       2.5       15       22       5         49       3020031       10001       290129       29       13.0767       171       44       20       20       23       44	1
44       3010008       10002       290145       5.25       3.082207       9.5       10       2.5       2.5       4.75       7.         45       3010008       10002       290147       4.208333       3.158382       9.975379       11       2.5       2.5       2.5       5.2         46       3020031       10001       290103       14.15       12.42692       154.4283       60       2       7       11.25       1         47       3020031       10001       290115       10.125       5.083236       25.83929       20       5       6       9       1         48       3020031       10001       290123       129       303.0438       91835.52       1300       2.5       15       22       5         49       3020031       10001       290129       29       13.0767       171       44       20       20       23       4	2 7
45 3010008 10002 290147 4.208333 3.158382 9.975379 11 2.5 2.5 2.5 5.2 46 3020031 10001 290103 14.15 12.42692 154.4283 60 2 7 11.25 1 47 3020031 10001 290115 10.125 5.083236 25.83929 20 5 6 9 1 48 3020031 10001 290123 129 303.0438 91835.52 1300 2.5 15 22 5 49 3020031 10001 290129 29 13.0767 171 44 20 20 23 4	8
47 3020031 10001 290115 10.125 5.083236 25.83929 20 5 6 9 1 48 3020031 10001 290123 129 303.0438 91835.52 1300 2.5 15 22 5 49 3020031 10001 290129 29 13.0767 171 44 20 20 23 4	12
47 3020031 10001 290115 10.125 5.083236 25.83929 20 5 6 9 1 48 3020031 10001 290123 129 303.0438 91835.52 1300 2.5 15 22 5 49 3020031 10001 290129 29 13.0767 171 44 20 20 23 4	22
48 3020031 10001 290123 129 303.0438 91835.52 1300 2.5 15 22 5 49 3020031 10001 290129 29 13.0767 171 44 20 20 23 4	8
49 3020031 10001 290129 29 13.0767 171 44 20 20 23 4	23
	3
50 3020031 10001 290147 240.895 592.7757 351383 3480 2.5 3.75 15.5 159.	100
51 3020031 10002 290101 6.8 4.703427 22.12222 14.5 1 3 5	10
52 3020031 10002 290110 67 67 67 67 6	1
53 3020031 10002 290121 3 0 0 3 3 3 3	2 7
54 3020031 10002 290135 62.35714 46.76423 2186.893 123 2.5 16 64 10	7
55 3020031 10002 290145 133.125 169.5266 28739.27 479 11 17.5 35.5 234.	8
56 3020031 10002 290147 3.291667 2.742414 7.520833 12 2.5 2.5 2.5 2.	12
57 3020037 10001 290103 7.065217 6.46913 41.84964 24 1 2 5 10.	23
58 3020037 10001 290115 5 2.672612 7.142857 9 1 3 5	8
59 3020037 10001 290123 10.88235 9.44148 89.14154 34 2.5 2.5 8	17
60 3020037 10001 290129 4 2.598076 6.75 7 2.5 2.5 2.5	_3
61 3020037 10001 290147 5.75 7.241991 52.44643 41 2.5 2.5 2.5	78
62 3020037 10002 290101 2.85 2.427276 5.891667 7 1 1 1.5	10
63 3020037 10002 290110 6 6 6 6 6	1
64 3020037 10002 290121 1 0 0 1 1 1 1	2
65 3020037 10002 290135 6.714286 3.339875 11.15476 11 2.5 2.5 7	7

OBS	STATION	PROJET	METHODE	CUMEAN	CUSTD	CUVAR	CUMAX	CUMIN	CUQ1	CUMED	CUQ3	CUNOBS
66 67	3020037 3020037	10002 10002	290145 290147	5.5 3	3.559026 1.187051	12.66667 1.409091	12 6	2.5 2.5	2.5 2.5	5 2.5	8 2.5	7 12
68 69	3030023 3030023	10001 10001	290103 290115	7.185714 5	4.119379 2.13809	16.96929 4.571429	19.5 10	1 3	5 4	7 4.5	9.5 5	21 8
70	3030023	10001	290123	11	6.390097	40.83333	23	2.5	5	11	16	19
71	3030023	10001	290129	8.166667	6.33114	40.08333	15	2.5	2.5	7	15	3
72	3030023	10001	290147	13.74554	84.65846	7167.054	900	2.5	2.5	2.5	8.5	112
73	3030023	10002	290101	3.571429	2.935821	8.619048	9	1	1	2	5	7
74	3030023	10002	290110	2.5	•	•	2.5	2.5	2.5	2.5	2.5	1
75	3030023	10002	290121	4	1.414214	2	5	3	3	4	5	2
76	3030023	10002	290135	9.333333	5.344779	28.56667	14	2.5	2.5	12	13	6
77	3030023	10002	290145	9.25	1.982062	3.928571	13	7	7.5	9.5	10	8
78	3030023	10002	290147	2.916667	0.973124	0.94697	5	2.5	2.5	2.5	2.5	12
79	3030031	10001	290103	11.87619	6.464743	41.7929	24.5	1	8	11.5	14	21
80	3030031	10001	290115	8.375	3.248626	10.55357	13	3	6	9	10.5	8
81	3030031	10001	290123	11.52273	6.677035	44.58279	34	2.5	7	11	15	22
82	3030031	10001	290129	11.33333	4.618802	21.33333	14	6	6	14	14	3
83	3030031	10001	290147	6.942982	7.096602	50.36176	38	2.5	2.5	2.5	.8	114
84	3030031	10002	290101	4.214286	2.306822	5.321429	7.5	1	2	5	6	7
85	3030031	10002	290110	2.5		•	2.5	2.5	2.5	2.5	2.5	1
86	3030031	10002	290121	4	1.414214	2	5	3	3	4	_ 5	2
87	3030031	10002	290135	3.285714	2.078805	4.321429	8	2.5	2.5	2.5	2.5	7
88 89	3030031 3030031	10002 10002	290145 290147	8.375 3	5.495128 1.187051	30.19643 1.409091	20 6	2.5 2.5	4.75 2.5	8 2.5	9.5 2.5	8 12
90	3040009	10001	290103	81.47917	113.9687	12988.87	592	7	34	47.75	88.45	24
91	3040009	10001	290105	19.625	3.961872	15.69643	26	13	18	19	22	8
92	3040009	10001	290123	30.61111	9.043287	81.78105	47	19	22	29.5	38	18
93	3040009	10001	290129	22.5	0.707107	0.5	23	22	22	22.5	23	2
94	3040009	10001	290147	75.16228	65.43255	4281.418	461	2.5	31	57.5	93	114
95	3040009	10002	290101	178.4	296.3201	87805.6	925	3	30	49	105	10
96	3040009	10002	290110	2.5	L/0.3L01	0.00310	2.5	2.5	2.5	2.5	2.5	1
97	3040009	10002	290121	34.5	3.535534	12.5	37	32	32	34.5	37	ż
98	3040009	10002	290135	29.57143	4.613644	21.28571	37	22	27	29	32	7
99	3040009	10002	290145	30.25	15.02141	225.6429	66	20	21	27	30	8
100	3040009	10002	290147	330	852.0512	725991.3	3033	30	52	89.5	124.5	12
101	3040012	10001	290103	5.447826	2.891503	8.360791	10.7	1	3	5	8	23
102	3040012	10001	290115	3.5	2.428992	5.9	7	1	2	2.5	6	6
103	3040012	10001	290123	5.340909	4.039644	16.31872	15	2.5	2.5	2.5	9	22
104	3040012	10001	290129	3.75	1.767767	3.125	5	2.5	2.5	3.75	5	2
105	3040012	10001	290147	4.108696	4.147385	17.2008	35	2.5	2.5	2.5	2.5	115
106	3040012	10002	290101	2.41	2.184008	4.769889	7.5	1	1	1.5	2.6	10
107	3040012	10002	290110	2.5	:	:	2.5	2.5	2.5	2.5	2.5	1
108	3040012	10002	290121	1	0	0	1	1	1	1	1	2
109	3040012	10002	290135	6.714286	6.511894	42.40476	20	2.5	2.5	2.5	- 9	7
110	3040012	10002	290145	3.8125	1.888641	3.566964	7	2.5	2.5	2.5	5.5	8
111	3040012	10002	290147	2.5	0	0	2.5	2.5	2.5	2.5	2.5	12
112	3040015	10001	290103	9.25	8.540013	72.93182	30	1	3	8	12	12
113	3040015	10001	290115	4.777778	1.301708	1.694444	7	3	4	4	6	9
114	3040015	10001	290123	7.26087	5.420646	29.3834	24	2.5	2.5	6	10	23
115	3040015	10001	290129	2.5	0	0	2.5	2.5	2.5 2.5	2.5 2.5	2.5	3
116	3040015	10001	290147	5.310345	4.860513	23.62459	32	2.5	2.5	2.5	6.5	116
117	3040015	10002	290101	4.1	3.17805	10.1	10	1	2	3	. 5	10
118	3040015	10002	290110	2.5	<u>•</u>	. •	2.5 2	2.5	2.5	2.5	2.5	1
119	3040015	10002	290121	1.5	0.707107	0.5	2	_ 1	1	1.5	2	2
120	3040015	10002	290135	4.428571	2.405351	5.785714	7	2.5	2.5	2.5	7	7
121 122	3040015 3040015	10002 10002	290145 290147	4.9375 2.5	2.321291 0	5.388393 0	9 2.5	2.5 2.5	2.5 2.5	5.5 2.5	6 2.5	8 12
123	3090001	10001	290103	5.022727	3.860784	14.90565	19	1	3	4	6	
124	3090001	10001	290115	4.857143	2.115701	4.47619	9	3	3	4	6	22 7
125	3090001	10001	290123	8.52381	5.575563	31.0869	23	2.5	2.5	8	12	21
126	3090001	10001	290129	14.5	10.6066	112.5	22	7	7	14.5	22	2
127	3090001	10001	290147	4.76087	4.824661	23.27735	35	2.5	2.5	2.5	-6	92
128	3090001	10002	290101	3.8	3.645393	13.28889	10	1	1	1.5	7	10
129	3090001	10002	290110	2.5	•	•	2.5	2.5	2.5	2.5	2.5	1

OBS	STATION	PROJET	METHODE	CUMEAN	CUSTD	CUVAR	CUMAX	CUMIN	CUQ1	CUMED	CUQ3	CUNOBS
130	3090001	10002	290121	1	0	0	1	1	1	1	1	2
131	3090001	10002	290135	9.142857	2.672612	7.142857	13	. 6	7	- 9	12	7
132	3090001	10002	290145	2.5	3.359422 0	11.28571 0	12 2.5	2.5 2.5	2.5 2.5	3.75 2.5	6.5 2.5	8 4
133	3090001	10002	290147		-	_						
134	3090005	10001	290103	5.379167	5.524489	30.51998	27	1	1.5	4.8	7.5	24
135	3090005	10001	290115	3.25	1.982062	3.928571	6	1	1.5	3	5	8
136 137	3090005 3090005	10001 10001	290123 290129	5.681818 4.333333	4.104427 3.175426	16.84632 10.08333	15 8	2.5 2.5	2.5 2.5	2.5 2.5	8 8	22 3
138	3090005	10001	290129	4.933333	4.684696	21.94637	25	2.5	2.5	2.5	6	89
139	3090005	10001	290101	2.25	1.654119	2.736111	5.5	1	1	2.3	2	10
140	3090005	10002	290110	2.5	1.054117	2.750111	2.5	2.5	2.5	2.5	2.5	1
141	3090005	10002	290121	1	Ō	Ò	1	1	1	1	1	ż
142	3090005	10002	290135	5.285714	4.008919	16.07143	13	2.5	2.5	2.5	7	7
143	3090005	10002	290145	3.375	1.706082	2.910714	7	2.5	2.5	2.5	3.75	8
144	3090005	10002	290147	5.375	5.75	33.0625	14	2.5	2.5	2.5	8.25	4
145	4010002	10001	290103	5.517391	4.933527	24.33968	22	1	2	4.7	7	23
146	4010002	10001	290115	5.222222	2.587362	6.694444	10	2	3	5	6	9
147	4010002	10001	290123	9.904762	6.419928	41.21548	25	2.5	2.5	10	13	21
148	4010002	10001	290129	5	:		5	_ 5	5	5	5	1
149	4010002	10001	290147	4.903061	9.883251	97.67865	92	2.5	2.5	2.5	2.5	98
150	4010002	10002	290101	4.95	6.439677	41.46944	18	1	1	2.5	3.5	10
151 152	4010002 4010002	10002 10002	290110 290121	8	ō	ò	8 1	8 1	8 1	8 1	8 1	1 2
153	4010002	10002	290121	4.714286	3.011881	9.071429	10	2.5	2.5	2.5	7	7
154	4010002	10002	290145	5.625	4.051014	16.41071	13	2.5	2.5	3.75	8.5	8
155	4010002	10002	290147	3.023	1.187051	1.409091	6	2.5	2.5	2.5	2.5	12
			290103	/ 35/5/5	5.69283	32,40831	. 24			4.5		22
156 157	4080003 4080003	10001 10001	290103 290108	6.354545 2.5	0.09203	32.40631 0	24 2.5	1 2.5	2 2.5	2.5	8 2.5	4
158	4080003	10001	290115	4.666667	2.738613	7.5	9	2.2	2	2.4	7	9
159	4080003	10001	290123	7.761905	8.377976	70.19048	41	2.5	2.5	7	ġ	21
160	4080003	10001	290129	7	0	0	7	7	7	7	7	2
161	4080003	10001	290147	4.875	3.77362	14.24021	21	2.5	2.5	2.5	7	84
162	4080003	10002	290101	1.5	0.707107	0.5	3	_ 1	_ 1	1	2	10
163	4080003	10002	290110	2.5	:	:	2.5	2.5	2.5	2.5	2.5	1
164	4080003	10002	290121	7 020571	0	0 4 07571/	1 8	1	1 2.5	1	1 7	2 7
165 166	4080003 4080003	10002 10002	290135 290145	3.928571 3.0625	2.456769 1.59099	6.035714 2.53125	7	2.5 2.5	2.5	2.5 2.5	2.5	8
167	4080003	10002	290147	2.5	0	0	2.5	2.5	2.5	2.5	2.5	4
					44 (707	_						
168	4080005	10001	290103	8.43913 5.555556	11.6393 2.877113	135.4734 8.277778	58 13	1	3	5	9.5	23
169 170	4080005 4080005	10001 10001	290115 290123	8.108696	9.479591	89.86265	12 40	2 2.5	4 2.5	5 2.5	5 14	9 23
171	4080005	10001	290123	8.5	0.707107	0.5	9	2.5 8	8	8.5	9	23
172	4080005	10001	290147	4.206667	3.683504	13.5682	20	2.5	2.5	2.5	2.5	75
173	4080005	10002	290101	1.6	1.074968	1.155556	-4	1	- 1	1	2	10
174	4080005	10002	290110	7	•		7	7	7	7	7	1
175	4080005	10002	290121	1	0	0	1	1	1	1	1	2
176	4080005	10002	290135	3.928571	2.834734	8.035714	10	2.5	2.5	2.5	5	7
177	4080005	10002	290145	4	2.790289	7.785714	9	2.5	2.5	2.5	5.25	8
178	4080005	10002	290147	2.5	0	0	2.5	2.5	2.5	2.5	2.5	4
179	4310002	10001	290103	5.927273	3.270238	10.69446	13	1	4	5	9	22 3
180	4310002	10001	290108	2.5	0	0	2.5	2.5	2.5	2.5	2.5	
181	4310002	10001	290115	4 7 1075	1.414214	2 25470	6	2	3	4	5	9
182	4310002	10001	290123	7.1875	6.652578	44.25679	30	2.5	2.5	5	9.5	24
183 184	4310002 4310002	10001 10001	290129 290147	8.5 5.411458	0.707107 5.320761	0.5 28.3105	9 31	8 2.5	8 2.5	8.5 2.5	9	2 96
185	4310002	10001	290101	2.4	2.170509	4.711111	7	2.5	1	2.5	4	10
186	4310002	10002	290110	7			7	7	7	ż	7	1
187	4310002	10002	290121	1	Ö	Ö	1	1	1	i	1	2
188	4310002	10002	290135	4.714286	3.011881	9.071429	10	2.5	2.5	2.5	7	7
189	4310002	10002	290145	6.125	4.373214	19.125	14	2.5	2.5	4.75	9	8
190	4310002	10002	290147	2.5	0	0	2.5	2.5	2.5	2.5	2.5	4
191	4310008	10001	290103	8.913043	6.430772	41.35482	25.5	1	5	7	11	23
192	4310008	10001	290108	10.75	4.193249	17.58333	17	8	8.5	9	13	4
193	4310008	10001	290115	13.22222	4.2947	18.44444	19	7	10	14	16	9

OBS	STATION	PROJET	METHODE	CUMEAN	CUSTD	CUVAR	CUMAX	CUMIN	CUQ1	CUMED	CUQ3	CUNOBS
194	4310008	10001	290123	15.77273	11.01377	121.303	42	2.5	7	13.5	19	22
195	4310008	10001	290129	29.33333	26.7644	716.3333	59	7	7	22	59	3
196	4310008	10001	290147	30.65957	68.89345	4746.308	570	2.5	8	13	27	94
197	4310008	10002	290101	2.66	1.725753	2.978222	6.6	1	1	2.5	3	10
198	4310008	10002	290110	2.5	0 707407	٠.	2.5	2.5	2.5	2.5	2.5	1
199 200	4310008	10002 10002	290121 290135	1.5 7.857143	0.707107 5.807425	0.5 33.72619	2 19	1 2.5	2.5	1.5 6	2 10	2 7
200	4310008 4310008	10002	290135	5.625	3.681518	13.55357	12	2.5	2.5	4.75	8	8
202	4310008	10002	290147	2.5	0.001	0	2.5	2.5	2.5	2.5	2.5	4
	4310000	10002	270141	L.,	·	•						•
203	4310010	10001	290103	9.623529	9.014886	81.26816	36	2	4	7	10.2	. 17
204	4310010	10001	290108	6.666667	0.57735	0.333333	7	6	6	7	7	3
205	4310010	10001	290115	4.666667	1.658312	2.75	8	3	3	5	5	9
206	4310010	10001	290123	9.052632	8.142643	66.30263	38	2.5	2.5	8	11	19
207	4310010	10001	290129	5.5	2.598076	6.75	7	2.5	2.5	7	7	3
208	4310010	10001	290147	13.68182	77.22917	5964.344	773	2.5	2.5	2.5	8	99
209	4310010	10002	290101	3.39	1.847791	3.414333	7.6	1	2	3	4	10
210 211	4310010 4310010	10002 10002	290110 290121	7 3	ò	i	7 3	7 3	7 3	7 3	7 3	1 2
212	4310010	10002	290121	10.5	7.041543	49.58333	24	2.5	6	8	13	7
213	4310010	10002	290145	5.875	2.985082	8.910714	12	2.5	3.75	6	6.5	8
214	4310010	10002	290147	2.5	0	0.710714	2.5	2.5	2.5	2.5	2.5	4
_,,		10002	2,0141		·	·	,				,	· .
215	4310011	10001	290103	9.153846	11.7622	138.3494	47	1	4	6	8	13
216	4310011	10001	290108	2.5	0	0	2.5	2.5	2.5	2.5	2.5	3
217	4310011	10001	290115	4.142857	1.9518	3.809524	7	2	2	4	6	7
218	4310011	10001	290123	6.152174	5.486419	30.10079	25	2.5	2.5	5	8	23 2
219	4310011	10001	290129	4.75	3.181981	10.125	7	2.5	2.5	4.75	7	2
220	4310011	10001	290147	5.637931	4.729724	22.37029	34	2.5	2.5 1	2.5	7	87
221 222	4310011 4310011	10002 10002	290101 290110	1.9 2.5	1.595131	2.544444	2.5	1 2.5	2.5	1 2.5	2.5	10 1
223	4310011	10002	290121	2.5	ò	ò	1.3	1	1	1	1	2
224	4310011	10002	290135	6.785714	4.590363	21.07143	14	2.5	2.5	7	11	7
225	4310011	10002	290145	5.8125	3.326705	11.06696	12	2.5	2.5	6	7.5	8
226	4310011	10002	290147	2.5	0	0	2.5	2.5	2.5	2.5	2.5	4
	504000	40004				740 5474	401		4-			
227	5010007	10001	290103	30.0087	26.6564	710.5636	104	5.3	15	20	37	23
228 229	5010007	10001 10001	290115 290123	30.55556	20.36609	414.7778	66	8 17	12	26	50	9
230	5010007 5010007	10001	290123	34.84211 13	15.21061 2.645751	231.3626 7	72 15	13 10	24 10	32 14	47 15	19 3
231	5010007	10001	290147	51.28409	72.30633	5228.206	653	8	23.5	36.5	52	88
232	5010007	10001	290101	38.16667	23.05022	531.3125	72	10.5	24	30	57.5	9
233	5010007	10002	290110	39			39	39	39	39	39	ĺ
234	5010007	10002	290121	32.5	10.6066	112.5	40	25	25	32.5	40	2
235	5010007	10002	290135	36.14286	20.25198	410.1429	80	24	26	27	42	7
236	5010007	10002	290145	35.5	15.22216	231.7143	56	16	21	37.5	47.5	8
237	5010007	10002	290147	73	82.36909	6784.667	196	22	27.5	37	118.5	4
238	E010017	10001	290103	46.28667	40.98167	1679.497	14/	5	18.5	77	54	45
	5010013 5010013		290103		40 50704		164 32			37 28		15 3
239	5010013 5010013	10001 10001	290123	189.8333	10.58301 429.4137	112 184396.2	32 1520	12 9	12 17.5	28 33	32 108.5	3 12
241	5010013	10001	290147	8.309278	18.82394	354.3409	141	2.5	2.5	2.5	6	97
242	5010013	10002	290101	31.72222	33.95688	1153.069	90	2	5	22	44	9
243	5010013	10002	290110	2.5			2.5	2.5	2.5	2.5	2.5	1
244	5010013	10002	290121	1	0	0	1	1	1	1	1	2
245	5010013	10002	290135	12.92857	14.28119	203.9524	42	2.5	2.5	9	19	7
246	5010013	10002	290145	4	1.647509	2.714286	6	2.5	2.5	3.75	5.5	8
247	5010013	10002	290147	2.5	0	0	2.5	2.5	2.5	2.5	2.5	4
248	5080006	10001	290103	4,609091	3.557274	12.6542	13	4	2	7 0	4 5	າາ
249	5080006	10001	290103	4.609091	1.732051	3	5	1 1	1	3.9 3	6.5 5	22 7
250	5080006	10001	290123	6.173913	5.15357	26.55929	19	2.5	2.5	2.5	10	23
251	5080006	10001	290129	5	0	0	'ś	5.5	5	5	5	23 2
252	5080006	10001	290147	4.5	4.119314	16.96875	30	2.5	2.5	2.5	6	97
253	5080006	10002	290101	1.65	0.818196	0.669444	3.5	1	1	1.5	2	10
254	5080006	10002	290110	2.5	•	-	2.5	2.5	2.5	2.5	2.5	1
255	5080006	10002	290121	1	0	0	1	1	_ 1	1	. 1	2
256	5080006	10002	290135	5.785714	5.611425	31.4881	1 <u>4</u>	2.5	2.5	2.5	14	7
257	5080006	10002	290145	3.5	1.870829	3.5	7	2.5	2.5	2.5	4.25	8
258	5080006	10002	290147	2.5	0	0	2.5	2.5	2.5	2.5	2.5	4

OBS	STATION	PROJET	METHODE	CUMEAN	CUSTD	CUVAR	CUMAX	CUMIN	CUQ1	CUMED	CUQ3	CUNOBS
259	5220003	10001	290103	5.618182	3.736517	13.96156	15	1	2	5	8	22
260	5220003	10001	290115	6.25	2.764572	7.642857	11	3	4.5	5	8.5	8
261	5220003	10001	290123	10	9.78945	95.83333	47	2.5	5	8	12	19
262	5220003	10001	290129	2.5	0	17 747/7	2.5	2.5	2.5	2.5	2.5	3
263	5220003	10001	290147	5.159483	4.214674	17.76347 1.455556	22	2.5	2.5	2.5	7	116
264	5220003	10002	290101	2.2	1.206464	1.422220	4 7	1 7	1 7	2 7	3.5 7	10
265	5220003	10002	290110	7	ò	i	í	1	1	1		1
266 267	5220003 5220003	10002 10002	290121 290135	6.285714	2.913434	8.488095	10	2.5	2.5	7	1 9	2 7
268	5220003	10002	290145	6.25	2.535463	6.428571	9	2.5	4.25	7	8	. 8
269	5220003	10002	290147	2.5	0	0.420371	2.5	2.5	2.5	2.5	2.5	12
207	3220003	10002	270141		•	•				,		
270	5220004	10001	290103	6.815	5.724212	32.76661	25	1	2.8	6	8.75	20
271	5220004	10001	290115	2.666667	1.936492	3.75	7	1	1	2	3	9
272	5220004	10001	290123	6.565217	4.810746	23.14328	19	2.5	2.5	5	9	23
273	5220004	10001	290129	4.166667	1.443376	2.083333	5	2.5	2.5	5	5	3.
274	5220004	10001	290147	27.245	88.39459	7813.604	528	2.5	2.5	2.5	6	100
275	5220004	10002	290101	1.75	0.71686	0.513889	3	1	1	2	2	10
276	5220004	10002	290110	2.5	•	•	2.5	2.5	2.5	2.5	2.5	1
277	5220004	10002	290121	1	0	0	1	_ 1	_ 1	1	1	2
278	5220004	10002	290135	5.071429	2.790289	7.785714	10	2.5	2.5	6	6	7
279	5220004	10002	290145	5.4375	2.78308	7.745536	10	2.5	2.5	2 6	7	. 8
280	5220004	10002	290147	2.708333	0.721688	0.520833	5	2.5	2.5	2.5	2.5	12
281	5220005	10001	290103	12.175	5.742083	32.97152	23.5	5	8	10.35	15.8	24
282	5220005	10001	290115	9.714286	2.690371	7.238095	14	6	8	10	12	7
283	5220005	10001	290123	9.47619	4.223376	17.8369	19	2.5	7	9	11	21
284	5220005	10001	290129	7.166667	4.310839	18.58333	11	2.5	2.5	8	11	3
285	5220005	10001	290147	4.908805	9.04172	81.75271	109	2.5	2.5	2.5	6	159
286	5220005	10002	290101	1.48	0.661312	0.437333	2.8	1	1	1	2	10
287	5220005	10002	290110	5		:	5	5	5	5	5	1
288	5220005	10002	290121	2	1.414214	27 (004	3	1	1	2	. 3	2
289	5220005	10002	290135	8.285714	5.242909	27.4881 6.410714	16 9	2.5 2.5	2.5 2.5	7 75	12 6.5	7
290 291	5220005 5220005	10002 10002	290145 290147	4.625 2.791667	2.531939 1.010363	1.020833	6	2.5	2.5	3.75 2.5	2.5	8 12
292	5220012	10001	290103	4.245	2.698045	7.279447	10	1	2	3.95	5.75	20
293	5220012	10001	290115	3.222222	1.20185	1.444444	5	1	3	3	4	9
294 295	5220012	10001 10001	290123 290129	4.847826 4.333333	4.066031 3.175426	16.53261 10.08333	20 8	2.5 2.5	2.5 2.5	2.5 2.5	6	23
296	5220012 5220012	10001	290129	49.00526	165.6796	27449.72	1080	2.5	2.5	2.5	8 8	95
297	5220012	10001	290101	1.61	0.887506	0.787667	3.5	1	1	1	2	10
298	5220012	10002	290110	8	0.007500	0.707007	8	8	8	8	8	1
299	5220012	10002	290121	1	Ö	ò	ī	1	1	1	1	2
300	5220012	10002	290135	5.571429	2.280873	5.202381	8	2.5	2.5	7	Ż	7
301	5220012	10002	290145	4.5625	2.84652	8.102679	8	2.5	2.5	2.5	8	8
302	5220012	10002	290147	2.5	0	0	2.5	2.5	2.5	2.5	2.5	12
303	6290002	10001	290103	7.189474	9.502567	90.29877	42	1	2	5	9	19
304	6290002	10001	290115	4.125	1.95941	3.839286	7	1	3	4	5.5	8
305	6290002	10001	290123	6.204545	4.714868	22.22998	18	2.5	2.5	3.75	10	22
306	6290002	10001	290129	4.833333	2.254625	5.083333	7	2.5	2.5	5	7	3
307	6290002	10001	290147	5.654255	4.90667	24.07541	27	2.5	2.5	2.5	8	94
308	6290002	10002	290101	1.2	0.421637	0.177778	2	1	1	1	1	10
309	6290002	10002	290110	5	•	•	5	5	5	5	Ś	1
310	6290002	10002	290121	1	0	0	1	1	1	1	1	2
311	6290002	10002	290135	4.0625	2.243045	5.03125	8	2.5	2.5	2.5	6	8
312	6290002	10002	290145	4.5	2.171241	4.714286	7	2.5	2.5	4.25	6.5	8
313	6290002	10002	290147	2.5	0	0	2.5	2.5	2.5	2.5	2.5	4
314	7100001	10001	290103	5.404545	3.238382	10.48712	12	1	3	5	8.2	22
315	7100001	10001	290115	4	1.5	2.25	6	1	3	4	5	9
316	7100001	10001	290123	6.869565	5.412984	29.3004	22	2.5	2.5	. 6	7	23
317	7100001	10001	290129	2.5	0	0	2.5	2.5	2.5	2.5	2.5	3
318	7100001	10001	290147	5.333333	5.067813	25.68273	30	2.5	2.5	2.5	7	84
319 320	7100001	10002	290101	1.25	0.46291	0.214286	2	1	1	1	1.5	8
320 321	7100001 7100001	10002 10002	290110 290121	5	i	Ö	5 1	5 1	5 1	5	5 1	1 2
322	7100001	10002	290121	5.5625	3.342769	11.17411	11	1 2.5	2.5	5	8	8
323	7100001	10002	290145	5.111111	2.997684	8.986111	11	2.5	2.5	5	6	9
			E/4147	J. 111111	2.777007						<u> </u>	

OBS	STATION	PROJET	METHODE	CUMEAN	CUSTD	CUVAR	CUMAX	CUMIN	CUQ1	CUMED	CUQ3	CUNOBS
324	7110001	10001	290103	6.678261	5.940612	35.29087	27	1	2	5	9.5	23
325	7110001	10001	290115	4.111111	2.368778	5.611111	10	2	3	3	4	9
326	7110001	10001	290123	5.565217	3.934996	15.48419	14	2.5	2.5	2.5	8	23
327	7110001	10001	290129	5.833333	2.929733	8.583333	8	2.5	2.5	7	8	- 3
328	7110001	10001	290147	4.670732	4.079624	16.64333	21	2.5	2.5	2.5	6	82
329	7110001	10002	290101	1.7	0.948683	0.9	4	1	1	1.5	2	10
330	7110001	10002	290110	2.5			2.5	2.5	2.5	2.5	2.5	1
331	7110001	10002	290121	1	Ó	Ó	1	1	1	1	1	2
332	7110001	10002	290135	5.9375	6.166948	38.03125	20	2.5	2.5	2.5	7.5	8
333	7110001	10002	290145	4.833333	4.062019	16.5	15	2.5	2.5	2.5	5	ğ
334	7230003	10001	290103	8.454545	6.113897	37.37974	29	1	4.4	8	10	22
335	7230003	10001	290115	5	3.817254	14.57143	12	່	2.5	3.5	7	8
336	7230003	10001	290123	6.05	5.964588	35.57632	21	2.5	2.5	2.5	7	20
337	7230003	10001	290129	6.75	6.010408	36.125	11	2.5	2.5	6.75	11	.20
338	7230003	10001	290147	3.892308	3.225257	10.40228	19	2.5	2.5	2.5	2.5	65
							17	2.5	2.3	2.5	2.5	65
339	7230003	10002	290101	1.444444	0.527046	0.277778	2 5	2 -	2 -	2 -	- 2 -	y
340	7230003	10002	290110	2.5		:	2.5	2.5	2.5	2.5	2.5	1
341	7230003	10002	290121	T 5405	2 007045	0.74/0//	1	2 5	2 5	1	7.5	3
342	7230003	10002	290135	5.5625	2.883915	8.316964	10	2.5	2.5	6	7.5	8
343	7230003	10002	290145	8.833333	10.21335	104.3125	35	2.5	2.5	7	7	9

OBS	STATION	PROJET	METHODE	FEMEAN	FESTD	FEVAR	FEMAX	FEMIN	FEQ1	FEMED	FEQ3	FENOBS
1	1150003	10001	260117	0.088333	0.228964	0.052424	1.3	0.01	0.015	0.03	0.04	33
ż	1150003	10001	260125	0.056	0.075491	0.005699	0.27	0.01	0.01	0.03	0.065	20
3	1150003	10001	260139	0.152841	1.06372	1.131501	10	0.005	0.005	0.02	0.04	88
4 5	1150003	10002	260101	0.111842	0.234404	0.054945	0.8	0.01	0.015	0.02	0.08	19
5	1150003	10002	260102	0.015		·- <u>:</u>	0.015	0.015	0.015	0.015	0.015	1
6	1150003	10002	260139	0.04	0.04062 0.043309	0.00165 0.001876	0.08 0.14	0.005 0.005	0.005 0.005	0.0375	0.075 0.04	4 9
7	1150003	10002	260141	0.032778						0.01		
8	2340006	10001	260117	0.221	0.233884	0.054702	1.4	0.06	0.1	0.155	0.24	40
9	2340006	10001	260125	0.195	0.177838	0.031626	0.92	0.08	0.11	0.135	0.22	22
10	2340006 2340006	10001 10002	260139 260101	0.194359 0.280526	0.341564 0.261862	0.116666 0.068572	3.29 1.09	0.03 0.06	0.1 0.12	0.12 0.17	0.18 0.34	117 19
11 12	2340006	10002	260101	0.280328	0.201002	0.000372	0.08	0.08	0.08	0.17	0.08	19
13	2340006	10002	260139	0.143333	0.050871	0.002588	0.25	0.07	0.1	0.145	0.175	12
14	2340006	10002	260141	0.25875	0.28246	0.079784	0.92	0.08	0.09	0.165	0.28	8
15	2400004	10001	260117	0.598919	0.635425	0.403765	2.63	0.09	0.24	0.39	0.6	37
16	2400004	10001	260125	0.730909	1.275136	1.625971	6.1	0.13	0.23	0.32	0.56	22
17	2400004	10001	260139	0.510244	0.607295	0.368807	5.6	0.08	0.25	0.38	0.54	123
18	2400004	10001	260141	0.28			0.28	0.28	0.28	0.28	0.28	1
19	2400004	10002	260101	0.7345	0.47161	0.222416	1.93	0.15	0.35	0.58	1.015	20
20	2400004	10002	260102	0.34			0.34	0.34	0.34	0.34	0.34	1
21	2400004	10002	260139	0.216667	0.196993	0.038806	0.82	0.07	0.14	0.165	0.195	12
22	2400004	10002	260141	0.5225	0.495775	0.245793	1.63	0.13	0.2	0.35	0.66	8
23	3010008	10001	260117	0.617368	1.026157	1.052998	4.08	0.05	0.13	0.3	0.44	38
24	3010008	10001	260125	0.653913	0.966892	0.934879	4.54	0.06	0.14	0.31	0.71	23
25	3010008	10001	260139	0.435847	0.878634	0.771997	8.9	0.02	0.15	0.28	0.41	118
26	3010008	10002	260101	0.776842	0.795788	0.633278	3.17	0.1	0.26	0.5	0.97	19
27	3010008	10002	260102	0.14			0.14	0.14	0.14	0.14	0.14	1
28	3010008	10002	260139	0.455833	1.184279	1.402517	4.21	0.05	0.06	0.105	0.19	12
29	3010008	10002	260141	0.5	0.610854	0.373143	1.92	0.07	0.105	0.35	0.55	8
30	3020031	10001	260117	0.736562	0.914135	0.835643	4.3	0.09	0.25	0.4	0.695	32
31	3020031	10001	260125	0.529565	0.530133 0.692177	0.281041 0.479109	2.8 4.02	0.18 0.06	0.27 0.26	0.39 0.345	0.56 0.52	23 100
32 33	3020031 3020031	10001 10002	260139 260101	0.5798 0.917895	0.88734	0.787373	3.8	0.17	0.25	0.343	1.16	19
33 34	3020031	10002	260101	0.917893	0.00734	0.101313	0.16	0.16	0.16	0.16	0.16	17
35	3020031	10002	260139	0.10	0.051698	0.002673	0.41	0.2	0.255	0.26	0.10	12
36	3020031	10002	260141	0.3375	0.094226	0.008879	0.49	0.21	0.265	0.34	0.395	8
37	3020037	10001	260117	0.101053	0.062549	0.003912	0.27	0.03	0.05	0.095	0.14	38
38	3020037	10001	260125	0.08	0.04	0.0016	0.15	0.02	0.05	0.06	0.11	17
39	3020037	10001	260139	0.085705	0.093356	0.008715	0.83	0.005	0.05	0.075	0.09	78
40	3020037	10002	260101	0.105789	0.047646	0.00227	0.21	0.03	0.08	0.1	0.13	19
41	3020037	10002	260102	0.05			0.05	0.05	0.05	0.05	0.05	1
42	3020037	10002	260139	0.078333	0.035377	0.001252	0.15	0.03	0.05	0.07	0.105	12
43	3020037	10002	260141	0.091429	0.06669	0.004448	0.22	0.03	0.03	0.09	0.12	7
44	3030023	10001	260117	1.036667	1.459832	2.131109	5.8	0.09	0.3	0.49	0.895	36
45	3030023	10001	260125	1.130526	0.777285	0.604172	3.15	0.21	0.63	0.84	1.6	19
46	3030023	10001	260139	0.625273	0.598013	0.35762	4.78	0.15	0.3	0.43	0.69	110
47	3030023	10002	260101	1.375	1.103902	1.2186	4.5	0.24	0.7	0.98	1.975	16
48	3030023	10002	260102	0.19	:		0.19	0.19	0.19	0.19	0.19	. 1
49	3030023	10002	260139	0.870833	0.380394	0.144699	1.75	0.29	0.68	0.92	1.01	12
50	3030023	10002	260141	0.5825	0.192187	0.036936	0.82	0.23	0.485	0.59	0.73	8
51	3030031	10001	260117	0.472973	0.592771	0.351377	3.75	0.1	0.23	0.32	0.54	37
52	3030031	10001	260125	0.369091	0.173889	0.030237	0.84	0.2	0.23	0.355	0.44	22
53	3030031	10001	260139	0.49386	0.631033	0.398203	3.84	0.03	0.23	0.32	0.45	114
54	3030031	10002	260101	0.442353	0.211321	0.044657	0.92	0.2 0.2	0.28	0.4 0.2	0.53	17
55 56	3030031 3030031	10002 10002	260102 260139	0.2 0.3125	0.151964	0.023093	0.2 0.77	0.2	0.2 0.24	0.275	0.2 0.325	1 12
57	3030031	10002	260141	0.3125	0.151964	0.914114	3	0.25	0.29	0.29	0.335	8
58	3040009	10001	260117	0.348462	0.479827	0.230234	2.6	0.07	0.14	0.2	0.33	39
59	3040009	10001	260125	0.387778	0.494601	0.24463	2.23	0.06	0.19	0.22	0.38	18
60	3040009	10001	260139	0.246228	0.225673	0.050928	1.73	0.02	0.12	0.2	0.29	114
61	3040009	10002	260101	0.746316	1.020344	1.041102	4.7	0.14	0.27	0.45	0.82	19
62	3040009	10002	260102	0.25	•	•	0.25	0.25	0.25	0.25	0.25	1

\$\frac{3}{64}\$ 3300009   10002   260119   0.16667   0.523734   0.274297   1.99	OBS	STATION	PROJET	METHODE	FEMEAN	FESTD	FEVAR	FEMAX	FEMIN	FEQ1	FEMED	FEQ3	FENOBS
65 3040012 10001 260117 0.080286 0.24747 0.06631 0.0034 0.23 0.06 0.115 0.16 0.2 8 8 6 3040012 10001 26013 0.035081 0.035081 0.003508 0.24 0.0035 0.25 0.00 0.01 0.02 0.03 0.06 0.35 0.66 0.32 0.00012 10002 260101 0.046579 0.032148 0.001033 0.12 0.015 0.02 0.03 0.05 115 0.05 0.00012 10002 260101 0.046579 0.032148 0.001033 0.12 0.015 0.02 0.03 0.05 115 0.015 0.													
66 3040012 10001 260112 0.003568 0.08917 0.003588 0.09 0.01 0.02 0.03 0.05 155 67 3040012 10001 260113 0.06917 0.03977 0.00319 0.25 0.005 0.02 0.03 0.05 115 68 304012 10002 260110 0.066579 0.032148 0.001033 0.12 0.015 0.02 0.03 0.08 179 70 0.00101 0.00													
68 3040012 10001 2601139 0.040913 0.039877 0.001599 0.25 0.005 0.02 0.03 0.08 19 68 304012 10002 2801160 0.06579 0.032146 0.00133 0.172 0.1015 0.025 0.035 0.08 19 69 304012 10002 2801160 0.0015 0.0015 0.015 0.015 0.015 0.015 61 304012 10002 2801160 0.0015 0.0015 0.0016 0.015 0.015 0.015 61 304012 10002 2801160 0.0015 0.038678 0.0038678 0.00166 0.019 0.015 0.015 0.015 61 304012 10002 280117 0.383773 0.327539 0.107282 1.62 0.006 0.02 0.035 0.045 0.014 61 3040015 10001 280112 0.554284 0.715852 0.512444 3.5 0.1 0.2 0.35 0.045 0.59 23 61 3040015 10001 2801139 0.448547 0.149377 0.175852 2.73 0.1 0.2 0.35 0.34 0.55 117 61 3040015 10002 2801190 0.22002 0.32008 0.318809 0.097225 1.23 0.31 0.22 0.34 0.55 117 61 3040015 10002 2801190 0.448547 0.448547 0.097225 1.23 0.03 0.05 0.075 0.05 0.05 117 61 3040015 10002 2801190 0.448547 0.498049 0.097225 1.23 0.25 0.25 0.25 0.25 0.25 0.25 0.25 0.25													35
88 3040012 10002 260101 0.046579 0.032148 0.001033 0.12 0.015 0.02 0.05 0.08 19 0 3040012 10002 2601139 0.055625 0.036678 0.001046 0.13 0.005 0.035 0.015 0.015 1.													22
69   3040012   10002   260112   0.03375   0.023575   0.00056   0.015													115
70   3040012   10002   260113   0.055625   0.035678   0.000566   0.09   0.09   0.015   0.035   0.05   0.055   0.055   0.057   8						0.032146	0.001033						
Transfer		3040012				0.023657	0.00056						
73 3040015 10001 260125 0,334348 0,715852 0.512444 3.5 0.1 0.2 0.35 0.59 0.37 74 3040015 10002 260101 0,489547 0,178552 2.75 0.30 0.32 0.50 3.4 0.51 117 75 3040015 10002 260101 0,525864 0,311809 0,097225 1,33 0,11 0,32 0,43 0,35 1 17 77 3040015 10002 260101 0,0246647 0,082037 0,088407 0,68 0,25 0,26 0,25 0,35 0,35 1 17 78 3040015 10002 260101 0,0826647 0,082037 0,088407 0,68 0,25 0,26 0,25 0,35 0,35 1 17 8 17 8 17 8 18 18 18 18 18 18 18 18 18 18 18 18 1													
7.7 3040015 10001 260139 0.448547 0.419347 0.179852 2.73 0.03 0.23 0.34 0.51 117 75 3040015 10002 2601010 0.523684 0.31809 0.0979225 1.33 0.11 32 0.44 6.58 197 75 3040015 10002 260102 0.25 0.25 0.25 0.25 0.25 0.25 0.25 0.	72												29
75 3040015 10002 260107 0.523684 0.311809 0.097225 1.33 0.11 0.32 0.46 0.58 19   76 3040015 10002 260139 0.216667 0.196206 0.038497 0.68 0.05 0.075 0.25 0.25 0.25 0.25 1.25   77 3040015 10002 260141 0.415 0.26537 0.051229 0.81 0.12 0.24 0.435 0.52 8   78 3040015 10001 260117 0.509714 1.03843 1.078779 6.26 0.03 0.2 0.25 0.37 35   80 3990001 10001 260125 0.35 0.35 0.158965 0.02527 0.167 0.10 0.05 0.05 0.05 0.35 0.35   81 3090001 10001 260125 0.35 0.35 0.25 10 0.35 0.25 0.35 0.35   82 3990001 10002 260101 0.548421 0.350 0.251 0.25 0.32 0.33 0.43 0.43   83 3990001 10002 260101 0.548421 0.365 0.35 0.25 0.25 0.32 0.33 0.43   84 3090001 10002 260102 0.5 0.25 0.35 0.25 0.35 0.25 0.35   85 3090001 10002 260104 0.3625 0.391982 0.15365 1.32 0.11 0.195 0.265 0.355 8   86 3090005 10001 260175 0.149375 0.370248 0.137084 2.4 0.015 0.05 0.05 0.08 0.115 40   87 3090005 10001 260157 0.149375 0.370248 0.137084 2.4 0.015 0.05 0.05 0.08 0.115 40   87 3090005 10001 260157 0.08 0.073303 0.005373 0.66 0.07 0.07 0.07 0.07 0.07 0.07 0.07													
77 3040015 10002 260139 0.256 0.75 0.75 0.25 0.25 0.25 0.25 0.25 0.25 0.25 0.2													
77 3040015 10002 260141 0.415 0.152605 0.196200 0.038497 0.68 0.05 0.075 0.13 0.315 12 78 309001 10001 260117 0.415 0.26537 0.051229 0.181 0.12 0.24 0.435 0.52 8 8 79 309001 10001 260117 0.509714 1.038643 1.078779 6.26 0.03 0.2 0.25 0.37 35 80 309001 10001 260137 0.375 0.158965 0.02527 0.67 0.12 0.25 0.32 0.45 21 83 309001 10001 260137 0.57881 0.37881 0.158965 0.02527 0.67 0.12 0.25 0.32 0.45 21 83 309001 10002 260130 0.5881 0.37881 0.334917 0.11217 1.44 0.005 0.19 0.22 0.35 0.45 21 83 309001 10002 260130 0.5881 0.358477 0.11217 1.42 0.005 0.19 0.22 0.35 0.45 14 85 309001 10002 260141 0.3625 0.379182 0.157886 0.024833 0.49 0.12 0.25 0.356 0.465 4 8 8 3090005 10001 260137 0.334917 0.17218 4 0.04891 0.1022 260141 0.3625 0.39182 0.15365 1.32 0.11 0.195 0.265 0.265 8 8 3090005 10001 260125 0.08 0.09536 0.09536 0.0122 260130 0.09728 0.073033 0.00124 0.22 0.03 0.06 0.07 0.09 22 28 8 3090005 10001 260125 0.140278 0.12824 0.073303 0.005373 0.62 0.02 0.05 0.06 0.07 0.09 22 28 8 3090005 10001 260137 0.140278 0.128824 0.01539 0.05530 0.06 0.07 0.09 1.12 89 3090005 10001 260137 0.140278 0.128824 0.01539 0.05530 0.06 0.07 0.09 1.12 89 3090005 10002 260114 0.05125 0.0355 0.06547 0.06596 0.55 0.015 0.06 0.11 0.17 18 9 3090005 10002 260114 0.05125 0.03558 0.005373 0.62 0.02 0.05 0.09 0.12 89 3090005 10002 260110 0.04275 0.01530 0.005373 0.62 0.02 0.05 0.09 0.12 89 3090005 10002 260110 0.05127 0.130 0.077889 0.006067 0.015 0.005 0.015 0.005 0.05 0.05 0.05						0.511007	0.071223						
78 3040015 10002 260141 0.415 0.226337 0.951229 0.81 0.12 0.24 0.435 0.52 8 79 3090001 10001 260125 0.50714 1.038643 1.078779 6.26 0.03 0.2 0.25 0.37 35 80 3090001 10001 260125 0.335 0.158965 0.02527 0.67 0.12 0.25 0.35 0.32 0.43 81 3090001 10001 260139 0.307283 0.20199 0.040481 1.26 0.000 0.10 0.26 0.355 92 82 3090001 10002 260101 0.568421 0.334917 0.11217 1.44 0.22 0.33 0.88 19 83 3090001 10002 260103 0.335 0.158965 0.03527 0.02623 0.26 0.20 0.2 0.2 0.2 0.2 0.2 0.2 0.2 0.2 0.						0.196206	0.038497						
80 3090001 10001 260139 0.307283 0.201199 0.040481 1.26 0.005 0.19 0.26 0.355 92 82 3090001 10002 260101 0.548421 0.334917 0.11217 1.44 0.27 0.33 0.43 0.48 19													
81 3090001 10002 260101 0.548421 0.334917 0.1127 1.44 0.27 0.33 0.43 0.88 19 82 3090001 10002 260102 0.2 83 3090001 10002 260103 0.335 0.157586 0.24833 0.49 0.12 0.22 0.2 0.2 0.2 85 3090001 10002 260103 0.335 0.157586 0.024833 0.49 0.12 0.225 0.365 0.445 4 85 3090001 10002 260101 0.3625 0.391982 0.15365 1.32 0.11 0.195 0.245 0.255 8 86 3090005 10001 260117 0.149375 0.370248 0.137084 0.22 0.2 0.1 0.19 0.255 0.088 0.115 40 87 3090005 10001 260125 0.08 0.339036 0.001524 0.22 0.03 0.06 0.07 0.09 22 88 3090005 10001 260101 0.140278 0.127303 0.003373 0.62 0.02 0.05 0.09 0.12 889 3090005 10001 260101 0.140278 0.12828 0.01850 0.588 0.105 0.08 0.115 40 90 3090005 10002 260101 0.140278 0.12828 0.01850 0.588 0.105 0.06 0.1 0.17 18 91 3090005 10002 260102 0.015 0.0512 0.051 0.00 0.12 10.17 18 91 3090005 10002 260102 0.015 0.0512 0.051 0.00 0.12 10.17 18 92 3090005 10002 260102 0.015 0.0512 0.005 0.09 0.12 89 93 401000 10002 260104 0.06125 0.035568 0.001127 0.12 0.03 0.055 0.08 0.15 0.05 0.05 0.09 0.12 89 94 401000 10001 26017 0.552895 0.4282975 0.178098 2.1 0.015 0.015 0.15 0.15 0.15 0.15 0.15													35
82 3090001 10002 260101 0.548621 0.2 1.1217 1.44 0.27 0.33 0.43 0.68 19 83 309001 10002 260102 0.2 1.2 1.2 1.2 1.2 1.2 0.2 0.2 0.2 0.2 0.2 0.2 0.2 0.2 1.2 84 309001 10002 260141 0.3625 0.391982 0.15365 1.32 0.15 0.15 0.25 0.365 0.445 4.8 309001 10002 260141 0.3625 0.391982 0.15365 1.32 0.15 0.15 0.25 0.365 0.445 4.8 3090005 10001 260117 0.149375 0.39036 0.001524 0.22 0.3 0.06 0.07 0.09 28 88 3090005 10001 260125 0.08 0.097288 0.073303 0.005373 0.62 0.02 0.05 0.06 0.07 0.09 28 89 3090005 10001 260139 0.097528 0.073303 0.005373 0.62 0.02 0.05 0.09 0.12 89 89 3090005 10002 260101 0.140278 0.140278 0.075303 0.005373 0.62 0.015 0.05 0.06 0.1 0.17 18 90 309005 10002 260102 0.015 0.0 0.05 0.00 0.00 0.00 0.00 0.00													
83 3090001 10002 260139 0.335 0.157586 0.024833 0.49 0.12 0.22 0.2 0.2 0.2 0.2 0.2 85 309001 10002 260141 0.3625 0.391982 0.15365 1.32 0.11 0.195 0.245 0.295 8 8 8 309005 10001 260175 0.08 0.039036 0.001524 0.22 0.03 0.06 0.07 0.09 0.2 88 309005 10001 260125 0.08 0.039036 0.001524 0.22 0.03 0.06 0.07 0.09 0.2 88 309005 10001 260139 0.097528 0.073303 0.005373 0.62 0.02 0.05 0.09 0.12 89 309005 10002 260101 0.140278 0.128824 0.016596 0.58 0.015 0.06 0.1 0.17 18 90 309005 10002 260101 0.140278 0.128824 0.016596 0.58 0.015 0.06 0.1 0.17 18 91 309005 10002 260103 0.13 0.077889 0.00067 0.24 0.07 0.075 0.15 0.15 0.15 0.15 0.15 0.15 0.15 0.09 0.12 89 401002 10001 260139 0.13 0.077889 0.00067 0.24 0.07 0.075 0.105 0.185 4 0.0006 0.0000 0.000 0.000 0.000 0.0000 0.0000 0.0000 0.0000 0.0000 0.0000 0.0000 0.0000 0.0000 0.0000 0.0													10
84 3090001 10002 260139 0.3355 0.157586 0.024833 0.49 0.12 0.225 0.3555 0.445 4 85 3090001 10002 260141 0.3625 0.391982 0.153655 1.32 0.49 0.12 0.225 0.255 0.255 0.255 0.285 86 3090005 10001 260125 0.08 0.039036 0.001524 0.22 0.03 0.06 0.07 0.09 22 88 3090005 10001 260139 0.097528 0.037303 0.005373 0.62 0.02 0.05 0.09 0.12 89 89 3090005 10002 260101 0.140278 0.128824 0.016596 0.58 0.015 0.06 0.1 0.17 18 90 3090005 10002 260102 0.015						0.554717	0.11217						
85         3090001         10002         260141         0.3625         0.391982         0.15365         1.32         0.11         0.195         0.245         0.295         8           86         3090005         10001         260117         0.149375         0.370248         0.137084         2.4         0.015         0.055         0.08         0.17000         0.06         0.07         0.09         2.2         8         3090005         10001         260139         0.097528         0.073303         0.0053735         0.62         0.02         0.05         0.09         0.12         89           80         3090005         10002         260102         0.015         0.075303         0.0053753         0.62         0.02         0.05         0.09         0.12         89           91         3090005         10002         260102         0.015         0.075895         0.06607         0.24         0.015         0.01						0.157586	0.024833						
87 3090005 10001 260125 0.08 0.039036 0.001524 0.22 0.03 0.06 0.07 0.09 22 88 309005 10002 260101 0.140278 0.125303 0.005373 0.6 0.00 0.05 0.09 0.12 89 89 309005 10002 260102 0.15 0.15 0.015 0													
87 3090005 10001 260125 0.08 0.039036 0.001524 0.22 0.03 0.06 0.07 0.09 22 88 3090005 10002 260101 0.140278 0.125824 0.016596 0.58 0.015 0.005 0.09 0.12 89 89 3090005 10002 260102 0.015 0.015 0.015 0.015 0.015 0.015 191 3090005 10002 260102 0.015 0	86	3090005	10001	260117	0.149375	0.370248	0.137084	2.4	0.015	0.055	0.08	0.115	40
89         3090005         10002         260101         0.140278         0.128824         0.0155         0.015         0.015         0.11         18           90         3090005         10002         260102         0.015         .0015         .015         0.026         0.026         0.026         0.026         0.026         0.026         0.025         38         0.01													22
90 3090005 10002 260102 0.13 0.077889 0.006067 0.24 0.07 0.075 0.105 0.015 0.185 4 92 3090005 10002 260141 0.06125 0.033568 0.001127 0.12 0.03 0.035 0.05 0.085 8 93 4010002 10001 260117 0.552895 0.422975 0.178008 2.1 0.19 0.31 0.39 0.52 38 94 4010002 10001 260125 0.439524 0.25599 0.065485 1.21 0.18 0.31 0.34 0.43 21 95 4010002 10001 260125 0.459524 0.2559 0.065485 1.21 0.18 0.31 0.34 0.45 28 96 4010002 10002 260101 0.621579 0.617569 0.381392 2.9 0.18 0.35 0.45 0.58 19 97 4010002 10002 260102 0.26 98 4010002 10002 260103 0.373333 0.125142 0.015661 0.62 0.22 0.26 0.26 0.26 0.26 12 99 4010002 10002 260141 0.43625 0.150327 0.022598 0.77 0.25 0.37 0.42 0.445 18 100 4080003 10001 260127 0.274868 0.191842 0.035803 0.9 0.015 0.17 0.22 0.27 21 102 4080003 10001 260139 0.255714 0.095842 0.009186 0.56 0.14 0.17 0.22 0.27 21 103 4080003 10001 260139 0.255714 0.095842 0.009186 0.56 0.14 0.17 0.22 0.27 21 104 4080003 10002 260101 0.309474 0.115059 0.013239 0.69 0.2 0.24 0.28 0.35 19 105 4080003 10002 260110 0.309474 0.115059 0.013239 0.69 0.2 0.24 0.28 0.35 19 106 4080003 10002 260110 0.309474 0.115059 0.013239 0.69 0.2 0.24 0.28 0.35 19 107 4080003 10002 260102 0.15 0.15 0.15 0.15 0.15 0.15 0.15 105 4080003 10002 260110 0.309474 0.115059 0.013239 0.69 0.2 0.24 0.28 0.35 19 106 4080003 10002 260101 0.309474 0.115059 0.013239 0.69 0.2 0.24 0.28 0.35 19 107 4080005 10002 260101 0.309474 0.105059 0.04272 0.001825 0.25 0.16 0.16 0.18 0.19 0.205 8 107 4080005 10001 260117 0.23255 0.04272 0.001825 0.25 0.16 0.16 0.18 0.19 0.205 8 107 4080005 10001 260117 0.22552 0.125288 0.01659 0.64 0.07 0.15 0.20 0.27 0.32 23 109 4080005 10001 260117 0.2267692 0.151353 0.02908 0.85 0.09 0.19 0.22 0.26 0.35 19 111 4080005 10002 260101 0.347895 0.2073 0.042973 0.88 0.18 0.22 0.26 0.35 19 112 4080005 10001 260117 0.267692 0.151353 0.02908 0.85 0.09 0.19 0.225 0.26 24 114 4310002 10001 260117 0.267692 0.151353 0.002637 0.03564 0.99 0.15 0.15 0.15 0.15 0.15 0.15 119 4310002 10001 260125 0.30375 0.174252 0.030364 0.99 0.19 0.20 0.20 0.33 0.33													89
91 3090005 10002 260141 0.06125 0.033568 0.001127 0.12 0.03 0.035 0.105 0.185 4 92 309005 10002 260141 0.06125 0.033568 0.001127 0.12 0.03 0.035 0.05 0.085 8 93 4010002 10001 260117 0.552895 0.422975 0.178908 2.1 0.19 0.311 0.39 0.52 38 94 4010002 10001 260125 0.439524 0.2559 0.065485 1.21 0.18 0.31 0.34 0.43 21 95 4010002 10001 260139 0.40551 0.133911 0.017932 0.92 0.15 0.33 0.39 0.45 98 96 4010002 10002 260101 0.621579 0.617569 0.381392 2.9 0.18 0.33 0.39 0.45 98 97 4010002 10002 260102 0.26						0.128824	0.016596						
92         3090005         10002         260141         0.06125         0.033568         0.001127         0.12         0.03         0.035         0.05         0.085         8           93         4010002         10001         260117         0.552895         0.422975         0.178908         2.1         0.19         0.31         0.34         0.43         21           95         4010002         10001         260139         0.40551         0.133911         0.017932         0.15         0.33         0.34         0.43         21           96         4010002         10002         260102         0.26 <td></td> <td></td> <td></td> <td></td> <td></td> <td>0.077000</td> <td>0.00/0/7</td> <td></td> <td></td> <td></td> <td></td> <td></td> <td></td>						0.077000	0.00/0/7						
94 4010002 10001 260125 0.439524 0.2559 0.0656485 1.21 0.18 0.31 0.34 0.43 21 95 4010002 10001 260139 0.40551 0.133911 0.017932 0.92 0.15 0.33 0.33 0.39 0.45 98 96 4010002 10002 260101 0.621579 0.617569 0.381392 0.92 0.18 0.35 0.45 0.58 19 97 4010002 10002 260102 0.26 1.26 1.26 0.26 0.26 0.26 0.26 0.26 0.26 0.26 0													
95	93												38
96													
97 4010002 10002 260102 0.26 0.26 0.26 0.26 0.26 0.26 0.26 0.													19
98						•	•						
99		4010002		260139	0.373333	0.125142	0.015661						
101	99	4010002	10002	260141	0.43625	0.150327	0.022598	0.77	0.25	0.37	0.42	0.445	
102         4080003         10001         260139         0.235952         0.148439         0.022034         0.98         0.03         0.17         0.2         0.24         84           103         4080003         10002         260101         0.399474         0.115059         0.013239         0.69         0.2         0.24         0.28         0.35         19           105         4080003         10002         260139         0.1925         0.04272         0.001825         0.25         0.16         0.16         0.18         0.225         4           106         4080003         10002         260141         0.20875         0.063118         0.003984         0.36         0.16         0.18         0.19         0.205         8           107         4080005         10001         260117         0.23225         0.125258         0.01569         0.64         0.07         0.15         0.2         0.265         40           108         4080005         10001         260125         0.295652         0.178449         0.031844         1.01         0.12         0.2         0.27         0.32         23           109         4080005         10001         260101         0.347895		4080003		260117				0.9		0.17		0.3	
103         4080003         10002         260101         0.309474         0.115059         0.013239         0.69         0.2         0.24         0.28         0.35         19           104         4080003         10002         260102         0.15         .         .         0.15         0.16         0.18         0.18         0.22         0.26         0.26         0.24         0.24         0.24         0.24         0.24         0.24         0.24         0.24         0.24													
104         4080003         10002         260102         0.15         .         0.15         0.22         0.22         0.22         0.22         0.22         4           106         4080005         10001         260117         0.23225         0.178449         0.031844         1.01         0.12         0.27         0.32         23           109         4080005         10001         260139         0.347895         0.5073         0.042973         0.88         0.18         0.23         0.33         75           110         4080005         10002         260102         0.24           0													
105         4080003         10002         260139         0.1925         0.04272         0.001825         0.25         0.16         0.16         0.18         0.225         4           106         4080003         10002         260141         0.20875         0.063118         0.003984         0.36         0.16         0.18         0.19         0.205         8           107         4080005         10001         260117         0.23225         0.125258         0.01569         0.64         0.07         0.15         0.2         0.265         40           108         4080005         10001         260125         0.295652         0.178449         0.031844         1.01         0.12         0.2         0.27         0.32         23           109         4080005         10001         260139         0.343867         0.509793         0.259889         4.27         0.08         0.18         0.23         0.33         75           110         4080005         10002         260101         0.347895         0.2073         0.289889         4.27         0.08         0.18         0.23         0.33         75           111         4080005         10002         260102         0.24         <						0.115059	0.013239						
106         4080003         10002         260141         0.20875         0.063118         0.003984         0.36         0.16         0.18         0.19         0.205         8           107         4080005         10001         260117         0.23225         0.125258         0.01569         0.64         0.07         0.15         0.2         0.265         40           108         4080005         10001         260125         0.295652         0.178449         0.031844         1.01         0.12         0.2         0.27         0.32         23           109         4080005         10001         260139         0.343867         0.509793         0.259889         4.27         0.08         0.18         0.23         0.33         75           110         4080005         10002         260102         0.24          0.24						0.0/272	0 001035						
108       4080005       10001       260125       0.295652       0.178449       0.031844       1.01       0.12       0.2       0.27       0.32       23         109       4080005       10001       260139       0.343867       0.509793       0.259889       4.27       0.08       0.18       0.23       0.33       75         110       4080005       10002       260101       0.347895       0.2073       0.042973       0.88       0.18       0.22       0.26       0.35       19         111       4080005       10002       260102       0.24         0.24       0.24       0.24       0.24       0.24       0.24       0.24       11       0.002       0.002       0.046547       0.002167       0.28       0.17       0.19       0.225       0.26       4         112       4080005       10002       260141       0.2275       0.088761       0.007879       0.43       0.15       0.175       0.205       0.24       8         114       4310002       10001       260117       0.267692       0.151353       0.022908       0.85       0.09       0.19       0.24       0.29       39         115       43	401						0 007004						_
108       4080005       10001       260125       0.295652       0.178449       0.031844       1.01       0.12       0.2       0.27       0.32       23         109       4080005       10001       260139       0.343867       0.509793       0.259889       4.27       0.08       0.18       0.23       0.33       75         110       4080005       10002       260101       0.347895       0.2073       0.042973       0.88       0.18       0.22       0.26       0.35       19         111       4080005       10002       260102       0.24        0.24       0.24       0.24       0.24       0.24       0.24       0.24       0.24       0.24       0.24       0.24       11         112       4080005       10002       260139       0.225       0.046547       0.002167       0.28       0.17       0.19       0.225       0.26       4         113       4080005       10002       260141       0.2275       0.088761       0.007879       0.43       0.15       0.175       0.205       0.24       8         114       4310002       10001       260125       0.30375       0.174252       0.030364       0.92											0.2		40
111       4080005       10002       260102       0.24       .       0.24       0.24       0.24       0.24       0.24       0.24       1.1       112       4080005       10002       260139       0.225       0.046547       0.002167       0.28       0.17       0.19       0.225       0.26       4         113       4080005       10002       260141       0.2275       0.088761       0.007879       0.43       0.15       0.175       0.205       0.24       8         114       4310002       10001       260117       0.267692       0.151353       0.022908       0.85       0.09       0.19       0.24       0.29       39         115       4310002       10001       260125       0.30375       0.174252       0.030364       0.92       0.15       0.21       0.26       0.31       24         116       4310002       10001       260139       0.248646       0.141389       0.019991       1.19       0.07       0.18       0.21       0.265       96         117       4310002       10002       260101       0.395789       0.342982       0.117637       1.68       0.16       0.25       0.33       0.38       19											0.27		23
111       4080005       10002       260102       0.24       .       0.24       0.24       0.24       0.24       0.24       0.24       1.1       112       4080005       10002       260139       0.225       0.046547       0.002167       0.28       0.17       0.19       0.225       0.26       4         113       4080005       10002       260141       0.2275       0.088761       0.007879       0.43       0.15       0.175       0.205       0.24       8         114       4310002       10001       260117       0.267692       0.151353       0.022908       0.85       0.09       0.19       0.24       0.29       39         115       4310002       10001       260125       0.30375       0.174252       0.030364       0.92       0.15       0.21       0.26       0.31       24         116       4310002       10001       260139       0.248646       0.141389       0.019991       1.19       0.07       0.18       0.21       0.265       96         117       4310002       10002       260101       0.395789       0.342982       0.117637       1.68       0.16       0.25       0.33       0.38       19													<b>7</b> 5
112       4080005       10002       260139       0.225       0.046547       0.002167       0.28       0.17       0.19       0.225       0.26       4         113       4080005       10002       260141       0.2275       0.088761       0.007879       0.43       0.15       0.175       0.205       0.24       8         114       4310002       10001       260117       0.267692       0.151353       0.022908       0.85       0.09       0.19       0.24       0.29       39         115       4310002       10001       260125       0.30375       0.174252       0.030364       0.92       0.15       0.21       0.26       0.31       24         116       4310002       10001       260139       0.248646       0.141389       0.019991       1.19       0.07       0.18       0.21       0.265       96         117       4310002       10002       260101       0.395789       0.342982       0.117637       1.68       0.16       0.25       0.33       0.38       19         118       4310002       10002       260102       0.15         0.15       0.15       0.15       0.15       0.15       1     <						0.2073	0.042973						19
113       4080005       10002       260141       0.2275       0.088761       0.007879       0.43       0.15       0.175       0.205       0.24       8         114       4310002       10001       260117       0.267692       0.151353       0.022908       0.85       0.09       0.19       0.24       0.29       39         115       4310002       10001       260125       0.30375       0.174252       0.030364       0.92       0.15       0.21       0.26       0.31       24         116       4310002       10001       260139       0.248646       0.141389       0.019991       1.19       0.07       0.18       0.21       0.265       96         117       4310002       10002       260101       0.395789       0.342982       0.117637       1.68       0.16       0.25       0.33       0.38       19         118       4310002       10002       260102       0.15       .       .       0.15       0.15       0.15       0.15       0.15       1         119       4310002       10002       260139       0.195       0.080623       0.0065       0.31       0.13       0.14       0.17       0.25       4						0.0/45/7	0.00247	0.24			0.24		,
115       4310002       10001       260125       0.30375       0.174252       0.030364       0.92       0.15       0.21       0.26       0.31       24         116       4310002       10001       260139       0.248646       0.141389       0.019991       1.19       0.07       0.18       0.21       0.265       96         117       4310002       10002       260101       0.395789       0.342982       0.117637       1.68       0.16       0.25       0.33       0.38       19         118       4310002       10002       260102       0.15       .       .       0.15													8
115       4310002       10001       260125       0.30375       0.174252       0.030364       0.92       0.15       0.21       0.26       0.31       24         116       4310002       10001       260139       0.248646       0.141389       0.019991       1.19       0.07       0.18       0.21       0.265       96         117       4310002       10002       260101       0.395789       0.342982       0.117637       1.68       0.16       0.25       0.33       0.38       19         118       4310002       10002       260102       0.15       .       .       0.15		4310002							0.09		0.24		
116       4310002       10001       260139       0.248646       0.141389       0.019991       1.19       0.07       0.18       0.21       0.265       96         117       4310002       10002       260101       0.395789       0.342982       0.117637       1.68       0.16       0.25       0.33       0.38       19         118       4310002       10002       260102       0.15       .       0.15       0.23       0.32       8         121       4310008       10001       260117       0.268049       0.109823       0.012061			10001								0.26		24
117       4310002       10002       260101       0.395789       0.342982       0.117637       1.68       0.16       0.25       0.33       0.38       19         118       4310002       10002       260102       0.15       .       .       0.15       0.25       4       0.26       0.23       0.32       8       0.006184       0.4       0.19       0.2       0.23       0.32       8         121       4310008       10001       260117       0.268049       0.109823       0.012061       0.63       0.05       0.21       0.26       0.33       41         122       4310008       10001       260125											0.21		
118       4310002       10002       260102       0.15       .       .       0.15       0.15       0.15       0.15       0.15       0.15       11       0.15       0.25       4         120       4310002       10002       260141       0.26125       0.078638       0.006184       0.4       0.19       0.2       0.23       0.32       8         121       4310008       10001       260117       0.268049       0.109823       0.012061       0.63       0.05       0.21       0.26       0.33       41         122       4310008       10001       260125       0.229091       0.049368       0.002437       0.34       0.15       0.2       0.22       0.26       22	117		10002								0.33		19
119       4310002       10002       260139       0.195       0.080623       0.0065       0.31       0.13       0.14       0.17       0.25       4         120       4310002       10002       260141       0.26125       0.078638       0.006184       0.4       0.19       0.2       0.23       0.32       8         121       4310008       10001       260117       0.268049       0.109823       0.012061       0.63       0.05       0.21       0.26       0.33       41         122       4310008       10001       260125       0.229091       0.049368       0.002437       0.34       0.15       0.2       0.22       0.26       22	118	4310002	10002	260102	0.15			0.15	0.15	0.15	0.15	0.15	1
121 4310008 10001 260117 0.268049 0.109823 0.012061 0.63 0.05 0.21 0.26 0.33 41 122 4310008 10001 260125 0.229091 0.049368 0.002437 0.34 0.15 0.2 0.22 0.26 22									0.13		0.17		4
122 4310008 10001 260125 0.229091 0.049368 0.002437 0.34 0.15 0.2 0.22 0.26 22	120	4310002	10002	260141	0.26125	0.078638	0.006184	0.4	0.19	0.2	0.23	0.32	8
122 4310008 10001 260125 0.229091 0.049368 0.002437 0.34 0.15 0.2 0.22 0.26 22													41
125 4510008 10001 260139 0.352979 0.59647 0.355776 5.2 0.08 0.18 0.22 0.3 94	122												22
	123	4310008	10001	260139	0.352979	0.59647	0.355776	5.2	0.08	0.18	0.22	0.3	94

OBS	STATION	PROJET	METHODE	FEMEAN	FESTD	FEVAR	FEMAX	FEMIN	FEQ1	FEMED	FEQ3	FENOBS
124	4310008	10002	260101	0.227895	0.075908	0.005762	0.33	0.12	0.15	0.23	0.3	19
125	4310008	10002	260102	0.16	•	•	0.16	0.16	0.16	0.16	0.16	1
126	4310008	10002	260139	0.145	0.023805	0.000567	0.17	0.12	0.125	0.145	0.165	4
127	4310008	10002	260141	0.175	0.036645	0.001343	0.23	0.13	0.15	0.16	0.21	8
128	4310010	10001	260117	0.32871	0.156562	0.024512	0.73	0.09	0.19	0.33	0.45	31
129	4310010	10001	260125	0.346842	0.136912	0.018745	0.66	0.16	0.25	0.33	0.38	19
130	4310010	10001	260139	0.325354	0.112986	0.012766	0.68	0.1	0.26	0.3	0.38	99
131	4310010	10002	260101	0.425789	0.148822	0.022148	0.74	0.24	0.32	0.38	0.52	19
132	4310010	10002	260102	0.25	0 4770/4	0.010077	0.25	0.25	0.25	0.25	0.25	1
133	4310010	10002	260139	0.365	0.137961	0.019033	0.54	0.22	0.26	0.35	0.47	4
134	4310010	10002	260141	0.2825	0.093005	0.00865	0.46	0.17	0.22	0.255	0.34	8
135	4310011	10001	260117	0.266364	0.204114	0.041662	0.81	0.07	0.12	0.18	0.39	22
136	4310011	10001	260125	0.211304	0.052769	0.002785	0.33	0.14	0.17	0.19	0.26	23
137	4310011	10001	260139	0.20908	0.096973	0.009404	0.92	0.11	0.16	0.19	0.23	87
138	4310011	10002	260101	0.382105	0.480909	0.231273	2.3	0.11	0.2	0.28	0.32	19
139 140	4310011 4310011	10002 10002	260102	0.16	0.063966	0.004092	0.16	0.16	0.16	0.16 0.165	0.16	. 1
141	4310011	10002	260139 260141	0.1875 0.21	0.050143	0.004092	0.28 0.33	0.14 0.18	0.145 0.185	0.19	0.23 0.21	4 8
142	5010007	10001	260117	0.37525	0.18382	0.03379	0.96	0.15	0.24	0.32	0.49	40
143	5010007	10001	260125	0.425263	0.142726	0.020371	0.85	0.25	0.32	0.4	0.51	19
144	5010007	10001	260139	0.367386	0.186446	0.034762	1.86	0.09	0.28	0.34	0.395	88
145	5010007	10002	260101	0.519474	0.300101	0.090061	1.55	0.28	0.37	0.44	0.53	19
146	5010007 5010007	10002	260102	0.18	0.0/7/07	0.001802	0.18	0.18	0.18	0.18	0.18	1
147 148	5010007	10002 10002	260139 260141	0.4075 0.34625	0.043493 0.079631	0.001892 0.006341	0.47	0.37 0.22	0.38	0.395 0.34	0.435	4
140	3010007	10002	200141	0.34623	0.079631	0.000341	0.48	0.22	0.3	0.34	0.395	8
149	5010013	10001	260117	0.299444	0.184214	0.033935	0.83	0.08	0.18	0.24	0.43	18
150	5010013	10001	260125	0.345833	0.052649	0.002772	0.46	0.28	0.3	0.35	0.37	12
151 152	5010013	10001 10002	260139	0.29567	0.083265	0.006933	0.62	0.09	0.24	0.29	0.34	97
153	5010013 5010013	10002	260101 260102	0.418947 0.17	0.12931	0.016721	0.67 0.17	0.26 0.17	0.32 0.17	0.38	0.5	19
154	5010013	10002	260139	0.315	0.03873	0.0015	0.36	0.17	0.285	0.17 0.315	0.17 0.345	1 4
155	5010013	10002	260141	0.33	0.085857	0.007371	0.44	0.2	0.265	0.35	0.385	8
156	5080006	10001	260117	0.400833	0.354815	0.125894	2	0.09	0.16	0.32	0.51	74
157	5080006	10001	260125	0.511739	0.49718	0.123694	2.41	0.09	0.18	0.37	0.46	36 23
158	5080006	10001	260139	0.389175	0.150074	0.022522	0.91	0.03	0.31	0.36	0.43	23 97
159	5080006	10001	260101	0.388421	0.095816	0.009181	0.59	0.21	0.34	0.38	0.45	19
160	5080006	10002	260101	0.21	0.0/3010	0.007.01	0.21	0.21	0.21	0.21	0.21	Ϋ́
161	5080006	10002	260139	1.1375	1.456099	2.120225	3.32	0.37	0.37	0.43	1.905	4
162	5080006	10002	260141	0.3725	0.048033	0.002307	0.46	0.32	0.335	0.36	0.405	8
163	5220003	10001	260117	0.88359	0.91863	0.843882	3.48	0.12	0.3	0.57	0.92	39
164	5220003	10001	260125	0.961579	0.99386	0.987758	4.2	0.31	0.4	0.7	0.98	19
165	5220003	10001	260139	0.617788	0.560387	0.314033	3.78	0.05	0.37	0.45	0.59	113
166	5220003	10002	260101	1.064211	0.751771	0.565159	3.46	0.38	0.63	0.87	1.29	19
167	5220003	10002	260102	0.26			0.26	0.26	0.26	0.26	0.26	1
168	5220003	10002	260139	0.636667	0.364001	0.132497	1.74	0.38	0.45	0.555	0.635	12
169	5220003	10002	260141	0.63625	0.367693	0.135198	1.5	0.37	0.455	0.505	0.65	8
170	5220004	10001	260117	0.585946	0.579504	0.335825	3.2	0.06	0.22	0.49	0.62	37
171	5220004	10001	260125	0.65	0.487601	0.237755	2.7	0.31	0.44	0.51	0.71	23
172	5220004	10001	260139	0.497755	0.4956	0.24562	4.08	0.02	0.28	0.385	0.54	98
173	5220004	10002	260101	0.871053	0.889618	0.791421	4.37	0.35	0.44	0.59	0.97	19
174	5220004	10002	260102	0.33	•	-	0.33	0.33	0.33	0.33	0.33	1
175	5220004	10002	260139	0.524167	0.201515	0.040608	0.95	0.31	0.37	0.485	0.61	12
176	5220004	10002	260141	0.51125	0.264004	0.069698	1.13	0.29	0.365	0.455	0.515	8
177	5220005	10001	260117	1.074211	1.676493	2.81063	10.2	0.06	0.4	0.635	1.1	38
178	5220005	10001	260125	1.061429	1.291462	1.667873	5.6	0.25	0.5	0.68	0.9	21
179	5220005	10001	260139	0.747115	1.565264	2.450052	18.5	0.13	0.39	0.49	0.66	156
180	5220005	10002	260101	1.120526	1.546324	2.391116	7.16	0.29	0.47	0.75	0.97	19
181	5220005	10002	260102	0.23			0.23	0.23	0.23	0.23	0.23	1
182	5220005	10002	260139	0.575833	0.192423	0.037027	0.9	0.3	0.41	0.59	0.7	12
183	5220005	10002	260141	0.49875	0.253176	0.064098	1.01	0.26	0.34	0.42	0.6	8
184	5220012	10001	260117	0.572432	0.771443	0.595124	3.48	0.06	0.16	0.3	0.5	37
	<del> </del>	<del></del>										

OBS	STATION	PROJET	METHODE	FEMEAN	FESTD	FEVAR	FEMAX	FEMIN	FEQ1	FEMED	FEQ3	FENOBS
185	5220012	10001	260125	0.636957	1.022992	1.046513	5.2	0.17	0.29	0.37	0.58	23
186	5220012	10001	260139	0.383936	0.258653	0.066902	1.63	0.01	0.22	0.325	0.49	94
187	5220012	10002	260101	0.945263	1.530629	2.342826	7.05	0.24	0.3	0.56	0.78	19
188	5220012	10002	260102	0.14			0.14	0.14	0.14	0.14	0.14	1
189	5220012	10002	260139	0.365833	0.088159	0.007772	0.52	0.25	0.29	0.36	0.4	12
190	5220012	10002	260141	0.36	0.153157	0.023457	0.7	0.22	0.26	0.325	0.395	8
191	6290002	10001	260117	0.210588	0.110534	0.012218	0.68	0.07	0.13	0.2	0.25	34
192	6290002	10001	260125	0.235909	0.084553	0.007149	0.44	0.13	0.17	0.215	0.28	22
193	6290002	10001	260139	0.204894	0.062437	0.003898	0.42	0.09	0.16	0.2	0.23	94
194	6290002	10002	260101	0.2665	0.102766	0.010561	0.56	0.14	0.2	0.255	0.28	20
195	6290002	10002	260102	0.15	•	•	0.15	0.15	0.15	0.15	0.15	1
196	6290002	10002	260139	0.16	0.04761	0.002267	0.23	0.13	0.13	0.14	0.19	4
197	6290002	10002	260141	0.22125	0.080612	0.006498	0.37	0.15	0.16	0.195	0.27	8
198	7100001	10001	260117	0.120286	0.050787	0.002579	0.3	0.06	0.09	0.1	0.15	35
199	7100001	10001	260125	0.128261	0.036513	0.001333	0.2	0.07	0.1	0.12	0.16	23
200	7100001	10001	260139	0.122738	0.032202	0.001037	0.22	0.05	0.1	0.12	0.14	84
201	7100001	10002	260101	0.138889	0.03954	0.001563	0.23	0.09	0.1	0.135	0.16	18
202	7100001	10002	260102	0.05	•	-	0.05	0.05	0.05	0.05	0.05	1
203	7100001	10002	260141	0.114444	0.020069	0.000403	0.15	0.09	0.1	0.11	0.13	9
204	7110001	10001	260117	0.100139	0.037502	0.001406	0.18	0.025	0.075	0.1	0.125	36 23
205	7110001	10001	260125	0.112174	0.034239	0.001172	0.17	0.02	0.09	0.12	0.13	23
206	7110001	10001	260139	0.099756	0.03063	0.000938	0.25	0.03	0.08	0.09	0.11	82
207	7110001	10002	260101	0.763	2.88066	8.298201	13	0.08	0.09	0.115	0.14	20
208	7110001	10002	260102	0.06	•		0.06	0.06	0.06	0.06	0.06	1
209	7110001	10002	260141	0.097778	0.024381	0.000594	0.16	0.08	0.09	0.09	0.1	9
210	7230003	10001	260117	0.633333	0.938369	0.880537	4	0.09	0.17	0.255	0.48	36
211	7230003	10001	260125	0.2475	0.203363	0.041357	0.94	0.07	0.15	0.19	0.235	20
212	7230003	10001	260139	0.291923	0.505137	0.255164	4.13	0.005	0.14	0.19	0.32	65
213	7230003	10002	260101	0.2975	0.20913	0.043736	1.06	0.12	0.185	0.22	0.345	20
214	7230003	10002	260102	0.13	•	•	0.13	0.13	0.13	0.13	0.13	1
215	7230003	10002	260141	0.202222	0.095234	0.009069	0.39	0.12	0.15	0.17	0.19	9

OBS	STATION	PROJET	METHODE	PBMEAN	PBSTD	PBVAR	PBMAX	PBMIN	PBQ1	PBMED	PBQ3	PBNOBS
1	1150003	10001	820103	18.71053	15.71298	246.8977	65	7.5	7.5	15	21.5	19
2	1150003	10001	820113	5.0625	4.693746	22.03125	16	2.5	2.5	2.5	_6	8
3 4	1150003 1150003	10001 10001	820121 820131	45 13.52273	86.76608 16.12361	7528.353 259.9707	287 116	1 6	3 7.5	11 7.5	34 7.5	18 88
5	1150003	10001	820101	13.52273	7.5	56.25	30	7.5	7.5	7.5	7.5	9
6	1150003	10002	820110	7.5	1.5	50.25	7.5	7.5	7.5	7.5	7.5	1
7	1150003	10002	820119	2.909091	3.773713	14.24091	14	1	11	2	3	11
8	1150003	10002	820131	7.5	0	0	7.5	7.5	7.5	7.5	7.5	4
9	1150003	10002	820133	9.5625	5.833631	34.03125	24	7.5	7.5	7.5	7.5	8
10	2340006	10001	820103	9.583333	6.019293	36.23188	32.5	7.5	7.5	7.5	7.5	24
11	2340006	10001	820113	4.0625	4.419417	19.53125	15	2.5	2.5	2.5	2.5	8
12	2340006	10001	820121	6.85	15.27735	233.3974	70	1	1	2.5	5.5	20
13	2340006	10001	820131	34.99573	127.2107	16182.57	1290	1	7.5	7.5	19	117
14 15	2340006 2340006	10002 10002	820101 820110	25.42 7.5	32.26277	1040.886	100 7.5	7.5 7.5	7.5 7.5	7.5 7.5	21 7.5	10
16	2340006	10002	820119	5.6	8.682038	75.37778	23	1.5	7.3	1.5	7.5	1 10
17	2340006	10002	820131	19.79167	23.02218	530.0208	84	7.5	7.5	7.5	20	12
18	2340006	10002	820133	9.285714	4.724556	22.32143	20	7.5	7.5	7.5	7.5	7
19	2400004	10001	820103	9.738095	4.867286	23.69048	22	7.5	7.5	7.5	7.5	21
20	2400004	10001	820113	2.777778	0.833333	0.694444	5	2.5	2.5	2.5	2.5	9
21	2400004	10001	820121	2.8	2.64774	7.010526	9	1	_ 1	_ 1	_ 4	20
22	2400004	10001	820131	9.133065	6.628992	43.94353	_66	_ 1	7.5	7.5	7.5	124
23	2400004	10001	820133	7.5	34 77303	/72 200/	7.5	7.5	7.5	7.5	7.5	. 1
24 25	2400004 2400004	10002 10002	820101	21.65 7.5	21.73202	472.2806	62 7.5	7.5 7.5	7.5 7.5	7.5	31.5	10
26	2400004	10002	820110 820119	13.54545	16.53701	273.4727	41	7.5	7.5	7.5 4	7.5 38	1 11
27	2400004	10002	820131	124.2083	256.8231	65958.11	898	7.5	7.5	7.5	131.5	12
28	2400004	10002	820133	7.5	0	03730.11	7.5	7.5	7.5	7.5	7.5	7
29	3010008	10001	820103	53.75217	128.6861	16560.1	545	7.5	7.5	15	26	23
30	3010008	10001	820113	5.722222	4.493823	20.19444	15	2.5	2.5	2.5	8	9
31	3010008	10001	820121	85.2381	122.3826	14977.49	520	1	12	43	88	21
32	3010008	10001	820131	61.61017	127.1404	16164.69	940	7.5	7.5	17.5	55	118
33	3010008	10002	820101	20.5	24.91095	620.5556	85	7.5	7.5	7.5	20	10
34	3010008	10002	820110	_7.5	:	• • • • • •	7.5	7.5	7.5	7.5	7.5	_1
35	3010008	10002	820119	7.35	9.82641	96.55833	31	- 1	_ 1	2.75	. 11	10
36 37	3010008 3010008	10002 10002	820131 820133	30.75 7.5	31.46246 0	989.8864 0	100 7.5	7.5 7.5	7.5 7.5	16.75 7.5	47.5 7.5	12 7
38	3020031	10001	820103	15.9	15.32974	235.001	62	7.5	7.5	7.5	20	22
39	3020031	10001	820113	8.888889	19.16667	367.3611	60	2.5	2.5	2.5	2.5	- 9
40	3020031	10001	820121	2.619048	1.564487	2.447619	6	1	2	2	3	21
41	3020031	10001	820131	11.765	17.2892	298.9164	121	1	7.5	7.5	7.5	100
42	3020031	10002	820101	16.65	10.37639	107.6694	40	7.5	7.5	16.5	20	10
43	3020031	10002	820110	7.5	<u>.</u>	:	7.5	7.5	7.5	7.5	7.5	1
44	3020031	10002	820119	13.2	15.24467	232.4	53	_ 1	- 4	7.5	17	10
45 46	3020031 3020031	10002 10002	820131 820133	32.08333 7.5	56.41479 0	3182.629 0	205 7.5	7.5 7.5	7.5 7.5	7.5 7.5	36.5 7.5	12 7
47	3020037	10001	820103	8.152174	2.16078	4.668972	15	7.5	7.5	7.5	7.5	23
48	3020037	10001	820113	2.5	0	0	2.5	2.5	2.5	2.5	2.5	8
49	3020037	10001	820121	5.25	10.69268	114.3333	35	1	1	1	2	16
50	3020037	10001	820131	10.30128	10.4074	108.3139	77	1	7.5	7.5	7.5	78
51	3020037	10002	820101	13.17	6.139137	37.689	21	7.5	7.5	11.85	20	10
52	3020037	10002	820110	_13			13	13	13	13	13	1
53	3020037	10002	820119	5.7	6.912951	47.78889	24	_ 1	2	3.5	5	10
54 55	3020037 3020037	10002 10002	820131 820133	34.29167 11.41667	47.48562 9.593835	2254.884 92.04167	134 31	7.5 7.5	7.5 7.5	7.5 7.5	37.5 7.5	12 6
56	3030023	10001	820103	8.857143	3.507645	12.30357	20	7.5	7.5	7.5	7.5	21
57	3030023	10001	820113	4.35	3.342072	11.16944	11	2.5	2.5	2.5	5	10
58	3030023	10001	820121	6	5.455704	29.76471	23	1	2	5	8	18
59	3030023	10001	820131	9.383929	9.635001	92.83325	81	4	7.5	7.5	7.5	112
60	3030023	10002	820101	17.85714	18.46554	340.9762	58	7.5	7.5	7.5	20	7
61	3030023	10002	820110	7.5	•		7.5	7.5	7.5	7.5	7.5	1
62	3030023	10002	820119	8.555556	7.073032	50.02778	21	1	3	7	13	9
63	3030023	10002	820131	33.54 <u>1</u> 67	33.73389	1137.975	105	7.5	7.5	19	_60	12
64	3030023	10002	820133	7.5	0	0	7.5	7.5	7.5	7.5	7.5	7

OBS	STATION	PROJET	METHODE	PBMEAN	PBSTD	PBVAR	PBMAX	PBMIN	PBQ1	PBMED	PBQ3	PBNOBS
65	3030031	10001	820103	11.04762	6.926227	47.97262	30	7.5	7.5	7.5	7.5	21
66	3030031	10001	820113	3.3	1.828782	3.344444	8	2.5	2.5	2.5	2.5	10
67	3030031	10001	820121	7.333333	7.404953	54.83333	30	1	2	4	10	21
68	3030031	10001	820131	12.71239	15.3955	237.0215	101	7.5	7.5	7.5	7.5	113
69	3030031	10002	820101	10.64286	5.436867	29.55952	20	7.5	7.5	7.5	17	7
70	3030031	10002	820110	7.5	· · · · · · · · · ·	·	7.5	7.5	7.5	7.5	7.5	1
71	3030031	10002	820119	6.85	12.47676	155.6694	42	_ 1	_ 2	2.75	_ 4	10
72	3030031	10002	820131	17.79167	35.65138	1271.021	131	7.5	7.5	7.5	7.5	12
73	3030031	10002	820133	9	3.968627	15.75	18	7.5	7.5	7.5	7.5	7
74	3040009	10001	820103	8.416667	3.13697	9.84058	20	7.5	7.5	7.5	7.5	24
75 76	3040009 3040009	10001 10001	820113	2.5 2.588235	0 1.543487	0 2.382353	2.5 5	2.5	2.5	2.5	2.5	8
77	3040009	10001	820121 820131	8.557018	4.495208	20.2069	40	1 2	1 7.5	2 7.5	4 7.5	17 114
78	3040009	10001	820101	17.64444	11.25446	126.6628	35	7.5	7.5	15	27	9
79	3040009	10002	820110	7.5	11.25440	120.0020	7.5	7.5	7.5	7.5	7.5	1
80	3040009	10002	820117	10	•	•	10	10	10	10	10	i
81	3040009	10002	820119	4.95	4.166333	17.35833	13	2	2	3	6	10
82	3040009	10002	820131	11.58333	10.82261	117.1288	44	7.5	7.5	7.5	7.5	12
83	3040009	10002	820133	7.5	0	0	7.5	7.5	7.5	7.5	7.5	7
84	3040012	10001	820103	9.782609	5.138593	26.40514	23.5	7.5	7.5	7.5	7.5	23
85	3040012	10001	820113	2.5	0	0	2.5	2.5	2.5	2.5	2.5	6
86	3040012	10001	820121	2.85	3.183427	10.13421	15	1	1	2	3	20
87	3040012	10001	820131	45.99565	187.3989	35118.35	1908	3	7.5	7.5	30	115
88	3040012	10002	820101	14 <u>.</u> 75	10.30439	106.1806	_40	7.5	7.5	11.25	20	10
89	3040012	10002	820110	7.5	·	· · · · · · · ·	7.5	7.5	7.5	7.5	7.5	1
90	3040012	10002	820119	17.6	30.99892	960.9333	98	_ 1	_ 2	5.5	- 9	10
91	3040012	10002	820131	41.83333	69.31363	4804.379	245	7.5	7.5	13.25	38.5	12
92	3040012	10002	820133	7.5	0	0	7.5	7.5	7.5	7.5	7.5	7
93	3040015	10001	820103	9.916667	4.496632	20.2197	20	7.5	7.5	7.5	11.5	12
94 95	3040015 3040015	10001 10001	820113 820121	2.85 5.142857	1.106797 7.856753	1.225 61.72857	6 36	2.5 1	2.5 1	2.5	2.5	10
96	3040015	10001	820131	38.14103	82.246	6764.405	700	i	7.5	2 7.5	6 33	21 117
97	3040015	10001	820101	10.95	5.614713	31.525	20	7.5	7.5	7.5	17	10
98	3040015	10002	820110	7.5	3.014713	31.323	7.5	7.5	7.5	7.5	7.5	10
99	3040015	10002	820119	6.35	9.786754	95.78056	34	1	2.5	4	4	10
100	3040015	10002	820131	48.5	109.0175	11884.82	384	7.5	7.5	7.5	18	12
101	3040015	10002	820133	7.5	0	0	7.5	7.5	7.5	7.5	7.5	7
102	3090001	10001	820103	54.41905	94.62115	8953.163	450	7.5	15	30	59	. 21
103	3090001	10001	820113	7.571429	4.919592	24.20238	14	2.5	2.5	6	14	7
104	3090001	10001	820121	145	121.5698	14779.22	492	10	62	93	216	19
105	3090001	10001	820131	61.18478	97.93693	9591.641	616	1	7.5	17	79	92
106	3090001	10002	820101	13.1	7.359046	54.15556	25	7.5	7.5	7.5	20	10
107	3090001	10002	820110	7.5	:		7.5	7.5	7.5	7.5	7.5	1
108	3090001	10002	820119	18.4	33.29398	1108.489	112	_ 1	_ 2	10.5	13	10
109	3090001	10002	820131	12.75	6.278269	39.41667	_20	7.5	7.5	11.75	_18	4
110	3090001	10002	820133	7.5	0	0	7.5	7.5	7.5	7.5	7.5	7
111	3090005	10001	820103	8.333333	2.91796	8.514493	20	7.5	7.5	7.5	7.5	24
112	3090005	10001	820113	2.8125	0.883883	0.78125	5	2.5	2.5	2.5	2.5	8
113	3090005	10001	820121	1.4	0.88258	0.778947	4	1	1	_ 1	_ 1	20
114	3090005	10001	820131	7.421348	2.014012	4.056244	19	1	7.5	7.5	7.5	89
115 116	3090005 3090005	10002 10002	820101	10 7.5	5.270463	27.77778	20	7.5 7.5	7.5	7.5	7.5	10
117	3090005	10002	820110 820119	7.5 8	18.31211	335.3333	7.5 60	7.5	7.5 1	7.5 2	7.5 3	1 10
118	3090005	10002	820131	43.375	71.75	5148.063	151	7.5	7.5	7.5	79.25	4
119	3090005	10002	820133	9.571429	5.480485	30.03571	22	7.5	7.5	7.5	7.5	7
120	4010002	10001	820103	10.06522	5.242537	27.48419	25	7.5	7.5	7.5	7.5	23
121	4010002	10001	820113	2.888889	1.166667	1.361111	-6	2.5	2.5	2.5	2.5	9
122	4010002	10001	820121	3.473684	2.674331	7.152047	10	1	1	3	5	19
123	4010002	10001	820131	8.959184	6.061826	36.74574	58	3	7.5	7.5	7.5	98
124	4010002	10002	820101	15.94444	17.17091	294.8403	_53	7.5	7.5	7.5	7.5	9
125	4010002	10002	820110	7.5			7.5	7.5	7.5	7.5	7.5	1
126	4010002	10002	820119	8.681818	18.4882	341.8136	_64	_ 1	_ 2	2.5	5	11
127	4010002	10002 10002	820131 820133	39.16667 7.5	88.21856 0	7782.515 0	316 7.5	7.5 7.5	7.5 7.5	7.5 7.5	20.5 7.5	12
128	4010002											7

OBS	STATION	PROJET	METHODE	PBMEAN	PBSTD	PBVAR	PBMAX	PBMIN	PBQ1	PBMED	PBQ3	PBNOBS
129	4080003	10001	820103	13.18182	10.20334	104.1082	49.5	7.5	7.5	7.5	16.5	22
130	4080003	10001	820108	7.5	0	0	7.5	7.5	7.5	7.5	7.5	4
131	4080003	10001	820113	13.5	17.12535 42.98218	293.2778 1847.468	56 163	2.5 1	2.5	8 18	12 40	10
132 133	4080003 4080003	10001 10001	820121 820131	32.63158 8.946429	4.768128	22.73505	35	i	7.5	7.5	7.5	19 84
134	4080003	10001	820101	10.27778	5.511982	30.38194	20	7.5	7.5	7.5	7.5	9
135	4080003	10002	820110	7.5	3.311702	50.50174	7.5	7.5	7.5	7.5	7.5	1
136	4080003	10002	820119	5.090909	9.329572	87.04091	33	1	1	2.5	4	11
137	4080003	10002	820131	7.5	0	0	7.5	7.5	7.5	7.5	7.5	4
138	4080003	10002	820133	13	14.55163	211.75	46	7.5	7.5	7.5	7.5	7
139	4080005	10001	820103	8.413043	3.084611	9.514822	20	7.5	7.5	7.5	7.5	23
140	4080005	10001	820113	2.5	0	0	2.5	2.5	2.5	2.5	2.5	9
141	4080005	10001	820121	3.85	7.464125	55.71316	32	_ 1	_ 1	_ 1	1.5	20
142	4080005	10001	820131	9.54	5.666855	32.11324	34	7.5	7.5	7.5	7.5	75
143	4080005	10002	820101	8.555556	3.166667	10.02778	17	7.5 7.5	7.5 7.5	7.5	7.5	9
144	4080005	10002	820110	7.5 7.090909	7.764722	60.29091	7.5 26	1.5	1.5	7.5 5	7.5 13	1 11
145 146	4080005 4080005	10002 10002	820119 820131	7.090909	1.104122	0.29091	7.5	7.5	7.5	7.5	7.5	4
147	4080005	10002	820133	12.14286	12.28385	150.8929	40	7.5	7.5	7.5	7.5	7
148	4310002	10001	820103	9.022727	3.986517	15.89232	20	7.5	7.5	7.5	7.5	22 3
149	4310002	10001	820108	7.5	0	0	7.5	7.5	7.5	7.5	7.5	
150	4310002	10001	820113	5.15	3.283376	10.78056	12	2.5	2.5	3.75	7	10
151	4310002	10001	820121	35.7619	57.72253	3331.89	248	_ 1	7	13	30	21
152	4310002	10001	820131	39.11053	137.8431	19000.71	1220	7.5	7.5	7.5	26	95
153	4310002	10002	820101	12.22222	8.04717	64.75694	_30	7.5	7.5	7.5	_15	9
154	4310002	10002	820110	7.5	47 07/00	475 4400	7.5	7.5	7.5	7.5	7.5	1
155	4310002	10002	820119	9.409091	13.23408	175.1409	36	7 5	- 1	2.5	17	11
156 157	4310002 4310002	10002 10002	820131 820133	12.375 7.5	9.75 0	95.0625 0	27 7.5	7.5 7.5	7.5 7.5	7.5 7.5	17.25 7.5	4 7
158	4310008	10001	820103	8.043478	2.60643	6.793478	20	7.5	7.5	7.5	7.5	23
159	4310008	10001	820108	7.5	0	0	7.5	7.5	7.5	7.5	7.5	4
160	4310008	10001	820113	3.111111	1.833333	3.361111	8	2.5	2.5	2.5	2.5	9
161	4310008	10001	820121	1.75	1.409554	1.986842	6	1	1	1	2	20
162	4310008	10001	820131	8.670213	6.184682	38.25029	53	1	7.5	7.5	7.5	94
163	4310008	10002	820101	8.888889	4.166667	17.36111	20	7.5	7.5	7.5	7.5	9
164	4310008	10002	820110	7.5	:		7.5	7.5	7.5	7.5	7.5	1
165	4310008	10002	820119	5.272727	7.291652	53.16818	26	_ 1	1	2.5	6	11
166	4310008	10002	820131	13.125	11.25	126.5625	30 15	7.5	7.5	7.5	18.75	4 7
167	4310008	10002	820133	8.571429	2.834734	8.035714		7.5	7.5	7.5	7.5	
168	4310010	10001	820103	8.235294	3.031695	9.191176	_20	7.5	7.5	7.5	7.5	17
169	4310010	10001	820108	7.5	0	0	7.5	7.5	7.5	7.5	7.5	3
170	4310010	10001	820113	2.5	0	0	2.5	2.5	2.5	2.5	2.5	9
171	4310010	10001	820121	3	3.840573	14.75 23.12866	14	1	1	_ 1	3	17
172 173	4310010 4310010	10001	820131 820101	8.897959 9.722222	4.809226 4.583333	21.00694	32 20	1 7.5	7.5 7.5	7.5 7.5	7.5 7.5	98 9
4-7/	1740040	10002	000440	~ -	4.,000	21.00094	7.5	7.5	7.5			1
174 175	4310010 4310010	10002 10002	820110 820119	7.5 2.636364	2.608552	6.804545	10	1	1.1	7.5	7.5 2.5	11
176	4310010	10002	820131	7.5	0	0	7.5	7.5	7.5	7.5	7.5	4
177	4310010	10002	820133	28.92857	39.23479	1539.369	107	7.5	7.5	7.5	58	7
178	4310011	10001	820103	15.38462	28.42839	808.1731	110	7.5	7.5	7.5	7.5	13
179	4310011	10001	820108	7.5	Ō	0	7.5	7.5	7.5	7.5	7.5	3
180	4310011	10001	820113	2.5	0	. 0	2.5	2.5	2.5	2.5	2.5	7
181	4310011	10001	820121	3.571429	8.851957	78.35714	42	1	_ 1	_ 1	_ 2	21
182	4310011	10001	820131	7.931034	2.437799	5.942863	19	_ 1	7.5	7.5	7.5	87
183	4310011	10002	820101	12.16667	10.18884	103.8125	37	7.5	7.5	7.5	7.5	9
184	4310011	10002	820110	7.5	6.650017	44.22273	7.5	7.5 1	7.5 1	7.5	7.5	1
185 186	4310011 4310011	10002 10002	820119 820131	4.545455 13.875	12.75	162.5625	24 33	7.5	7.5	2.5 7.5	5 20.25	11 4
187	4310011	10002	820133	15.92857	15.50921	240.5357	47	7.5	7.5	7.5	27	7
188	5010007	10001	820103	8	2.397916	5.75	19	7.5	7.5	7.5	7.5	23
189	5010007	10001	820113	5.166667	5.437141	29.5625	17	2.5	2.5	2.5	2.5	9
190	5010007	10001	820121	2	1.75119	3.066667	7	1	1	1	2.5	16
191	5010007	10001	820131	8.426136	3.980946	15.84793	27	_ 1	7.5	7.5	7.5	88
192	5010007	10002	820101	8.888889	4.166667	17.36111	20	7.5	7.5	7.5	7.5	9

193   5010007   10002   5021119   1.511818   1.031327   1.055364   4   1   1   1   1   1   1   1   1	OBS	STATION	PROJET	METHODE	PBMEAN	PBSTD	PBVAR	PBMAX	PBMIN	PBQ1	PBMED	PBQ3	PBNOBS
195   5010007   10002   820131   7.5   0   0   7.5						4 071727	1 047474						
196   5010007   10002   820133   7.5   0   0   7.5						1.031327	_						
198   5010013   10001   820113   5.333333   4.907477   24.98333   11   2.5   2.5   2.5   11   3   3   3   3   3   3   3   3					7.5	0	-	7.5					
198   5010013   10001   820113   5.333333   4.907477   24.98333   11   2.5   2.5   2.5   11   3   3   3   3   3   3   3   3	107	5010017	10001	920103	12 1222	10 8610	117 081	42	75	75	75	20	15
199   5010013   10001   820121   1.22,0   77,28655   5973,211   248   1													
200 5010013 10001 820131 14.68557 23.20088 538.6892 180 1 7.5 7.5 7.5 7.5 7.5 9 202 5010013 10002 820110 7.5 7.5 7.5 7.5 7.5 7.5 7.5 7.5 7.5 7.5													
201   5010013   10002   820101   10.83333   7.603455   57.8125   30   7.5													
202 5010013 10002 820110 7.5													
203   5010013   10002   820119   4.277272   4.834065   23.36818   17						7.005455	31.0123						
204         \$010013         10002         820131         7.5         0         0         7.5         7.						/ 87/045	27 74919						
205   5010013   10002   820133   9   3.968627   15.75   18   7.5						4.034003							
206   5080006   10001   820103   9.636364   5.944549   35.33766   31.5   7.5   7.5   7.5   7.5   7.5   22   207   5080006   10001   820121   2.8125   0.883883   0.78125   5   2.5						3.968627						7.5	
207 5080006 10001 820113 2.8125 0.883885 0.78125 5 2.5 2.5 2.5 2.5 2.5 8 8 208 508006 10001 820121 13.58763 39.1567 1533.245 391 2 7.5 7.5 7.5 7.5 7.5 97 2010 5080006 10002 820101 10 5.270463 27.77778 20 7.5 7.5 7.5 7.5 7.5 7.5 7.5 121 5080006 10002 820110 7.5 7.5 7.5 7.5 7.5 7.5 7.5 7.5 7.5 7.5					0 (7/7//			74 5					22
208         5080006         100011         8e)2121         8,571429         26,36394         695,0571         122         1         1         3         21           209         5080006         10001         8e20101         10         5,270463         27,77778         20         7,5													
209   5080006   10001   220113   13,58763   39,15667   1533,245   391   2   7,5								-					
\$\frac{1}{210} \times \frac{5080006}{5080006} \times \frac{1}{10002} \times \frac{820119}{820119} \times \frac{1}{7.5} \times \frac{7.5}{5} \times \frac{7.5}{7.5} \times \frac{7.5}{													21
211         5080006         10002         820119         7.5         .         .         .         .         .         7.5													
212   5080006   10002   820131   10.375   5.75   33.0625   19 7.5   7.						5.270463	27.7778		7.5				
213         5080006         10002         820133         7.5         0         33.0625         19         7.5         <							:				_	_	
214         5080006         10002         820133         7.5         0         0         7.5         7.												•	
215   5220003   10001   820103   9.590909   5.504622   30.30087   27   7.5   7.5   7.5   7.5   2.2		5080006				5.75	33.0625						
216         \$220003         10001         820113         2.5         0         0         2.5         2.7         7.5         7.	214	5080006	10002	820133	7.5	0	0	7.5	7.5	7.5	7.5	7.5	7
216         5220003         10001         820113         2.5         0         0         2.5         2.	215	5220003		820103	9.590909	5.504622	30.30087						22
218         5220003         10001         820131         35.36638         144.8224         20973.53         1530         1         7.5         7.5         22         116           219         5220003         10002         820101         14.33333         16.77424         281.375         58         7.5 <td>216</td> <td>5220003</td> <td>10001</td> <td>820113</td> <td>2.5</td> <td>0</td> <td>0</td> <td>2.5</td> <td>2.5</td> <td>2.5</td> <td>2.5</td> <td>2.5</td> <td>8</td>	216	5220003	10001	820113	2.5	0	0	2.5	2.5	2.5	2.5	2.5	8
219         5220003         10002         820101         14.33333         16.77424         281.375         58         7.5 <td>217</td> <td>5220003</td> <td>10001</td> <td>820121</td> <td>5.764706</td> <td>12.83808</td> <td>164.8162</td> <td>55</td> <td>1</td> <td>1</td> <td>2</td> <td>5</td> <td>17</td>	217	5220003	10001	820121	5.764706	12.83808	164.8162	55	1	1	2	5	17
219         5220003         10002         820101         14.333333         16.77424         281.375         58         7.5         1.2         23         6         11         2         3         6         11         2         3         6         11         2         3         6         11         2         3         6         11         2         3         6         11         2         3         6         11         2         3         6         11         2         3         2         1         2         2         4         7         7         7         7         7         7         7         7<	218	5220003	10001	820131	35.36638	144.8224	20973.53	1530	1	7.5	7.5	22	116
220         5220003         10002         820119         7.5         .         .         7.5         7.		5220003	10002	820101	14.33333	16.77424	281.375	58	7.5	7.5	7.5	7.5	9
221         5220003         10002         820119         10.31818         19.21493         369.2136         66         1         2         3         6         11           223         5220003         10002         820133         70.29167         79.72266         6355.703         218         7.5         13.25         33         121.7           224         5220004         10001         820103         14.975         20.90547         437.0388         100         7.5         7.5         7.5         13.25         20           225         5220004         10001         820121         10.80952         20.44901         418.1619         95         1         2         4         10         21           227         5220004         10001         820131         17.345         22.18491         492.1702         123         4         7.5         7.5         7.5         10         21           227         5220004         10002         820101         7.5         1.8         11.18272         40         7.5         7.5         7.5         7.5         7.5         7.5         7.5         7.5         7.5         7.5         7.5         7.5         7.5         7.5										7.5			
222         5220003         10002         820131         70.29167         79.72266         6355.703         218         7.5         13.25         33         121.5         12           224         5220004         10001         820103         14.975         20.90547         437.0388         100         7.5         7.5         7.5         13.25         20           225         5220004         10001         820113         2.75         0.790569         0.625         5         2.5						19.21493	369,2136						
223         5220003         10002         820133         13.5         11.1243         123.75         36         7.5         7.5         7.5         21         7           224         5220004         10001         820103         14.975         20.90547         437.0388         100         7.5         7.5         7.5         13.25         20           225         5220004         10001         820113         12.75         0.790569         0.625         5         2.5         2.5         2.5         2.5         10           226         5220004         10001         820111         11.80952         20.44901         418.1619         95         1         2         4         10         21           228         5220004         10002         820101         7.5         -         -         7.5         7.5         7.5         7.5         16         100           229         5220004         10002         820110         7.5         -         -         7.5         7.5         7.5         7.5         7.5         7.5         7.5         7.5         7.5         7.5         7.5         7.5         7.5         7.5         7.5         7.5         7.5 </td <td></td> <td>_</td> <td></td> <td></td>											_		
225         5220004         10001         820113         2.75         0.790569         0.625         5         2.5         10           229         5220004         10002         820113         7.5         7.5         7.5         7.5         7.5         7.5         7.5         7.5         7.5         7.5         7.5         7.5         7.5         7.5         7.5         7.5         7.5 <td></td>													
\$\begin{align*}{226}\$         \$\begin{align*}{220004}\$         \$\delta \text{2010}{20004}\$         \$\delta \text{2010}{20005}\$         \$\delta													
227         5220004         10001         820131         17,345         22,18491         492,1702         123         4         7,5         7,5         16         100           228         5220004         10002         820110         7,5         1.87472         40         7,5         7,5         7,5         7,5         20         10           229         5220004         10002         820119         8.1         10,32204         106,5444         37         2         4         5         6         10           231         5220004         10002         820133         39,255         44,43458         1974,432         133         7,5													
228         5220004         10002         820101         13.45         10.89712         118.7472         40         7.5         7.5         7.5         20         10           229         5220004         10002         820110         7.5         .         .         7.5 <td></td> <td></td> <td></td> <td></td> <td>10.80952</td> <td></td> <td></td> <td></td> <td></td> <td></td> <td>-</td> <td></td> <td></td>					10.80952						-		
229         5220004         10002         820110         7.5         1         7.5													
230         5220004         10002         820119         8.1         10.32204         106.5444         37         2         4         5         6         10           231         5220004         10002         820131         39.25         44.43458         1974.432         133         7.5         7.5         17.25         57         16         7           233         5220004         10002         820133         12.21429         9.281959         86.15476         32         7.5         7.						10.89/12	118.7472						
231         5220004         10002         820131         39.25         44.43458         1974.432         133         7.5         7.5         17.25         57         12           232         5220004         10002         820133         12.21429         9.281959         86.15476         32         7.5 <td></td> <td></td> <td></td> <td></td> <td></td> <td>:</td> <td></td> <td></td> <td></td> <td></td> <td></td> <td></td> <td></td>						:							
232         5220004         10002         820133         12.21429         9.281959         86.15476         32         7.5         7.5         7.5         16         7           233         5220005         10001         820103         10.29167         7.259052         52.69384         38         7.5         7.5         7.5         7.5         24           234         5220005         10001         820113         2.5         0         0         2.5         7.5         7.5         7.5         7.5         7.5         7.5         7.5         7.5         7.5 <td></td> <td></td> <td></td> <td>820119</td> <td></td> <td></td> <td></td> <td></td> <td></td> <td></td> <td>_</td> <td>_</td> <td></td>				820119							_	_	
233													
234         5220005         10001         820113         2.5         0         0         2.5         2.5         2.5         2.5         2.5         7           235         5220005         10001         820121         16.42105         37.76141         1425.924         170         1         3         7         10         19           236         5220005         10001         820111         14.33333         16.77424         281.375         58         7.5	232	5220004	10002	820133	12.21429	9.281959	86.15476	32	7.5	7.5	7.5	16	7
235         5220005         10001         820121         16.42105         37.76141         1425.924         170         1         3         7         10         19           236         5220005         10001         820131         64.12739         144.5829         20904.21         1090         1         7.5         16         45         157           237         5220005         10002         820101         7.5         .         .         7.5									7.5		7.5		24
236         5220005         10001         820131         64.12739         144.5829         20904.21         1090         1         7.5         16         45         157           237         5220005         10002         820110         7.5         .         7.5         7.							-						
237         5220005         10002         820101         14.33333         16.77424         281.375         58         7.5 <td></td>													
238         5220005         10002         820110         7.5         .         .         7.5         3.1         11         12         240         5220005         10002         820131         38.45833         36.48752         1331.339         121         7.5         7.5         7.5         7.5         7.5         60         12           241         5220005         10002         820133         10.85714         8.882165         78.89286         31         7.5	236	5220005	10001										157
238         5220005         10002         820110         7.5         .         7.5         3         11         11         12         240         5220005         10002         820131         38.45833         36.48752         1331.339         121         7.5         7.5         32.5         60         12           241         5220005         10002         820133         10.85714         8.882165         78.89286         31         7.5		5220005			14.33333	16.77424	281.375			7.5	7.5		
239       5220005       10002       820119       8.409091       12.31426       151.6409       44       2       2.5       3       11       11         240       5220005       10002       820131       38.45833       36.48752       1331.339       121       7.5       7.5       32.5       60       12         241       5220005       10002       820133       10.85714       8.882165       78.89286       31       7.5		5220005			7.5	•					7.5		
241       5220005       10002       820133       10.85714       8.882165       78.89286       31       7.5       <	239	5220005		820119	8.409091	12.31426	151.6409	44		2.5		11	11
242         5220012         10001         820103         11.55         6.463786         41.78053         23         7.5         7.5         7.5         18.5         20           243         5220012         10001         820113         2.55         0.158114         0.025         3         2.5         2.5         2.5         2.5         10           244         5220012         10001         820121         3.190476         2.976895         8.861905         10         1         1         2         3         21           245         5220012         10001         820131         20.58333         40.26097         1620.946         330         1         7.5         7.5         16         96           246         5220012         10002         820101         12.75         10.50463         110.3472         40         7.5         7.5         7.5         15         10           247         5220012         10002         820110         7.5         .         .         .         7.5         7.5         7.5         7.5         7.5         7.5         7.5         7.5         7.5         7.5         7.5         7.5         7.5         7.5         7.5	240	5220005	10002	820131	38.45833			121	7.5				12
243         5220012         10001         820113         2.55         0.158114         0.025         3         2.5         2.5         2.5         2.5         10           244         5220012         10001         820121         3.190476         2.976895         8.861905         10         1         1         2         3         21           245         5220012         10001         820131         20.58333         40.26097         1620.946         330         1         7.5         7.5         7.5         16         96           246         5220012         10002         820101         7.5         10.50463         110.3472         40         7.5         7.5         7.5         15         10           247         5220012         10002         820110         7.5         .         .         7.5	241	5220005	10002	820133	10.85714	8.882165	78.89286	31	7.5	7.5	7.5	7.5	7
243       5220012       10001       820113       2.55       0.158114       0.025       3       2.5       2.5       2.5       2.5       2.5       10         244       5220012       10001       820121       3.190476       2.976895       8.861905       10       1       1       2       3       21         245       5220012       10001       820131       20.58333       40.26097       1620.946       330       1       7.5       7.5       7.5       16       96         246       5220012       10002       820101       12.75       10.50463       110.3472       40       7.5	242	5220012	10001	820103	11.55	6.463786	41.78053	23	7.5	7.5	7.5	18.5	20
244       5220012       10001       820121       3.190476       2.976895       8.861905       10       1       1       2       3       21         245       5220012       10001       820131       20.58333       40.26097       1620.946       330       1       7.5       7.5       7.5       16       96         246       5220012       10002       820101       12.75       10.50463       110.3472       40       7.5<								3		2.5	2.5		
245       5220012       10001       820131       20.58333       40.26097       1620.946       330       1       7.5       7.5       16       96         246       5220012       10002       820101       12.75       10.50463       110.3472       40       7.5       7.5       7.5       15       10         247       5220012       10002       820110       7.5       .       .       7.5													
246       5220012       10002       820101       12.75       10.50463       110.3472       40       7.5													
247       5220012       10002       820110       7.5       .       7.5													
248       5220012       10002       820119       12.6       17.91461       320.9333       50       1       1       3       20       10         249       5220012       10002       820131       32.625       29.43492       866.4148       87       7.5       7.5       7.5       24       47.5       12         250       5220012       10002       820133       7.5       0       0       7.5									7.5				
249     5220012     10002     820131     32.625     29.43492     866.4148     87     7.5     8.0     8.0     8.0     9.0     9.0     7.5     7.5     7.5     7.5     7.5     7.5     7.5     7.5     7.5     7.						17,91461	320.9333						
250     5220012     10002     820133     7.5     0     0     7.5     8     8.0     8.0     9.99     9.0     7.5     7.5     7.5     7.5     7.5     7.5     7.5     7.5     7.5     7.5     7.5     7.5     7.5     7.5     7.5     7.5     7.5     7.5     7.													
252     6290002     10001     820113     2.8125     0.883883     0.78125     5     2.5     2.5     2.5     2.5     2.5     8       253     6290002     10001     820121     41.5     143.1122     20481.11     645     1     1.5     3     11     20       254     6290002     10001     820131     20.76596     80.99591     6560.337     790     7.5     7.5     7.5     7.5     13     94					7.5				7.5				7
252     6290002     10001     820113     2.8125     0.883883     0.78125     5     2.5     2.5     2.5     2.5     2.5     2.5     8       253     6290002     10001     820121     41.5     143.1122     20481.11     645     1     1.5     3     11     20       254     6290002     10001     820131     20.76596     80.99591     6560.337     790     7.5     7.5     7.5     7.5     13     94	251	6290002	10001	820103	21 47368	41 6001	1730 560	100	75	7 5	75	16.5	10
253 6290002 10001 820121 41.5 143.1122 20481.11 645 1 1.5 3 11 20 254 6290002 10001 820131 20.76596 80.99591 6560.337 790 7.5 7.5 7.5 13 94													
254 6290002 10001 820131 20.76596 80.99591 6560.337 790 7.5 7.5 7.5 13 94													
					20 74504								
7   12 C.1 C.1 C.1 V. C.1 V.1 OIOIF.01 CCCCO.C1 101030 200700 CC3													
		02,70002	10002	020101			107.13						<del></del>

PBNOBS	PBQ3	PBMED	PBQ1	PBMIN	PBMAX	PBVAR	PBSTD	PBMEAN	METHODE	PROJET	STATION	OBS
1	31	31	31	31	31			31	820110	10002	6290002	256
12	3.5	1.5	1	1	78	494.1117	22.22862	9.708333	820119	10002	6290002	257
4	21.25	7.5	7.5	7.5	35	189.0625	13.75	14.375	820131	10002	6290002	258
7	25	7.5	7.5	7.5	51	277.8214	16.66798	16.21429	820133	10002	6290002	259
22	7.5	7.5	7.5	7.5	20	9.253247	3.041915	8.409091	820103	10001	7100001	260
9	7	5	2.5	2.5	26	53.6875	7.327175	7.166667	820113	10001	7100001	261
21	19	9.	4	1	108	708.1476	26.61104	19.61905	820121	10001	7100001	262
84	22	7.5	7.5	1	101	352.2491	18.7683	18.6369	820131	10001	7100001	263
7	20	7.5	7.5	7.5	35	113.9881	10.67652	13.21429	820101	10002	7100001	264
1	7.5	7.5	7.5	7.5	7.5	•		7.5	820110	10002	7100001	265
12	7	3.25	1	1	15	21.67424	4.65556	5.083333	820119	10002	7100001	266
8	7.5	7.5	7.5	7.5	18	13.78125	3.712311	8.8125	820133	10002	7100001	267
23 9	7.5	7.5	7.5	7.5	20	14.96146	3.868005	8.934783	820103	10001	7110001	268
9	10	6	2.5	2.5	12	16.65278	4.080782	6.44444	820113	10001	7110001	269
21	27	9	3	1	64	283.2476	16.82996	16.61905	820121	10001	7110001	270
82	26	7.5	7.5	7.5	125	501.0259	22.38361	20.23171	820131	10001	7110001	271
9	18	7.5	7.5	7.5	190	3610.062	60.0838	30.33333	820101	10002	7110001	272
1	22	22	22	22	22	-	•	22	820110	10002	7110001	273
12	2.75	1	1	1	12	14.40152	3.794933	3.083333	820119	10002	7110001	274
8	28.5	7.5	7.5	7.5	111	1286.924	35.87372	25.6875	820133	10002	7110001	275
22	7.5	7.5	7.5	7.5	20	13.56545	3.683131	9.145455	820103	10001	7230003	276
8	2.5	2.5	2.5	2.5	2.5	0	0	2.5	820113	10001	7230003	277
19	5	1	1	1	200	2053.608	45.31675	14.05263	820121	10001	7230003	278
65	37	17	7.5	1	586	9370.971	96.80377	48.42308	820131	10001	7230003	279
9	20	7.5	7.5	7.5	30	67.5625	8.219641	13.66667	820101	10002	7230003	280
-1	7.5	7.5	7.5	7.5	7.5	•	•	7.5	820110	10002	7230003	281
12	11	5.5	1.5	1	19	42.20265	6.496357	6.958333	820119	10002	7230003	282
8	11.75	7.5	7.5	7.5	16	15.48214	3.934735	9.625	820133	10002	7230003	283

OBS	STATION	PROJET	METHODE	ZNMEAN	ZNSTD	ZNVAR	ZNMAX	ZNMIN	ZNQ1	ZNMED	ZNQ3	ZNNOBS
1	1150003	10001	300103	8.868421	9.385038	88.07895	38	2	2	6	10	19
2 3 4	1150003	10001	300113	16	13.49897	182.2222	50	5	5	12.5	20	10
3	1150003	10001	300121	49.75	83.37416	6951.25	320	5	5	10	45	20
4	1150003	10001	300137	45.28409	138.8259	19272.62	1100	5	5	, 5	_15	88
5	1150003	10002	300101	4.688889	2.587201	6.693611	10	2	2.5	4.6	5.1	9
6 7	1150003	10002	300110	5	6.749486	45.55556	5 25	5 5	5 5	5 5	5 5	1
(	1150003	10002	300119	8 E EEEEE/			10	5	5	5	5	10 9
8 9	1150003 1150003	10002 10002	300135 300137	5.555556 5	1.666667 0	2.777778 0	5	5	5	5	5	4
7	1130003	10002	300137	,	U	U	,	٠	,		,	
10	2340006	10001	300103	12.08261	18.78703	352.9524	91.5	2	2.5	8	11	23
11	2340006	10001	300113	10.90909	6.640099	44.09091	20	5	5	10	20	. 11
12	2340006	10001	300121	20.45455	34.70656	1204.545	170	5	5	10	20	22
13	2340006	10001	300137	28.24786	75.67887	5727.291	_640	5	5	5	10	117
14	2340006	10002	300101	8.6 <u>7</u>	10.71915	114.9001	35.2	2	2	2.5	. 14	10
15	2340006	10002	300110	<b>5</b>	7 (72)4(	47 40//	5	. 5	5	5	5	1
16	2340006	10002	300119	7.222222	3.632416	13.19444	15	5	5	5	10	9
17	2340006	10002	300135	5.625	1.767767	3.125	10	5 5	5 5	. 5 5	5	8
18	2340006	10002	300137	5	0	0	5	)	,	)	)	12
19	2400004	10001	300103	12.89	12.15972	147.8588	49.6	2	4	8.7	17	20
20	2400004	10001	300113	17.91667	13.89217	192.9924	50	5	10	12.5	20	12
21	2400004	10001	300121	53.63636	85.4565	7302.814	280	5	5	10	40	22
22	2400004	10001	300135	5	453 5040	23256.83	5	5	5	5	5	1
23	2400004	10001	300137	33.32	152.5019		1610	5	5 2.5	5 5.75	10	125
24	2400004 2400004	10002	300101	7.8	5.977736	35.73333	19 5	2 5	2.5 5	5.75 5	14 5	10
25 26	2400004	10002 10002	300110 300119	5 12	5.374838	28.88889	20	5	10	10	15	1 10
26 27	2400004	10002	300135	9.375	8.634441	74.55357	30	5	5	5	10	8
28	2400004	10002	300137	5.416667	1.443376	2.083333	10	5	5	5	5	12
20	2400004	10002	300137	3.410007	1.445570	2.005555			,	,		
29	3010008	10001	300103	13.21304	12.37025	153.023	53.5	2	4	11	16	23
30	3010008	10001	300113	11.81818	7.166843	51.36364	20	5	5	10	20	11
31	3010008	10001	300121	393.6957	1231.618	1516882	5100	5	10	30	40	23
32	3010008	10001	300137	30.50847	71.12764	5059.141	590	5	_ 5	_ 5	20	118
33	3010008	10002	300101	11.8	12.87806	165.8444	44.5	2	2.5	7.75	16	10
34	3010008	10002	300110	5	7 0740/0		5	5	5 5	5	5	1
35	3010008	10002	300119	13.33333	7.071068	50 83.92857	20 30	5 5	5	15 7.5	20 15	· 9 8
36	3010008	10002	300135	11.25	9.161254 7.229988	52.27273	30 30	5	5	7.5 5	5	12
37	3010008	10002	300137	7.5	1.229900	52.21213	30	,	,	,	,	12
38	3020031	10001	300103	29.92381	48.84436	2385.772	200	2	8	12.5	22	21
39	3020031	10001	300113	18.18182	21.47938	461.3636	80	5	10	10	15	11
40	3020031	10001	300121	53.47826	110.386	12185.08	510	5	10	20	40	23
41	3020031	10001	300137	78.91	283.718	80495.9	2660	5	_ 5	20	40	100
42	3020031	10002	300101	17.06	19.41627	376.9916	46.5	2	2.5	8.55	43	10
43	3020031	10002	300110	5			_5	. 5	. 5	5	_5	1
44	3020031	10002	300119	25	13.69306	187.5	50	10	15	20	30	9
45	3020031	10002	300135	12.5	6.546537	42.85714	20	5	7.5	10	20	8
46	3020031	10002	300137	כ	U	0	5	,	5	)	5	12
47	3020037	10001	300103	9.486364	7.706355	59.3879	27	2 5	4	8.45	11	22
48	3020037	10001	300113	10	5.91608	35	20	5	5	10	15	11
49	3020037	10001	300121	18.23529	18.2809	334.1912	60	5	10	10	20	17
50	3020037	10001	300137	37.98718	110.1993	12143.88	740	5	5	5	10	78
51	3020037	10002	300101	13.19	10.14587	102.9388	37	2	6.4	11	18.5	10
52	3020037	10002	300110	5		,, ,,,,	5	5	5	5	5	1
53	3020037	10002	300119	12.22222	6.666667	44.4444	20	5	5	10	20	9
54	3020037	10002	300135	5.714286 5.416667	1.889822	3.571429	10 10	5 5	5 5	5 5	5 5	7 12
55	3020037	10002	300137	J.4 (000/	1.443376	2.083333			_			12
56	3030023	10001	300103	16.57	13.87895	192.6254	57	2 5	6.5	12	21	20
57	3030023	10001	300113	26.81818	22.39115	501.3636	80	5	10	20	40	11
58	3030023	10001	300121	37.10526	41.24169	1700.877	150	5	10	20	40	19
59	3030023	10001	300137	29.66071	69.42045	4819.199	450	5	5	5	20	112
60	3030023	10002	300101	63.92857	135.3164	18310.54	370	2	2.5	16	29	7
61	3030023	10002	300110	5	0.74074	7/ 70	5	5	5	5	- 5	1
62	3030023	10002	300119	18.75	8.762746	76.78571	30	5	12.5	20	25	8
63	3030023	10002	300135	8.125	5.303301	28.125	20	5	5	5	10	8
64	3030023	10002	300137	5.833333	1.946247	3.787879	10	5	5	5	5	12

OBS	STATION	PROJET	METHODE	ZNMEAN	ZNSTD	ZNVAR	ZNMAX	ZNMIN	ZNQ1	ZNMED	ZNQ3	ZNNOBS
65	3030031	10001	300103	47.99	153.8003	23654.52	700	2	7.2	10.75	19.6	20
66	3030031	10001	300113	14.09091	6.252272	39.09091	20	5	10	15	20	11
67	3030031	10001	300121	307.2727	1066.555	1137540	5000	5	10	10	20	22
68	3030031	10001	300137	21.66667	47.59558	2265.339	310	5	5	5	20	114
69	3030031	10002	300101	14.42857	11.51242	132.5357	32	2 5	2.5	14	26.5	7
70 71	3030031 3030031	10002 10002	300110 300119	5 10	5	25	5 20	5	5 5	5 10	5 10	1 9
72	3030031	10002	300135	10	6.546537	42.85714	20	5	5	7.5	15	8
73	3030031	10002	300137	5	0	0	5	5	5	5	5	12
74	3040009	10001	300103	15.74783	22.385	501.0881	112	2	4	11	18	23
75	3040009	10001	300113	15	16.49916	272.2222	60	5	5	10	15	10
76	3040009	10001	300121	33.05556	54.45286	2965.114	240	5	10	20	30	18
77	3040009	10001	300137	30.96491	83.66303	6999.503	630	5	5	10	20	114
78	3040009	10002	300101	24.88889	24.75982	613.0486	70	2.5	5	16	45	9
79	3040009	10002	300110	5 45 55554	0.1///2	84.02778	5 30	5 5	5 10	5	5 20	1
80 81	3040009 3040009	10002 10002	300119 300135	15.55556	9.166667 5.345225	28.57143	20	5	5	10 5	7.5	9 8
82	3040009	10002	300137	7.5 8.75	10.02837	100.5682	40	5	5	5	7.5	12
83	3040012	10001	300103	10.79545	11.04715	122.0395	52	2	2.5	8	16	22
84	3040012	10001	300103	11.875	7.989949	63.83929	30	5	7.5	10	12.5	8
85	3040012	10001	300121	12.72727	11.09776	123.1602	40	Ś	, . <u>.</u> 5	10	20	22
86	3040012	10001	300137	21.30435	50.40227	2540.389	410	5	5	5	10	115
87	3040012	10002	300101	8.25	7.98001	63.68056	27	2	2.5	5.75	11	10
88	3040012	10002	300110	5	•	•	5	5	5	5	5	1
89	3040012	10002	300119	7.777778	3.632416	13.19444	15	5	5	5	10	9
90	3040012	10002	300135	8.75	6.943651	48.21429	20	5	5	5	12.5	8
91	3040012	10002	300137	5.416667	1.443376	2.083333	10	5	5	5	5	12
92	3040015	10001	300103	12.00909	9.415461	88.65091	31.5	2.5	5	9	14.6	11
93	3040015	10001	300113	13.33333	15.42332	237.8788	60	5	5	10	12.5	12
94	3040015	10001	300121	38.69565	98.56029	9714.13	470	5	5	10	20	23
95	3040015	10001	300137	50.42735	283.2406	80225.25	3020	5	5	5	20	117
96	3040015	10002	300101	17.75	23.77703	565.3472	80	2	2.5	11	21	10
97 98	3040015 3040015	10002 10002	300110 300119	5 10.55556	4.639804	21.52778	5 20	5 5	5 10	5 10	5 10	1 9
99	3040015	10002	300119	10.5558	9.636241	92.85714	30	5	5	5	12.5	8
100	3040015	10002	300137	5.416667	1.443376	2.083333	10	5	5	5	5	12
101	3090001	10001	300103	9.3	8.437417	71,19	35	2	2.5	7	10.5	21
102	3090001	10001	300113	15	11.98958	143.75	40	5	10	10	15	9
103	3090001	10001	300121	55.71429	108.9184	11863.21	490	5	10	20	30	21
104	3090001	10001	300137	24.26087	62.207	3869.711	440	5	5	5	20	92
105	3090001	10002	300101	18.39	15.24682	232.4654	46	2.5	9	11	32	10
106	3090001	10002	300110	5		•	5	5	5	5	5	1
107	3090001	10002	300119	12.77778	6.180165	38.19444	20	5	10	10	20	9
108	3090001	10002	300135	10.625	9.425459	88.83929	30	5	5	5	15	8
109	3090001	10002	300137	5	0	0	5	5	5	5	5	4
110	3090005	10001	300103	7.96087	8.983102	80.69613	40	2	2	5.5	9.5	23
111	3090005	10001	300113	14.09091	13.19435	174.0909	50	5	5	10	20	11
112	3090005	10001	300121	42.04545	138.4494	19168.24	660	5	5	10	20	22
113	3090005	10001 10002	300137	31.51685	119.9228	14381.48 164.6556	1090 43.5	5 2	5 2.5	. 5 . 7 5	5 17	89 10
114 115	3090005 3090005	10002	300101 300110	11.6 5	12.83182	104.0330	43.5	5	2.5	7.5 5	5	10 1
116	3090005	10002	300110	9.44444	5.270463	27.77778	20	5	5	10	10	9
117	3090005	10002	300135	7.5	5.345225	28.57143	20	5	5	5	7.5	8
118	3090005	10002	300137	21.25	32.5	1056.25	70	5	5	5	37.5	4
119	4010002	10001	300103	11.89545	8.889506	79.02331	41	2	5	12.25	16	22
120	4010002	10001	300113	13.8	9.658617	93.28889	30	5	5	10	20	10
121	4010002	10001	300121	55	127.9746	16377.5	600	5	10	20	30	21
122	4010002	10001	300137	28.57143	65.23945	4256.186	520	5	5	5	20	98
123	4010002	10002	300101	10.11	6.207782	38.53656	20.5	2	5	10.5	13.5	10
124	4010002	10002	300110	5			_5	5	5	5	5	1
125	4010002	10002	300119	10.55556	8.079466	65.27778	30	5	5	10	_10	9
126	4010002	10002	300135	8.75	8.762746	76.78571	30	5	5	5	7.5	8
127	4010002	10002	300137	5	0	0	5 	5 	5	5	<u>5</u>	12

OBS	STATION	PROJET	METHODE	ZNMEAN	ZNSTD	ZNVAR	ZNMAX	ZNMIN	ZNQ1	ZNMED	ZNQ3	ZNNOBS
128	4080003	10001	300103	12	8.554648	73.182	34.5	2	7	8	12	21
129	4080003	10001	300108	. 5	0	0	. 5	5	. 5	.5	5	4
130	4080003	10001	300113	16	9.899495	98	40	5	10	15	20	11
131	4080003	10001	300121	73.33333	177.4495	31488.33	610	5	10	10	20	21
132	4080003	10001	300137	14.7619	26.99738	728.8583	210	5	5	5	10	84
133	4080003	10002	300101	8.8	10.99687	120.9311	38.5	2	2.5	4.85	9.5	10
134	4080003	10002	300110	5		40 :	5	5	5	5	5	1
135	4080003	10002	300119	6.666667	3.535534	12.5	15	5	5	5	5	9
136	4080003	10002	300135	2	Ü	0	5 5	5	5 5	5	5 · 5	8
137	4080003	10002	300137	5	0	0	כ	5	,	5	2	4
470	/ 09000E	10001	700107	13.16364	24.68438	609.3186	122	2	2.5	9.4	11.4	22
138 139	4080005 4080005	10001 10001	300103 300113	10.45455	7.229988	52.27273	30	2 5	5.5	10	10	11
140	4080005	10001	300113	30	56.86907	3234.091	230	5	5	10	30	23
141	4080005	10001	300121	18.33333	44.98749	2023.874	310	ś	5	5	20	75
142	4080005	10001	300101	6.94	3.858094	14.88489	12.5	ź	2.5	7.5	10	10
143	4080005	10002	300110	30	3.030074	14100407	30	30	30	30	30	1
144	4080005	10002	300119	7.777778	5.068969	25.69444	20	5	5	5	10	ġ
145	4080005	10002	300135	5	0	0	5	5	5	5	5	8
146	4080005	10002	300137	5	Ŏ	Ŏ	5	5	5	5	5	4
				_		-	-	_	_	_	_	•
147	4310002	10001	300103	10.55714	9.364111	87.68657	35.5	2	2	11	13	21
148	4310002	10001	300108	5	0	0	5	5	5	5	5	3
149	4310002	10001	300113	9.090909	4.908249	24.09091	20	5	5	10	10	11
150	4310002	10001	300121	13.125	9.419279	88.72283	40	5	5	10	20	24
151	4310002	10001	300137	38.09375	194 <b>.7</b> 311	37920.21	1900	5	5	5	20	96
152	4310002	10002	300101	6.28	5.536304	30.65067	18.5	2	2	3.75	9.5	10
153	4310002	10002	300110	5			5	5	5	5	5	1
154	4310002	10002	300119	7.222222	3.632416	13.19444	15	5	5	5	10	9
155	4310002	10002	300135	9.375	6.781013	45.98214	20	5	5	5	15	8
156	4310002	10002	300137	5	0	0	- 5	5	5	, 5	5	4
457	/710000	10001	700407	11.02273	14.72497	216.8247	71.5	2	2.5	7.15	13	22
157 158	4310008 4310008	10001 10001	300103 300108	11.02273	14.72497	210.0247	71.5	5	5	7.15	5	4
159	4310008	10001	300108	15.41667	11.57158	133.9015	50	10	10	10	17.5	12
160	4310008	10001	300121	59.09091	141.1065	19911.04	620	5	10	20	30	22
161	4310008	10001	300121	15.42553	22.97333	527.774	140	5	5	5	20	94
162	4310008	10007	300101	9.788889	10.27636	105.6036	34	ž	2.5	6.8	10	9
163	4310008	10002	300110	5	10.27030	.03.0030	5	5	5	5	5	í
164	4310008	10002	300119	7	2.581989	6.666667	10	5	5	5	10	10
165	4310008	10002	300135	5	0	0	5	5	5	5	5	8
166	4310008	10002	300137	5	0	0	5	5	5	5	5	4
167	4310010	10001	300103	15.77059	7.553622	57.05721	29	2.5	11	15.5	19	17
168	4310010	10001	300108	5	0	0	5	5	5	5	5	3
169	4310010	10001	300113	13.18182	10.31327	106.3636	40	5	. 5	10	20	11
170	4310010	10001	300121	23.15789	19.87534	395.0292	80	5	10	20	30	19
171	4310010	10001	300137	27.29293	51.03005	2604.066	290	5	5	10	20	99
172	4310010	10002	300101	11.77778	11.44299	130.9419	33	2	2.5	9.2	14.5	9
173	4310010	10002	300110	2 2	. 250720	70 4///7	5	5	5	2	• •	1
174	4310010	10002	300119	8.5	6.258328	39.16667 510.2679	20	5	5	5	10	10
175	4310010	10002	300135	15.625	22.58911		70 5	5 5	5 5	5 5	15	. 8 4
176	4310010	10002	300137	5	0	0	2	,	,	9	5	4
177	4310011	10001	300103	23.01538	46.45759	2158.308	172	2	4	6	9	13
178	4310011	10001	300103	5	0	0	5	5	5	5	5	3
179	4310011	10001	300103	10	5	25	20	5	5	10	10	9
180	4310011	10001	300121	18.91304	24.02444	577.1739	100	5	5	10	20	23
181	4310011	10001	300127	30.57471	80.34238	6454.898	490	5	5	5	10	87
182	4310011	10002	300101	5.84	3.557527	12.656	13.5	2	2.5	5	8	10
183	4310011	10002	300110	5	•	•	5	5	5	5	5	1
184	4310011	10002	300119	8.666667	4.974937	24.75	18	5	5	5	10	9
185	4310011	10002	300135	8.125	8.838835	78.125	30	5	5	5	5	8
186	4310011	10002	300137	5	0	0	5	5	5	5	5	4
							_					
187	5010007	10001	300103	10.09545	11.67054	136.2014	59.2	2	_ 2	9	11.5	22
188	5010007	10001	300113	11.66667	7.177406	51.51515	30	5	7.5	10	12.5	12
189	5010007	10001	300121	73.15789	230.6826	53214.47	1020	5	5	10	20	19
190	5010007	10001	300137	28.40909	67.22986	4519.854	450	5	5	5	20	88
191	5010007	10002	300101	14.77	20.80454	432.829	72	2	2.5	8.5	13.5	10

OBS	STATION	PROJET	METHODE	ZNMEAN	ZNSTD	ZNVAR	ZNMAX	ZNMIN	ZNQ1	ZNMED	ZNQ3	ZNNOBS
192	5010007	10002	300110	5		•	5	5	5	. 5	5	1
193	5010007	10002	300119	11.66667	11.18034	125	40	5	5	10	10	9
194	5010007	10002	300135	5.625	1.767767	3.125	10	5 5	. 5	5	5	8
195	5010007	10002	300137	5	0	0	5	,	5	5	5	4
196	5010013	10001	300103	61.63333	164.677	27118.5	655	2	11	13.5	34	15
197	5010013	10001	300113	28.33333	36.17089	1308.333	70	- 5	5	10	70	3
198	5010013	10001	300121	73.33333	76.88047	5910.606	220	5	15	25	135	12
199	5010013	10001	300137	40.61856	143.7414	20661.59	1170	5	5	5	20	97
200	5010013	10002	300101	16.75	18.04046	325.4583	6 <u>1</u>	2	2.5	13	22	10
201	5010013	10002	300110	5	:	:	. 5	5	5	5	. 5	1
202	5010013	10002	300119	7.222222	3.632416	13.19444	15	5	5	5	10	9
203	5010013	10002	300135	5	0	0	5 5	5 5	5 5	5 5	5 5	8 4
204	5010013	10002	300137	,	U	U	,	,	,	,	,	4
205	5080006	10001	300103	9.880952	6.935245	48.09762	23	2	5	7.5	15	21
206	5080006	10001	300113	11.11111	7,406829	54.86111	25	5	5	10	15	9
207	5080006	10001	300121	24.13043	42.41709	1799.209	210	5	- 5	10	30	23
208	5080006	10001	300137	21.08247	65.35252	4270.951	620	5	5	5	10	97
209	5080006	10002	300101	14.39	18.57953	345.1988	64	2.5	4	8.45	14	10
210	5080006	10002	300110	5	E 50017	74 25	5	5	5	5	5	1
211 212	5080006 5080006	10002 10002	300119 300135	8.333333 6.25	5.59017 2.31455	31.25 5.357143	20 10	5 5	5 5	5 5	10 7.5	9 8
213	5080006	10002	300137	8.75	7.5	56.25	20	5	5	5	12.5	4
213	3000000	10002	300137	0.75		30.23	20	,		•	12.7	7
214	5220003	10001	300103	21.58095	15.51173	240.6136	58.5	2	9.5	17	30.5	21
215	5220003	10001	300113	25.72727	22.88707	523.8182	88	5	10	20	30	11
216	5220003	10001	300121	64.47368	99.7343	9946.93	440	5	20	30	60	19
217	5220003	10001	300137	37.88793	81.71039	6676.587	570	5	_ 5	10	30	116
218	5220003	10002	300101	10.03	6.415961	41.16456	17.5	2	2.5	12.9	14	10
219	5220003	10002	300110	5 45 55557	12 7/077	452 7770	5	5 5	5	5	5	1
220 221	5220003 5220003	10002 10002	300119 300135	15.55556 22.5	12.36033 32.62339	152.7778 1064.286	40 100	5	5 5	10 7.5	20 25	9 8
222	5220003	10002	300137	8.75	8.012774	64.20455	30	5	5	7.5	7.5	12
		,,,,,,,,,,,,,,,,,,,,,,,,,,,,,,,,,,,,,,,	333.3.	01.5				_	-	-		
223	5220004	10001	300103	71.21053	228.2426	52094.68	1000	2	6	.11.5	- 18	19
224	5220004	10001	300113	15.83333	14.89865	221.9697	40	5	5	: 10	27.5	12
225	5220004	10001	300121	26.52174	35.68915	1273.715	170	5	10	10	30	23
226	5220004	10001	300137	45.6	111.0357	12328.93	760	5	2 5	10	30	100
227 228	5220004 5220004	10002 10002	300101 300110	48.19 5	99.84692	9969.408	328 5	2 5	2.5 5	13.25 5	42 5	10 1
229	5220004	10002	300110	12.22222	8.333333	69.44444	30	5	5	10	15	9
230	5220004	10002	300135	27.5	49.92852	2492.857	150	5	5	7.5	20	8
231	5220004	10002	300137	7.083333	4.501683	20.26515	20	5	5	5	7.5	12
232	5220005	10001	300103	35.1087	80.41267	6466.198	394	2	8	16	27.5	23
233	5220005	10001	300113	12	4.830459	23.33333	20	5	10	10	15	10
234	5220005	10001	300121 300137	43.80952	68.50009	4692.262	300	5 5	10	30	30	21
235 236	5220005 5220005	10001 10002	300137	62.7673 22.95	184.5287 43.24057	34050.84 1869.747	1890 145	2	5 2.5	20 11	40 16.5	159
237	5220005	10002	300101	22.95 5	-3.64031	1007.141	145	5	2.5	5	10.5	10 1
238	5220005	10002	300119	10.55556	6.346478	40.27778	20	5	5	10	15	9
239	5220005	10002	300135	18.75	36.91206	1362.5	110	5	5	. 5	7.5	8
240	5220005	10002	300137	5.416667	1.443376	2.083333	10	5	5	5	5	12
244	F000010	40	705157	4, 7	0.7000//	04 64744		_				
241	5220012	10001	300103	14.31053	9.322964	86.91766	33	2	6.5	12	24	19
242 243	5220012 5220012	10001 10001	300113 300121	10.90909 96.30435	5.393599 212.9619	29.09091 45352 77	20 800	5 5	5 10	10 20	15 40	11
243 244	5220012	10001	300121	113.4896	595.9707	45352.77 355181.1	5640	5	10 5	20 10	40 30	23 96
245	5220012	10001	300101	15.67	10.46561	109.529	35	2.5	4.5	15.75	20.5	10
246	5220012	10002	300110	5			5	- 5	- 5	5	5	1
247	5220012	10002	300113	15	•	•	15	15	15	15	15	1
248	5220012	10002	300119	10	5	25	20	5	5	10	10	9
249	5220012	10002	300135	12.5	9.636241	92.85714	30	5	5	7.5	20	. 8
250	5220012	10002	300137	8.333333	5.773503	33.33333	20	5	5	5	10	12
251	6290002	10001	300103	7.342105	4,554645	20.7448	19	2	2.5	6.3	10	19
252	6290002	10001	300103	8.090909	3.884702	15.09091	15	5	2.5 5	5.5 5	10	11
253	6290002	10001	300121	21.13636	16.75679	280.79	50	ś	10	10	40	22
254	6290002	10001	300137	40.90426	133.9153	17933.31	830	5	`Š	Š	20	94

OBS	STATION	PROJET	METHODE	ZNMEAN	ZNSTD	ZNVAR	ZNMAX	ZNMIN	ZNQ1	ZNMED	ZNQ3	ZNNOBS
255	6290002	10002	300101	5.944444	4.164166	17.34028	14	2	2.5	6.5	7	9
256	6290002	10002	300110	5			5	5	5	5	5	1
257	6290002	10002	300119	7.272727	5.178627	26.81818	20	5	5	5	5	11
258	6290002	10002	300135	5.625	1.767767	3.125	10	5	5	5	5	8
259	6290002	10002	300137	5	0	0	5	5	5	5	5	4
260	7100001	10001	300103	9.433333	5.369202	28.82833	19.5	2	4	11	14	21
261	7100001	10001	300113	8.333333	4.92366	24.24242	20	5	5	5	10	12
262	7100001	10001	300121	15.21739	14.49751	210.1779	60	5	5	10	20	23
263	7100001	10001	300137	33.45238	85.15039	7250.588	550	5	5	5	10	84
264	7100001	10002	300101	6.9	5.217279	27.22	16	2	2.5	6.5	- 11	7
265	7100001	10002	300110	5		•	5	5	5	5	5	1
266	7100001	10002	300119	7.272727	3.437758	11.81818	15	5	5	5	10	11
267	7100001	10002	300135	5	0	0	5	5	5	5	5	9
268	7110001	10001	300103	13.01818	10.07763	101.5587	38.4	2	4	10	18	22
269	7110001	10001	300113	13.33333	11.34847	128.7879	45	5	5	10	17.5	12
270	7110001	10001	300121	24.13043	47.85518	2290.119	230	5	5	10	20	23
271	7110001	10001	300137	49.08537	149.8829	22464.89	930	5	5	5	20	82
272	7110001	10002	300101	8.388889	4.916412	24.17111	16.5	2.5	2.5	9.7	10.8	9
273	7110001	10002	300110	5		•	5	5	5	5	5	1
274	7110001	10002	300119	7.727273	5.178627	26.81818	20	5	5	5	10	11
275	7110001	10002	300135	5	0	0	5	5	5	5	5	9
276	7230003	10001	300103	37.37727	91.21648	8320.446	434	2	4	10.5	38	22
277	7230003	10001	300113	30.5	50.08049	2508.056	170	5	10	12.5	20	10
278	7230003	10001	300121	44	51.16022	2617.368	170	5	5	20	65	20
279	7230003	10001	300137	31,15385	55.15439	3042.007	260	5	5	10	20	65
280	7230003	10002	300101	7.766667	5.657075	32.0025	19.5	2	4	7	7.9	9
281	7230003	10002	300110	5		•	5	5	5	5	5	1
282	7230003	10002	300119	7.272727	4.670994	21.81818	20	5	5	5	10	11
283	7230003	10002	300135	7.222222	5.068969	25.69444	20	5	5	5	5	9

#### ANNEXE B

Graphiques de l'évolution temporelle des concentrations de métaux selon les méthodes

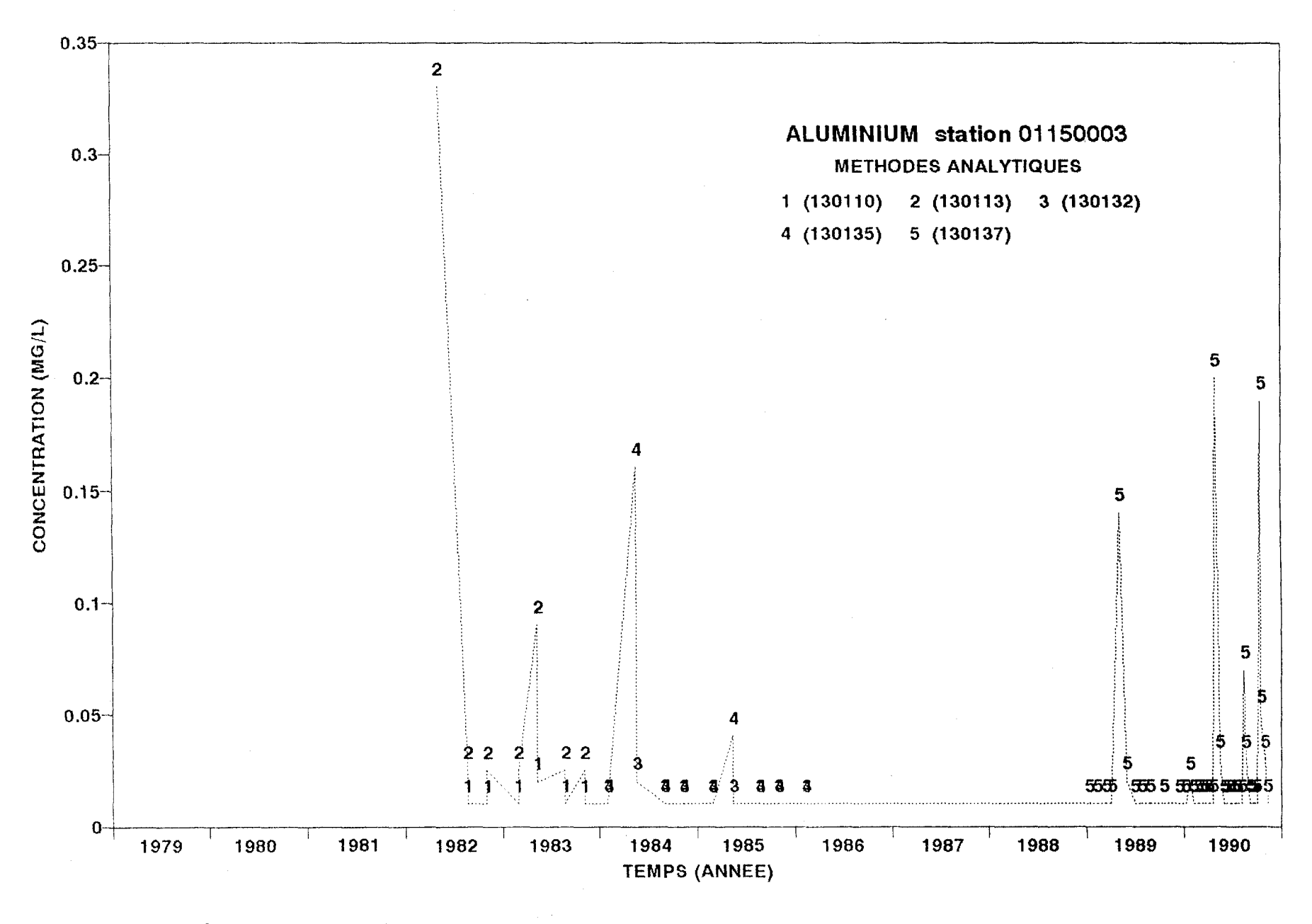


Figure B.1. Évolution dans le temps des concentrations d'aluminium à la station 01150003 selon les méthodes de mesure et de prélèvement.

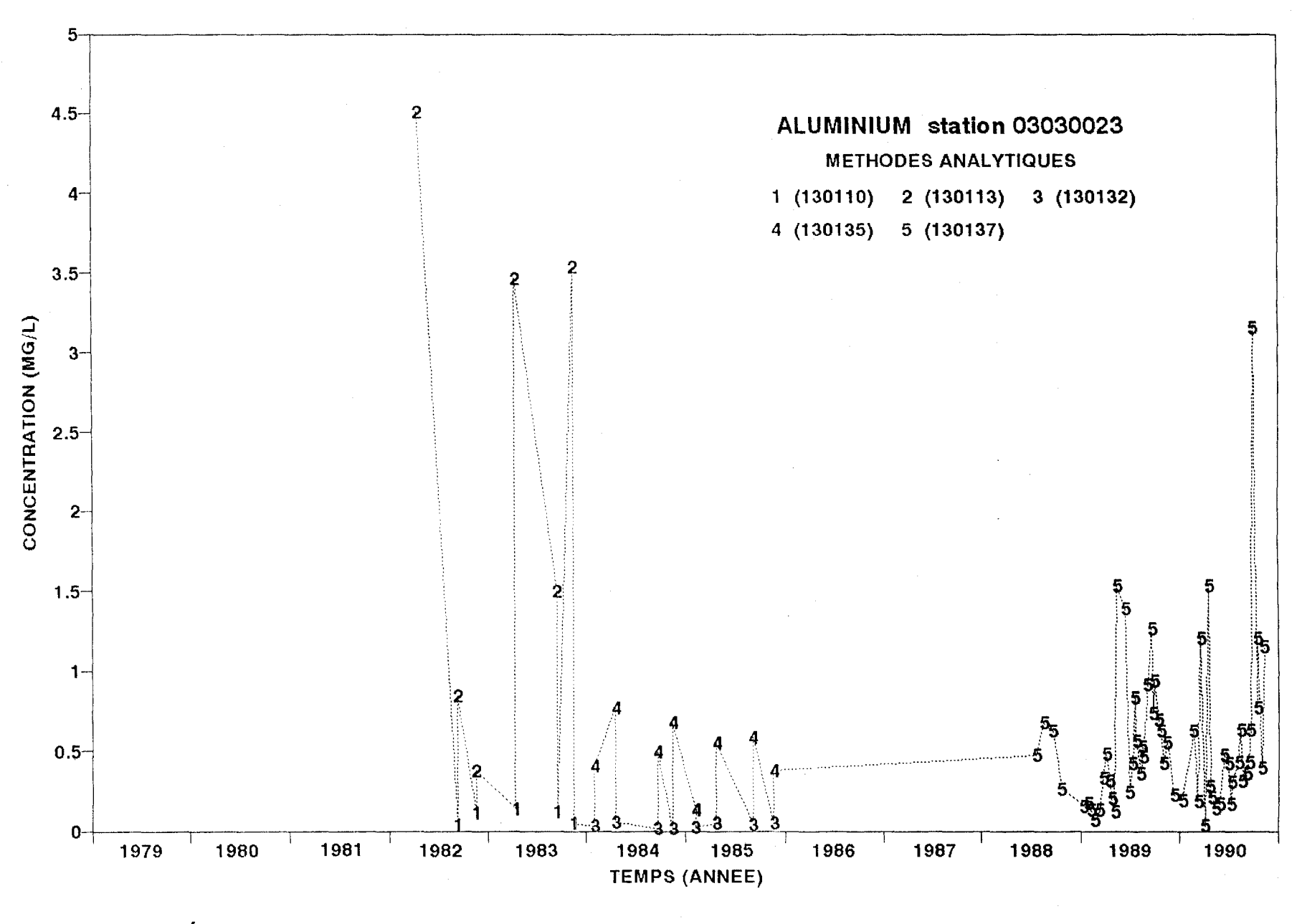


Figure B.2. Évolution dans le temps des concentrations d'aluminium à la station 03030023 selon les méthodes de mesure et de prélèvement.

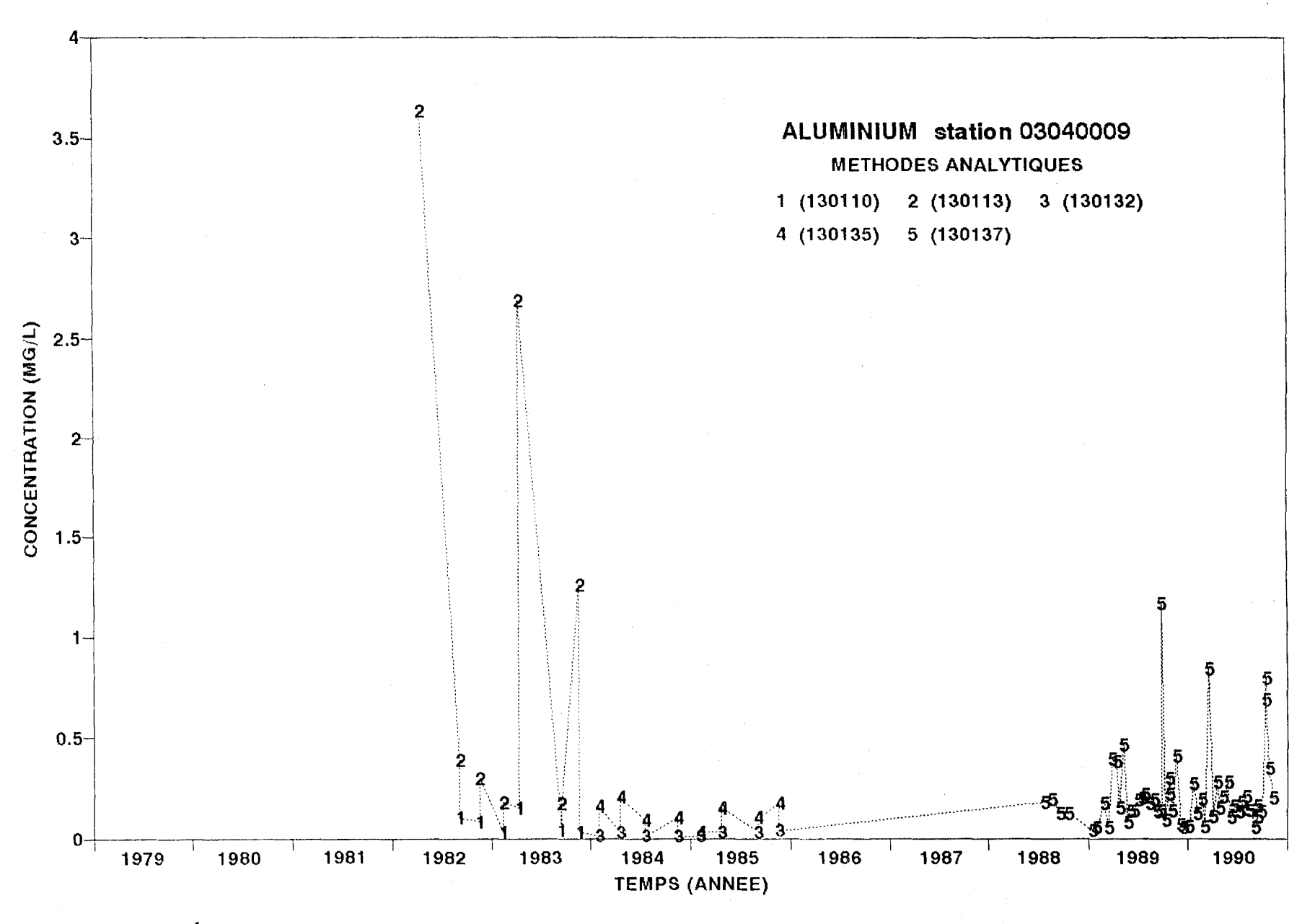


Figure B.3. Évolution dans le temps des concentrations d'aluminium à la station 03040009 selon les méthodes de mesure et de prélèvement.

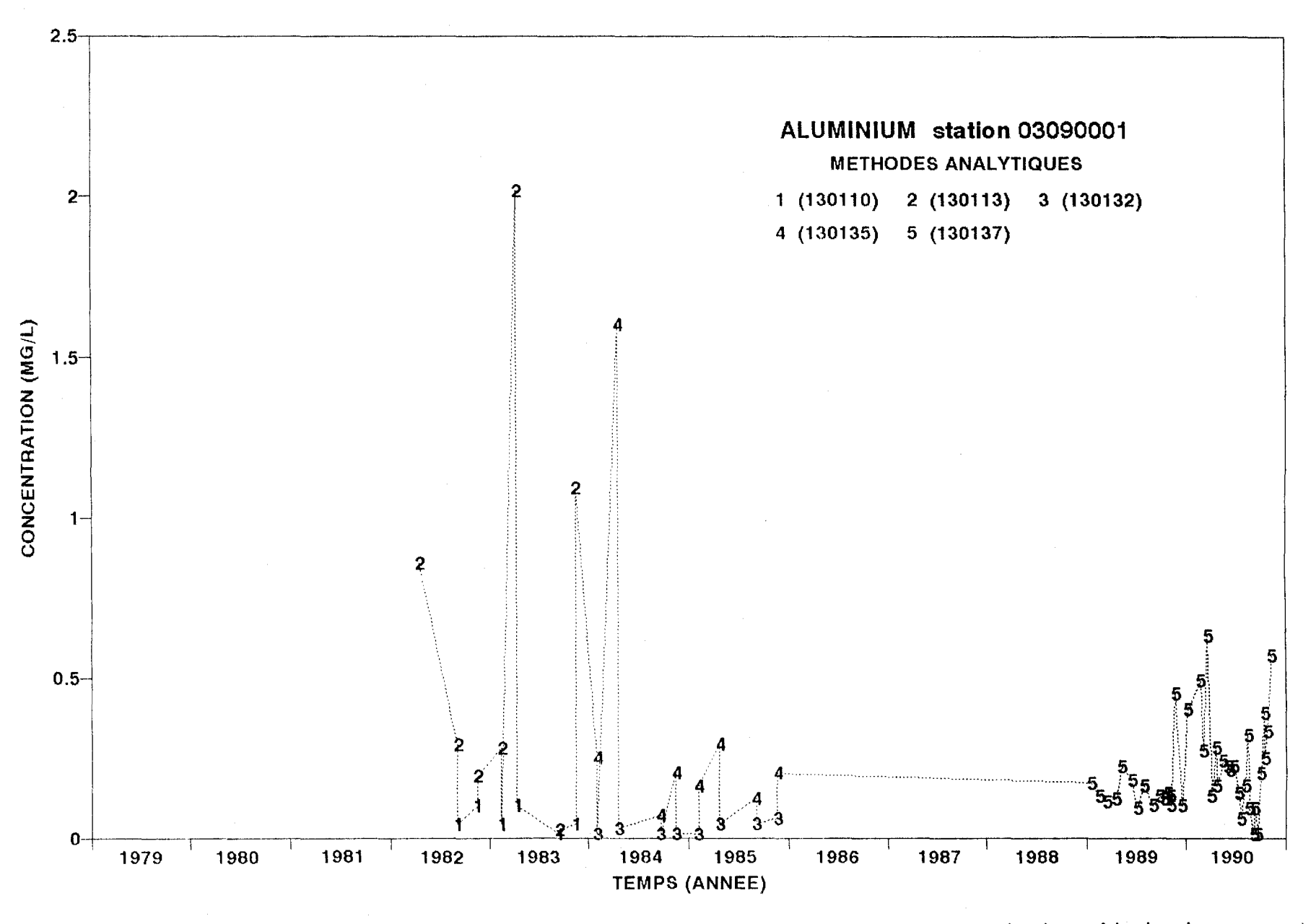


Figure B.4. Évolution dans le temps des concentrations d'aluminium à la station 03090001 selon les méthodes de mesure et de prélèvement.

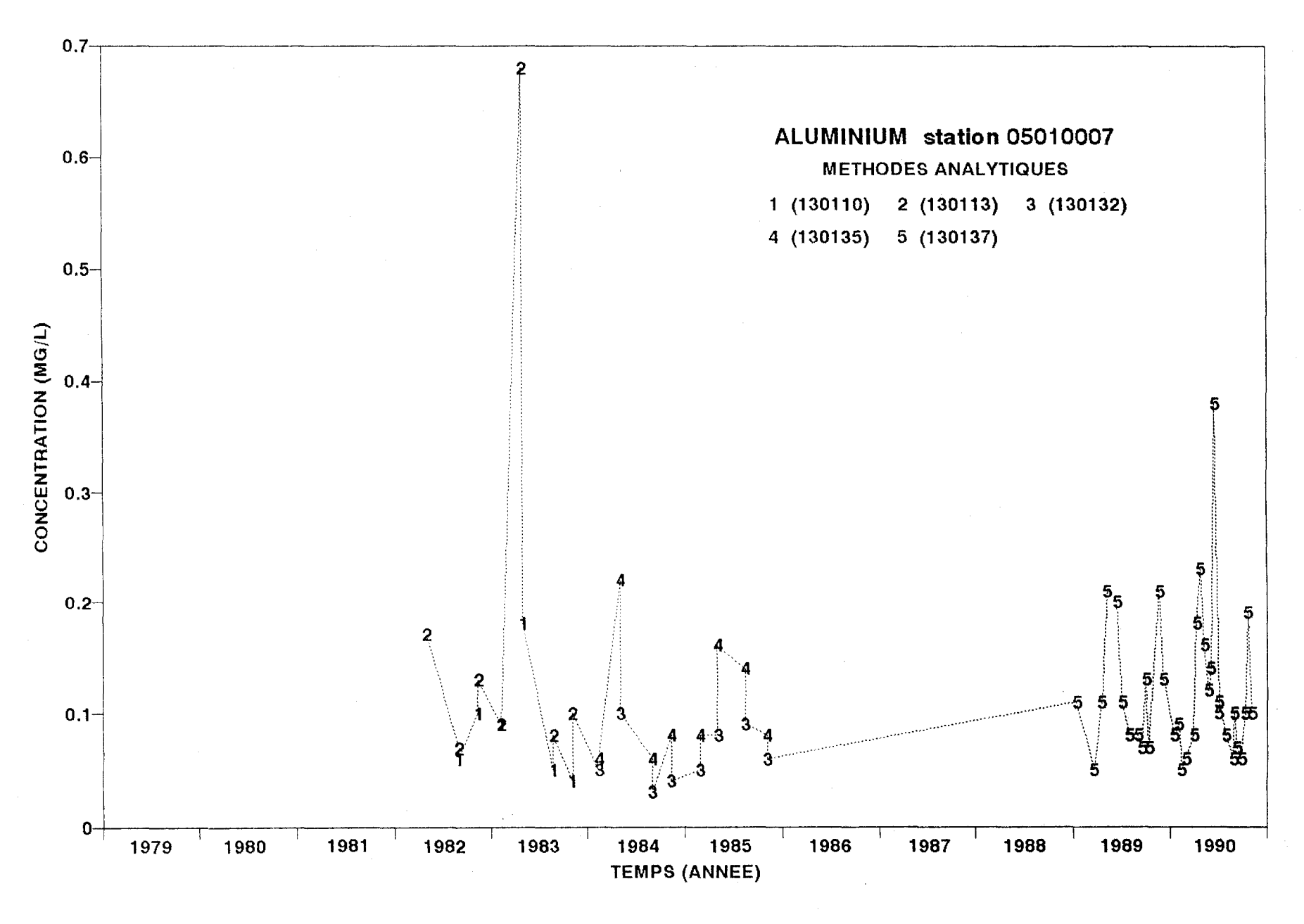


Figure B.5. Évolution dans le temps des concentrations d'aluminium à la station 05010007 selon les méthodes de mesure et de prélèvement.

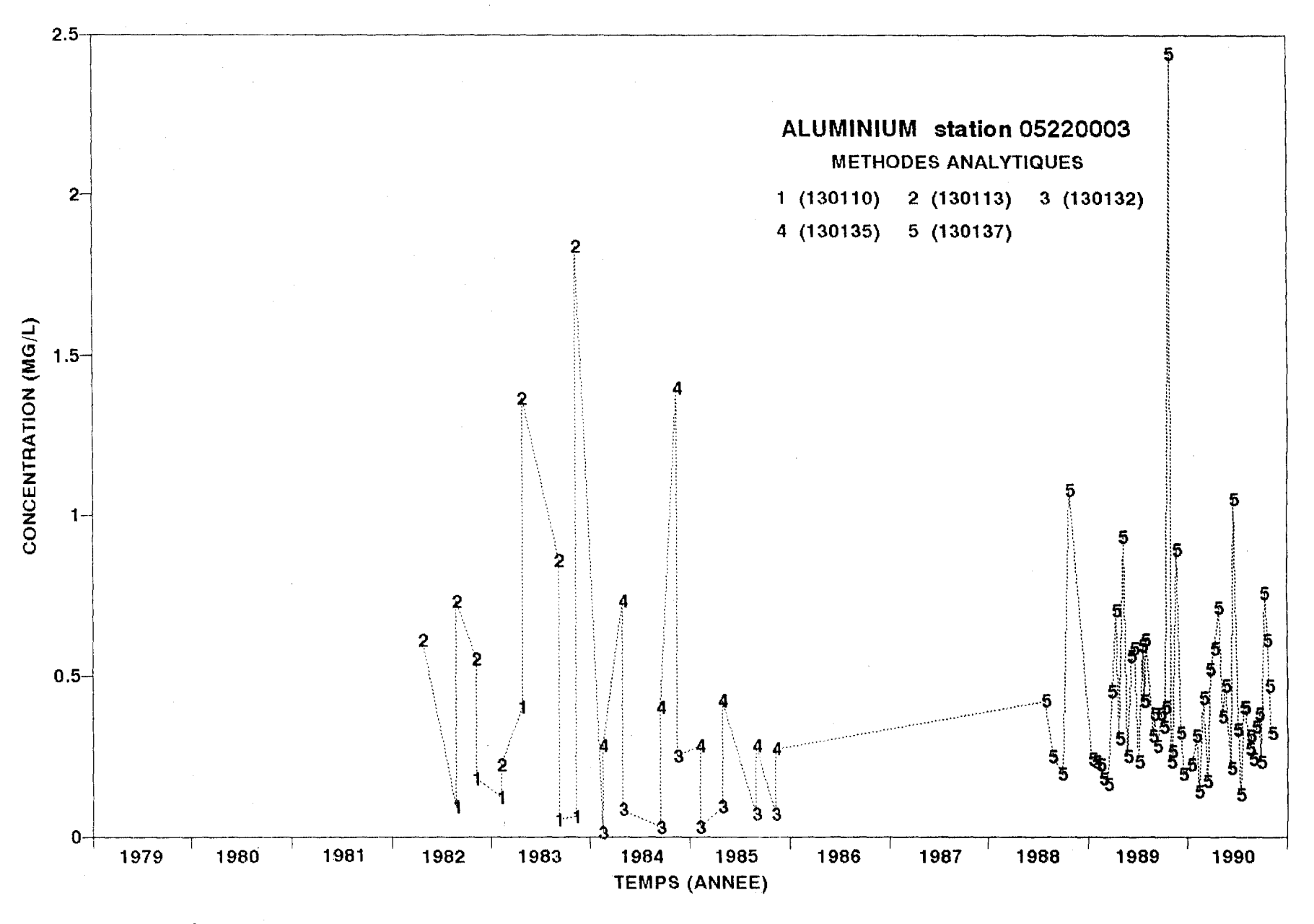


Figure B.6. Évolution dans le temps des concentrations d'aluminium à la station 05220003 selon les méthodes de mesure et de prélèvement.

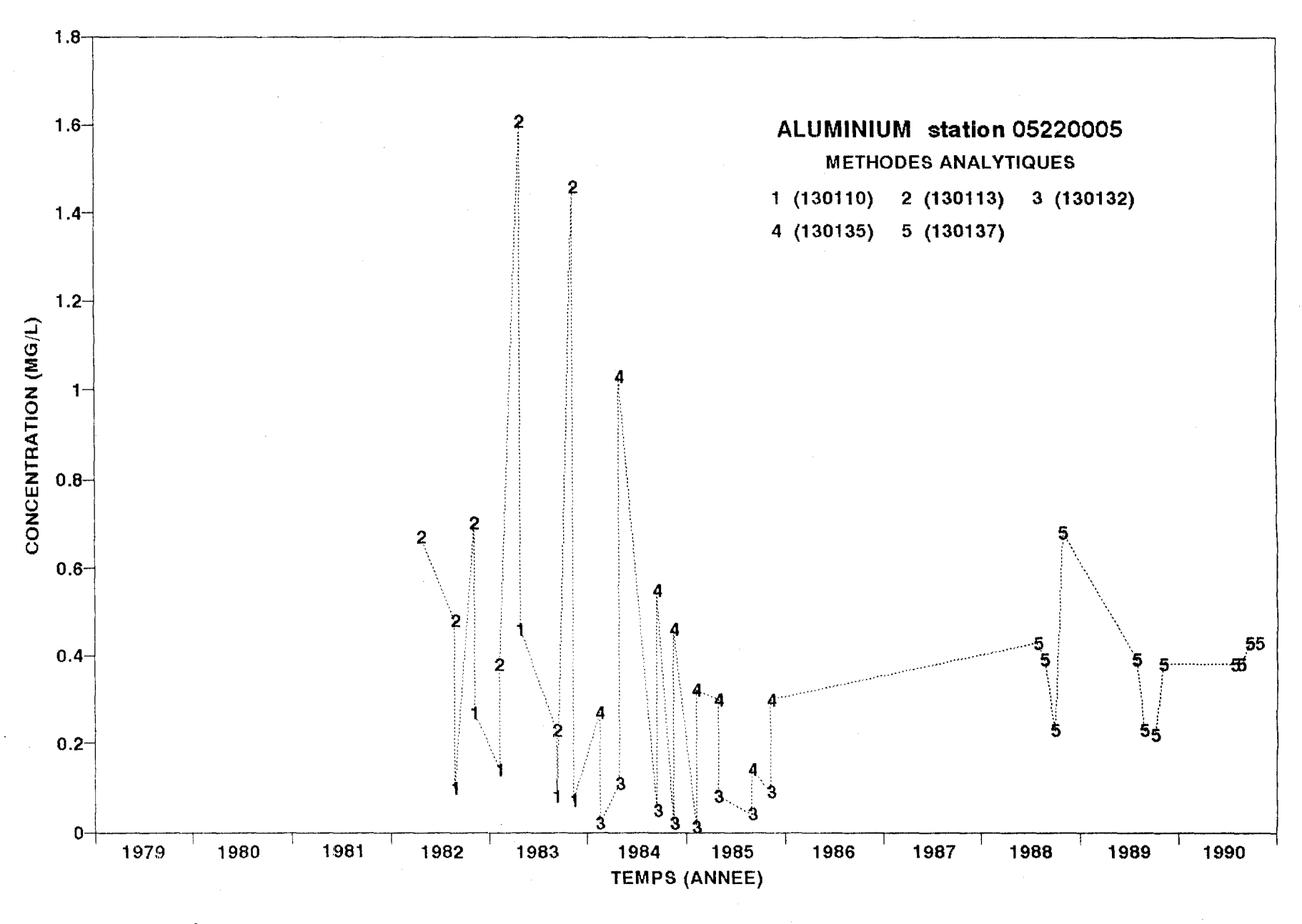


Figure B.7. Évolution dans le temps des concentrations d'aluminium à la station 05220005 selon les méthodes de mesure et de prélèvement.

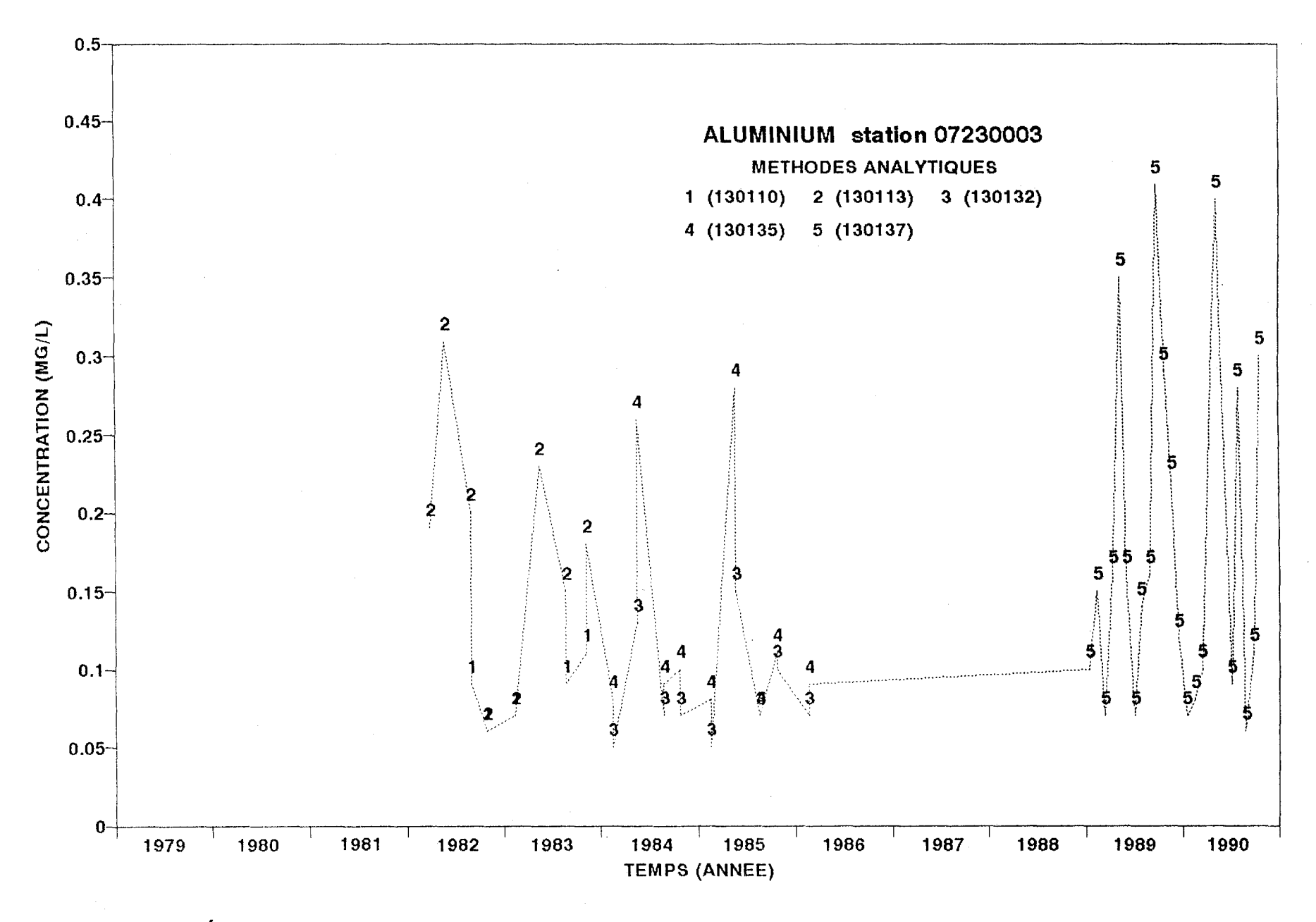


Figure B.8. Évolution dans le temps des concentrations d'aluminium à la station 07230003 selon les méthodes de mesure et de prélèvement.

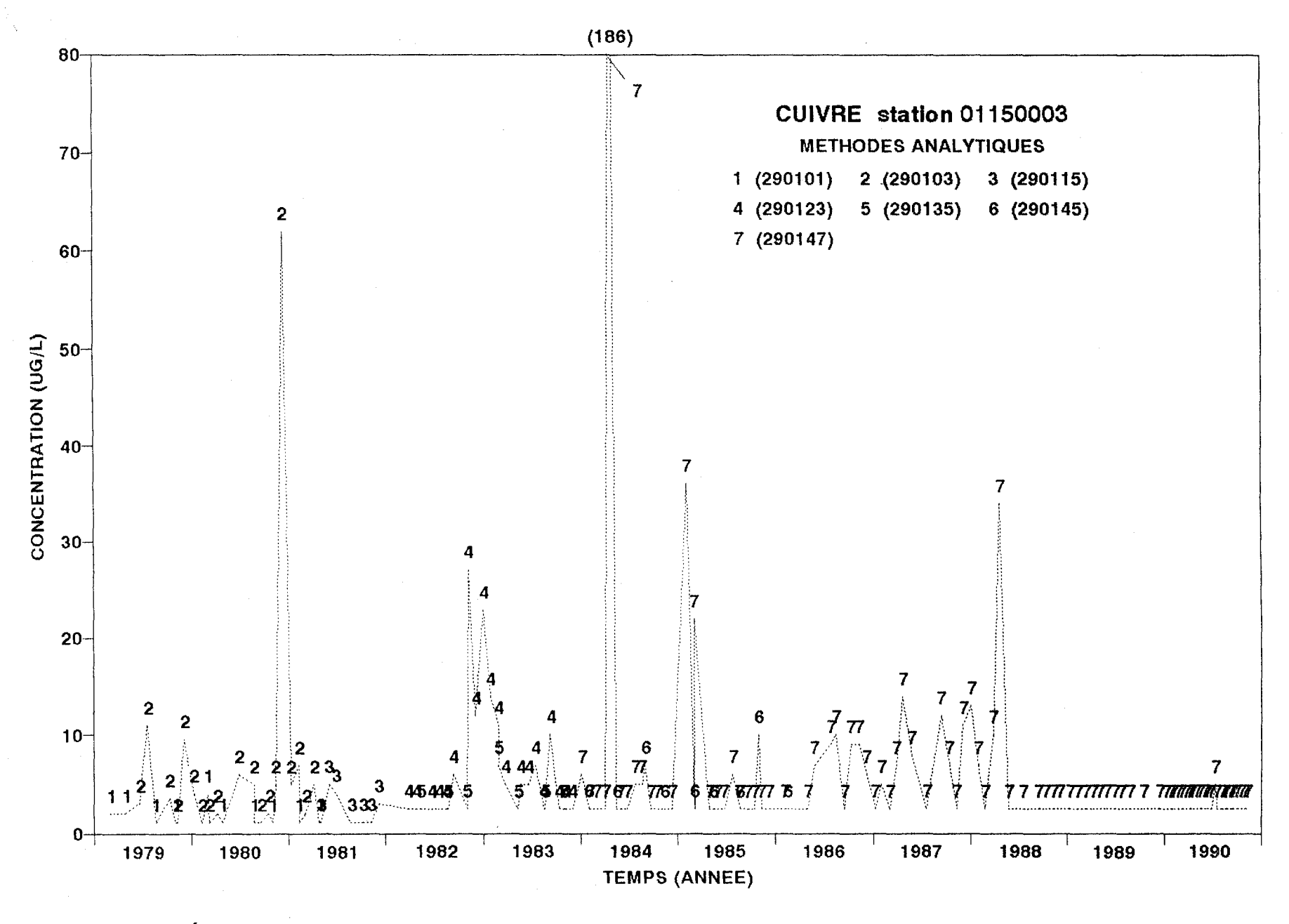


Figure B.9. Évolution dans le temps des concentrations de cuivre à la station 01150003 selon les méthodes de mesure et de prélèvement.

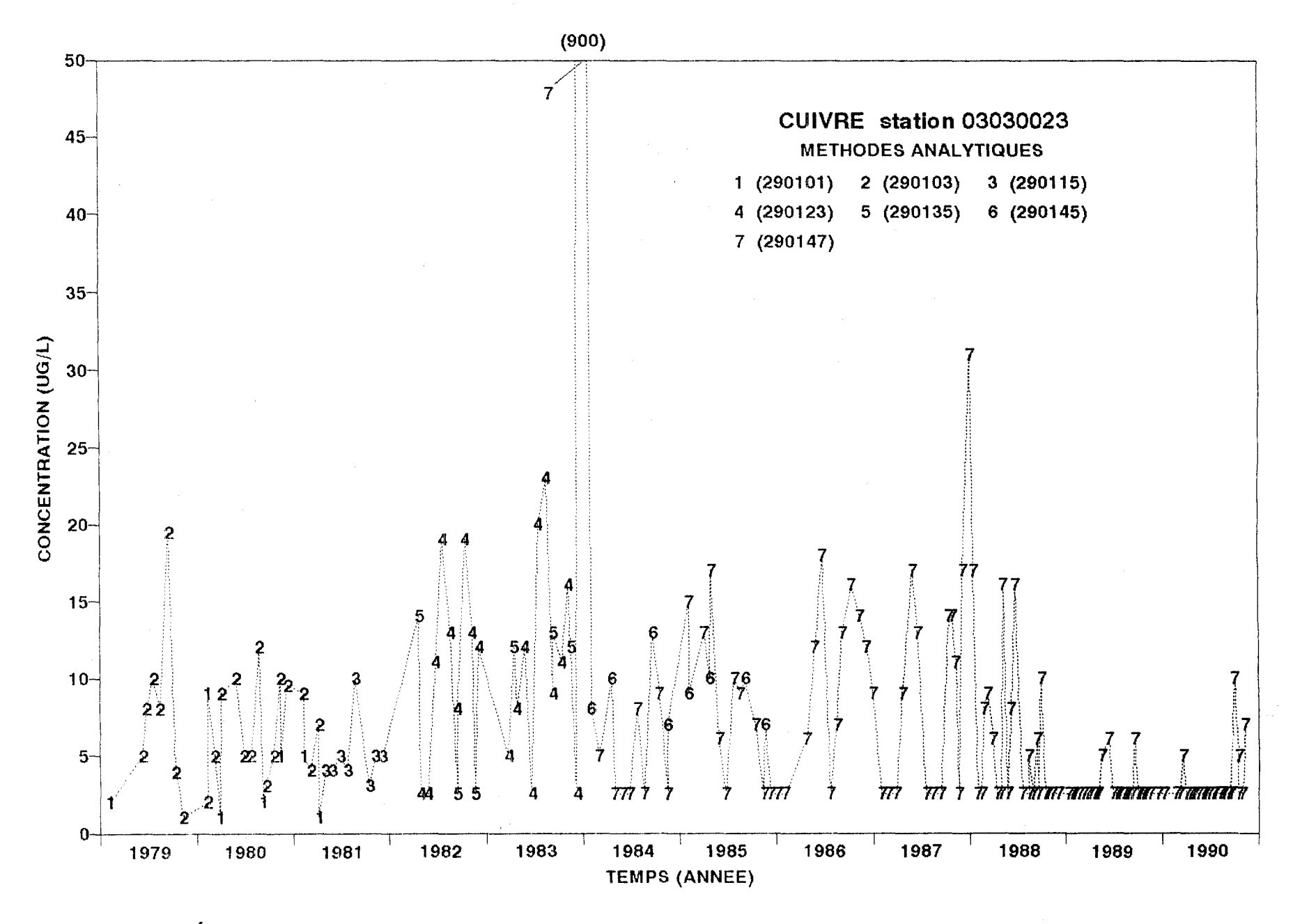


Figure B.10. Évolution dans le temps des concentrations de cuivre à la station 03030023 selon les méthodes de mesure et de prélèvement.

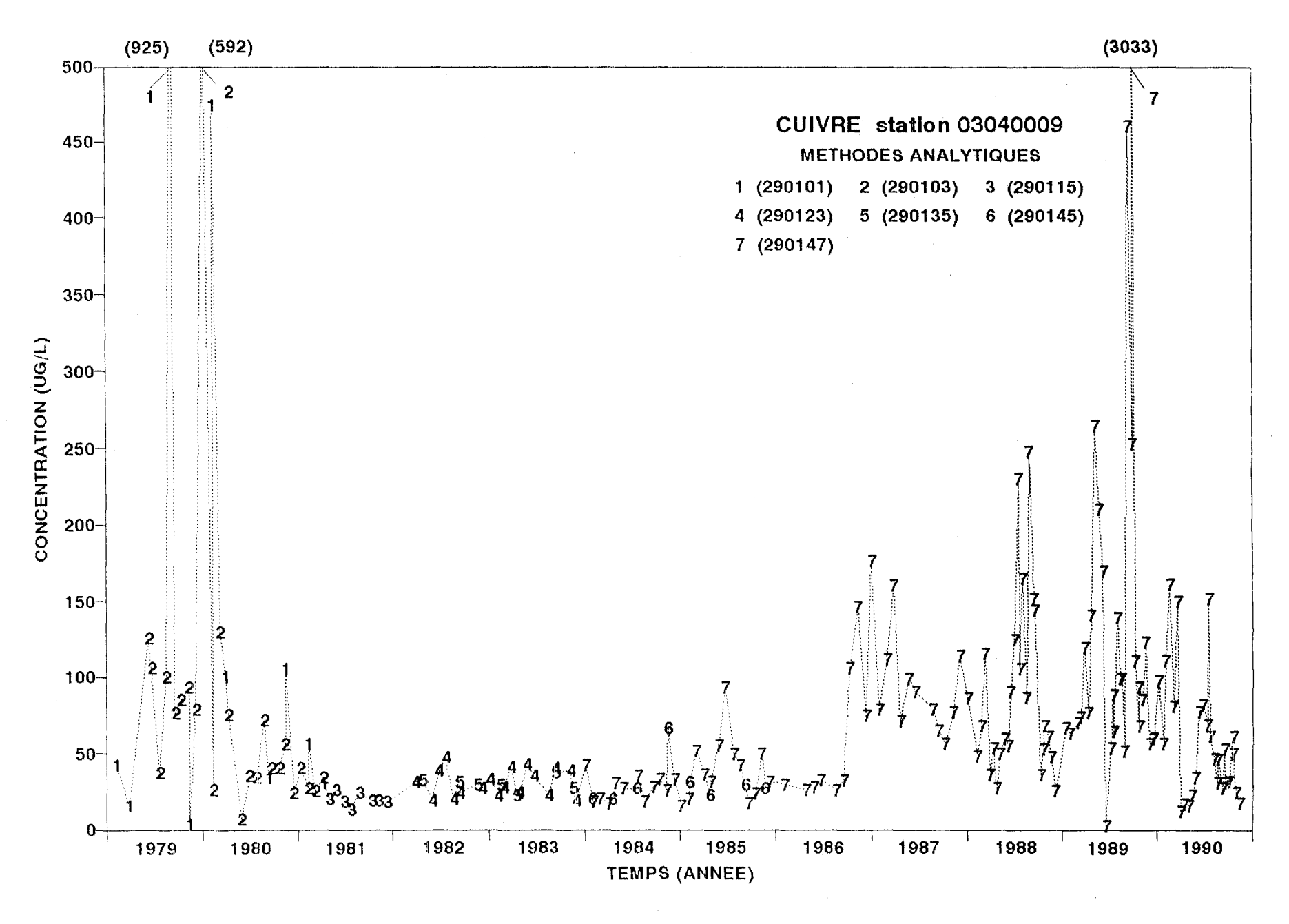


Figure B.11. Évolution dans le temps des concentrations de cuivre à la station 03040009 selon les méthodes de mesure et de prélèvement.

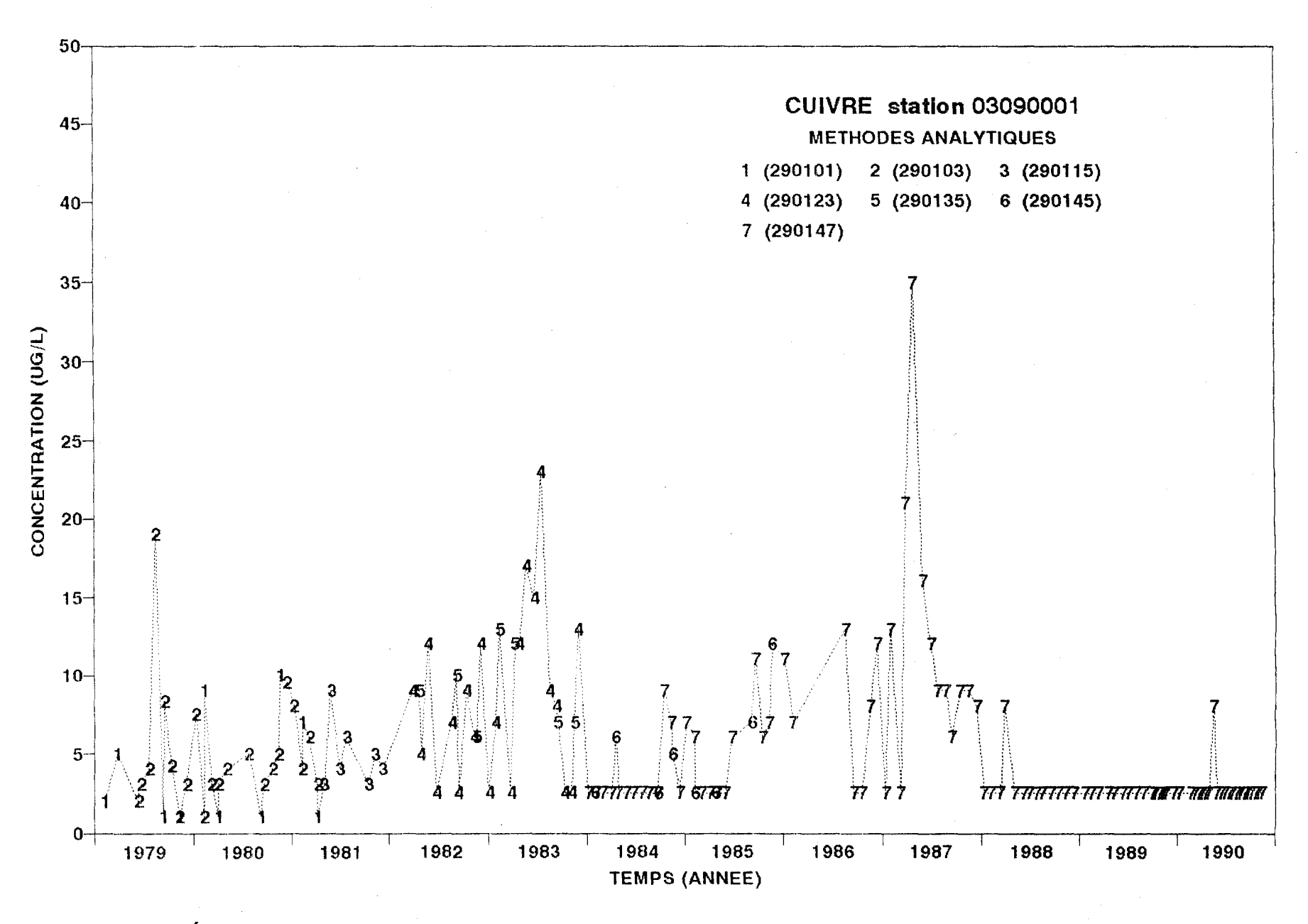


Figure B.12. Évolution dans le temps des concentrations de cuivre à la station 03090001 selon les méthodes de mesure et de prélèvement.

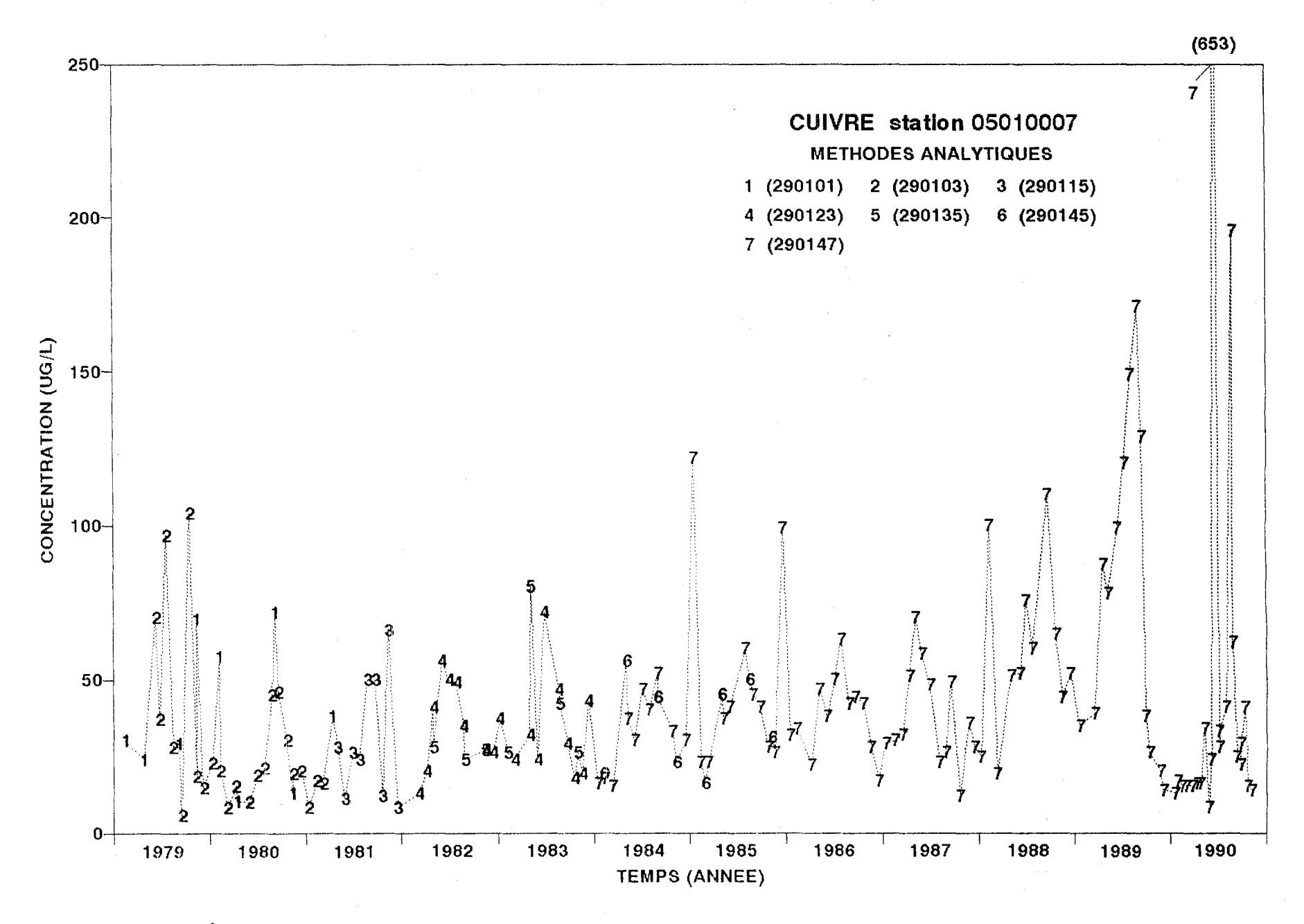


Figure B.13. Évolution dans le temps des concentrations de cuivre à la station 05010007 selon les méthodes de mesure et de prélèvement.

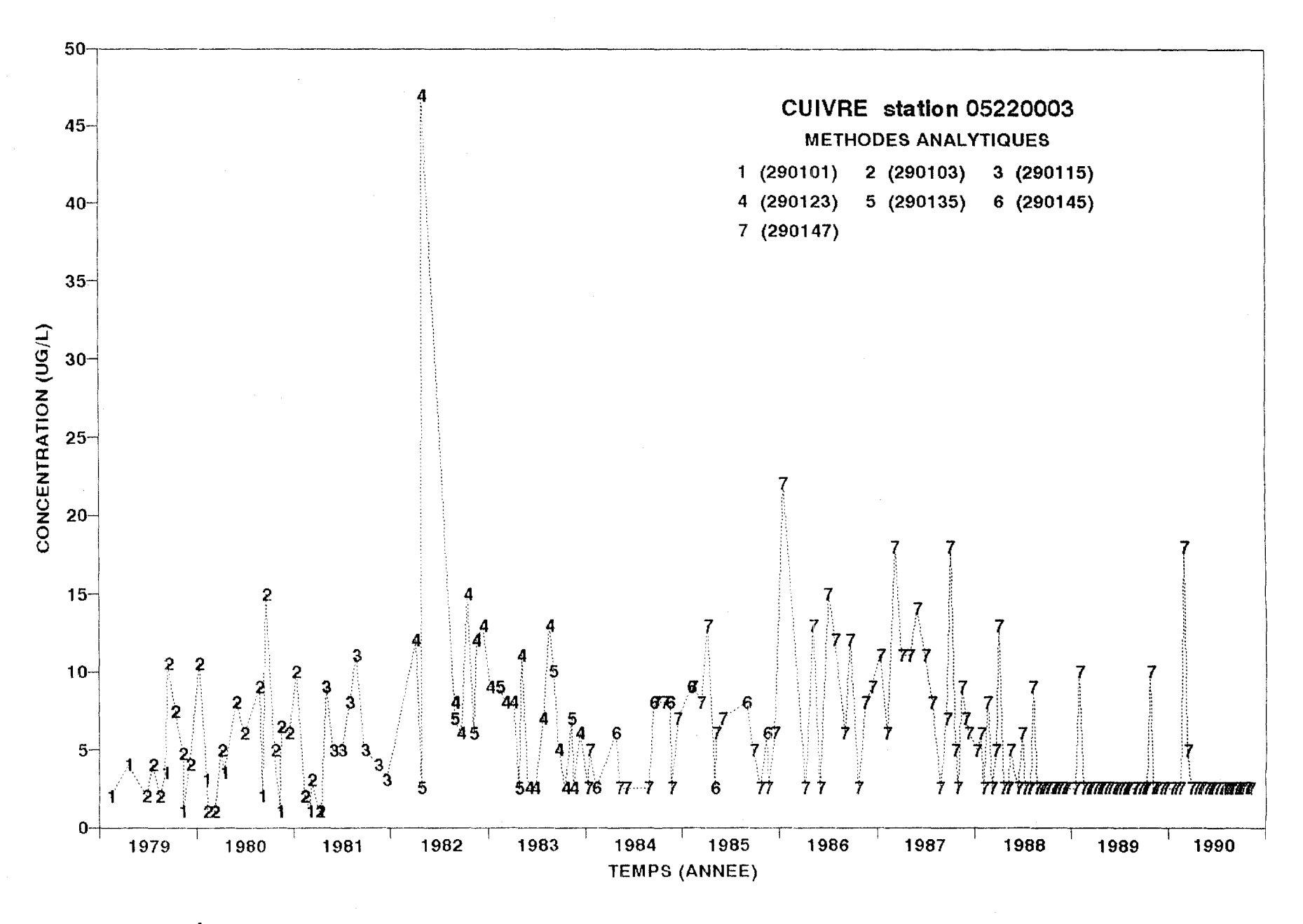


Figure B.14. Évolution dans le temps des concentrations de cuivre à la station 05220003 selon les méthodes de mesure et de prélèvement.

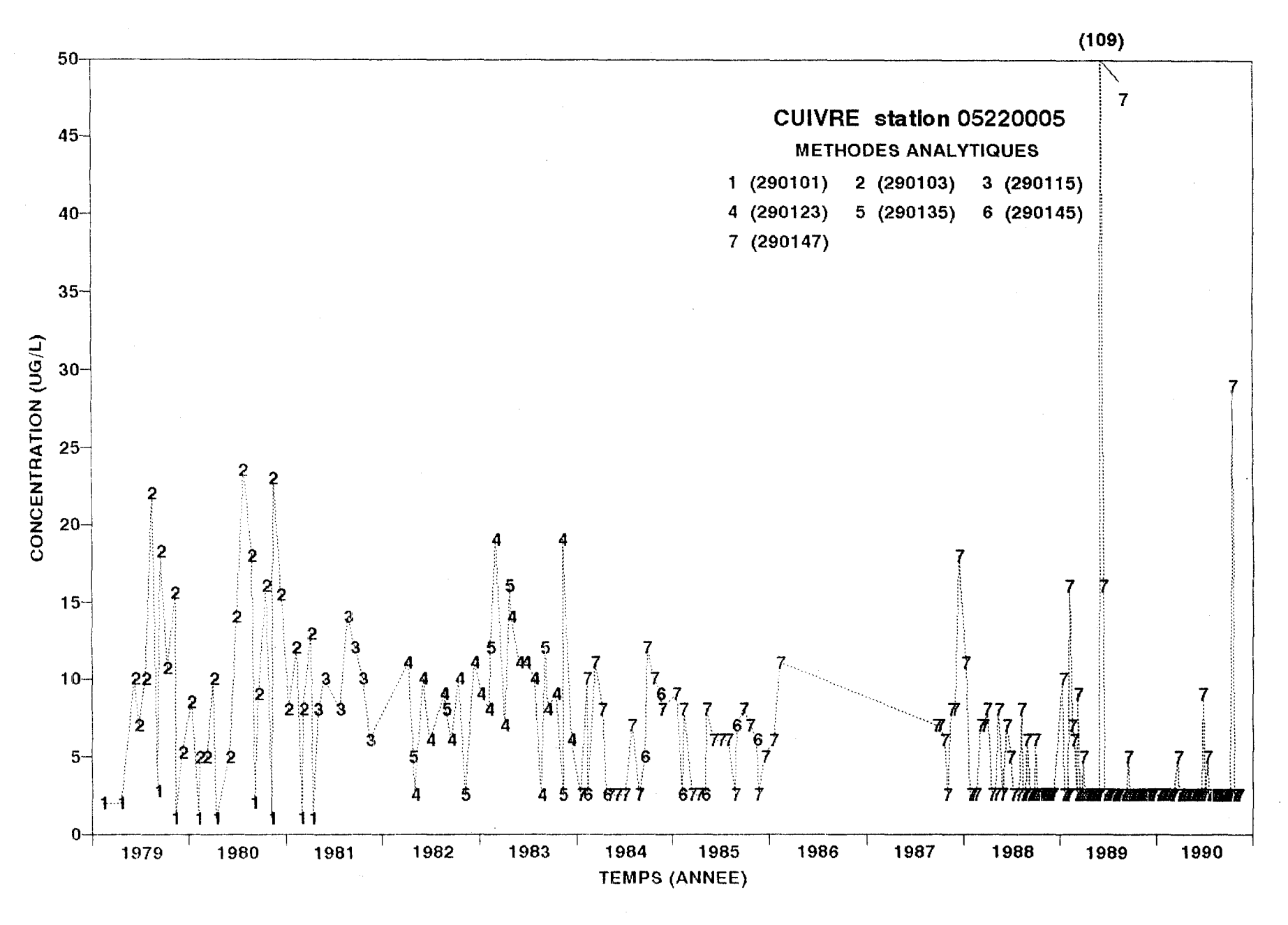


Figure B.15. Évolution dans le temps des concentrations de cuivre à la station 05220005 selon les méthodes de mesure et de prélèvement.

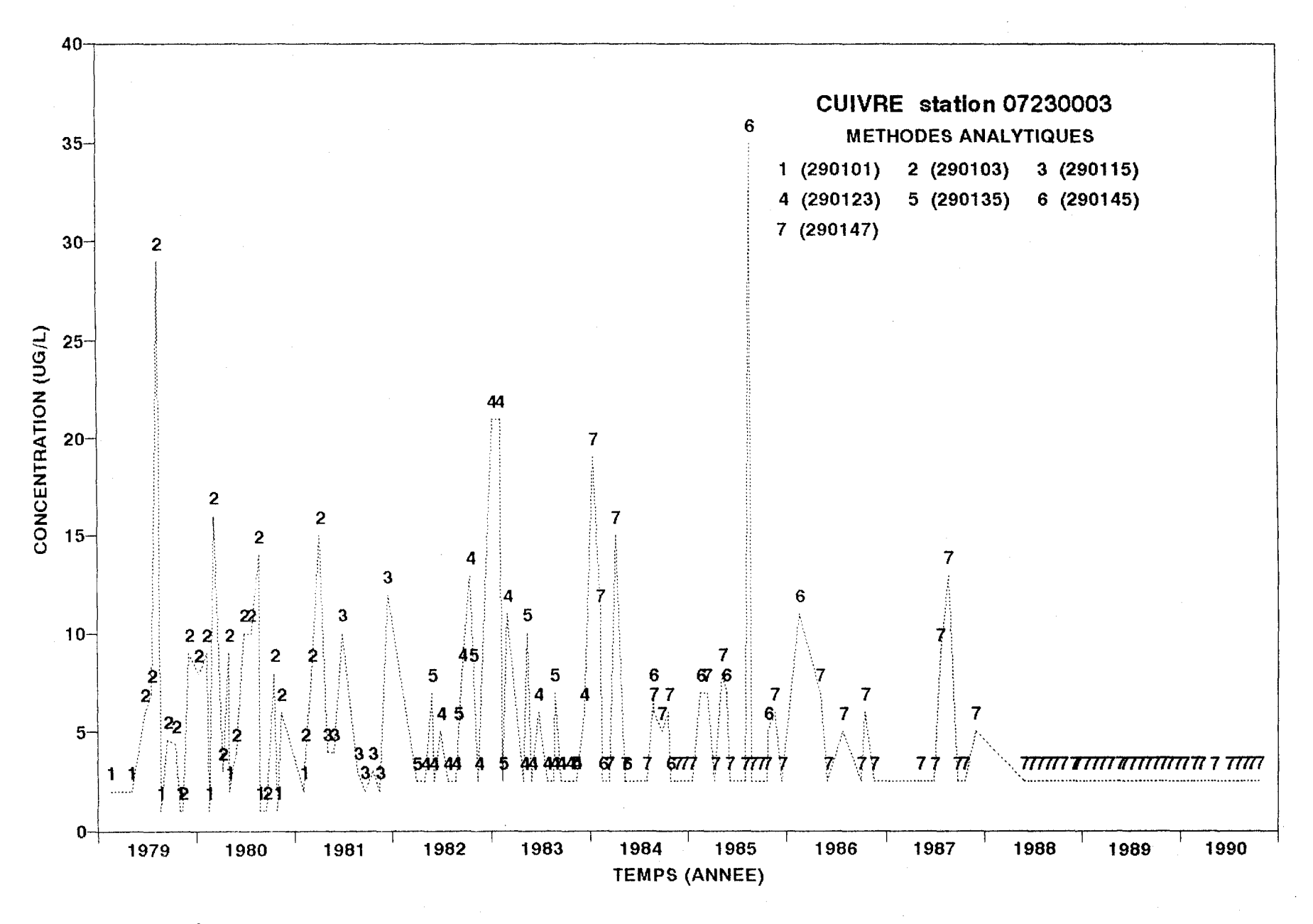


Figure B.16. Évolution dans le temps des concentrations de cuivre à la station 07230003 selon les méthodes de mesure et de prélèvement.

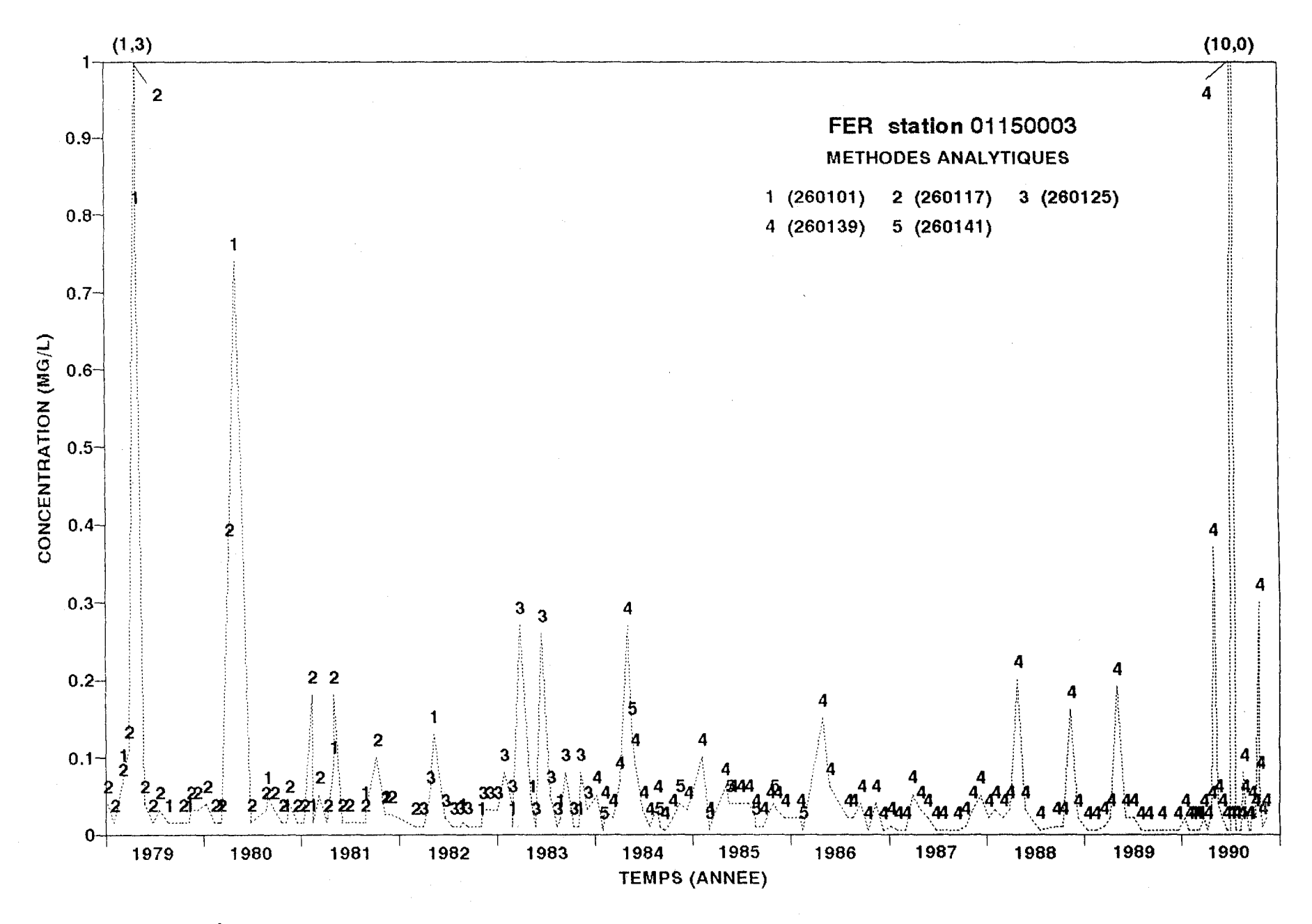


Figure B.17. Évolution dans le temps des concentrations de fer à la station 01150003 selon les méthodes de mesure et de prélèvement.

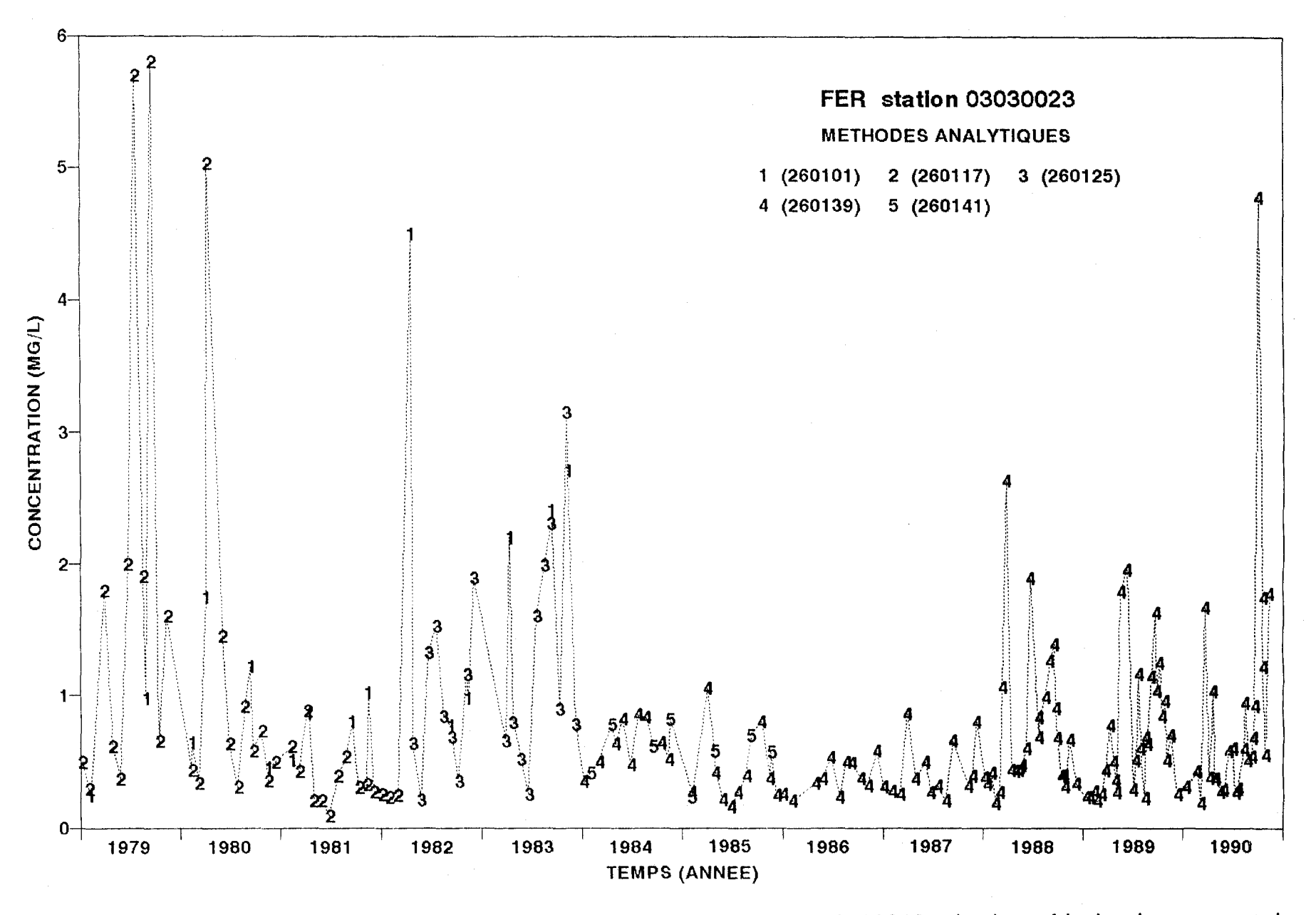


Figure B.18. Évolution dans le temps des concentrations de fer à la station 03030023 selon les méthodes de mesure et de prélèvement.

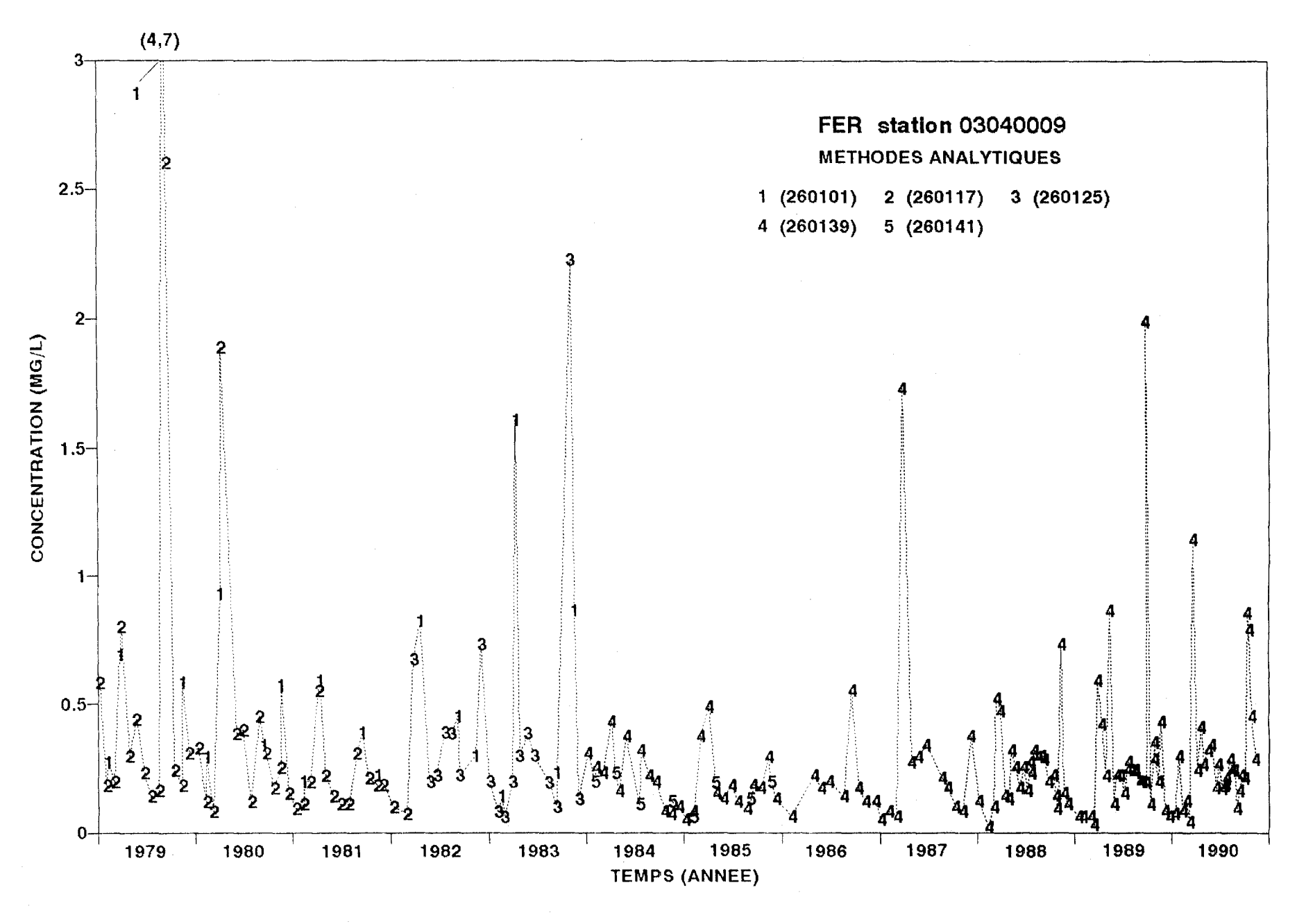


Figure B.19. Évolution dans le temps des concentrations de fer à la station 03040009 selon les méthodes de mesure et de prélèvement.

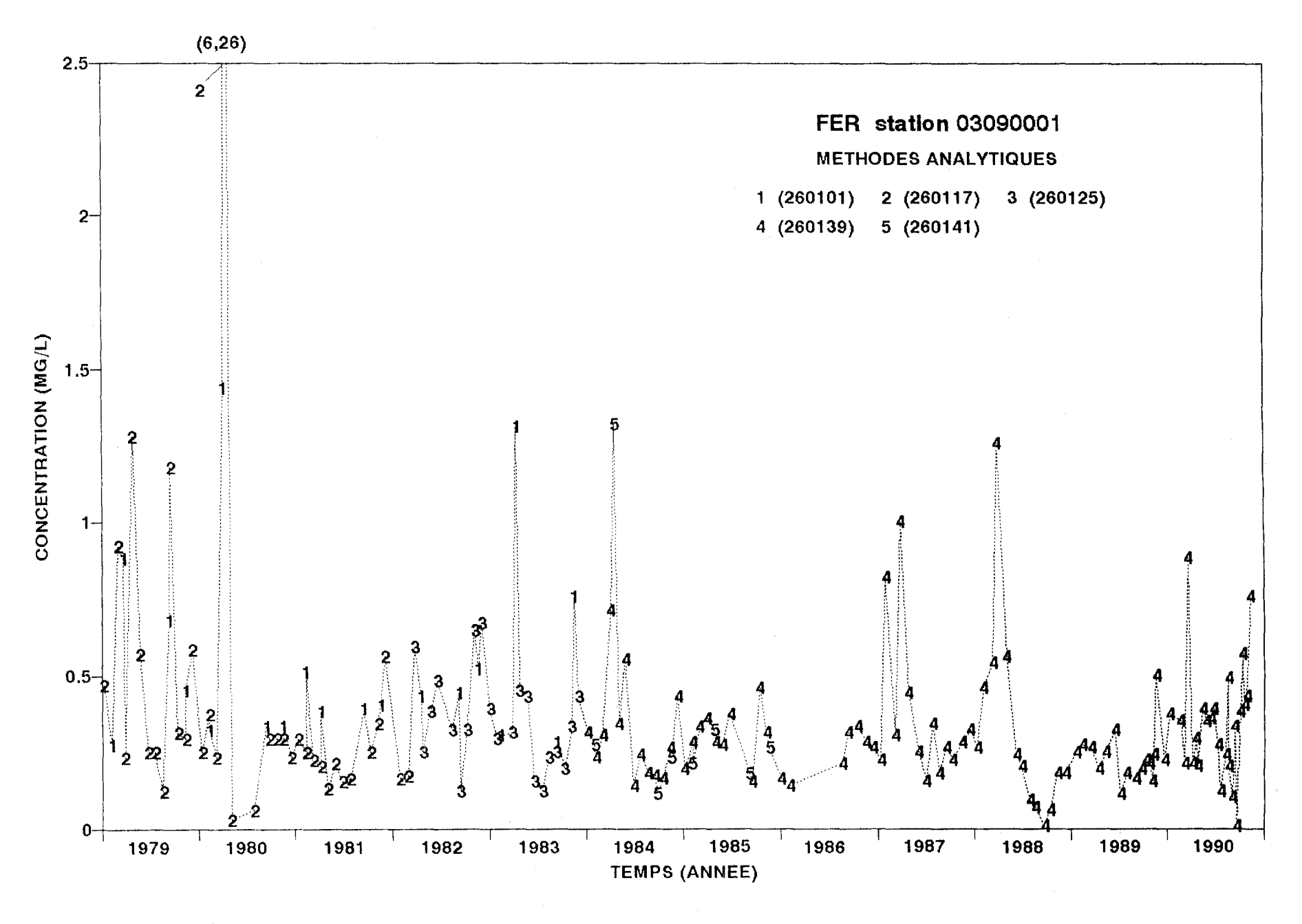


Figure B.20. Évolution dans le temps des concentrations de fer à la station 03090001 selon les méthodes de mesure et de prélèvement.

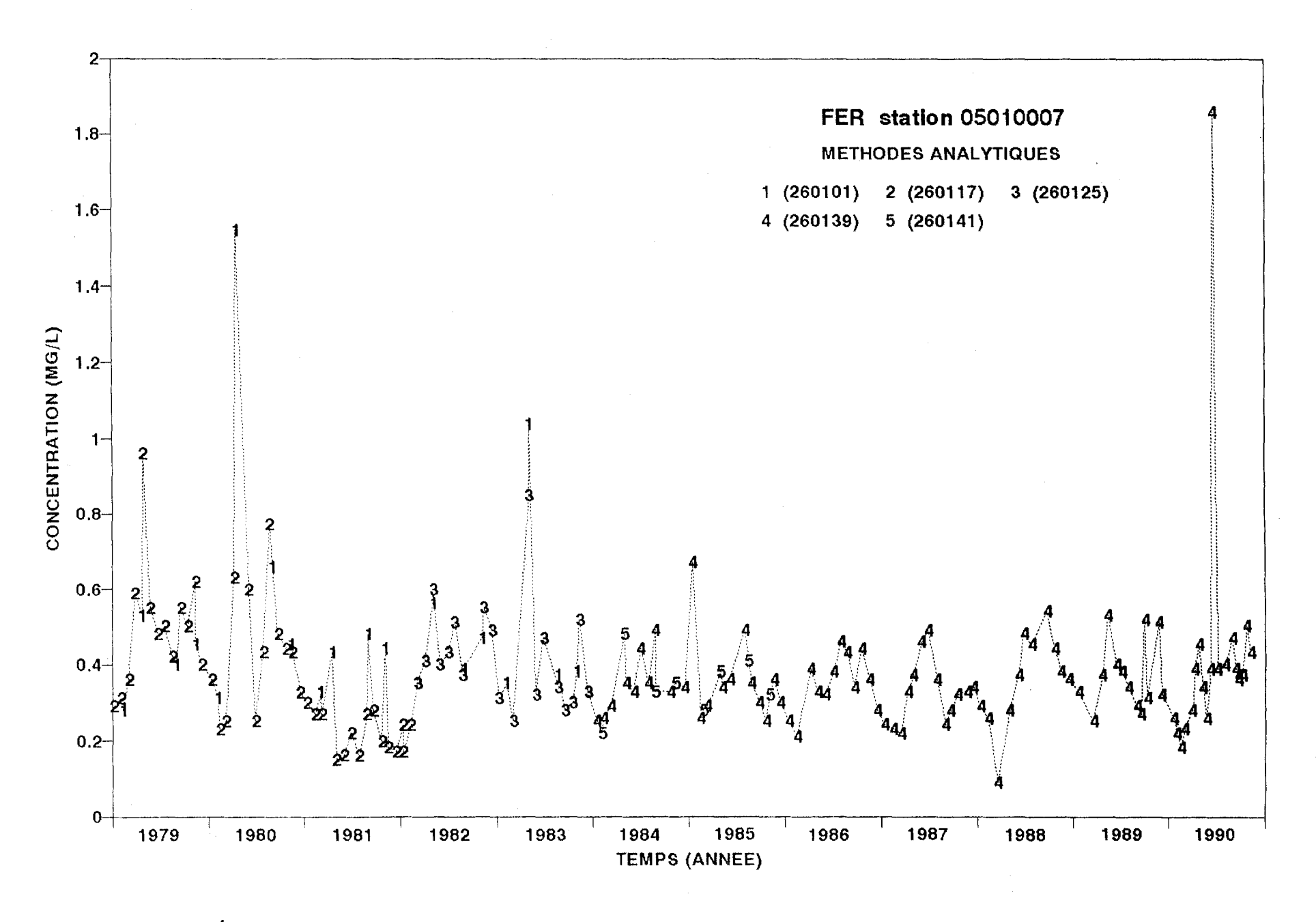


Figure B.21. Évolution dans le temps des concentrations de fer à la station 05010007 selon les méthodes de mesure et de prélèvement.

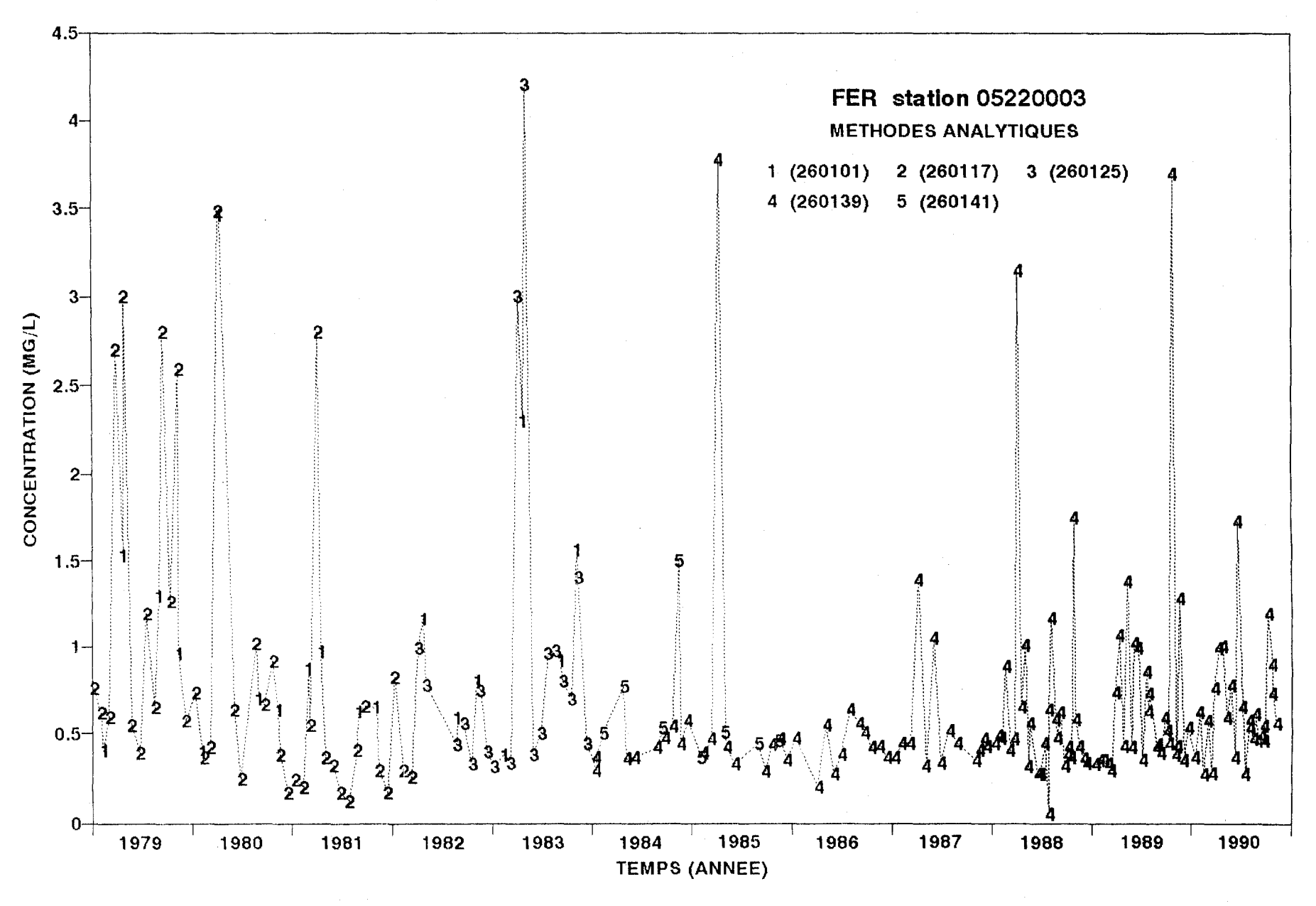


Figure B.22. Évolution dans le temps des concentrations de fer à la station 05220003 selon les méthodes de mesure et de prélèvement.

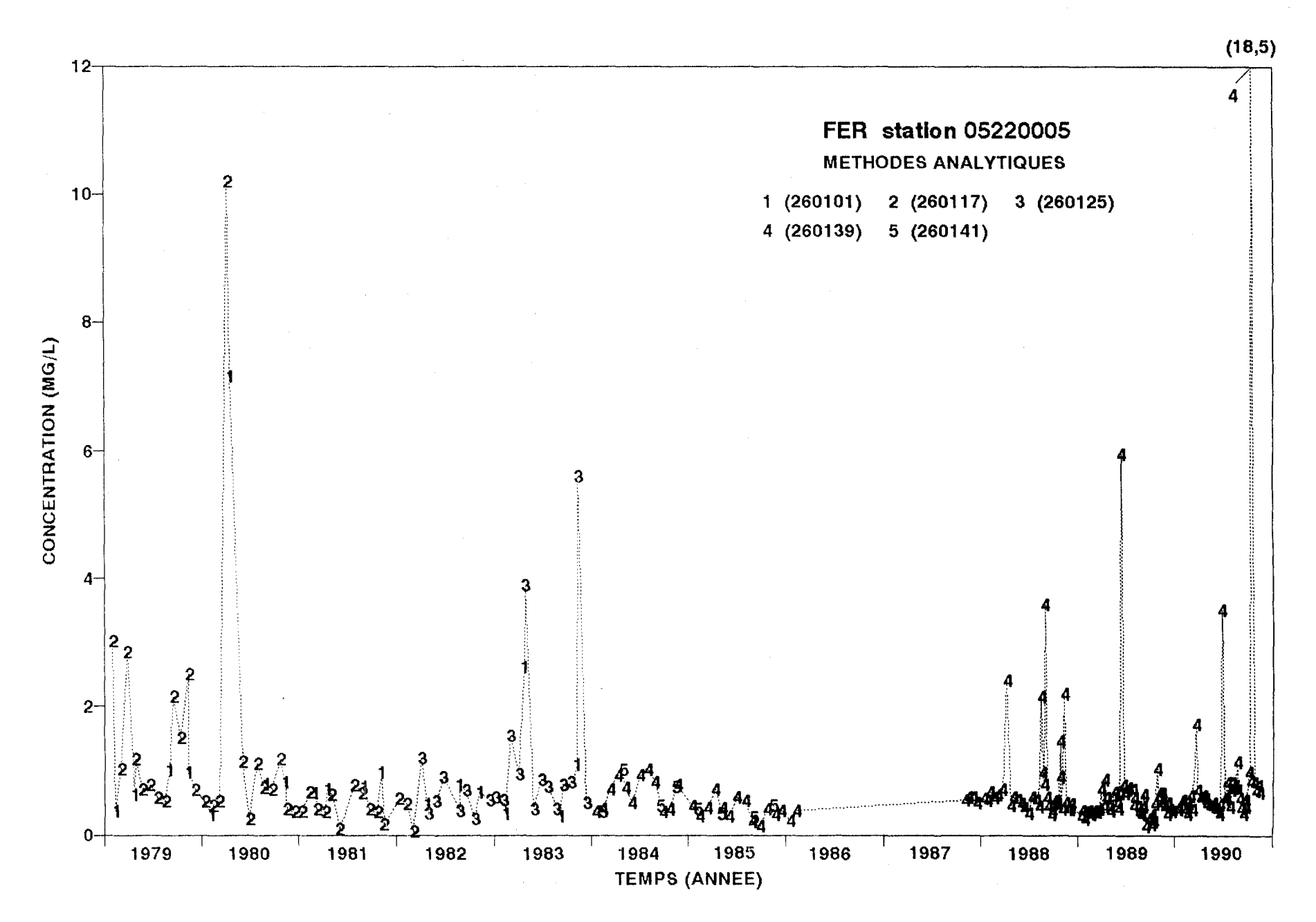


Figure B.23. Évolution dans le temps des concentrations de fer à la station 05220005 selon les méthodes de mesure et de prélèvement.

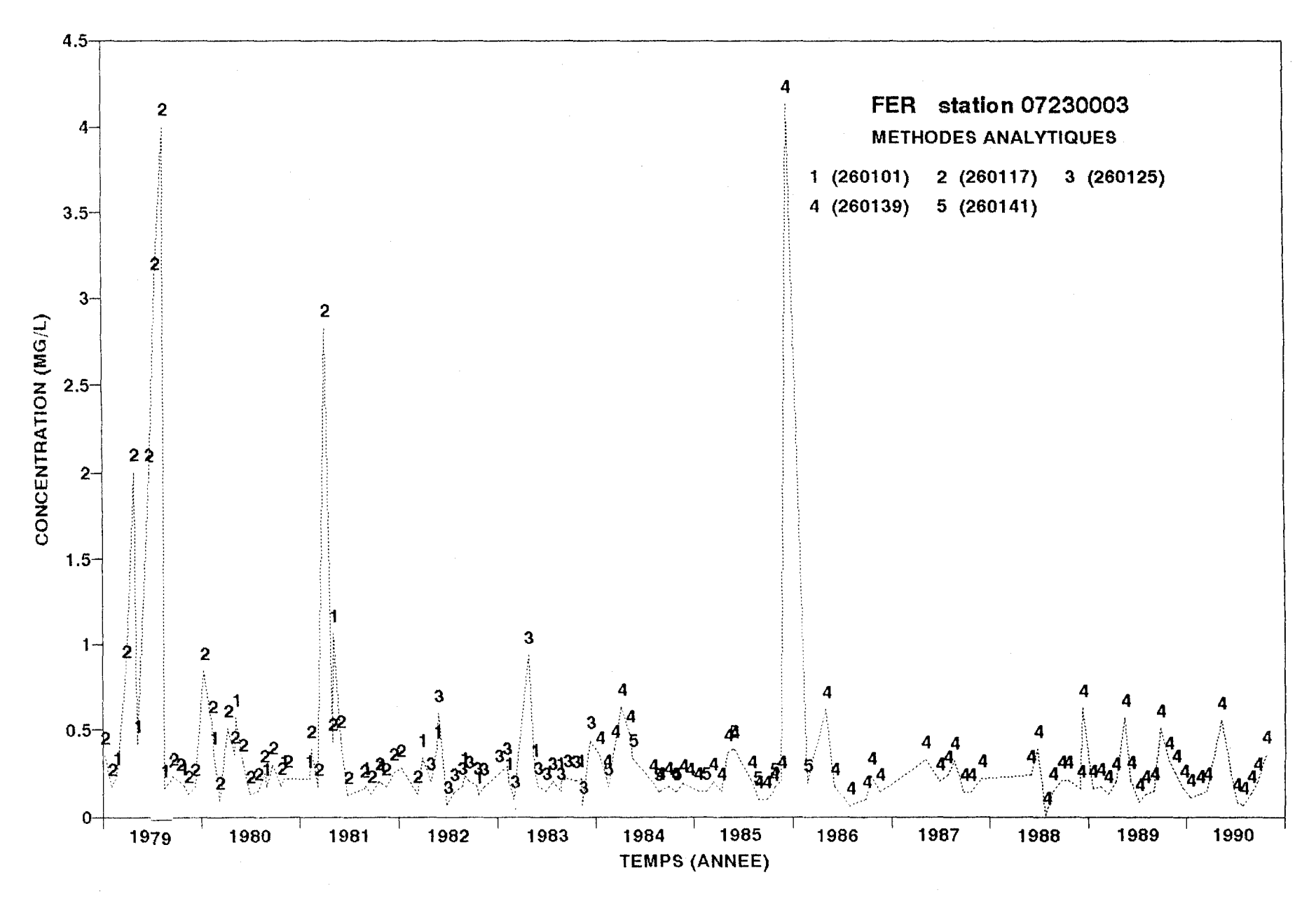


Figure B.24. Évolution dans le temps des concentrations de fer à la station 07230003 selon les méthodes de mesure et de prélèvement.

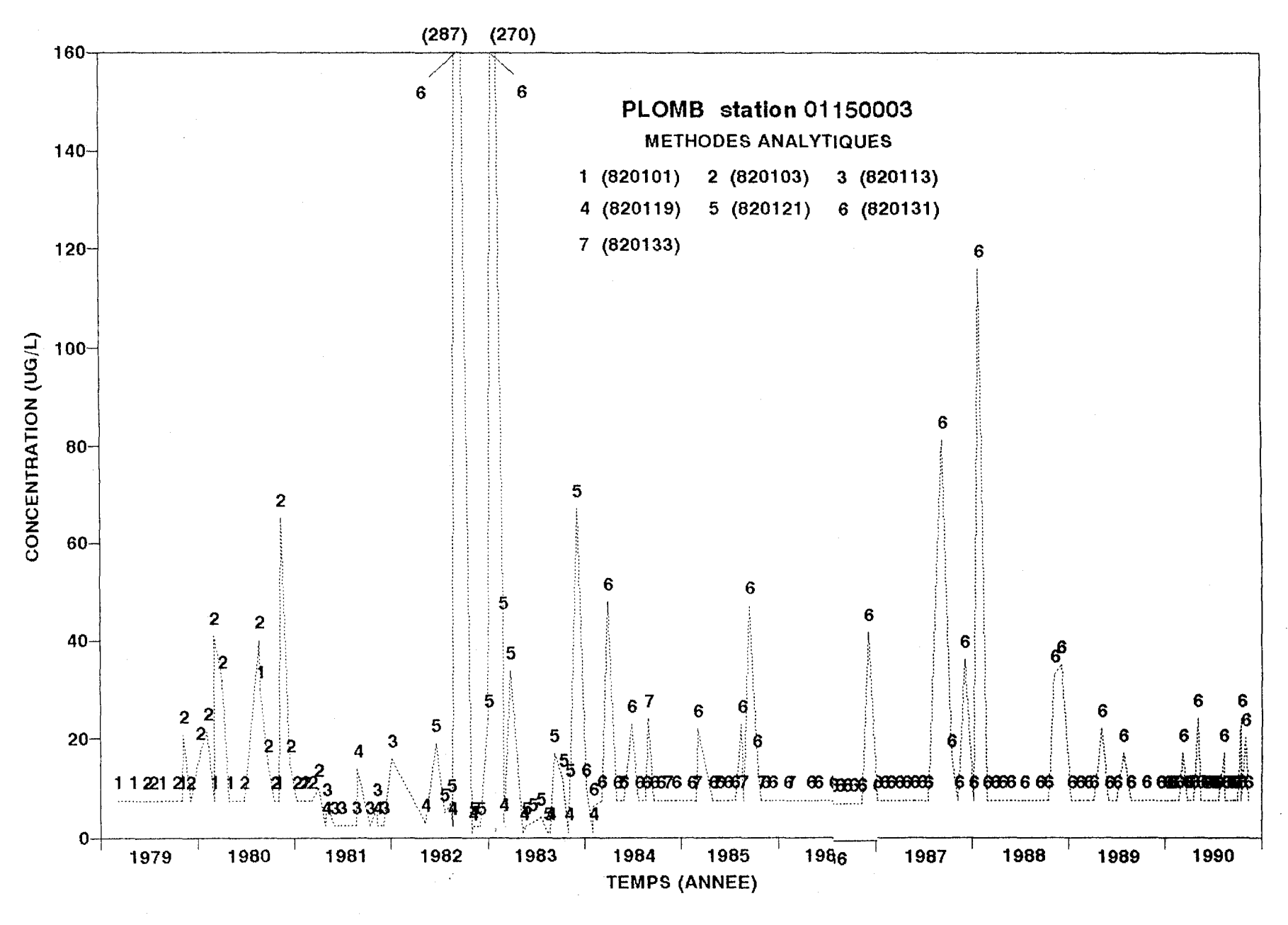


Figure B.25. Évolution dans le temps des concentrations de plomb à la station 01150003 selon les méthodes de mesure et de prélèvement.

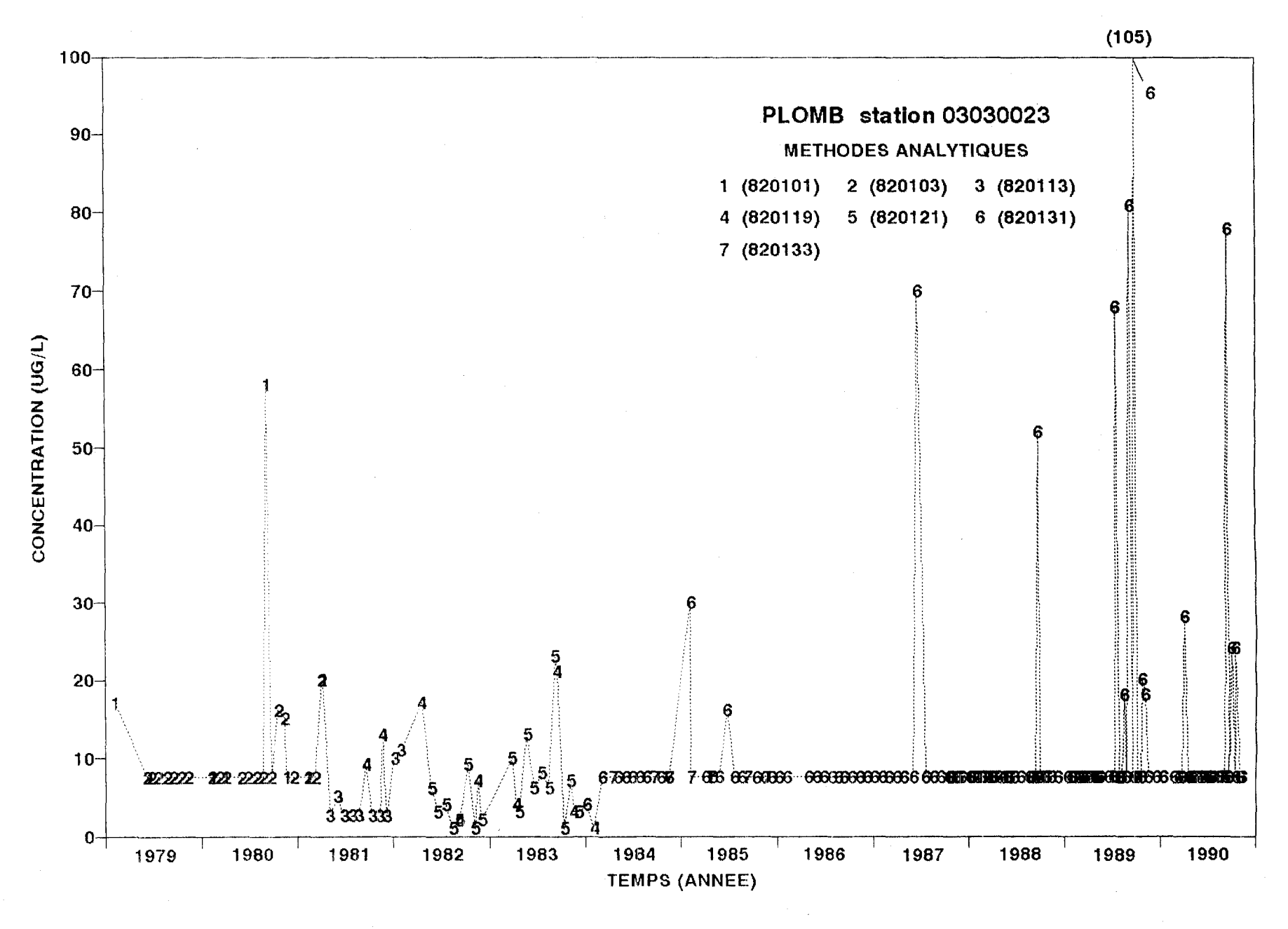


Figure B.26. Évolution dans le temps des concentrations de plomb à la station 03030023 selon les méthodes de mesure et de prélèvement.

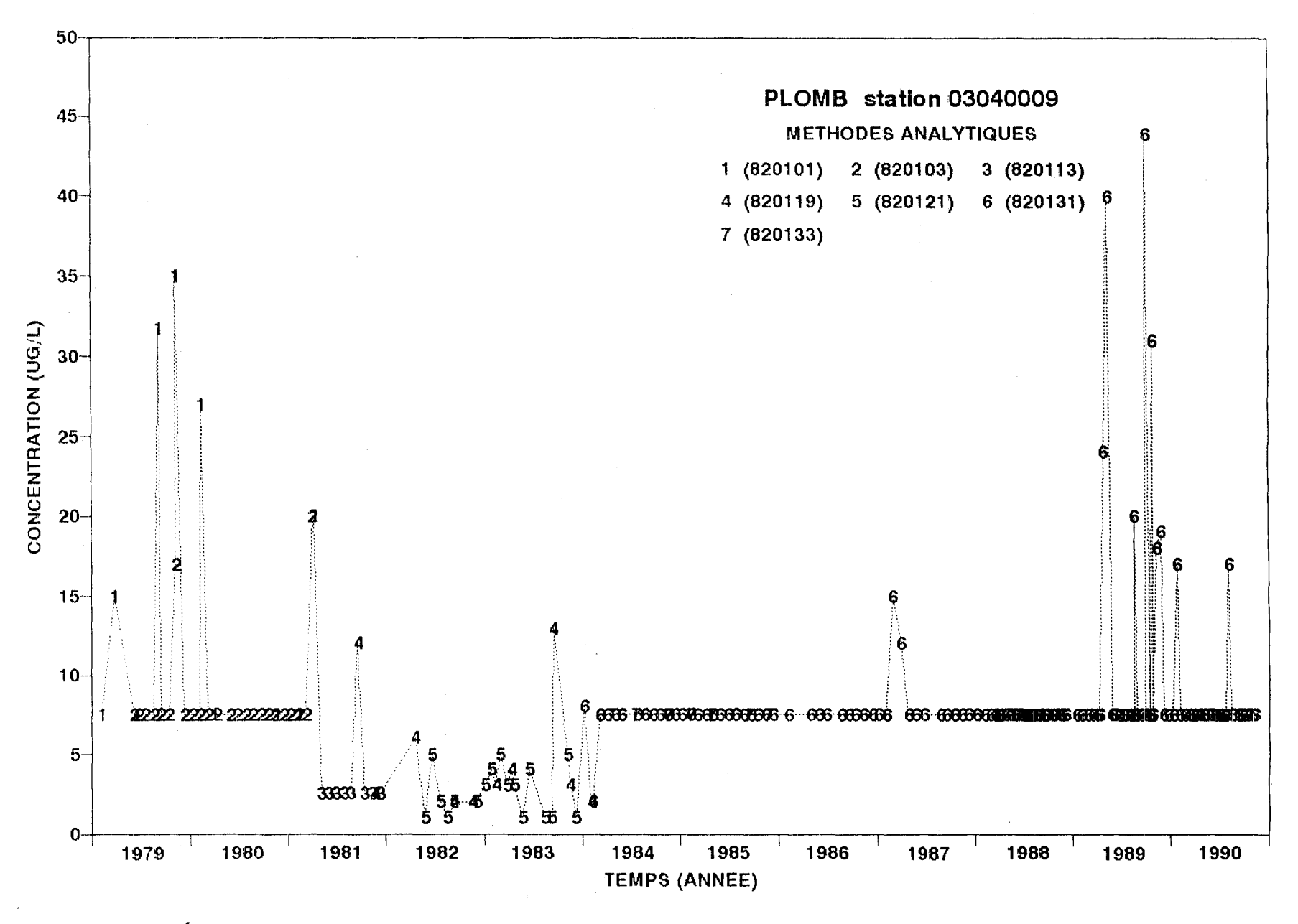


Figure B.27. Évolution dans le temps des concentrations de plomb à la station 03040009 selon les méthodes de mesure et de prélèvement.

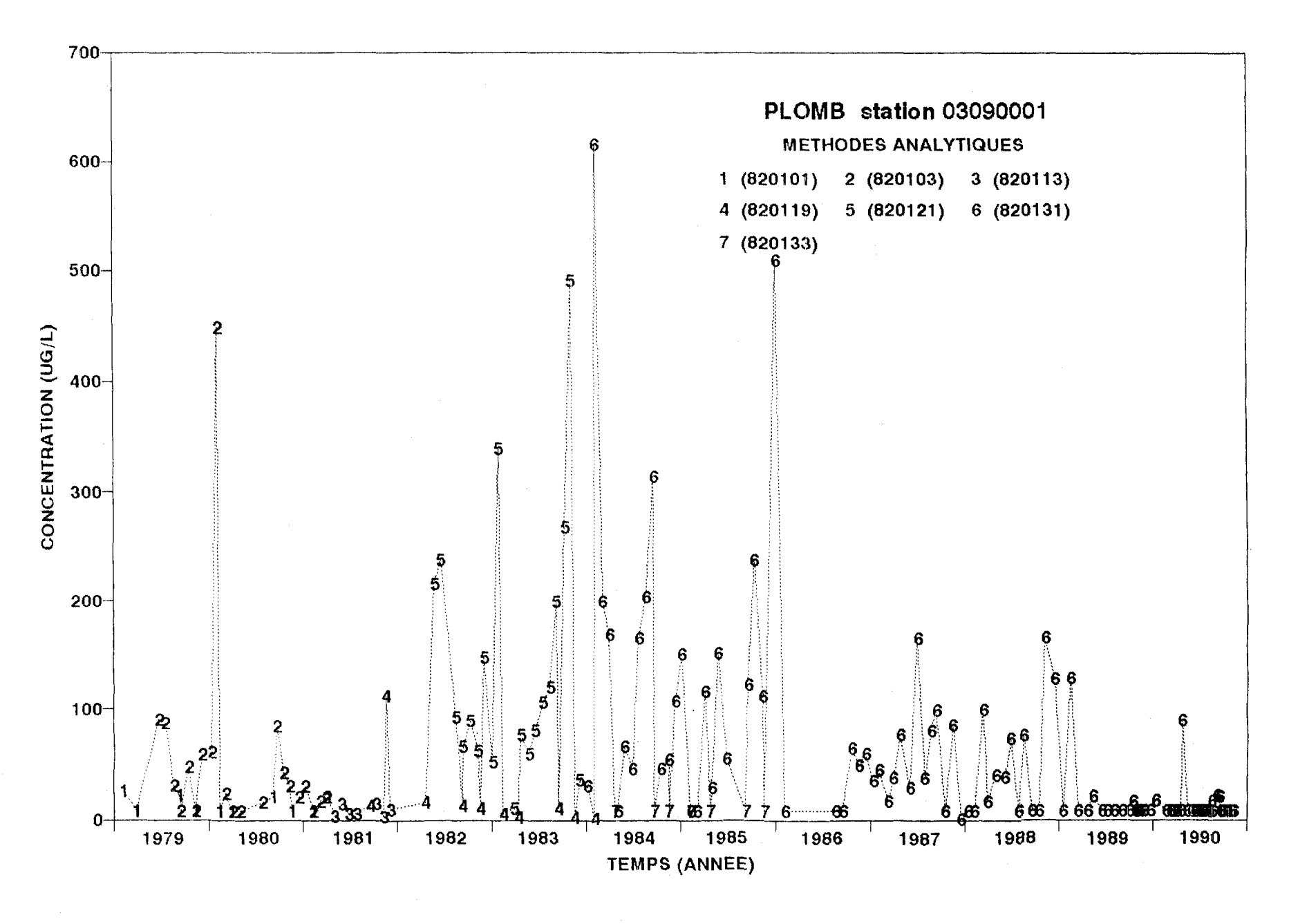


Figure B.28. Évolution dans le temps des concentrations de plomb à la station 03090001 selon les méthodes de mesure et de prélèvement.

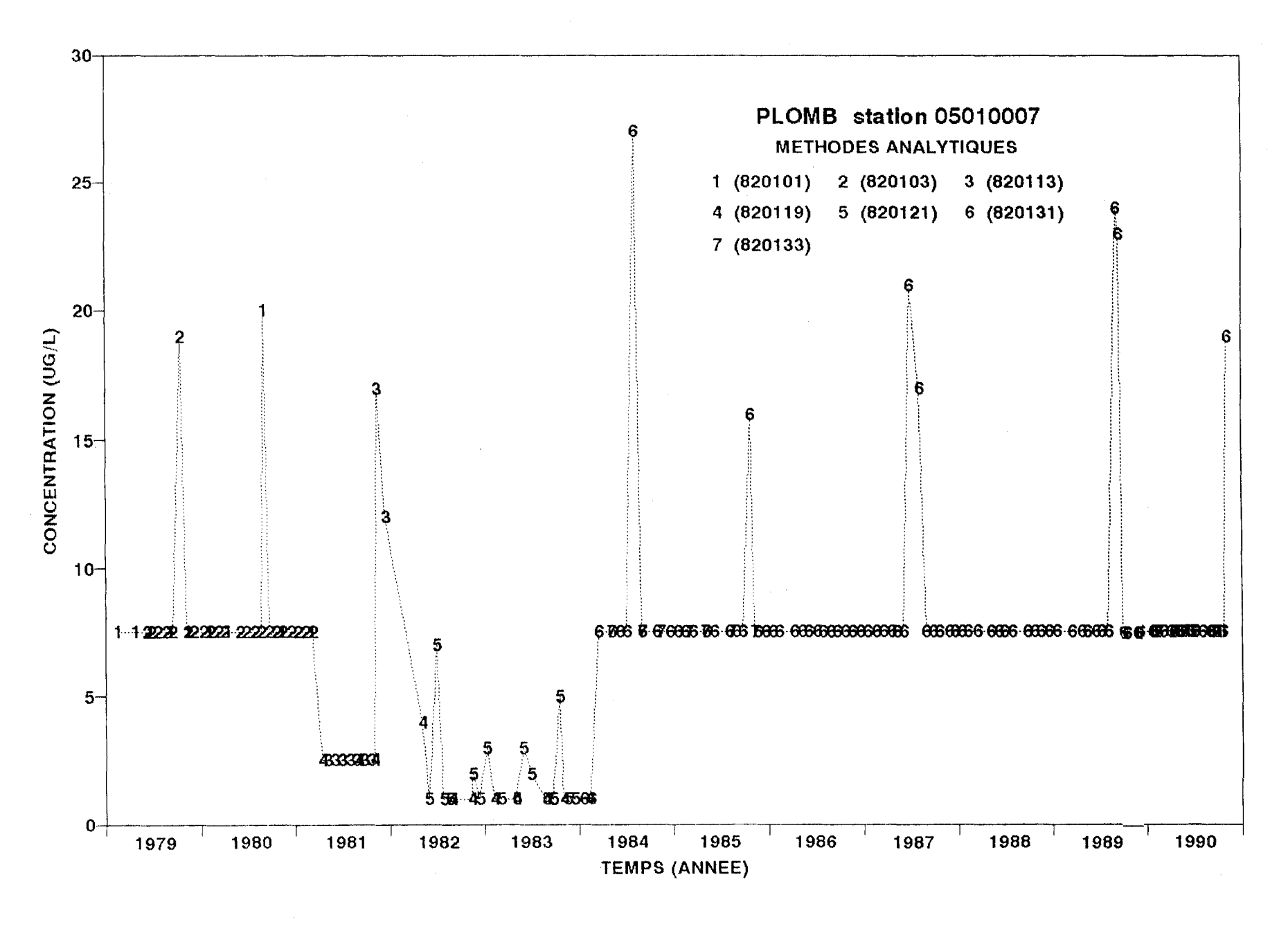


Figure B.29. Évolution dans le temps des concentrations de plomb à la station 05010007 selon les méthodes de mesure et de prélèvement.

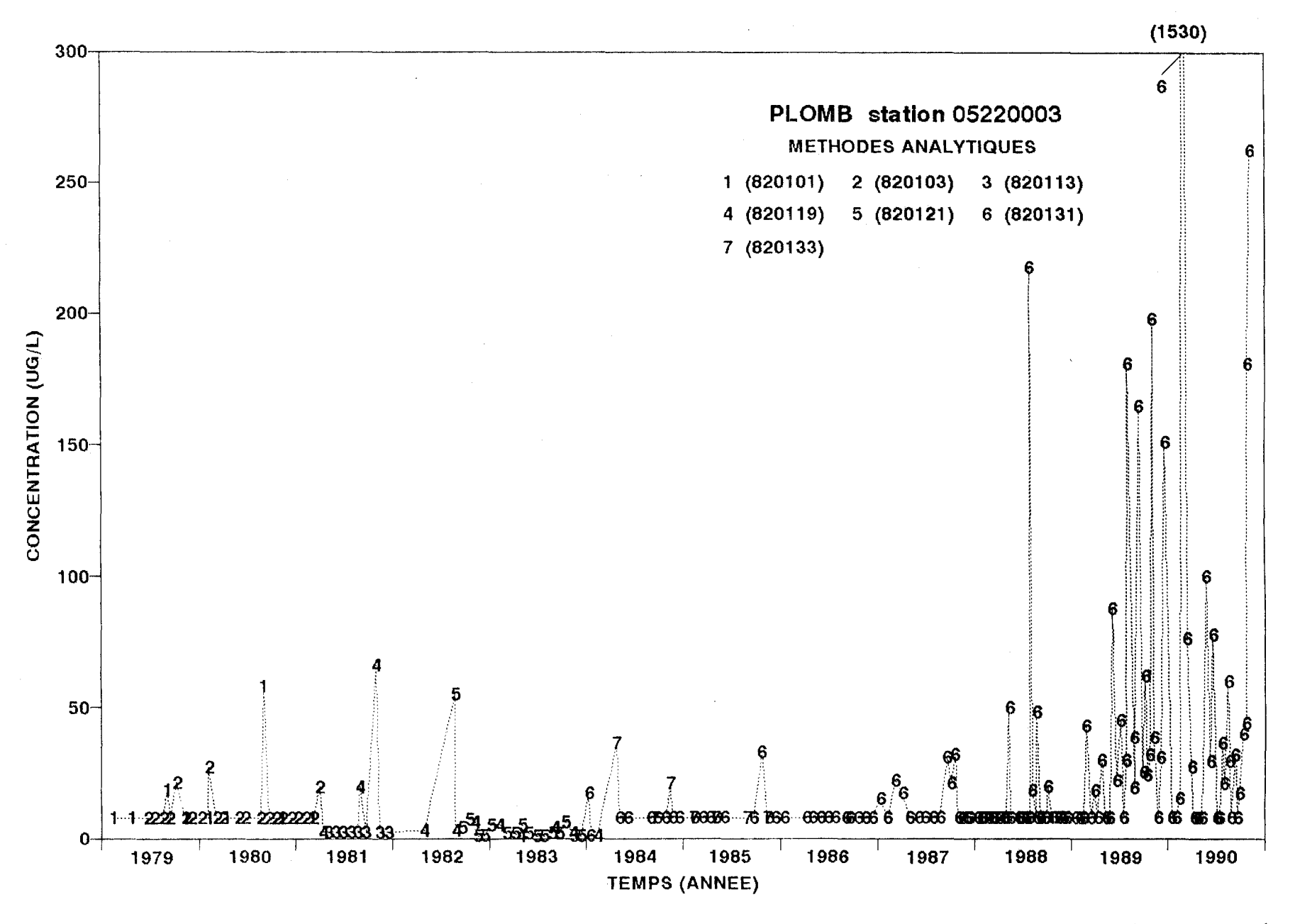


Figure B.30. Évolution dans le temps des concentrations de plomb à la station 05220003 selon les méthodes de mesure et de prélèvement.

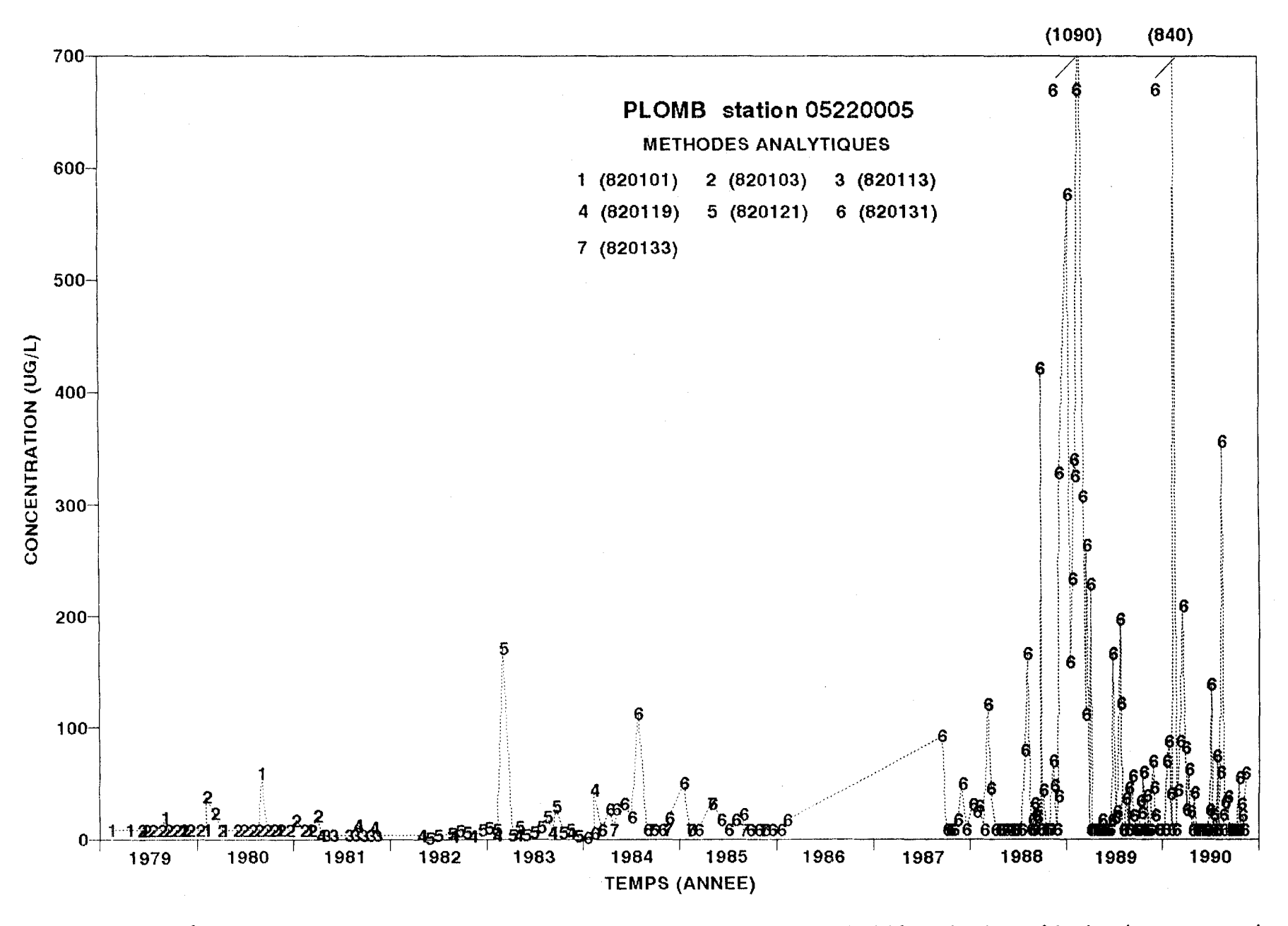


Figure B.31. Évolution dans le temps des concentrations de plomb à la station 05220005 selon les méthodes de mesure et de prélèvement.

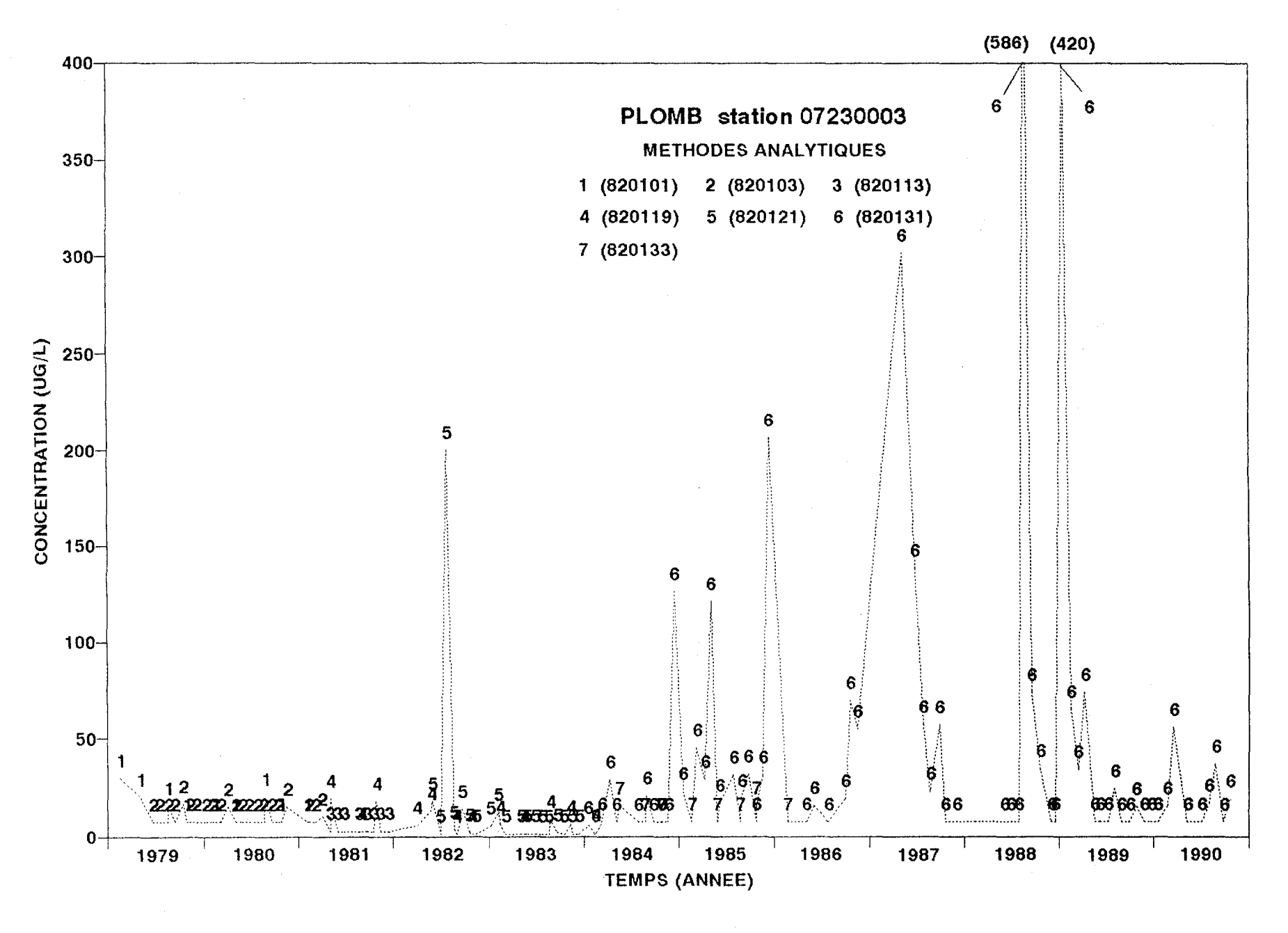


Figure B.32. Évolution dans le temps des concentrations de plomb à la station 07230003 selon les méthodes de mesure et de prélèvement.

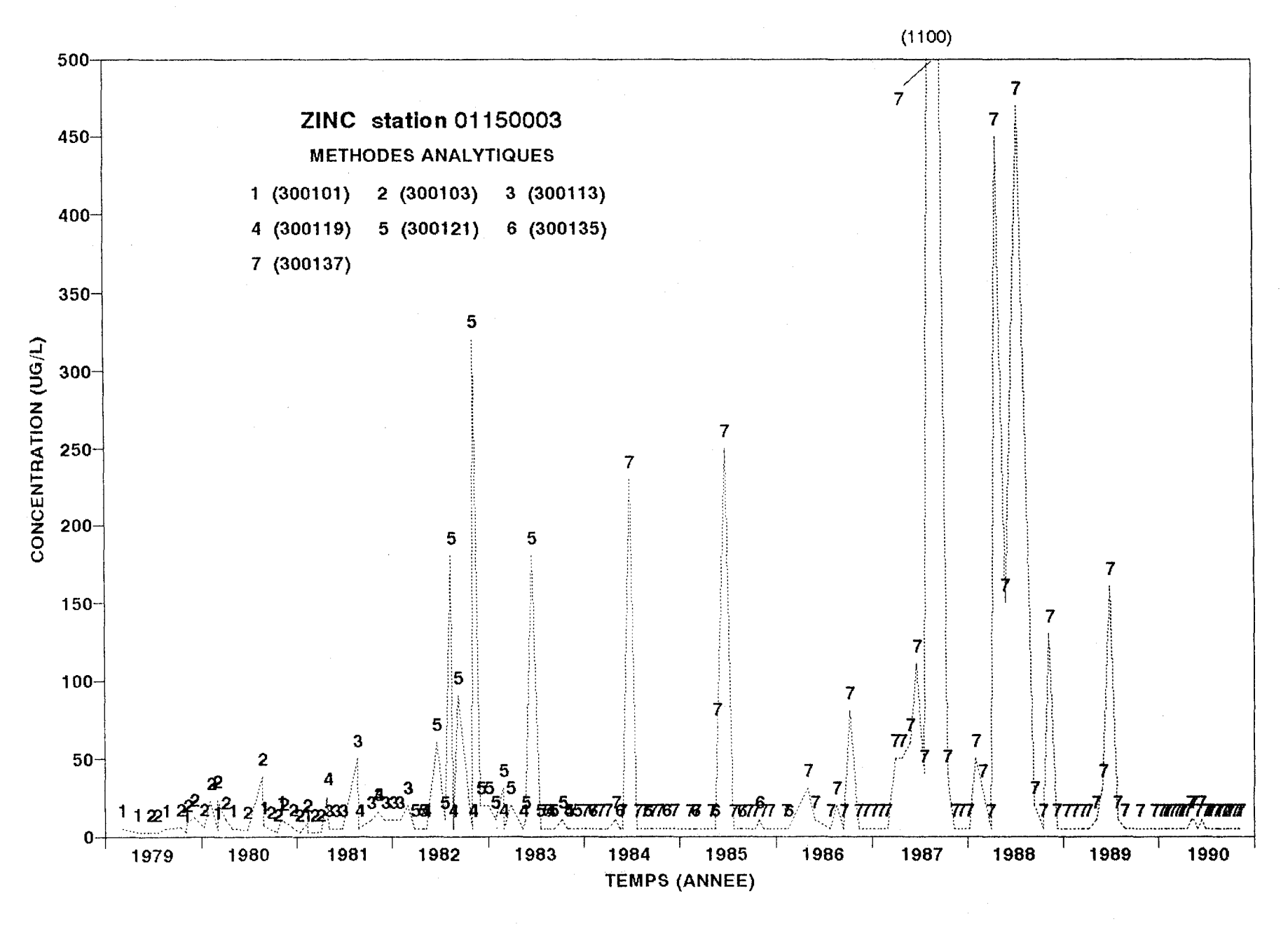


Figure B.33. Évolution dans le temps des concentrations de zinc à la station 01150003 selon les méthodes de mesure et de prélèvement.

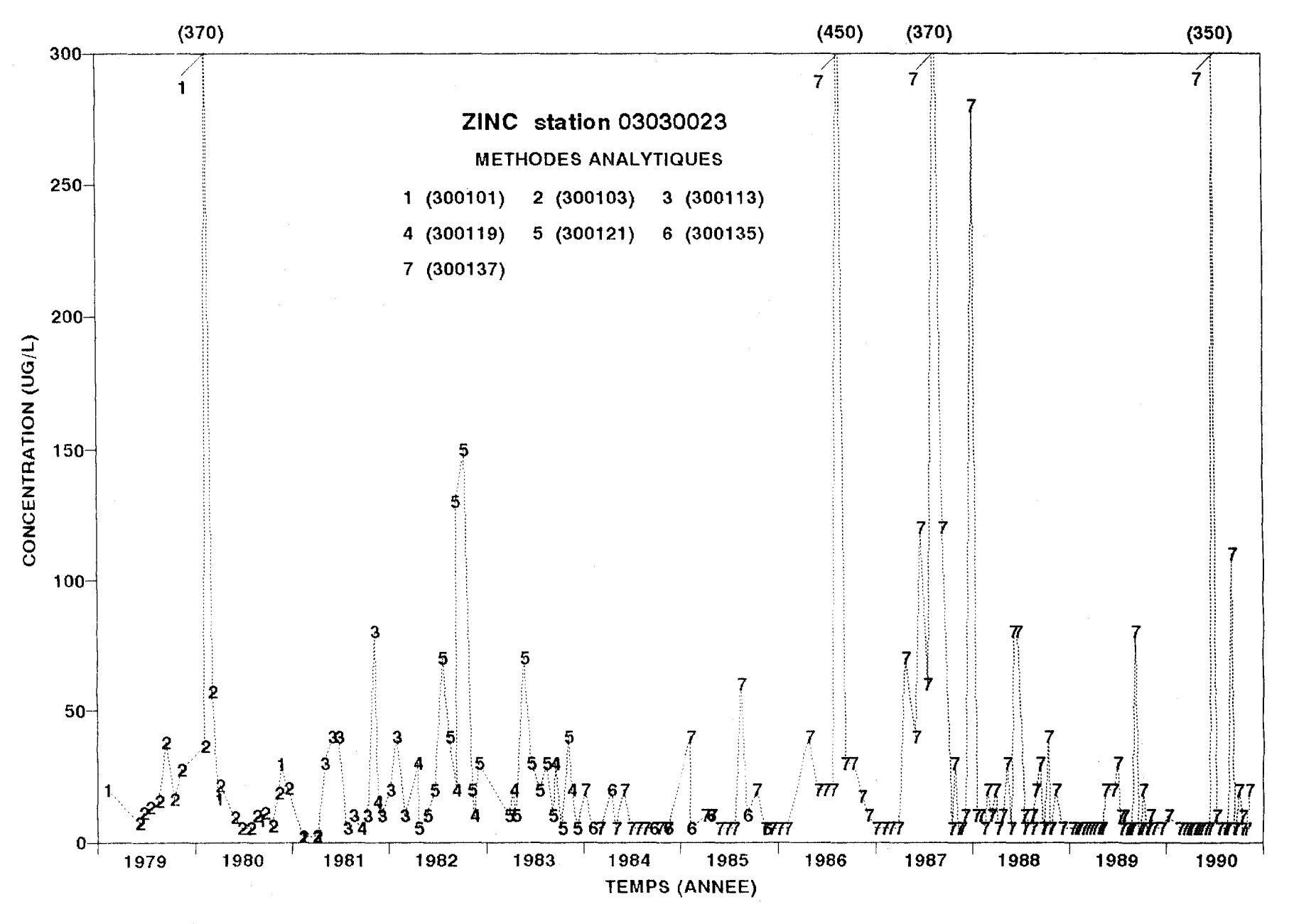


Figure B.34. Évolution dans le temps des concentrations de zinc à la station 03030023 selon les méthodes de mesure et de prélèvement.

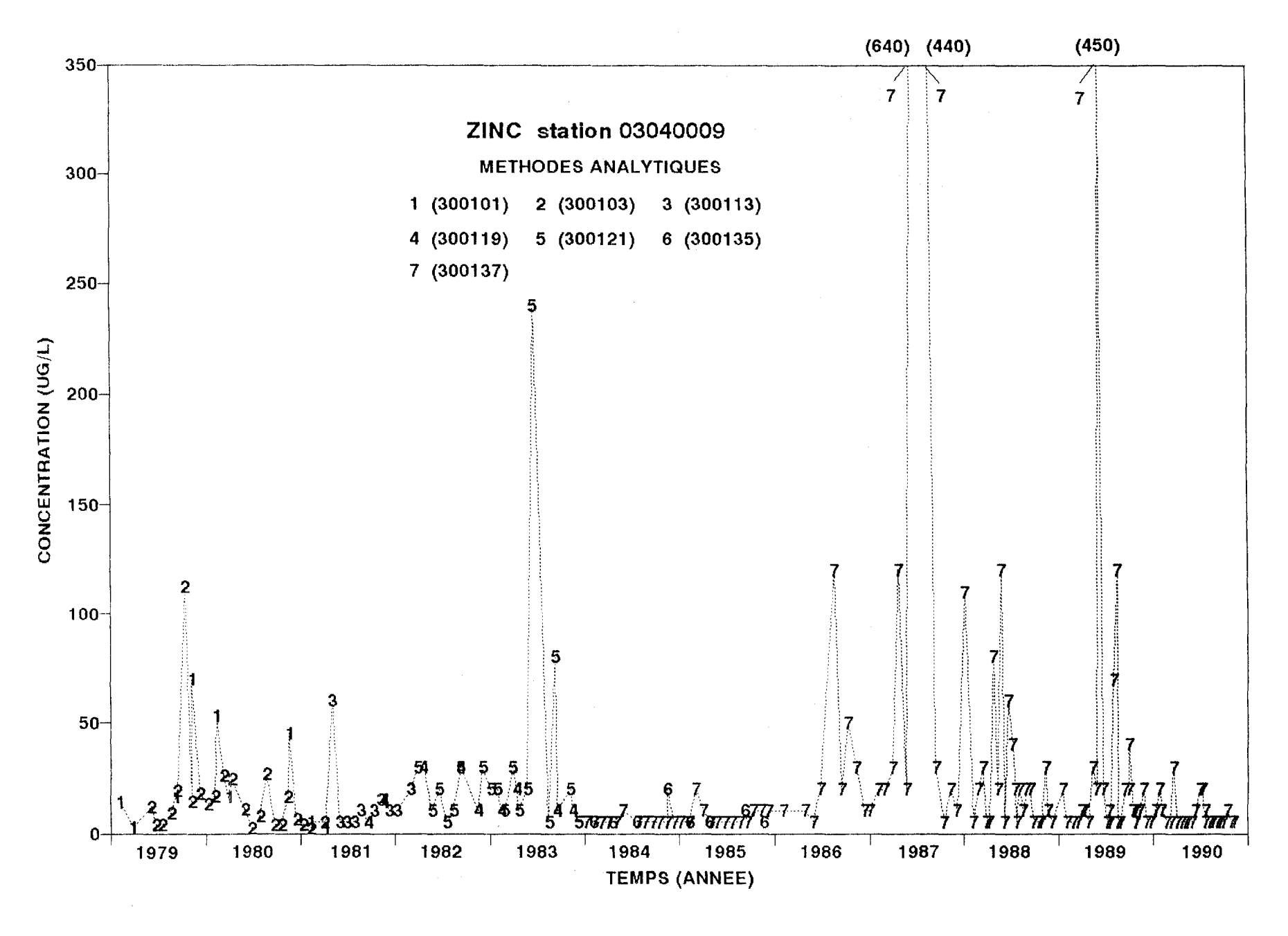


Figure B.35. Évolution dans le temps des concentrations de zinc à la station 03040009 selon les méthodes de mesure et de prélèvement.

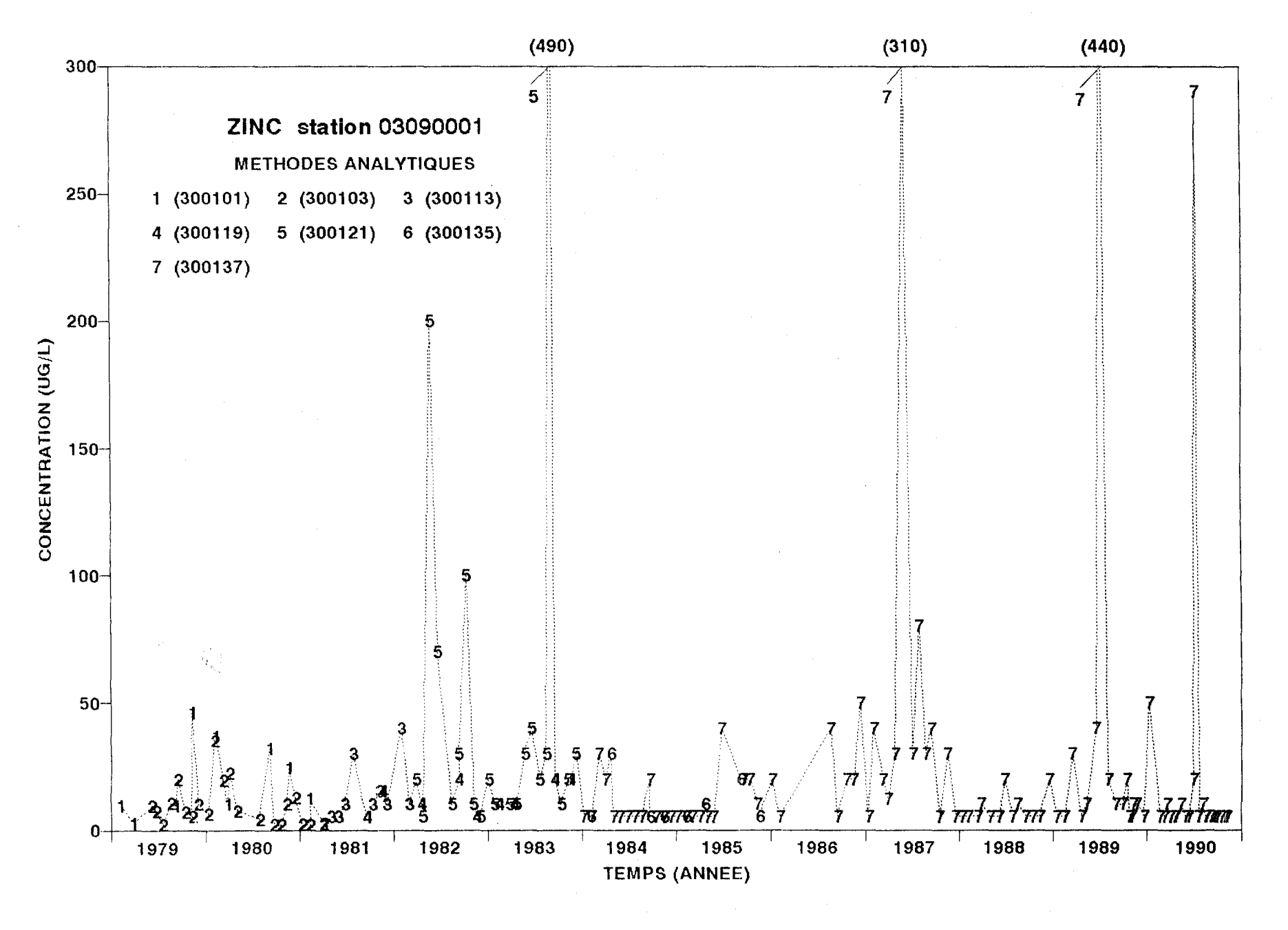


Figure B.36. Évolution dans le temps des concentrations de zinc à la station 03090001 selon les méthodes de mesure et de prélèvement.

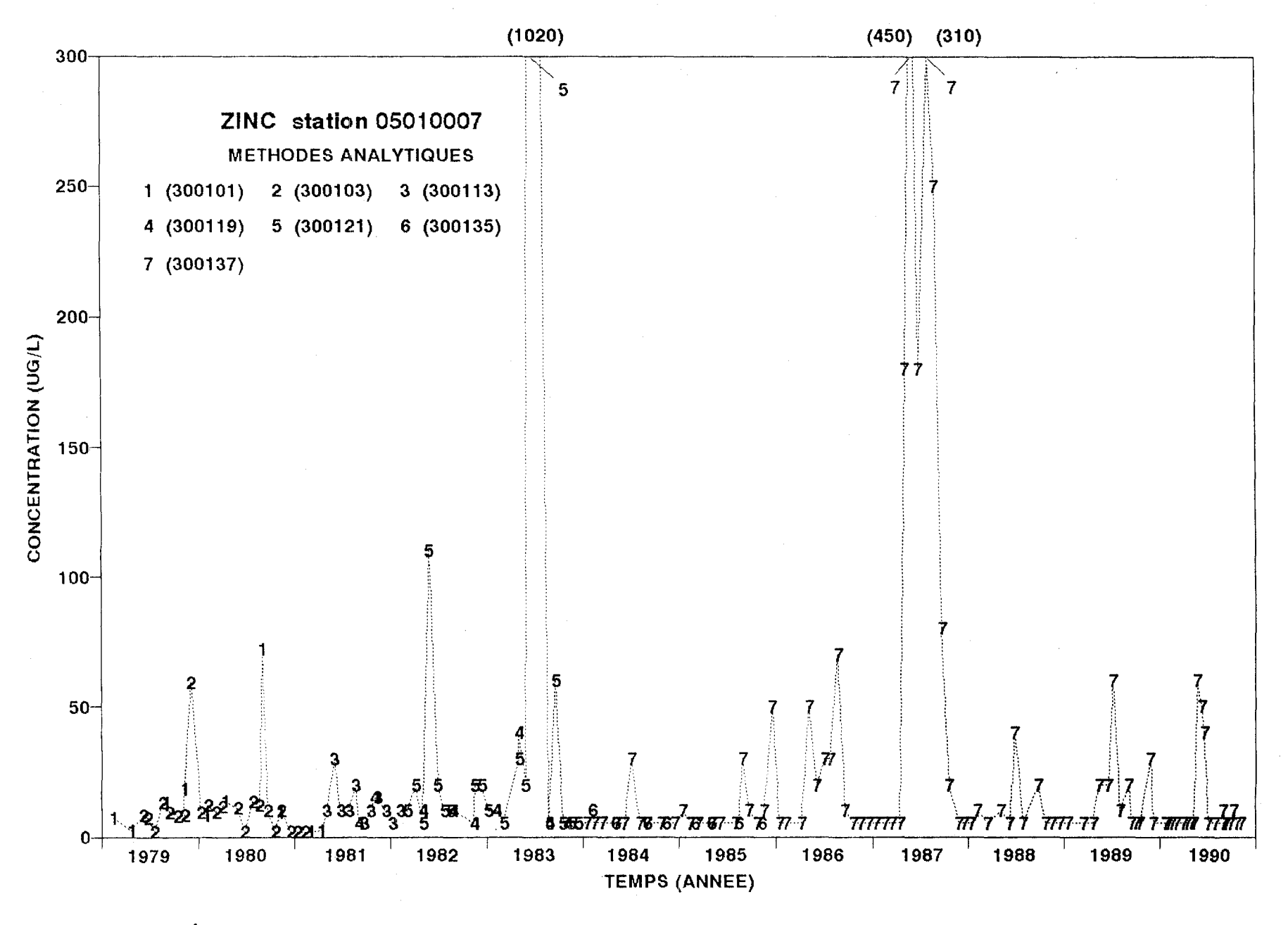


Figure B.37. Évolution dans le temps des concentrations de zinc à la station 05010007 selon les méthodes de mesure et de prélèvement.

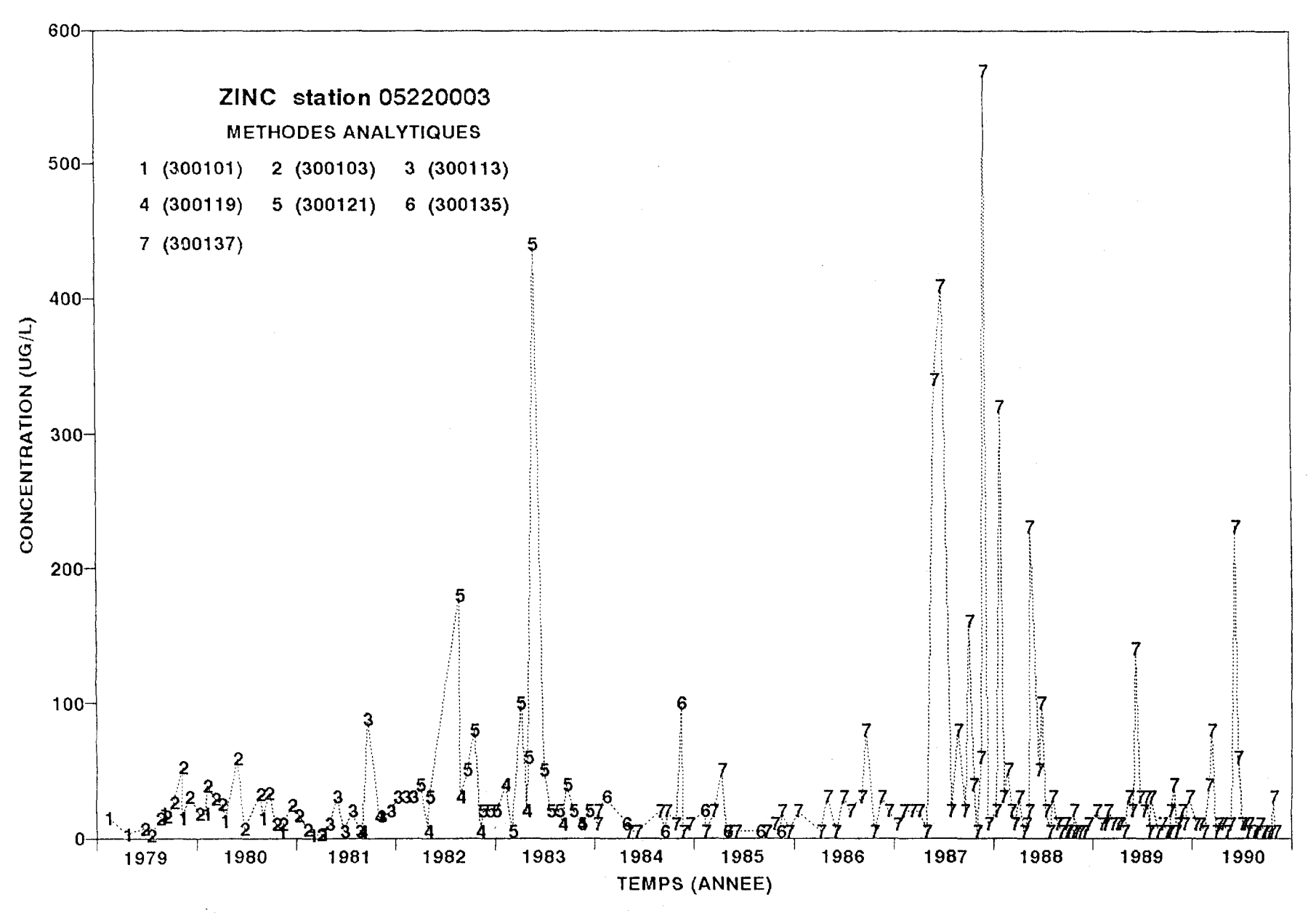


Figure B.38. Évolution dans le temps des concentrations de zinc à la station 05220003 selon les méthodes de mesure et de prélèvement.

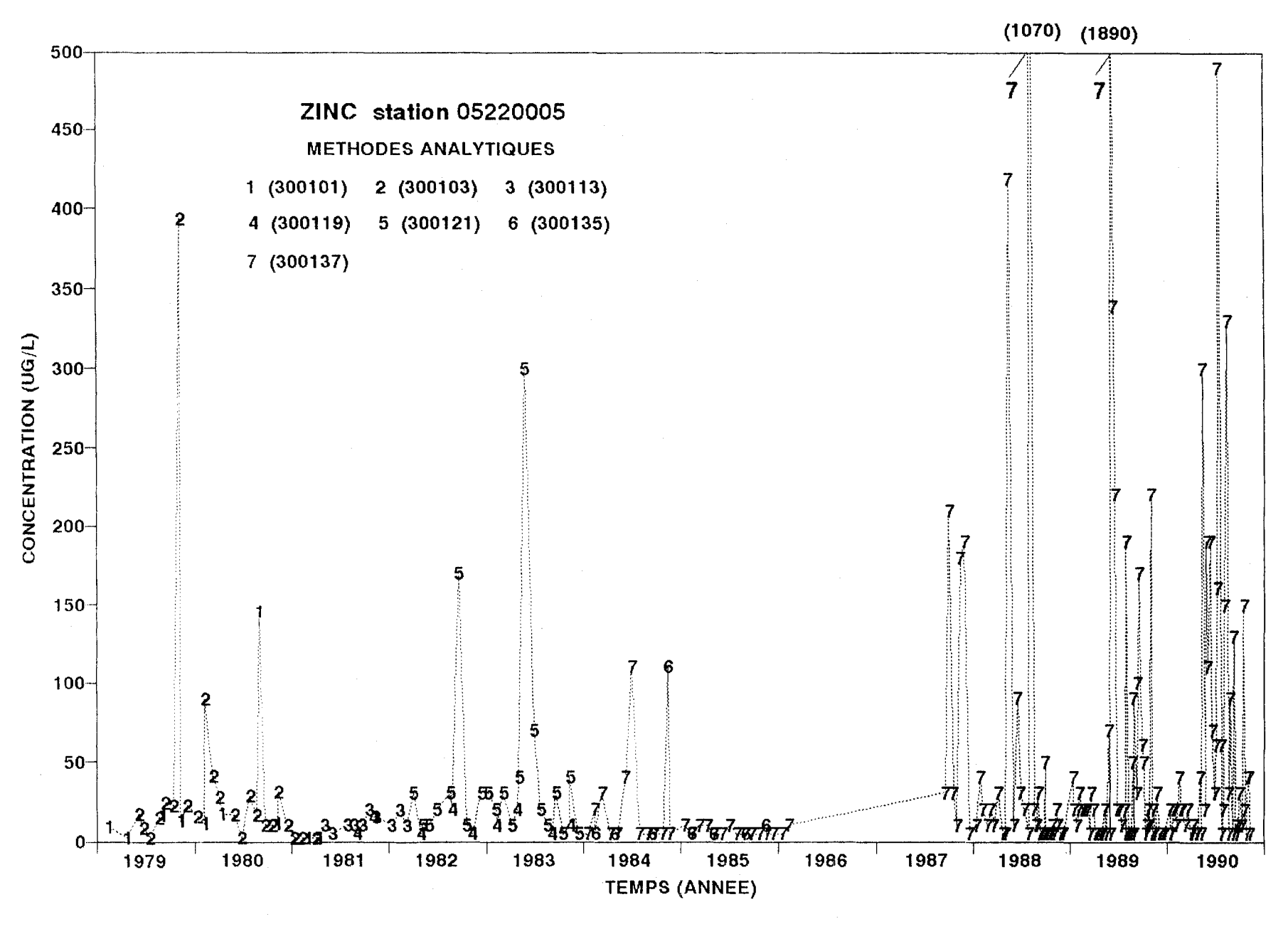


Figure B.39. Évolution dans le temps des concentrations de zinc à la station 05220005 selon les méthodes de mesure et de prélèvement.

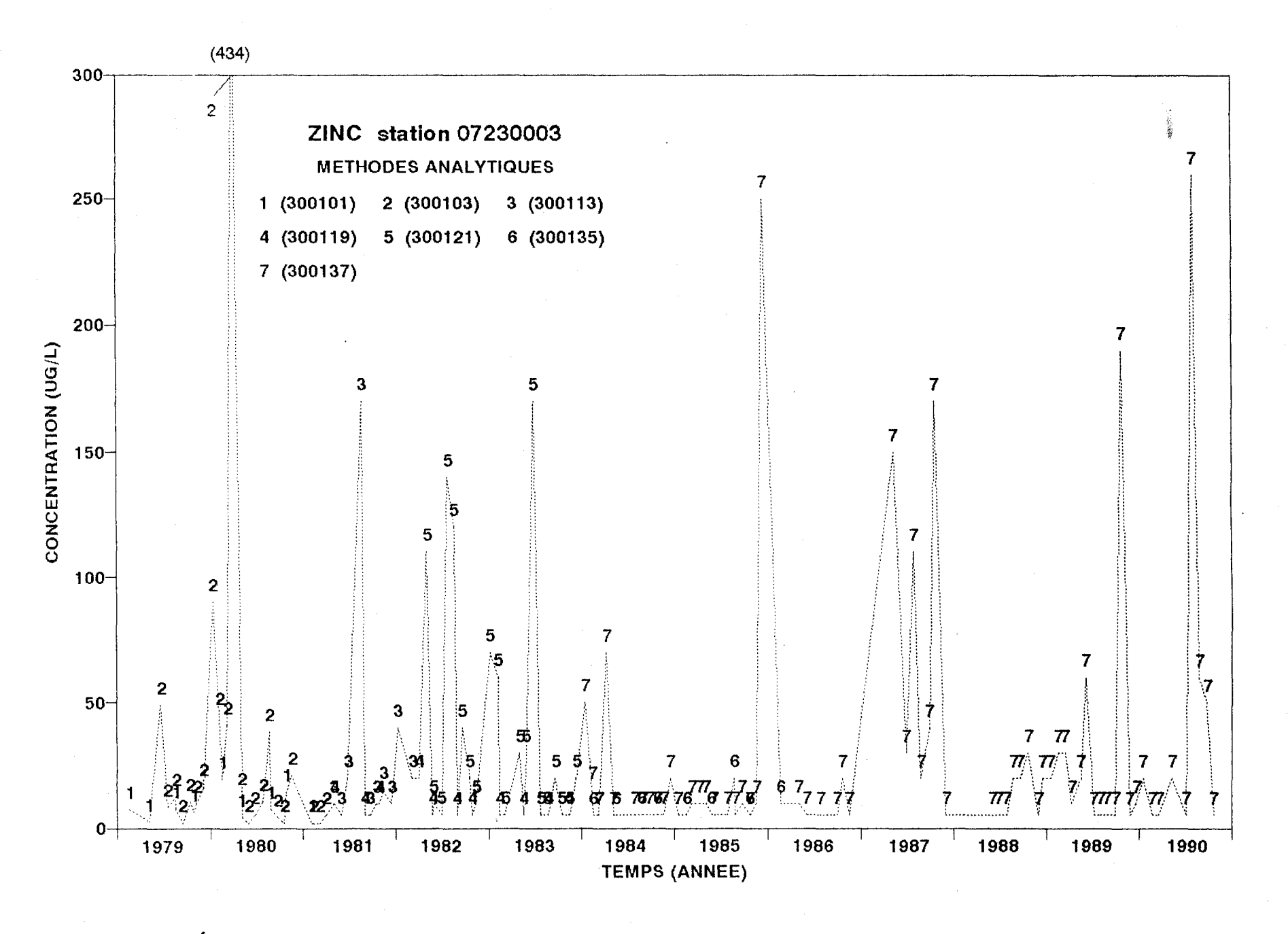


Figure B.40. Évolution dans le temps des concentrations de zinc à la station 07230003 selon les méthodes de mesure et de prélèvement.

## ANNEXE C

Dépassements de seuils de détection

		stations									
méta	al méthodes	01150003 <sup>2</sup>	03030023	03040009	03090001	05010007	05220003	05220005	07230003		
Αl	130110	1 (6)	5 (5)	6 (6)	5 (6)	6 (6)	6 (6)	6 (6)	5 (5)		
	130113	7 (7)	6 (6)	7 (7)	7 (7)	7 (7)	7 (7)	7 (7)	8 (8)		
	130132	1 (9)	6 (8)	4 (8)	4 (8)	8 (8)	7 (8)	7 (8)	9 (9)		
	130135	2 (9)	8 (8)	8 (8)	8 (8)	8 (8)	8 (8)	8 (8)	9 (9)		
	130137	10 (37)	57 (57)	59 (59)	39 (40)	35 (35)	58 (58)	12 (12)	23 (31)		
Cu	290101	0 (10)	3 (7)	9 (10)	4 (10)	9 (9)	0 (10)	0 (10)	0 (9)		
	290103	9 (19)	16 (21)	24 (24)	8 (22)	23 (23)	12 (22)	24 (24)	15 (22)		
	290115	1 (7)	4 (8)	8 (8)	3 (7)	9 (9)	6 (8)	7 (7)	2 (8)		
	290123	11 (20)	15 (19)	18 (18)	16 (21)	19 (19)	15 (19)	19 (21)	8 (20)		
	290135	1 (7)	4 (6)	7 (7)	7 (7)	7 (7)	5 (7)	5 (7)	5 (8)		
	290145	2 (9)	8 (8)	8 (8)	4 (8)	8 (8)	6 (8)	4 (8)	6 (9)		
	290147	25 (91)	45 (124)	125 (126)	26 (96)	92 (92)	45 (128)	47 (171)	15 (66)		
Fe	260101	8 (19)	16 (16)	19 (19)	19 (19)	19 (19)	19 (19)	19 (19)	20 (20)		
	260117	17 (33)	36 (36)	39 (39)	35 (35)	40 (40)	39 (39)	38 (38)	36 (36)		
	260125	12 (20)	19 (19)	18 (18)	21 (21)	19 (19)	19 (19)	21 (21)	20 (20)		
	260139	39 (88)	122 (122)	125 (126)	94 (96)	92 (92)	125 (125)	168 (168)	65 (65)		
	260141	4 (13)	8 (8)	8 (8)	8 (8)	8 (8)	8 (8)	8 (8)	9 (9)		
Pb	820101	1 (9)	3 (7)	5 (9)	4 (10)	1 (9)	2 (9)	2 (9)	4 (9)		
	820103	9 (19)	3 (21)	2 (24)	16 (21)	1 (23)	3 (22)	4 (24)	3 (22)		
	820113	1 (8)	0 (10)	0 (8)	0 (7)	1 (9)	0 (8)	0 (7)	0 (8)		
	820119	0 (11)	2 (9)	0 (10)	2 (10)	0 (11)	2 (11)	1 (11)	2 (12)		
	820121	8 (18)	1 (18)	0 (17)	18 (19)	0 (16)	1 (17)	3 (19)	2 (19)		
	820131	20 (93)	14 (124)	10 (126)	51 (96)	7 (92)	49 (128)	86 (169)	36 (65)		
	820133	1 (7)	0 (7)	0 (7)	0 (7)	0 (7)	2 (7)	1 (7)	2 (8)		
Zn	300101	1 (9)	4 (7)	6 (9)	6 (10)	4 (10)	6 (10)	6 (10)	2 (9)		
	300103	5 (19)	13 (20)	12 (23)	7 (21)	8 (22)	15 (21)	17 (23)	13 (22)		
	300113	7 (10)	10 (11)	7 (10)	7 (9)	9 (12)	9 (11)	9 (10)	8 (10)		
	300119	2 (10)	7 (8)	8 (9)	7 (9)	5 (9)	6 (9)	5 (9)	3 (11)		
	300121	13 (20)	16 (19)	15 (18)	19 (21)	13 (19)	18 (19)	19 (21)	14 (20)		
	300135	1 (9)	3 (8)	2 (8)	3 (8)	1 (8)	4 (8)	2 (8)	2 (9)		
	300137	29 (93)	55 (124)	67 (126)	42 (96)	34 (92)	86 (128)	106 (171)	36 (67)		

 $<sup>^{1}</sup>$ : seuils Al=0,02 mg/L; Cu=5 $\mu$ g/L; Fe=0,03mg/L; Pb=15 $\mu$ g/L; Zn=10 $\mu$ g/L.

 $<sup>^{2}</sup>$ : 5 (10): nombre dépassant le seuil (nombre total de mesures).

		stations									
méta	ıl méthodes	01150003 <sup>2</sup>	03030023	03040009	03090001	05010007	05220003	05220005	07230003		
Αl	130110	0 (6)	3 (5)	3 (6)	2 (6)	4 (6)	5 (6)	6 (6)	5 (5)		
	130113	2 (7)	6 (6)	7 (7)	6 (7)	7 (7)	7 (7)	7 (7)	8 (8)		
	130132	0 (9)	1 (8)	0 (8)	1 (8)	4 (8)	5 (8)	3 (8)	7 (9)		
	130135	1 (9)	8 (8)	7 (8)	8 (8)	8 (8)	8 (8)	8 (8)	9 (9)		
	130137	4 (37)	56 (57)	54 (59)	39 (40)	33 (35)	58 (58)	12 (12)	23 (31)		
Cu	290101	0 (10)	0 (7)	9 (10)	0 (10)	8 (9)	0 (10)	0 (10)	0 (9)		
	290103	1 (19)	1 (21)	23 (24)	1 (22)	5 (23)	1 (22)	16 (24)	12 (22)		
	290115	0 (7)	0 (8)	7 (8)	0 (7)	6 (9)	0 (8)	0 (7)	0 (8)		
	290123	2 (20)	5 (19)	18 (18)	3 (21)	18 (19)	2 (19)	2 (21)	2 (20)		
	290135	0 (7)	0 (6)	7 (7)	0 (7)	7 (7)	0 (7)	1 (7)	0 (8)		
	290145	0 (9)	0 (8)	8 (8)	0 (8)	8 (8)	0 (8)	0 (8)	1 (9)		
	290147	4 (91)	11 (124)	124 (126)	3 (96)	87 (92)	5 (128)	5 (171)	2 (66)		
Fe	260101	4 (19)	16 (16)	19 (19)	19 (19)	19 (19)	19 (19)	19 (19)	20 (20)		
	260117	6 (33)	36 (36)	37 (39)	34 (35)	40 (40)	39 (39)	38 (38)	36 (36)		
	260125	2 (20)	19 (19)	18 (18)	21 (21)	19 (19)	19 (19)	21 (21)	19 (20)		
	260139	10 (88)	122 (122)	107 (126)	92 (96)	92 (92)	125 (125)	168 (168)	61 (65)		
	260141	1 (13)	8 (8)	7 (8)	8 (8)	8 (8)	8 (8)	8 (8)	9 (9)		
Pb	820101	0 (9)	1 (7)	0 (9)	0 (10)	0 (9)	1 (9)	1 (9)	0 (9)		
	820103	.1 (19)	0 (21)	0 (24)	7 (21)	0 (23)	0 (22)	0 (24)	0 (22)		
	820113	0 (8)	0 (10)	0 (8)	0 (7)	0 (9)	0 (8)	0 (7)	0 (8)		
	820119	0 (11)	0 (9)	0 (10)	1 (10)	0 (11)	1 (11)	0 (11)	0 (12)		
	820121	3 (18)	0 (18)	0 (17)	17 (19)	0 (16)	1 (17)	1 (19)	1 (19)		
	820131	4 (93)	6 (124)	0 (126)	35 (96)	0 (92)	17 (128)	44 (169)	16 (65)		
	820133	0 (7)	0 (7)	0 (7)	0 (7)	0 (7)	0 (7)	0 (7)	0 (8)		
Zn	300101	0 (9)	1 (7)	3 (9)	3 (10)	1 (10)	0 (10)	1 (10)	0 (9)		
	300103	1 (19)	3 (20)	1 (23)	1 (21)	1 (22)	5 (21)	4 (23)	6 (22)		
	300113	1 (10)	5 (11)	1 (10)	2 (9)	1 (12)	5 (11)	0 (10)	2 (10)		
	300119	0 (10)	2 (8)	2 (9)	0 (9)	1 (9)	2 (9)	0 (9)	0 (11)		
	300121	6 (20)	9 (19)	6 (18)	9 (21)	4 (19)	10 (19)	11 (21)	9 (20)		
	300135	0 (9)	0 (8)	0 (8)	1 (8)	0 (8)	2 (8)	1 (8)	0 (9)		
	300137	20 (93)	23 (124)	21 (126)	17 (96)	19 (92)	33 (128)	54 (171)	16 (67)		

 $<sup>^{1}\</sup>colon$  seuils Al=0,06 mg/L; Cu=15 $\mu$ g/L; Fe=0,09mg/L; Pb=45 $\mu$ g/L; Zn=30 $\mu$ g/L.

 $<sup>^{2}</sup>$ : 5 (10): nombre dépassant le seuil (nombre total de mesures).